



UNIVERSIDADE FEDERAL DE SERGIPE  
PRÓ-REITORIA DE PÓS-GRADUAÇÃO E PESQUISA

***PETROGRAFIA E QUÍMICA MINERAL DAS ROCHAS  
ALCALINAS DO BATÓLITO SIENÍTICO ITABUNA,  
PROVÍNCIA ALCALINA DO SUL DO ESTADO DA BAHIA***

Marcel Vinicius Santos Leandro

Orientadora: Dr. Herbet Conceição

Coorientadora: Dra. Maria de Lourdes da Silva Rosa

**DISSERTAÇÃO DE MESTRADO**

Programa de Pós-Graduação em Geociências e Análise de Bacias

São Cristóvão-SE  
2021

Marcel Vinicius Santos Leandro

***PETROGRAFIA E QUÍMICA MINERAL DAS ROCHAS  
ALCALINAS DO BATÓLITO SIENÍTICO ITABUNA,  
PROVÍNCIA ALCALINA DO SUL DO ESTADO DA BAHIA***

Dissertação apresentada ao Programa de Pós-Graduação  
em Geociências e Análise de Bacias da Universidade  
Federal de Sergipe, como requisito para obtenção do título  
de Mestre em Geociências.

**Orientadora:** Dr. Herbet Conceição

**Coorientadora:** Dra. Maria de Lourdes da Silva Rosa

São Cristóvão–SE  
2021

**FICHA CATALOGRÁFICA ELABORADA PELA BIBLIOTECA CENTRAL  
UNIVERSIDADE FEDERAL DE SERGIPE**

O48p	<p>Leandro, Marcel Vinicius Santos</p> <p>Petrografia e química mineral das rochas alcalinas do Batólito Sienítico Itabuna, província Alcalina do Sul do Estado da Bahia/ Marcel Vinicius Santos Leandro; orientador Herbet Conceição. – São Cristóvão, SE, 2021.</p> <p>160 f. : il.</p> <p>Dissertação (mestrado em Geociências e Análise de Bacias) – Universidade Federal de Sergipe, 2021.</p> <p>1. Geociências. 2. Petrogênese. 3. PASEBA. 4. Magmatismo. 5. Bahia. I. Conceição, Herbet, orient. II. Título.</p> <p>CDU 552(813.7)</p>
------	--

***PETROGRAFIA E QUÍMICA MINERAL DAS ROCHAS  
ALCALINAS DO BATÓLITO SIENÍTICO ITABUNA,  
PROVÍNCIA ALCALINA DO SUL DO ESTADO DA BAHIA***

por:

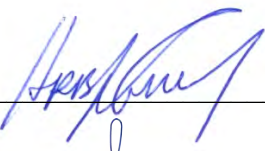
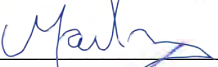
Marcel Vinicius Santos Leandro  
(Geólogo, Universidade Federal de Sergipe – 2018)

**DISSERTAÇÃO DE MESTRADO**

Submetida em satisfação parcial dos requisitos ao grau de:

**MESTRE EM GEOCIÊNCIAS**

**BANCA EXAMINADORA:**


Dr. Herbet Conceição [Orientador – PGAB/UFS]

Dra. Jailma Santos de Souza de Oliveira [Membro Externo – UFBA]

Dr. Carlos Dingess Marques de Sá [Membro Interno – PGAB/UFS]

Data Defesa: 14/05/2021

## **DEDICATÓRIA**

*Dedico este trabalho aos negros que me ajudaram de perto, Luciane Silva Santos Leandro, Antônio Elcio Leandro dos Santos e Hebert Matheus Santos Leandro. Bem como a todos os pretos que me ajudaram a sobreviver e viver ontem, hoje e amanhã.*

## AGRADECIMENTOS

À Coordenação de Aperfeiçoamento de Pessoal de Nível Superior (CAPES), pela concessão bolsa de mestrado. Ao suporte financeiro para desenvolver a pesquisa advindos dos projetos PRONEX/FAPITEC/CNPq (019.203.02538/2009-7), PROMOB/FAPITEC/CAPES (Processo 88881.157717/2017-01), PROEF/FAPITEC/CAPES (Processo 88881.157439/2017-01), CNPq-PQ (311008/2017-08), CNPq (310391/2017-2) e CNPq-Universal (2016311008/2017-8).

Ao Condomínio de Laboratórios de Multiusuários das Geociências da Universidade Federal de Sergipe (CLGeo-UFS) pela concessão da infraestrutura cedida para realização dessa pesquisa.

Aos meus orientadores professores doutores Herbet Conceição e Maria de Lourdes da Silva Rosa, pelo suporte e dedicação ao longo dessa pesquisa, especialmente durante a pandemia de COVID-19. A pandemia gerou diversos problemas para o desenvolvimento da pesquisa, mas esses empecilhos foram suprimidos das melhores formas possíveis pelos orientadores.

Ao Prof. Dr. Cláudio Nery Lamarão da Universidade Federal do Para e Msc. Gisele Tavares Marques pelo apoio para a obtenção das análises com WDS-EPMA.

Aos colegas acadêmicos do Laboratório de Petrologia Aplicada à Pesquisa Mineral (LAPA), da Universidade Federal de Sergipe, com os quais a troca de experiências foi diária e muito importante. Em especial a André Lima, Erik Sousa, Hiakan Soares, Jailson Santos e Laisa Santos. Bem como à parceria com os pesquisadores Bruno Martins e Danilo Barreto do Grupo de Pesquisa em Recursos Minerais (RECMIN).

Durante a Pós-Graduação não deixei de ter amigos que fiz ainda na graduação, então agradeço pelas longas discussões sobre qualquer tema com Pedro Gomes, Mateus Nascimento e Carlos Augusto. Bem como aos lindos e lindas da turma de 2014.

Ao Coletivo Negro Beatriz Nascimento (CNBN) da UFS e seus integrantes agradeço por terem me apresentado o entendimento de Kilombo de Beatriz Nascimento e escurecer todas as minhas noções de mundo. No CNBN conheci pessoas muito importantes para minha formação como pesquisador preto e vale mencionar a importância de Anderson Severo, Bruno Santana, Dário Nascimento, David Barbosa, Emerson Esteves, Edwyn Gomes, Hiago Feitosa, Kwame Kwanza, Maria da Conceição, Nathaly Silva, Stefany Caroline, Thalia Santos, e Yersia Assis, cada um de vocês melhora o mundo de uma forma diferente.

Aos meus antepassados que lutaram desde antes do nascimento de meus pais, e continuam lutando hoje, para que eu realize todos os meus sonhos e me permitam motivar e ajudar mais crianças pretas a conseguir poder no mundo.

Muito obrigado a todos!

## EPÍGRAFE

*“Quilombo é aquele espaço geográfico onde o homem tem a sensação do oceano. Raquel você precisa se sentir na Serra da Barriga. Toda a energia cósmica entra no seu corpo. Eu fico grande numa serra. Eu fico assim, Raquel, alta. Eu, assim fico alta, parecendo os imbangala. Sabe como é? Essa coisa de negro mesmo. Mas é de negro porque é o homem ligado à terra. É o homem que mais conhece a terra que nem aqueles horizontes Dogon. É o homem preto, cor da lama, cor da terra. Porque Gagarin viu a terra azul, mas existe a terra preta. Existe essa terra que é terra, que é a coisa que a gente mais tem medo de perder. É o pó. É o pó da terra, que é uma coisa que se equilibra com os outros gases, que dá fundamento”.*

Beatriz Nascimento (1989)

## RESUMO

A única ocorrência de rochas alcalinas subsaturadas em SiO<sub>2</sub> no Cráton São Francisco estão delimitadas à Província Alcalina do Sul do Estado da Bahia (PASEBA). Uma província que formada por magmatismo alcalino anorogênico neoproterozóico que intrudiu rochas granulíticas e gnaissico-migmatíticas do Cráton do São Francisco. Dentre os diversos plútôns que constituem a PASEBA neste trabalho foram estudadas rochas do maior corpo, o Batólito Sienítico Itabuna (BSI), aflorante na porção norte próximo aos municípios de Itabuna, Itajuipe e Uruçuca. O Batólito Sienítico Itabuna é constituído por sienitos, monzonitos, *fold* sienitos e em menores volumes dioritos e gabros. Rochas representativas do BSI foram investigadas com petrografia clássica e eletrônica. As análises químicas dos minerais foram obtidas com Espectrômetro de Comprimento de Onda (WDS) acoplado a uma Microssonda Eletrônica (EPMA) e Espectrômetro de Energia Dispersiva (EDS) acoplado a um Microscópio Eletrônico de Varredura. As rochas possuem granulação de fina a grossa. Os minerais essenciais são feldspato alcalino, plagioclásio e nefelina, que juntos com a biotita, anfibólio e clinopiroxênio são os fenocristais mais frequentes. A matriz é composta principalmente por feldspatos alcalino, plagioclásio e nefelina. Os teores de Anortita do plagioclásio variam de albita até labradorita. A biotita corresponde quimicamente a siderofilita, lepidomelano e Fe-biotita. O clinopiroxênio foi classificado como diopsídio, hedenbergita e augita. As composições do anfibólio possuem grandes variações químicas que os define como pertencentes aos grupos do anfibólio Cálcico, Fe-Mg-Mn-Li e Na-Ca. Os minerais acessórios presentes são: apatita, sodalita, cancrinita, ilmenita, magnetita, pirita, calcopirita, zirconolita, olivina, allanita, baddeleyita, zircão, calcita, monazita, barita, bastnesita e thorita. Identificou-se composições de cristais primários na biotita, anfibólio, allanita e zirconolita. A substituição acoplada ETR<sup>3+</sup> + Si<sup>4+</sup> = Ca<sup>2+</sup> + P<sup>5+</sup> identificada nos cristais de apatita pode auxiliar a formação dos cristais de monazita. Identificou-se nessas rochas a presença de cristais diminutos que indicam ação de fluidos magmáticos como os carbonatos, pirita, monazita e thorita. Inferiu-se temperaturas magmáticas (< 989 °C), pressões médias para colocação do magma (< 5.2 kbar) e fugacidade de oxigênio alta em cristais de clinopiroxênio. Temperaturas < 790 °C e pressões < 2.2 kbar foram obtidas nos cristais de biotita primários. E parâmetros pós-magmáticos com base nos pares de exsolução ilmenita e magnetita (temperaturas máximas de 765 °C). Inferiu-se a cristalização fracionada como principal processo responsável pela evolução das rochas do Batólito Sienítico Itabuna, uma hipótese também adotada para outros plutons da PASEBA. A compilação e interpretação dos dados gerados foram sintetizadas sob a forma de um artigo científico.

*Palavras-Chave:* Química Mineral; Rochas Subsaturadas em SiO<sub>2</sub>; Parâmetros Intensivos

## ABSTRACT

The only occurrence of  $\text{SiO}_2$  subsaturated alkaline rocks in the São Francisco Craton is bounded by the Southern Bahia Alkaline Province (SBAP). A province formed by a neoproterozoic anorogenic alkaline magmatism intrusive in granulitic and gneissic-migmatitic rocks from the São Francisco Craton. Among the various plutons that make up SBAP rocks of the largest body, the Itabuna Sienitic Batholith (IBS), were studied in this work. It outcrops in the northern portion close to the cities of Itabuna, Itajuipe and Uruçuca. The Itabuna Sienitic Batholith consists of syenites, monzonites, foid syenites and in smaller volumes diorites and gabbros. Representative rocks from IBS were investigated with classical and electronic petrography. Chemical minerals analysis was obtained with a Wavelength Dispersive Spectrometer (WDS) coupled to an Electron Probe Microanalyzer (EPMA) and Dispersive Energy Spectrometer (EDS) coupled to a Scanning Electron Microscopy. The rocks have fine to coarse granulation. Essential minerals are alkali feldspar, plagioclase and nepheline, which together with biotite, amphibole and clinopyroxene are the most frequent phenocrysts. The matrix is composed mainly of alkaline feldspars, plagioclase and nepheline. Plagioclase Anorthite contents vary from albite to labradorite. Chemically biotite corresponds to siderophyllite, lepidomelane and Fe-biotite. Clinopyroxene was classified as diopside, hedenbergite and augite. The amphibole compositions have great chemical variations that define them as belonging to the groups of the Calcium, Fe-Mg-Mn-Li and Na-Ca amphibole. The accessory minerals present are apatite, sodalite, cancrinite, ilmenite, magnetite, pyrite, chalcopyrite, zirconolite, olivine, allanite, baddeleyite, zircon, calcite, monazite, barite, bastnasite and thorite. Primary crystal compositions were identified in biotite, amphibole, allanite and zirconolite. The coupled substitution  $\text{ETR}^{3+} + \text{Si}^{4+} = \text{Ca}^{2+} + \text{P}^{5+}$  was identified in the apatite crystals and can assist in the formation of monazite crystals. In the studied rocks, small crystals indicating the action of magmatic fluids such as carbonates, monazite and thorite are present. Magmatic temperatures ( $<989$  °C), mean pressures for placing magma ( $<5.2$  kbar) and high oxygen fugacity were inferred on clinopyroxene crystals. Temperatures  $<790$  °C and pressures  $<2.2$  kbar were obtained in the primary biotite crystals. And post-magmatic parameters based on the pairs of ilmenite and magnetite exsolution (maximum temperatures of 765 °C). Fractional crystallization was inferred as the main process responsible for the evolution of the rocks of the Itabuna Sienitic Batholith, a hypothesis also adopted for other SBPA plutons. The compilation and interpretation of the generated data was synthesized in the form of a scientific article.

*Keywords: Mineral Cchemistry;  $\text{SiO}_2$  Subsaturated Rocks; Intensive Parameters*

## LISTA DE FIGURAS

### **CAPÍTULO I      INTRODUÇÃO**

Figura 1. Mapa esquemático com a localização e acessos ao Batólito Sienítico Itabuna, ilustrado em cinza.

20

### **CAPÍTULO II      MINERALOQUÍMICA DAS ROCHAS DO BATÓLITO SIENÍTICO ITABUNA, SUL DO ESTADO DA BAHIA**

Figura 1. Esquemas geológicos da área de estudo. (A) Contorno do Estado da Bahia com o Cráton São Francisco em cinza e o polígono preto delimita a área da Província Alcalina do Sul do Estado da Bahia. (B) Esboço geológico da PASEBA (Rosa et al., 2007). (C) Esquema geológico do Batólito Sienítico Itabuna (Peixoto 2005).

29

Figura 2. Imagens de afloramentos representativos das rochas do Batólito Sienítico Itabuna. (A) Enclaves angulosos de sienitos ricos em biotita em sienito leucocrático. (B) Sienito com enclaves dioríticos. (C) Zoom da imagem (B) tem-se enclave arredondado de sienito rosado no interior de enclaves dioríticos (cor cinza). (D) Enclave diorítico de granulação fina, em vários tamanhos e formas alongadas, em sienito com feições de mistura (cor cinza do sienito mais escura próxima aos enclaves dioríticos). (E) Xenólitos máficos angulosos em sienitos. (F) Bolsões pegmatíticos sienitos incluso em enclave dioríticos (cor cinza).

31

Figura 3. Diagramas ternários de Streckeisen (1976) para a nomenclatura de rochas plutônicas com feldspatoide aplicados às rochas do Batólito Sienítico Itabuna.

34

Figura 4. Imagens microscópicas com texturas representativas dos monzonitos do Batólito Sienítico Itabuna. Imagens de texturas do piroxênio anfibólito-biotita monzonito (2058); (A) e (B) apresentam aglomerados de minerais máficos. (C) Cristais de anfibólito verde anédrico com contatos retos com a biotita. (D) Cristais de clinopiroxênio subédrico em contato com minerais opacos e biotita. Imagens no biotita monzonito (2504); (E) Cristais de feldspato potássico com extinção ondulante e contatos embainhados. (F) Cristal de olivina anédrico com alteração para iddingsita e incluso em feldspato alcalino.

35

Figura 5. Imagens obtidas com o detector de elétrons retroespelhados. (A) Cristal de magnetita com exsolução irregular de ilmenita que contém inclusão de cristais de baddeleyita (biotita monzonito - 2504). (B) Exsolução tipo sanduíche e em (C) do tipo treliça em magnetita (biotita sienito - 2057). (D) Zirconolita euédrica e subédrica inclusas em feldspato alcalino pertítico (biotita monzonito, 2504). As imagens (E), (G), (H) e (I) foram obtidas no biotita sienito (2579); (E) Anfibólito e biotita envolvidos por cristais de calcita intersticiais. (F) Cristais de nefelina com inclusões de zirconolita (*fooid* sienito, 2056). (G) Pirlita anédrica bordejando cristais de apatita e plagioclásio. (H) Barita preenchendo fraturas em plagioclásio. (I) Apatita acicular inclusa em cristal de anfibólito. (J) Baddeleyita em contato com ilmenita, anfibólito e plagioclásio (biotita sienito - 2057). (K) Monazita anédrica na borda da apatita (anfibólito-biotita sienito - 2589). (L) Allanita, thorita e bastnaesita (anfibólito-biotita sienito - 2589).

36

Figura 6. Imagens de texturas representativas em sienitos do Batólito Sienítico Itabuna. (A), (B) e (C) são imagens obtidas na biotita sienito (2057). (A) Fenocristal de clinopiroxênio com inclusões de apatita acicular em contato com anfibólito, plagioclásio e feldspato potássico. (B) e (C) Clinopiroxênio subédrico com inclusões de apatita, em contato com biotita e feldspato potássico. (D), (E), (F) e (G) são fotomicrografias da biotita sienito (2579). (D) Fenocristal de feldspato alcalino com contatos retos com cristais de feldspato potássico, nefelina e plagioclásio. (E) Geminação albita do plagioclásio e feldspato potássico anédrico em contato com biotita. (F) Orientação de cristais de biotita envolvendo cristal de clinopiroxênio. (G) Fenocristais de biotita com inclusões de clinopiroxênio, apatita e minerais opacos. (H) Cristais de microclina anédricos com geminação albita-periclinina (anfibólito-biotita sienito 2589). (I) Contatos interlobados entre cristais de feldspato alcalino e plagioclásio (anfibólito sienito 2494).

38

Figura 7.	Imagens microscópicas com texturas representativas do <i>fold</i> sienito (2056). (A) e (B) são imagens da mesma área e exibem os contatos retos e curvos dos minerais máficos com cristais de plagioclásio subédricos e orientados, com feldspato potássico e nefelina. (C) e (D) Fenocristais de feldspato potássico com nefelina vermiciforme.	39
Figura 8:	Diagrama ternário Albite (Ab) - Anortita (An) - Ortoclásio (Or) com as subdivisões dos campos de Smith e Brown (1988) para a nomenclatura do feldspato aplicado aos cristais do Batólito Sienítico Itabuna.	41
Figura 9	Diagrama ternário Ne (Nefelina) - Ks (Kalsilita) - Qz (Quartzo), com as isotermas de Hamilton e Mackenzie (1965).	42
Figura 10.	(A) Diagrama feal ( $\text{Fe}+\text{Mn}+\text{Ti}-\text{AlVI}$ ) versus mgli ( $\text{Mg}-\text{Li}$ ) segundo Tischendorf et al. (1999) para nomenclatura da biotita aplicado aos cristais de mica das rochas do BSI. (B) Diagrama ternário $10(\text{TiO}_2)-(\text{FeO}+\text{MnO})-\text{MgO}$ de Nachit et al. (2005) para inferência da natureza dos cristais de biotita aplicado aos cristais de biotita do BSI.	43
Figura 11.	Diagramas de classificação de piroxênios proposto por Morimoto et al. (1988) aplicado aos cristais de piroxênio do BSI. (A) Diagrama binário Q ( $\text{Ca}+\text{Mg}+\text{Fe}^{2+}$ ) versus J ( $2\text{Na}$ ). (B) Diagrama triangular Wo (Wollastonita) - En (Enstatita) - Fs (Ferrossilita) de nomenclatura para piroxênios Ca-Mg-Fe.	47
Figura 12.	Análises de anfibólio do BSI plotadas no diagrama $\text{Mg}\#$ versus Si para classificação do anfibólio cárlico (Leake et al., 1997).	49
Figura 13.	Diagramas binários $\text{Mg}\#$ versus Si de Leake et al. (1997) para a nomenclatura de anfibólio. (A) Diagramas para classificação do anfibólio de Fe-Mg-Mn-Li com análises realizadas em cristais do BSI. (B) Diagramas para classificação do anfibólio de Na-Ca com análises realizadas em cristais do BSI. (C) Diagrama binário Si apfu versus ( $\text{Na}+\text{Ka}+\text{Ca}$ ) discriminante entre anfibólio ígneo e anfibólio pós-magmático (Leake, 1971).	49
Figura 14.	Diagrama binário $\text{Mg}/(\text{Fe}^{2+}+\text{Mg})$ versus $\text{Fe}^{2+}/(\text{Fe}^{2+}+\text{Mg})$ para nomenclatura da olivina (Deer et al., 2013) com as análises de cristais de olivina de sienitos e monzonitos do Batólito Sienítico Itabuna plotados. A área em rosa representa a química dos cristais de olivina do Batólito Itarantim apresentados por Conceição et al. (2009) e a área em roxo os cristais de olivina do South Qôroq Center apresentadas por Stephenson (1974).	50
Figura 15.	Diagrama ternário F-OH-Cl para nomenclatura dos cristais de apatita analisadas nas rochas do BSI. (B) Diagrama binário ETR+Si versus Ca+P apfu para demonstrar que a substituição acoplada, proposta por Rønsbo (1989), é presente em cristais de apatita do BSI.	51
Figura 16.	(A) Diagrama ternário ( $\text{Th}+\text{U})-(\text{Nb}+\text{Ta})-(\text{ETR})$ apresentado por Bellatreccia et al. (1999) com análises de cristais de zirconolita do BSI. (B) Diagrama ( $\text{Th}+\text{U})-(\text{Ca})-(\text{ETR}+\text{Y})$ .	51
Figura 17.	Diagramas binários para inferência de parâmetros intensivos da cristalização do clinopiroxênio aplicados aos cristais do BSI. (A) Diagrama $\text{Al}^{\text{IV}}$ e $\text{Al}^{\text{VI}}$ apfu para inferir a pressão propostos por Aoki e Shiba (1973). (B) Diagrama binário $\text{Al}^{\text{IV}}+\text{Na}$ versus $\text{Al}^{\text{VI}}+2\text{Ti}+\text{Cr}$ apfu de Schweitzer et al. (1979) para estimar a fugacidade de oxigênio.	53

## LISTA DE TABELAS

### **CAPÍTULO I      INTRODUÇÃO**

Tabela 1.	Síntese dos aspectos geológicos de corpos da Província Alcalina do Sul do Estado da Bahia.	18
-----------	--	----

### **CAPÍTULO II      MINERALOQUÍMICA DAS ROCHAS DO BATÓLITO SIENÍTICO ITABUNA, SUL DO ESTADO DA BAHIA**

Tabela 1.	Comparação entre os dados químicos de minerais obtidos com o EDS-MEV neste estudo com e aqueles disponibilizados para os padrões da Astimex (Ast) e Cameca (CAM) e da olivina da amostra 1992 do Batólito Itarantim analisada por microssonda eletrônica (WDS, Ol-Itaran 1992 = padrão interno do CLGeo-UFS).	33
Tabela 2.	Composições químicas representativas de cristais de feldspatos de amostras estudadas do Batólito Sienítico Itabuna. Cálculo da fórmula estrutural com base em 8 oxigênios. Dados obtidos com EDS instalado em microscópio eletrônico de varredura.	40
Tabela 3.	Composições químicas representativas de cristais de biotita do Batólito Sienítico Itabuna. Cálculo da fórmula estrutural com base em 20 oxigênios. Indica-se o método de obtenção das análises: WDS = microssonda eletrônica e EDS = microscópio eletrônico de varredura.	44
Tabela 4.	Valores de temperatura e pressão obtidos em cristais de biotita utilizando-se dos algoritmos proposto por Henry et al. (2005) e Uchida et al. (2007).	45
Tabela 5.	Composições químicas representativas de cristais de clinopiroxênio de rochas do Batólito Sienítico Itabuna. O cálculo da fórmula estrutural foi realizado com base em 6 oxigênios. Os nomes dos clinopiroxênios são indicados: Augita (Aug), diopsídio (Diop) e hedenbergita (Hed). Espectrômetro (Espec) utilizado para realização das análises: WDS em microssonda eletrônica e EDS em microscópio eletrônico de varredura. Amostra (Am), enstatita (En), ferrossilita (Fs) e wollastonita (Wo).	46
Tabela 6.	Resultados de temperatura e pressão obtidos utilizando-se o algoritmo de Nimis (1999) em cristais de clinopiroxênio de rochas do BSI.	46
Tabela 7.	Análises químicas representativas de cristais de anfibólio das rochas do Batólito Sienítico Itabuna. Fórmula estrutural calculada com base em 23 oxigênios. Actinolita (Act), Hornblendita (H), hastingsita (Ha), pargasita (P), edenita (E), kaersutita (Kear), riebequita (R), antofilita (A).	48

## SUMÁRIO

<b>CAPÍTULO I: INTRODUÇÃO .....</b>	<b>14</b>
1.1 APRESENTAÇÃO	15
1.2 OBJETIVOS	17
1.3 LOCALIZAÇÃO DA ÁREA	19
1.4 MATERIAIS E MÉTODOS	19
1.4.1 Levantamento Bibliográfico	19
1.4.2 Petrografia	19
1.4.3 Química mineral	21
1.4.4 Tratamento dos dados	22
1.4.5 Elaboração da dissertação	22
1.5 REFERÊNCIAS BIBLIOGRÁFICAS	22
<b>CAPÍTULO II: MINERALOQUÍMICA DAS ROCHAS DO BATÓLITO SIENÍTICO ITABUNA, SUL DO ESTADO DA BAHIA .....</b>	<b>26</b>
RESUMO	27
ABSTRACT	28
INTRODUÇÃO	29
CONTEXTO GEOLÓGICO	29
MATERIAIS E MÉTODOS	32
RESULTADOS	33
Petrografia	33
Química Mineral	40
DISCUSSÃO	50
CONCLUSÃO	54
AGRADECIMENTOS	57
REFERÊNCIAS	57
<b>CAPÍTULO III: CONCLUSÕES .....</b>	<b>62</b>
<b>ANEXO: COMPROVANTE DE SUBMISSÃO DO ARTIGO .....</b>	<b>65</b>
<b>APÊNDICES .....</b>	<b>67</b>
Apêndice 1: Análises de Química Mineral	68
Apêndice 2: Comparação das Análises EDS	153

## *CAPÍTULO 1: INTRODUÇÃO*

## 1.1 APRESENTAÇÃO

As rochas alcalinas constituem menos que um 1% do volume das rochas ígneas (Gil, 2014). Todavia, mesmo assim elas têm recebido a atenção especial dos petrólogos e mineralogistas por hospedarem mineralogia diversificada e exótica quando comparada aos outros grupos de rochas ígneas (e.g. Sørensen, 1974, 1987; Khomyakov, 1995). As rochas fortemente alcalinas são no geral subsaturadas em SiO<sub>2</sub>, apresentam conteúdos elevados de K<sub>2</sub>O, Na<sub>2</sub>O e grande diversidade de minerais (e.g. Sørensen, 1974, 1987). Além destas características particulares os corpos ígneos fortemente alcalinos eles são portadores de importantes depósitos minerais de ETR, Nb, Ta, Zr, P dentre outros (e.g. Hussain *et al.*, 2020). Magmas alcalinos subsaturados em SiO<sub>2</sub> estão associados a ambientes tectônicos anorogênicos como riftes continentais e *hot spots* (e.g. Wilson, 1989).

No Brasil existem diversas províncias alcalinas (Gomes and Comin-Chiaramonti, 2017) e dentre elas destaca-se a Província Alcalina do Sul da Bahia (PASEBA) por sua idade neoproterozoica e pelos dados relevantes colocados em evidências pelos estudos realizados (e.g. Rosa *et al.*, 2007).

A primeira descrição sobre a existência de rochas alcalina no sul da Bahia foi feita por Fujimori (1967). Posteriormente, essas rochas foram reunidas e nomeadas por Silva Filho *et al.* (1974) como Província Alcalina do Sul do Estado da Bahia (PASEBA), terminologia utilizada neste trabalho, quando da realização de mapeamento geológico da Folha Itapetinga (escala 1:250.000). Essa província é composta por diversos diques, *stocks* e batólitos (Rosa *et al.*, 2007). Estes corpos são intrusivos em terrenos granulíticos e gnáissico-migmatíticos arqueano-paleoroterozoicos do embasamento do Cráton São Francisco (Barbosa *et al.*, 2012).

Nas décadas 70, 80 e 90 vários estudos contribuíram para ampliar o conhecimento da PASEBA:

- Fujimori (1967) descreve em nota técnica do Departamento Nacional de Pesquisa Mineral (DNPM) a presença de rochas alcalinas no sul do Estado da Bahia.
- Cordani (1973) apresentou dados geocronológicos K-Ar e Rb-Sr para minerais e rocha total entre as cidades de Salvador e Vitória e estabeleceu o magmatismo alcalino dessa região como intrusivo entre 490 e 773 Ma.
- Pedreira *et al.* (1975) ao realizaram mapeamento geológico regional (escala 1:25000) e descrevem com maior detalhe as rochas alcalinas dos municípios de Itabuna, Ilheus, Uruçuca e Itajuípe e as agruparam sob a terminologia Complexo Itabuna (*apud* Peixoto, 2005).

- Barbosa de Deus *et al.* (1976) realizaram o mapeamento geológico de detalhe das rochas conhecidas atualmente como Batólito Sienítico Itarantim. Na época, agruparam essas rochas como Complexo de Itarantim e realizaram análises químicas de rocha total com foco em elementos potencialmente exploráveis (e.g. Nb, Ta e Zr).
- Fujimori (1978) descreveu a característica miasquítica dos litchfielditos da região de Itajú do Colônia e sugeriu uma origem metamórfica, por fusão se sedimentos salinos, para explicar a presença de grande volume de sodalita nestas rochas.
- Lima *et al.* (1981), no contexto do Projeto RADAM Brasil, apresentam novos resultados sobre as rochas alcalinas do sul da Bahia, quando da realização de mapeamento geológico regional da Folha SD.24 Salvador. Este projeto gerou novos dados em diversas áreas de conhecimento (como pedologia, geomorfologia, estratigrafia, geologia estrutural e geologia econômica). Vale ressaltar a importância das informações sobre as rochas alcalinas do sul da Bahia, particularmente do Batólito Sienítico Itabuna para o qual obtiveram dados petrográficos, geoquímicos de rocha total e a idade Rb-Sr em rocha total de  $660 \pm 9,8$  Ma.
- Conceição *et al.* (1992) obtiveram novos dados que foram tratados integrando aos disponíveis na bibliografia. Nestes trabalhos os autores identificam na PASEBA duas evoluções geoquímicas distintas para os magmas responsáveis pelas rochas presentes nos corpos intrusivos. Uma tendência evidencia a evolução de magmas alcalinos miasquíticos controlada essencialmente por fracionamento precoce de clinopiroxênio: gera as rochas subsaturadas. A outra evolução é mais restrita (Serra das Araras e os monzonitos de Floresta Azul) e corresponde a magmas alcalinos controlados pelo fracionamento de anfibólio: gera as rochas saturadas a supersaturadas.
- Arcanjo (1993) ao realizar levantamento geológico básico, na escala 1:10000 da Folha Itabuna (SD.24-Y-B-VI), obteve novos dados geológicos, geoquímicos e idade aboluta. Nesse trabalho foram identificados nos corpos alcalinos da região a presença de nefelina-sienitos, monzodioritos, leucogabros, dioritos e noritos. Estas rochas foram reunidas sob a terminologia de Suite Intrusiva Itabuna. Neste estudo foi apresentada a idade Rb-Sr em rocha total de  $540 \pm 175$  Ma para os nefelina-sienitos.
- Teixeira *et al.* (1997) obtiveram a idade de cristalização U-Pb<sub>SHRIMP</sub> de  $676 \pm 5$  Ma para a Suíte Sienítica Itabuna utilizando cristais de zircão e baddeleyita. Estes autores interpretam as idades entre 660 e 570Ma disponíveis na literatura para estas rochas como reflexo dos diversos pulsos magmáticos ocorridos na região.

- Rosa e colaboradores realizaram trabalho de detalhe nas principais intrusões da PASEBA e forneceram importantes dados geológicos, petrográficos, geoquímicos e geocronológicos: Floresta Azul (Rosa *et al.*, 2003); Itarantim (Rosa *et al.*, 2005a; 2007); Serra da Gruta (Rosa *et al.*, 2012); carbonato mantélico (Rosa *et al.*, 2005b) e primeira síntese sobre a geocronologia e eventos magnáticos, quando interpretaram que esse magmatismo alcalino da PASEBA, limitou-se ao período Criogeniano, entre 734 e 676Ma e que ele corresponde ao rifteamento do supercontinente Rodínia.
- Pimenta (2016) realizou em sua dissertação de mestrado estudo detalhado sobre a mineralogia do Stock Itaju do Colônia, identificando pela primeira vez vários minerais até então desconhecidos na PASEBA, por exemplo: pirocloro, ancilita, bastnaesita, torita, keiviita, xenotímio e euxenita associados a hidrotermalismo que cristaliza igualmente esfalerita, barita, galena, fluorita e fluorcarbonatos.
- Santos (2016) e Santos (2020), mestrado e doutorado, investigou em detalhe a mineralogia das rochas do Complexo Alcalino Floresta Azul e identificou vários minerais raros e uma complexa evolução autometassomática no final da cristalização destas rochas: exsolução de monazita, carbonato e cristalização de fluorcarbonatos.

A Tabela 1 apresenta a copilação dos dados disponíveis para os quatro batólitos da província (Itabuna, Floresta Azul, Serra das Araras e Itarantim) e de três *stocks* que ocorrem na porção centro e sul da província. Os maiores corpos apresentam orientações NE-SW. As rochas da PASEBA são a expressão de um magmatismo anorogênio gerado no final do rifteamento do supercontinente Rodínea, durante o neoproterozoico (Rosa *et al.*, 2007; Menezes *et al.*, 2012).

## 1.2 OBJETIVOS

A dissertação teve como objetivo obter e discutir o significado dos dados de química mineral das rochas que compõem o Batólito Sienítico Itabuna (BSI), que é a maior e mais nova intrusão da PASEBA. Neste contexto definiu-se os seguintes objetivos específicos:

- Descrever a petrografia de rochas representativas do Batólito Sienítico Itabuna.
- Realizar análises químicas pontuais nos principais minerais das rochas, classificá-los e interpretar as variações químicas presentes.
- Inferir parâmetros intensivos registrados pelos minerais durante as suas cristalizações ou eventos posteriores.

Tabela 1. Síntese dos aspectos geológicos de alguns corpos da Província Alcalina do Sul do Estado da Bahia. Aeg: aegirina, Aeg-Aug: aegirina-augita, Amp: anfibólio, Bt: biotita, Cpx: clinopiroxênio, Ccn: cancrinita, Di: diopsídio, Kfs: feldspato alcalino, Ne: nefelina, Pl: plagioclásio, Qz: quartzo, Sdl: sodalita.

Nome do plutônio	Área (Km <sup>2</sup> )	Rochas predominantes	Aspectos de campo	Estruturação	Mineralogia principal	Idade e método	Principais processos atuantes na evolução	Características importantes	Referências
Batólio Sientítico Itabuna	450	Sienitos, <i>Foid</i> sienitos, monzonitos, dioritos e gabros	Contatos complexos entre as diferentes rochas e presença de enclaves maficos.	Foliação magnmática	Kfs, Pl, Ne, Bt, Amp, Cpx	676 ± 5 Ma U/Pb, sienito	Cristalização fracionada, mistura de magmas	Aspectos de mistura de magmas mafico e felsico	Texeira <i>et al.</i> (1974); Peixoto (2005)
Complexo Alcalino Floresta Azul	200	Granitos alcalinos, sienitos, <i>Foid</i> sienitos e dioritos	Abundante presença de enclaves dioríticos	Orientação de fluxo magnático	Kfs, Pl, Ne, Qz, Sdl, Ccn, Bt, Amp, Aeg	696 ± 11 Ma a 688 ± 2 Ma Pb/Pb, granitos; 688 ± 10 Ma Pb/Pb, sienitos	Cristalização fracionada, mistura de magmas e assimilação crustal	A intrusão granítica está separada por uma falha da intrusão sienítica. Atuação de <i>minging</i> na geração dos enclaves	Correia Gomes (2000); Santos (2016); Santos <i>et al.</i> (2018), Rosa <i>et al.</i> (2003)
Batólio Serra das Araras	220	Sienitos e granitos	Contatos controlados por falhas com o Stock Rio Pardo. Sienitos nas bordas do corpo e granitos na porção central	Foliação magnmática	Kfs, Pl, Ne, Qz, Di, Amp, Bt	739 ± 2 Ma Pb/Pb, sienito	Cristalização fracionada	Única intrusão com apenas rochas supersaturadas em SiO <sub>2</sub> da PASEBA	Rosa <i>et al.</i> (2005a)
Batólio Itarantim	230	Nefelina sienito e sienito alcalino com nefelina	Rochas magnáticas englobadas por fenitos que ocupam 45% da área aflorante	Orientação do pluton SW-NE	Kfs, Pl, Ne, Aeg-Aug, Bt, Amp	727 ± 49 Ma Rb/Sr; 720 ± 9 Ma e 732 ± 24 Ma Pb/Pb, sienito	Cristalização fracionada	Expressiva transformação metassomática. Rochas extraídas para produzir flux utilizado na indústria da cerâmica e vidraaria	Rosa <i>et al.</i> (2004); Rosa <i>et al.</i> (2005b)
Stock Itajú do Colônia	2	Foidolito e <i>Foid</i> -sienito	Granulação muito fina e friável, com grande presença de vénulas brancas	Foliação magnmática	Kfs, Sdl, Ne, Pl, Aeg	732 ± 8 Ma K/Ar, <i>Foid</i> -sienito	Fluidos metassomáticos	Maior reserva de sodalito e sodalita sienito de coloração azul do Brasil. Presença de piroláro rico em Nb	Cordani <i>et al.</i> (1974); Pimenta <i>et al.</i> (2014); Pimenta <i>et al.</i> (2015)
Stock Nefelina Sientítico Serra da Gruta	4	<i>Foid</i> sienitos e alcali-feldspato sienito	Contatos gradativos entre diferentes tipos de sienitos	Presença de diques fonoíticos com foliação de fluxo magnático	Kfs, Ne, Sdl, Ccn, Bt	724 ± 5 Ma Pb/Pb, sienito	Cristalização fracionada	As rochas mais primitivas encontram-se nas bordas do corpo e possuem menores teores de feldspatóides	Rosa <i>et al.</i> (2012); Rosa <i>et al.</i> (2015)
Stock Rio Pardo	46	<i>Foid</i> sienitos e sienitos	Os sienitos variam verticalmente	Foliação magnmática	Bt, Aeg-Aug, Amp	725 ± 2 Ma Pb/Pb, sienito	Cristalização fracionada	Presença de minas para a exploração de sodalita sienito;	Rosa <i>et al.</i> (2005c); Oliveira (2010); Menezes <i>et al.</i> (2012)

## **1.3 LOCALIZAÇÃO DA ÁREA**

O Batólito Sienítico Itabuna ( $450 \text{ km}^2$ ) aflora no sul da Bahia e as rochas desta intrusão distribuem-se pelos municípios de Itabuna, Itajuípe e Ilhéus. Estes municípios ocorrem inseridos na Folha Itabuna (SD.24-Y-B-VI).

A cidade de Itabuna dista 631 km de Aracaju e 436 km de Salvador. O acesso a essa cidade pode ser feito por avião, navio e por rodovias. As principais vias de acesso terrestre ao BSI são a BR-101, BR-415 e BA-663 (Figura 1).

## **1.4 MATERIAIS E MÉTODOS**

Este estudo foi estruturado em cinco etapas complementares, visando atingir o seu objetivo. As etapas realizadas foram: levantamento bibliográfico, petrografia, química mineral, tratamento dos dados e a elaboração da dissertação.

### ***1.4.1. Levantamento Bibliográfico***

Ao se iniciar o estudo procurou-se familiarizar com as informações disponíveis na bibliografia sobre a petrologia das rochas alcalinas subsaturadas em  $\text{SiO}_2$  e a Província Alcalina do Sul do Estado da Bahia, particularmente sobre o Batólito Sienítico Itabuna. Neste contexto deu-se atenção especial aqueles trabalhos que tratavam da química mineral de rochas alcalinas. Foram consultados artigos em jornais científicos (e.g. *Brazilian Journal of Geology*, *Lithos*, *Journal of South American Earth Sciences*), teses de doutorado (Correa-Gomes, 2000; Oliveira 2010; Peixoto, 2005; Santos, 2020), dissertações de mestrado (Santos, 2016) e publicações em eventos científicos (Conceição *et al.*, 1992). Atenção especial foi dada às informações presentes no projeto de geologia básica realizado pelo Serviço Geológico do Brasil (CPRM) intitulado Folha Itabuna (Arcanjo, 1993), assim como a tese de doutorado de Peixoto (2005) sobre o BSI.

### ***1.4.2. Petrografia***

A coleção de lâminas delgadas sobre o BSI foi estudada. O estudo mineraloquímico foi feito em lâminas delgadas polidas representativas de rochas do BSI, elas foram: 4 de sienitos; 2 de monzonitos e 1 de *fooid* sienito.

As lâminas delgadas polidas foram investigadas com auxílio de microscópio ótico (luz transmitida e refletida) e eletrônico de varredura.

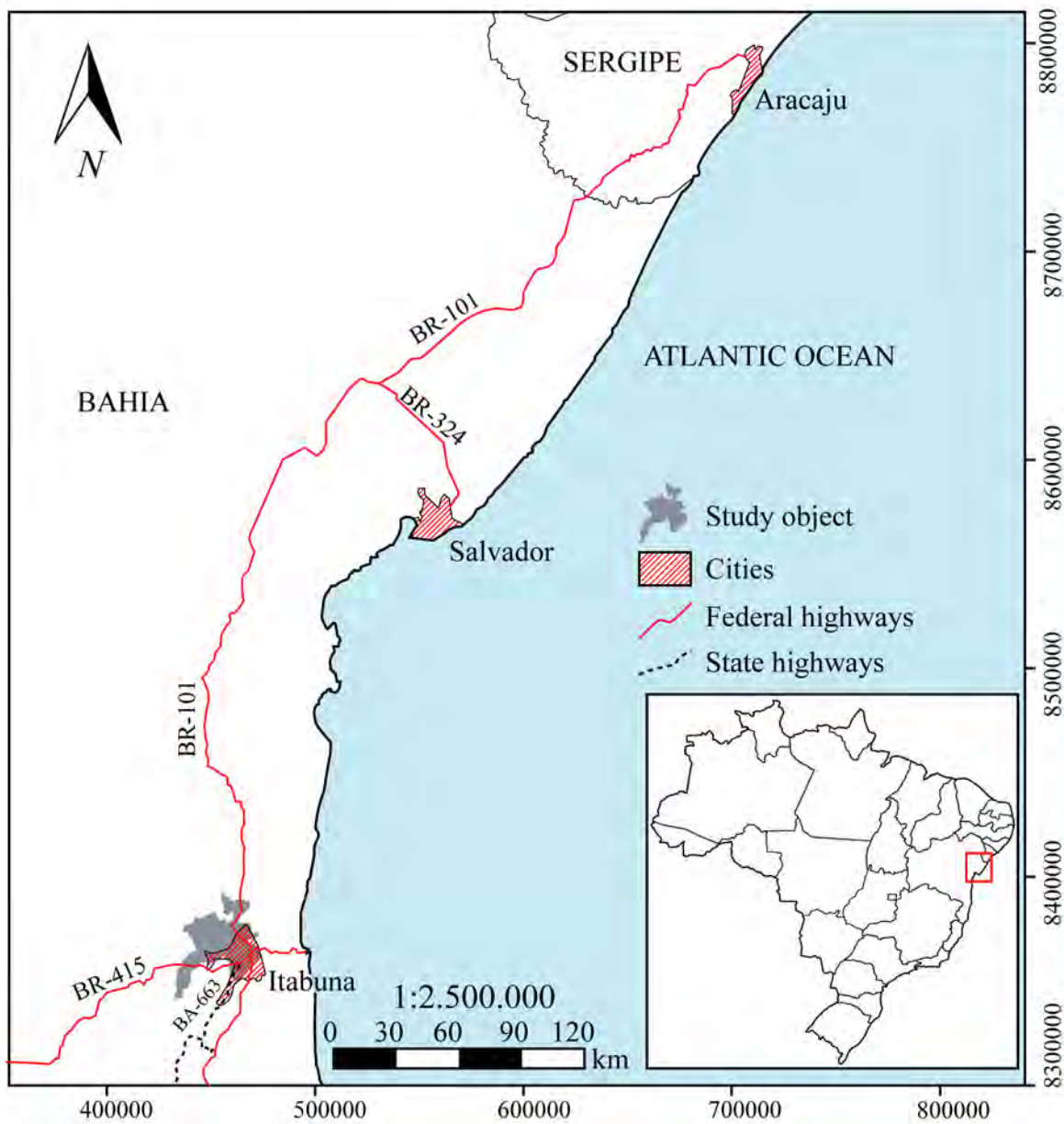


Figura. 1. Mapa esquemático com a localização e acessos ao Batólito Sienítico Itabuna, ilustrado em cinza.

Na primeira parte do estudo petrográfico identificou-se os minerais e descreveu-se as texturas presentes nas rochas. Utilizou-se microscópios trinocular com luz transmitida e refletida da marca Opton®, modelo TNP – 09T do Laboratório de Microscopia e Metalografia do Condomínio de Laboratórios Multiusuários das Geociências da Universidade de Sergipe (CLGeo-UFS). A moda foi estabelecida por estimativa visual de 40 campos, não superpostos, por lâmina. Posteriormente, estas mesmas lâminas foram metalizadas com carbono e suas texturas investigadas com auxílio das imagens eletrônicas obtidas com os detectores de elétrons retroespalhados (*Backscattered Electron*) e de catodoluminescência. Estes detectores encontram-se instalados no Microscópio Eletrônico de Varredura (MEV, Tescan®, modelo Vega 3-LMU) do CLGeo-UFS. Nessa etapa foram selecionados os cristais para serem analisados a composição química.

#### **1.4.3. Química Mineral**

As composições químicas pontuais dos minerais nesta dissertação foram obtidas com os espectrômetros de: (1) comprimento de onda (WDS = *Wavelength Dispersive Spectroscopy*) instalado em microssonda eletrônica (EPMA = *Electron Probe Microanalyzer*) Jeol® (JXA-8230) do Laboratório de Microanálises da Universidade do Pará e (2) energia dispersiva (EDS = *Energy Dispersive Spectroscopy*) acoplado ao MEV do CLGeo.

As análises obtidas com o WDS foram realizadas biotita, anfibólio e clinopiroxênio. As condições analíticas utilizadas no WDS-EPMA foram: tensão de 15 kv, intensidade de feixe 20 nA e diâmetro de 10 µm. O tempo de contagem foi de 20 s e 40 s para os elementos maiores e menores respectivamente. Os padrões utilizados para a calibração da EPMA foram: fluorita (F), sodalita (Na<sub>2</sub>O), diopsídio (MgO), anortita (Al<sub>2</sub>O<sub>3</sub>), ortoclásio (SiO<sub>2</sub>, K<sub>2</sub>O), wollastonita (CaO), celestina (SiO), magnetita (FeO), rodonita (MnO), barita (BaO), rutilo (TiO<sub>2</sub>), vanadita (V<sub>2</sub>O<sub>3</sub>), Cr<sub>2</sub>O<sub>3</sub> (Cr<sub>2</sub>O<sub>3</sub>) e NiO (NiO).

Foram analisados com EDS-MEV feldspatos, feldspatoides, prioxênios, minerais opacos, zirconolita. As condições analíticas utilizadas no EDS-MEV foram: tensão de 20 kv, intensidade de 17 nA, feixe de elétrons com 0,4 µm de diâmetro e tempo de contagem médio de 60 s. O programa de processamento de dados foi o AZtecEnergy versão 4.0 da *Oxford Instruments*, rotina Quant®, que realiza as correções ZAF (Z = número atômico, A = absorbância e F = fluorescência). Durante o processo analítico corrigiu-se os falsos picos, picos de escape e picos coincidentes de energia, como sugerido por Newbury (2009). A precisão e confiabilidade das análises foram verificadas com análises de um padrão *universal metal, mineral mount* da *Astimex Scientific Ltd*®.

#### **1.4.4. Tratamento dos Dados**

As fórmulas estruturais dos minerais foram calculadas segundo as recomendações de Deer *et al.* (2013). Os cálculos do Fe<sup>2+</sup> e Fe<sup>3+</sup> do piroxênio, magnetita, ilmenita foram realizados conforme as recomendações de Droop (1987) e para o anfibólio aplicou-se o método de Schumacher (1991). Na biotita a estimativa do Fe<sup>2+</sup> e Fe<sup>3+</sup> foi feita segundo De Bruijn *et al.* (1982). A abreviação dos nomes minerais seguiu a recomendações de Whitney and Evans (2010).

#### **1.4.5. Elaboração da Dissertação**

A estruturação da dissertação seguiu as recomendações da Resolução 01/2018/PGAB do Programa de Pós-Graduação em Geociências e Análises de Bacias. O primeiro capítulo introduz o tema, apresenta-se o objetivo e metodologia, assim como a síntese sobre o conhecimento geologia regional, listando-se a bibliografia utilizada. O segundo capítulo foi estruturado na forma de artigo, conforme as normas da *Journal of South American Earth Sciences*. O terceiro capítulo apresenta-se as conclusões. Tem-se igualmente os apêndices com tabelas apresentando os resultados analíticos obtidos.

### **1.5. REFERÊNCIAS BIBLIOGRÁFICAS**

- Arcanjo, J.B.A. 1993. Programa Levantamentos Geológicos Básicos do Brasil. Itabuna, Folha SD.24-YB-VI, escala 1:100.000. CPRM, Brasília, 276p.
- Barbosa de Deus, P., Rangel P.A., Silveira, W.P., Viana, I.A., Alecrim, J.D., Villas Boas, A., Pamponet, L.T.C., Araújo, J.B., Rodrigues, J.B., Cardoso, P.C.S., Vasconcellos, H.G., Garrido, I.A.A., Ribeiro, W., Bezerra, A.T., Rego, J.E., Silva, N.S., Siqueira, L.P., Bezerra, J.C.L., Souto P.G. 1976. *Textos e fichas petrográficas*. In: *Projeto Rochas Alcalinas de Itarantim - Fase I*. Salvador, SME-CPM, 160 p.
- Barbosa, J.S., Mascarenhas, J.F., Correa-Gomes, L.C., Dominguez, L.M., Santos de Souza, J. 2012. Geologia da Bahia: pesquisa e atualização. Série publicações especiais, Salvador, CBPM. 559p.
- Conceição, H., Arcanjo, J.B.A., Oliveira, J.E. 1992. Província Alcalina do Sul da Bahia: reflexões sobre o estado do conhecimento. In: CONGRESSO BRASILEIRO DE GEOLOGIA, 37, São Paulo, 1992, *Boletim de Resumos Expandidos*, São Paulo, SBG, 84-85.
- Cordani, U.G. 1973. Evolução Geocronológica Pré-cambriana na Faixa Costeira do Brasil entre Salvador e Vitória. Tese de Livre Docência. Universidade de São Paulo, São Paulo, 107p.

- Cordani, U.G, Bernat, M., Teixeira, W., Kinoshita, H., 1974. Idades Radiométricas das Rochas Alcalinas do Sul da Bahia. In: XXVIII CONGRESSO BRASILEIRO DE GEOLOGIA, Porto Alegre-RS. SBG, *Anais*, **6**: 253-259.
- Corrêa Gomes, L.C. 2000. *Evolução Dinâmica da Zona de Cisalhamento Neoproterozóica de Itabuna-Itajú do Colônia e do Magmatismo Fissural Alcalino Associado (SSE do Estado da Bahia, Brasil)*. Instituto de Geociências, Universidade Estadual de Campinas, Tese de Doutorado, 239p.
- De Bruyn, H., Van Der Westhuizen, W.A., Schoch, A.E. 1982. The estimation of FeO, F and H<sub>2</sub>O+ by regression in microprobe analyses of natural biotite. *Journal of trace and microprobe techniques*, **1**(4): 399-413.
- Deer, W.A., Howie, R.A., Zussman, J. 2013. *An introduction to the Rock-Forming Minerals*. (3º ed.) London: Longman. 498 p. <https://doi.org/10.3749/canmin.51.4.663>
- Droop G.T.R. 1987. A general equation for estimating Fe<sup>3+</sup> concentrations in ferromagnesian silicates and oxides from microprobe analyses, using stoichiometric criteria. *Mineralogical Magazine*, **51**(361): 431-435. <https://doi.org/10.1180/minmag.1987.051.361.10>
- Fujimori, S. 1967. Rochas Alcalinas do Sul do Estado da Bahia. Notas Preliminares e Estudos da Divisão de Geologia e Mineralogia do DNPM. Rio de Janeiro, 14p.
- Fujimori, S. 1978. *As Rochas Alcalinas da Fazenda Hiassu, Itajú do Colônia, Bahia*. Sociedade Brasileira de Geologia, Núcleo Bahia, **2**:117p. Gill, R. 2014. *Rochas e processos ígneos: um guia prático*. Bookman Editora.
- Gomes, C.B., Comin-Chiaromonti, P. 2017. *Magmatismo alcalino continental da região meridional da Plataforma Brasileira*. Edusp.
- Hussain, A., Zhao, K.D., Arif, M., Palmer, M.R., Chen, W., Zhang, Q., Li, Q., Jiang, S., Girei, M.B. 2020. Geochronology, mineral chemistry and genesis of REE mineralization in alkaline rocks from the Kohistan Island Arc, Pakistan. *Ore Geology Reviews*, **126**: 103749. <https://doi.org/10.1016/j.oregeorev.2020.103749>
- Khomyakov, A.P. (1995) Mineralogy of hyperagpaitic alkaline rocks. Oxford Scientific Publications. Clarendon Press, Oxford, 222 pp.
- Lima, M.I.C., Fonsêca, E.G., Oliveira, E.P., Ghignone, J.I., Rocha, R.M., Carmo, U.F., Silva, J.M.R., Siga Junior, O. 1981. Folha SD. 24 Salvador; geologia, geomorfologia, pedologia, vegetação e uso potencial da terra. Projeto RADAMBRASIL , 24-192p.
- Menezes, R.D.C.L., Conceição, H., Rosa, M.L.S., Macambira, M.J.B., Galarza, M.A., Rios, D.C. 2012. Geoquímica e geocronologia de granitos anorogênicos tonianos (ca. 914–899 ma) da Faixa Araçuaí no sul do Estado da Bahia. *Geonomos*, **20**(1), 1-13. <https://doi.org/10.18285/geonomos.v20i1.21>

- Newbury, D.E. 2009. Mistakes encountered during automatic peak identification of minor and trace constituents in electron excited energy dispersive X-ray microanalysis. *Scanning: The Journal of Scanning Microscopies*, **31**(3): 91-101. <https://doi.org/10.1002/sca.20151>
- Oliveira, R.C.L.M., 2010. Idade, petrografia e geoquímica do magmatismo anorogênico criogeniano e toniano no sul do estado da Bahia. Programa de Pós-graduação em Geologia, Universidade Federal da Bahia, Tese de doutorado, 112p.
- Pedreira, A.J., Araújo, A.A.F., Pedrosa, C.J., Arcanjo, J.B.A., Oliveira, J.E., Guimarães, J.T., Branco, P.M., Azevedo, R.R., Souza, S.L., Neves, J.P., Mascarenhas, J.F., Blade, L.V. 1975. *Projeto Bahia II. Geologia da Bacia de Rio de Contas. Relatório final*. Salvador, DNPM/CPRM.
- Peixoto, A.A. 2005. *Aspectos geológicos, petrológicos e geoquímicos do plutonismo miasquítico Brasiliano da região Sul do Estado da Bahia: Batólito Sienítico Itabuna*. Programa de Pós-graduação em Geologia, Universidade Federal da Bahia, Tese de Doutorado, 154p.
- Pimenta, A.C.S., Conceição, H., Rosa, M.L.S. 2014. Mineralogia das Vênulas Brancas e do Material Afanítico Preto em Planos de Fraturas em Sodalititos de Cor Azul do Stock Itajú do Colônia, Bahia. *Scientia Plena*, **10**(5).
- Pimenta, A.C.S., Santos, J.J.A., Rosa, M.L.S., Conceição, H. 2015. Pirocloro no Stock Itajú do Colônia, Sul do Estado da Bahia, Nordeste do Brasil. *Scientia Plena*, **11**(1). 10.13140/2.1.3049.7608
- Rosa, M.L.S., Conceição, H., Macambira, M.J.B., Marinho, M.M., Cunha, M.P., Menezes, R.C.L. 2004. Idade Pb-Pb e aspectos petrológicos da mineralização em sodalita azul no Maciço Nefelina-Sienítico Itarantim, Sul do Estado da Bahia. *Revista Brasileira de Geociências*, **34**(3): 347-354.
- Rosa, M.L.S., Conceição, H., Macambira, M.J.B., Marinho, M.M., Menezes, R.C.L., Cunha, M.P.D., Rios, D.C. 2005a. Magmatismo neoproterozóico no sul do Estado da Bahia, maciço sienítico Serra das Araras: Geologia, petrografia, idade e geoquímica. *Revista Brasileira de Geociências*, **35**(1): 111-121. 10.25249/0375-7536.2005351111121
- Rosa, M.L.S., Conceição, H., Macambira, M.J.B., Menezes, R.C.L., Cunha, M.P., Rios, D.C., Marinho, M.M. 2005b. Magmatismo alcalino intraplaca neoproterozóico no sul do estado da Bahia: o batólito nefelina-sienítico itarantim. *Revista Brasileira de Geociências*, **35**(4): 47-58. 10.25249/0375-7536.200535S44758
- Rosa, M.L.S., Conceição, H., Moura, C.A.V., Macambira, M.J.B., Marinho, M..M., Leal, R.C.M., Cunha, M.P. Rios, D.C. 2005c. Assinatura mantélica de isótopos de carbono e oxigênio em cristais de calcita de rochas foid-sieníticas da Província Alcalina do Sul do Estado da Bahia. *Revista Brasileira de Geociências*, **35**(4).

- Rosa, M.L.S., Conceição, H., Menezes, R.C.L., Macambira, M.J.B., Galarza, M.A., Cunha, M.P., Menezes, R.C.L., Marinho, M.M., Cruz Filho, B.E., Rios, D.C. 2007. Neoproterozoic anorogenic magmatism in the southern Bahia alkaline Province of NE Brazil. *Lithos*, **97**(1): 88-97. <https://doi.org/10.1016/j.lithos.2006.12.011>
- Rosa, M.L.S., Oliveira, J.A., Conceição, H., Rios, D.C., Pimenta, A.C.S., Santos, J.J.A. 2012. Petrografia do Stock Nefelina Sienítico Serra da Gruta, Província Alcalina do Sul do Estado da Bahia. *Scientia Plena*, **8**:11.
- Rosa, M.L.S., Oliveira, J.A., Conceição, H., Conceição, J.A., Macambira, M.J.B., Galarza, M.A. 2015. Idade Pb-Pb do Stock Nefelina Sienítico Serra da Gruta, Província Alcalina do Sul do Estado da Bahia. *Scientia Plena*, **11**(3).
- Santos, J.J.A. 2016. *Intrusão sienítica do Complexo Alcalino Floresta Azul, Bahia: mineralogia e geoquímica*. Programa de Pós-Graduação em Geociências e Análise de Bacias, Universidade Federal de Sergipe, Dissertação de Mestrado, 218p.
- Santos, J. J. A., Conceição, H., Leandro, M. V. S., Rosa, M. L. S. (2018). Formation of monazite-(Ce, La) by fluid-apatite interaction: the Floresta Azul Alkaline Complex, Bahia, Brazil. *Brazilian Journal of Geology*, **48**(4), 721-733. <http://dx.doi.org/10.1590/2317-4889201820180069>
- Santos, J.J.A. 2020. *Petrogênese do Complexo Alcalino Floresta Azul, Sul do Estado da Bahia*. Programa de Pós-graduação em Geologia, Universidade Federal da Bahia, Tese de Doutorado, 192p.
- Silva Filho, M.A., Moraes Filho O., Gil C.A.A., Santos, R.A. 1974. Projeto Sul da Bahia, Folha SD. 24-YD. *Relatório Final, Convênio DNPM/CPRM*, 1, 164.
- Schumacher, J.C. 1991. Empirical ferric iron corrections: necessity, assumptions, and effects on selected geothermobarometers. *Mineralogical Magazine*, **55**(378): 3-18. <https://doi.org/10.1180/minmag.1991.055.378.02>
- Sørensen, H. (ed.) 1974. *The Alkaline Rocks*. New York, John Wiley, 622p.
- Sørensen, H. 1987. *The agpaitic rocks - an overview*. Mineralogical Magazine, **61**(3): 485-498.
- Teixeira, W., Kamo S.L., Arcanjo, J.B.A. 1997. U-Pb zircon and baddeleyite age and tectonic interpretation of the Itabuna alkaline suite, São Francisco Craton, Brazil. *Journal of South American Earth Sciences*, **10**(1): 91-98. [https://doi.org/10.1016/S0895-9811\(97\)00008-4](https://doi.org/10.1016/S0895-9811(97)00008-4)
- Wilson, B.M. 1989. Igneous Petrogenesis A Global Tectonic Approach. Springer, 466p. <https://doi.org/10.1007/978-94-010-9388-0>
- Whitney, D.L., Evans, B.W. 2010. Abbreviations for names of rock-forming minerals. *American mineralogist*, **95**(1): 185-187.

***CAPÍTULO 2: MINERALOQUÍMICA DAS  
ROCHAS DO BATÓLITO SIENÍTICO  
ITABUNA, SUL DO ESTADO DA BAHIA***

# MINERALOQUÍMICA DAS ROCHAS DO BATÓLITO SIENÍTICO ITABUNA, SUL DO ESTADO DA BAHIA

*Mineralochemistry of the rocks of the Sienitic Itabuna Batolith, Souther of Bahia State*  
Mineraloquímica do Batólito Sienítico Itabuna

Marcel Vinicius Santos Leandro<sup>1</sup>, Herbet Conceição<sup>1</sup>, Maria de Lourdes da Silva Rosa<sup>1</sup>,  
Gisele Tavares Marques<sup>2</sup>, Claudio Nery Lamarão<sup>2</sup>

<sup>1</sup> Universidade Federal de Sergipe - UFS, Pós-Graduação em Geociências e Análise de  
Bacias, Laboratório de Petrologia Aplicada à Pesquisa Mineral, Avenida Marechal  
Rondon, s/n, Jardim Rosa Elze, CEP 49400-000, São Cristóvão, SE, Brasil. 75 9 9856-  
2446 (marcel.geo@academico.ufs.br; herbet@academico.ufs.br;  
lrosa@academico.ufs.br)

<sup>2</sup> Universidade Federal do Pará - UFPA, Belém, PA, Brasil. (gisele.ufpa@gmail.com;  
lamarao@ufpa.br)

## RESUMO

O Batólito Sienítico Itabuna ( $450 \text{ km}^2$ ), com idade de 476 Ma, é intrusivo em rochas granulíticas do Cráton São Francisco e faz parte da Província Alcalina do Sul do Estado da Bahia. Esse batólito neoproterozoico é constituído por sienitos, monzonitos, *foi*d sienitos, dioritos e gabros. Rochas representativas do batólito foram estudadas por petrografia ótica e eletrônica (MEV) e as análises químicas pontuais foram obtidas com WDS e EDS. As rochas possuem granulação que varia de fina a grossa. Os minerais presentes são: feldspatos alcalinos, plagioclásio, nefelina, anfibólito, clinopiroxênio, biotita apatita, sodalita, cancrinita, ilmenita, magnetita, pirita, calcopirita, zirconolita, olivina, allanita, baddeleyita, zircão, calcita, monazita, titanita, barita, bastnásita e thorita. A matriz em algumas rochas é composta essencialmente por feldspatos alcalinos (albita e microclina), plagioclásio e nefelina. Identificou-se feldspatos alcalinos pertítico, anti-pertítico, albita, microclina e plagioclásio com composições de albita até labradorita. A mica marrom corresponde a siderofilita, lepidomelano e Fe-biotita. O clinopiroxênio tem composições de diopsídio, hedenbergita e augita. Os anfibólitos são de variedades cárcea, Fe-Mg-Mn-Li e Na-Ca. Os dados químicos indicam que os cristais de biotita, anfibólito, allanita e zirconolita são primários. Os cristais de clinopiroxênio registram temperaturas máximas de 939 °C no *foi*d sienito, 959 °C nos sienitos e 916 °C no monzonito, com cristalização sob alta fugacidade de oxigênio. A pressão máxima obtida em cristal de clinopiroxênio de monzonito foi de 5,2 kbar. A biotita registra temperatura e pressão

máximas de 797 °C e 2,2 kbar, respectivamente. A exsolução ilmenita-magnetita processou-se a temperaturas inferiores 600 °C. A compilação e interpretação dos dados gerados permitem inferir a cristalização fracionada como principal processo responsável pela evolução das rochas do Batólito Sienítico Itabuna, de forma semelhante ao observado em outros corpos da província.

**Palavras-chave:** Química mineral; Rochas subsaturadas em SiO<sub>2</sub>; Parâmetros intensivos.

## ABSTRACT

The Itabuna Sienitic Batholith (450 km<sup>2</sup>, 476 Ma) is intrusive in granulitic rocks of the São Francisco Craton and is part of the Southern Bahia Alkaline Province. This neoproterozoic batholith consists of syenites, monzonites, foid syenites, diorites and gabbros. Representative rocks from this batholith were studied with optical petrography and Scanning Electron Microscopy (SEM) and spot chemical analyzes were obtained with EDS and WDS. The rocks have fine to coarse gran size. The minerals present are alkali feldspars, plagioclase, nepheline, amphibole, clinopyroxene, biotite, apatite, sodalite, cancrinite, ilmenite, magnetite, pyrite, chalcopyrite, zirconolite, olivine, allanite, baddeleyite, zircon, calcite, monazite, titanite, barite, bastnasite and thorite. The matrix is composed mainly of alkali feldspars, plagioclase and nepheline. Perthitic and antiperthitic intergrown, albite, microcline and plagioclase with compositions from albite to labradorite were identified. Brown mica corresponds to crystals of siderophyllite, lepidomelane and Fe-biotite. Clinopyroxene has compositions of diopside, hedenbergite and augite. Amphiboles is of Ca, Fe-Mg-Mn-Li and Na-Ca varieties. Chemical data indicates that biotite, amphibole, allanite and zirconolite are primary crystals. Clinopyroxene crystals register maximum temperatures of 939 °C in the foid syenite, 959 °C in the syenites and 916 °C in the monzonites with maximum pressures of 5.2 Kbar in the monzonite crystals, and predominately high oxygen fugacity. Biotite crystals register maximum temperatures and pressures of 789 °C and 2.1 kbar. Ilmenite-magnetite exsolution occurred at temperatures below 600 °C. The compilation and interpretation of the data allow us to infer fractional crystallization as the main process responsible for the evolution of the rocks from the Itabuna Sienitic Batholith, similarly, to already proposed for other bodies of the province.

**Keywords:** Mineral chemistry; SiO<sub>2</sub> subsaturated rocks; Intensive parameters.

## INTRODUÇÃO

No Cráton do São Francisco existem diversos conjuntos de rochas alcalinas de diferentes idades (Conceição, 1990), porém as únicas subsaturadas em sílica encontram-se na Província Alcalina do Sul do Estado da Bahia (PASEBA, Rosa et al., 2017). Na década de 1960 pesquisadores, instigados pela presença do magmatismo subsaturado em sílica e a necessidade de ampliação do uso de novas áreas para a cultura do cacau, iniciaram estudos geológicos na região sul da Bahia (e.g. Souto, 1972; Silva Filho et al., 1974; Barbosa de Deus et al., 1976; Lima et al., 1981; Oliveira, 2010 e as referências neles citadas). Como resultado das pesquisas caracterizou-se a PASEBA como formada por várias intrusões alcalinas (diques, *stocks* e batólitos) e que esses corpos têm composições de sienitos, *fooid* sienitos, litchfielditos (*fooid* álcali-feldspato sienito), granitos e monzonitos posicionados no Neoproterozoico (Lima et al., 1981; Teixeira et al., 1997; Rosa et al., 2007; Oliveira, 2010; Santos, 2020).

O Batólito Sienítico Itabuna (BSI, 450 km<sup>2</sup>) é o maior dos corpos da PASEBA e é a mais jovem intrusão desta província (676 Ma - Teixeira et al., 1997). O BSI é constituído por sienitos, monzonitos, *fooid* sienitos, dioritos e gabros. Existem estudos petrográfico e geoquímico para o BSI (e.g. Oliveira et al., 1980; Peixoto, 2005), entretanto até o momento não há estudos de química mineral para as rochas BSI. Este artigo apresenta os primeiros dados químicos dos minerais das rochas do BSI, infere e discute o significado dos valores de temperatura, pressão e fugacidade de oxigênio obtidas para a cristalização destas rochas.

## CONTEXTO GEOLÓGICO

A PASEBA (Figura 1) é formada por batólitos (Itarantim, Serra das Araras, Floresta Azul e Itabuna), *stocks* (e.g. Itaju do Colônia, Rio Pardo, Serra da Gruta) e diques (fonolíticos, basálticos, tinguaíticos e riolíticos).

O BSI tem forma alongada sentido NE-SW limitado por falhas, sugerindo o controle tectônico regional (Figura 1). É intrusivo em granulitos arqueano-paleoproterozoicos dos complexos metamórficos São José e Ibicaraí-Buerarema do Orógeno Itabuna-Salvador-Curaçá (Barbosa et al., 2012). Os contatos entre as rochas do BSI e as metamórficas são abruptos e marcados pela presença de abundantes diques de fonólitos, basaltos, traquitos e fenitos localmente (Peixoto, 2005).

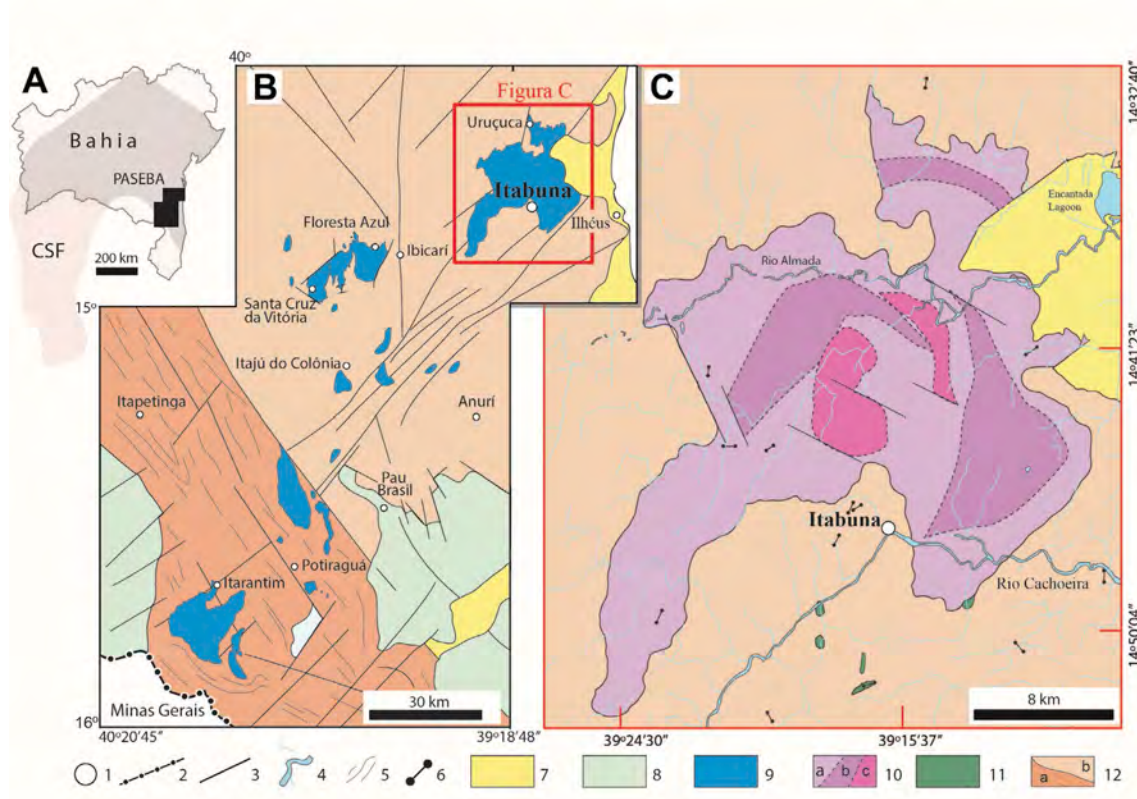


Figura 1. Esquemas geológicos da área de estudo. (A) Contorno do Estado da Bahia com o Cráton São Francisco (CSF) em cinza e o polígono preto delimita a área da Província Alcalina do Sul do Estado da Bahia (PASEBA). (B) Esboço geológico da PASEBA (Rosa et al., 2007). (C) Esquema geológico do Batólito Sienítico Itabuna segundo Peixoto (2005). 1: cidades; 2: limite interestadual; 3: falhas e fraturas; 4: rios e lagos; 5: lineamentos obtidos por sensoriamento remoto; 6: diques; 7: sedimentos recentes; 8: metassedimentos do mesoproterozoico; 9: intrusões alcalinas neoproterozoicas; 10: Batólito Sienítico Itabuna (a: sienitos; b: monzonitos; c: nefelina sienitos); 11: gabros e dioritos; 12a: gnaisse-migmatitos do Complexo Itapetinga; 12b: granulitos do Orógeno Itabuna-Salvador-Curaçá (Barbosa et al., 2012).

As publicações disponíveis sobre os corpos alcalinos da PASEBA evidenciaram que as histórias petrológicas das intrusões são complexas e envolveram processos de cristalização fracionada, mistura de magmas e autometassomatismo (Peixoto, 2005; Rosa et al., 2005a, b; Oliveira, 2010; Santos et al., 2018, 2021; Santos, 2020).

Rosa et al. (2007) ao integrar os novos dados geocronológicos obtidos com os disponíveis na literatura identificaram que o magmatismo alcalino da PASEBA durou 58 Ma (734 – 676 Ma). O magmatismo alcalino da PASEBA é relacionado por Rosa et al. (2007) à estruturação de rifte associado a fragmentação de Rodínia.

Os estudos anteriores realizados no BSI (e.g. Oliveira et al., 1980; Teixeira et al., 1997; Corrêa Gomes, 2000; Peixoto, 2005) identificam que a estruturação deste batólito é complexa. Peixoto (2005) com base em dados de campo, estrutura, texturas e geoquímica de rocha total sugere que os processos de mistura entre magmas basáltico alcalino e fonolítico, associado a cristalização fracionada são responsáveis pela formação das rochas do BSI (Figura 1C).

O BSI, segundo Peixoto (2005), é composto por quatro tipos de rochas: sienitos (~ 65% da área do batólito), monzonitos (~ 24% da área), *foi*d sienitos (~ 9% da área), dioritos e gabros (~ 2% da área). Os sienitos são caracterizados por estrutura maciça e em poucos afloramentos observa-se a presença de foliação de fluxo magmático. Os contatos entre os diferentes tipos de rochas do BSI são transicionais sugerindo coexistência entre magmas com diferentes graus de fracionamento. Enclaves maficos microgranulares (Figura 2), diques básicos e pegmatíticos são abundantes. Os enclaves variam de coloração, forma, tamanho e são mais maficos nos monzonitos (Peixoto, 2005). Os *foi*d sienitos com nefelina encontram-se na porção central do corpo e apresentam granulação média a pegmatítica. Dioritos e gabros são as rochas menos alcalinas e diferenciadas do BSI e ocorrem como diques e enclaves.

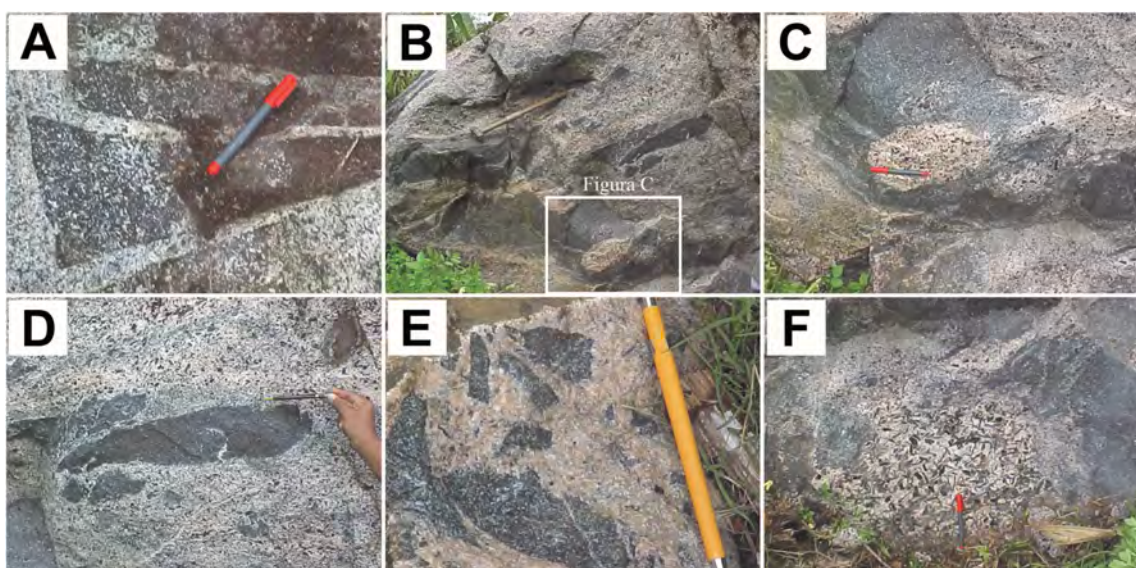


Figura 2. Imagens de afloramentos representativos das rochas do Batólito Sienítico Itabuna. (A) Enclaves angulosos de sienitos ricos em biotita em sienito leucocrático. (B) Sienito com enclaves dioríticos. (C) Zoom da imagem (B) tem-se enclave arredondado de sienito rosado no interior de enclaves dioríticos (cor cinza). (D) Enclave diorítico de granulação fina, em vários tamanhos e formas alongadas, em sienito com feições de mistura (cor cinza do sienito mais escura próxima aos enclaves dioríticos). (E) Xenólitos maficos angulosos em sienitos. (F) Bolsões pegmatíticos sienitos inclusos em enclave dioríticos (cor cinza).

## MATERIAIS E MÉTODOS

O estudo petrográfico do BSI foi baseado na análise de 160 lâminas delgadas. Deste conjunto foram selecionadas para o estudo mineraloquímico quatro amostras representativas de sienito, duas de monzonito e uma de *feld* sienito. As descrições petrográficas das lâminas delgadas polidas foram realizadas com microscópio petrográfico trinocular, da marca Optron®, modelo TNP – 09T com luz transmitida e refletida. Posteriormente as lâminas foram investigadas, após metalização com carbono, com Microscópio Eletrônico de Varredura (MEV) modelo Tescan® do Condomínio de Laboratórios Multiusuários das Geociências, da Universidade Federal de Sergipe (CLGeo-UFS).

As análises químicas dos minerais foram feitas utilizando-se espectrômetros de comprimento de onda (WDS) e de energia dispersiva (EDS). As análises com WDS foram realizadas em cristais de biotita, anfibólio e clinopiroxênio no Laboratório de Microanálises da Universidade Federal do Pará, utilizando-se de microssonda eletrônica (EPMA) Jeol® (JXA-8230). As condições analíticas utilizadas do EPMA foram: tensão de 15 kv, intensidade de feixe 20 nA e diâmetro de 10 µm. Tempo de contagem de 20 s e 40 s para os elementos maiores e menores respectivamente. Os padrões utilizados para a calibração foram: fluorita (F), sodalita (Na<sub>2</sub>O), diopsídio (MgO), anortita (Al<sub>2</sub>O<sub>3</sub>), ortoclásio (SiO<sub>2</sub>, K<sub>2</sub>O), wollastonita (CaO), celestina (SrO), magnetita (FeO), rodonita (MnO), barita (BaO), rutilo (TiO<sub>2</sub>), vanadita (V<sub>2</sub>O<sub>3</sub>), Cr<sub>2</sub>O<sub>3</sub> (Cr<sub>2</sub>O<sub>3</sub>) e NiO (NiO).

As análises com EDS foram obtidas em allanita, anfibólio, apatita, baddeleyita, barita, bastnásita, biotita, cancrinita, carbonatos, feldspato alcalino, ilmenita, monazita, nefelina, olivina, piroxênio, plagioclásio, sodalita, thorita, titanita, zircão e zirconolita. Elas foram realizadas em equipamento da Oxford Instruments® (X-Act) instalado no MEV do CLGeo-UFS.

Condições analíticas no MEV foram: tensão de 20 kv, intensidade de 17 nA, feixe de elétrons com 0,4 µm de diâmetro e tempo de contagem médio de 60 s. O programa de processamento de dados foi o AztecEnergy, versão 4.0, da Oxford Instruments®, rotina Quant, que se utiliza das correções ZAF para processar os resultados. Houve igualmente a correção dos falsos picos, picos de escape e picos coincidentes de energia, como sugerido por Newbury (2009).

A precisão e confiabilidade dos resultados foram verificadas com a análise de padrões mineral da *Astimex Scientific Ltd®*, Cameca e padrão interno do CLGeo (Tabela 1). Cristais de feldspatos alcalinos dos anfíbólios sienito (2494) e biotita monzonito (2504) têm exsolução muito pequena (<1 µm), nestas rochas as composições destes cristais foram obtidas analisando-se áreas de polígonos com lados de 10, 20 até 50 µm.

Tabela 1. Comparação entre os dados químicos de minerais obtidos com o EDS-MEV neste estudo com aqueles disponibilizados para os padrões da Astimex (Ast) e Cameca (CAM) e da olivina da amostra 1992 do Batólito Itarantim analisada por microssonda eletrônica (WDS, Ol-Itaran 1992 = padrão interno do CLGeo-UFS).

Sanidina		Diopsídio		Olivina		Ol-Itaran1992		Andesina	
Ast	EDS	Ast	EDS	Ast	EDS	WDS	EDS	CAM	EDS
SiO <sub>2</sub>	64,67	64,58	55,13	55,36	41,85	41,12	30,71	31,11	58,17
Al <sub>2</sub> O <sub>3</sub>	18,76	18,92					0,03		26,58
TiO <sub>2</sub>			0,05	0,14					25,58
FeO	0,18	0,34	1,21	1,32	6,51	6,66	58,7	57,93	
MnO					0,12	0,12	5,36	5,44	
MgO			17,46	18,35	51,57	51,78	5,11	5,42	
CaO			25,55	24,83			0,01		8,35
Na <sub>2</sub> O	3,01	2,90							8,53
K <sub>2</sub> O	12,11	12,14							6,92
NiO					0,20	0,32			6,89
BaO	1,09	1,26							
Total	99,82	99,99	99,40	100,00	100,25	100,00	99,92	100,00	100,02
<hr/>									
Biotita		Kaersutita		Monazita		Cl-apatita			
Ast	EDS	Art	EDS			Ast	EDS	CAM	EDS
SiO <sub>2</sub>	38,72	39,5	40,09	40,26	Ce <sub>2</sub> O <sub>3</sub>	36,08	35,26		
Al <sub>2</sub> O <sub>3</sub>	15,30	15,27	12,36	12,87	P <sub>2</sub> O <sub>5</sub>	27,73	29,18	41,84	42,18
TiO <sub>2</sub>	1,77	1,54	5,04	5,61	Nd <sub>2</sub> O <sub>5</sub>	10,15	10,84		
FeO	10,72	9,53	12,23	11,36	La <sub>2</sub> O <sub>3</sub>	15,30	17,04		
MnO	0,04		0,18	0,18	ThO <sub>2</sub>	4,32	3,82		
MgO	19,52	20,01	12,55	12,95	CaO	0,56	0,50	55,00	55,51
CaO	0,10	0,10	11,56	11,32	Pr <sub>2</sub> O <sub>3</sub>	4,92	3,36		
Na <sub>2</sub> O			2,44	2,51	F			1,32	0,99
K <sub>2</sub> O	9,91	10,05	1,17	0,94	Cl			2,02	2,31
Total	96,08	96,00	97,62	98,00	Total	99,06	100,00	100,18	100,00

## RESULTADOS

### Petrografia

As rochas do BSI apresentam estrutura maciça, ocasionalmente tem-se textura porfirítica, foliação magnética e a granulação que varia de fina a grossa. Estas rochas (Figura 3A) correspondem a: anfibólio sienito (amostra 2494); biotita sienito (amostras 2057 e 2579); anfibólio-biotita sienito (amostra 2589); *fold* sienito (amostra 2056); biotita monzonito (amostra 2504); piroxênio-anfibólio-biotita monzonito (amostra 2058). A sequência de cristalização do conjunto de rochas estudado foi estabelecida com base nas texturas e é apresentada na Figura 3.

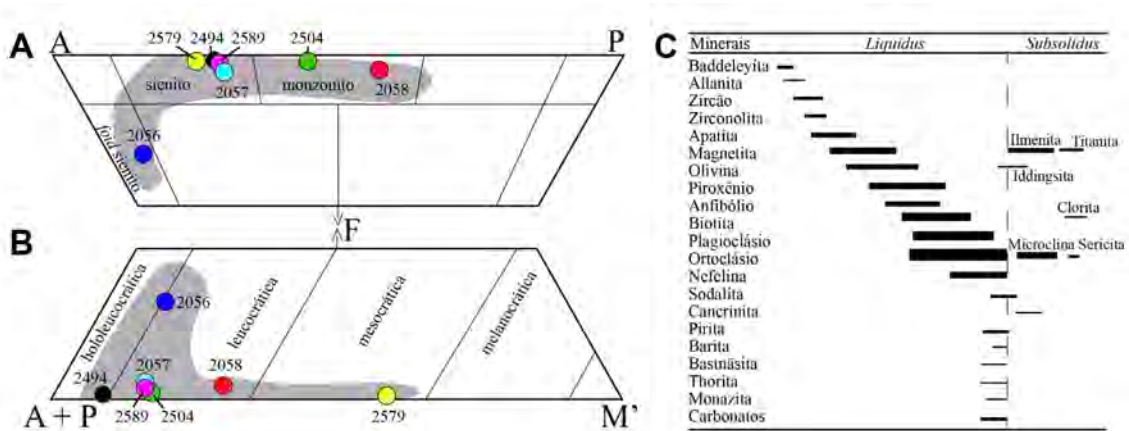


Figura 3. Diagramas ternários de Streckeisen (1976) para a nomenclatura de rochas plutônicas com feldspatoide aplicados às rochas do Batólito Sienítico Itabuna. (A) Diagrama A-P-F. (B) Diagrama F-(A+P)-M'. A: feldspato alcalino; P: plagioclásio; F: feldspatoide; M': minerais ferromagnesianos. A área delimitada na cor cinza foi determinada com base nas amostras estudadas do BSI. As rochas às quais foram estudadas a química dos minerais estão identificadas por círculos. (C) Ordem de cristalização proposta para os minerais descritos no BSI. As linhas mais espessas indicam minerais com maiores volumes modais.

### Monzonitos

Os monzonitos são leucocráticos (Figura 3B), apresentam texturas porfirítica e hipidiomórfica e a matriz (~ 25% volume) tem granulação média e exibem agregados máficos (Figuras 4A e 4B). A biotita monzonito (2058) tem estrutura maciça e no piroxênio-anfibólio-biotita monzonito (2504) identificou-se foliação magmática que orienta de cristais de feldspato e biotita. O feldspatoide presente nestas rochas é a nefelina e de forma subordinada tem-se cancrinita e sodalita. Os fenocristais são de feldspatos, biotita, anfibólio, clinopiroxênio, olivina, ilmenita e magnetita. Como minerais acessórios tem-se apatita, ilmenita, magnetita, pirita, calcita, zircão, titanita, carbonatos, zirconolita e baddeleyita.

A biotita marrom é subédrica e euédrica. Inclui minerais opacos e zircão. O anfibólio anédrico e subédrico tem coloração marrom e verde (Figuras 4A, 4B e 4C). O anfibólio verde é menos frequente e possui menores dimensões que os cristais com cor marrom. Inclui cristais de minerais opacos subédricos e apatita euédrica.

O feldspato potássico é anédrico (< 1,2 cm) e subédrico (< 2,0 mm) apresentando pertíticos e sem exsolução. Apresenta extinção ondulante (Figura 4E) e a geminação Carlsbad é a mais frequente. Os contatos entre os cristais de feldspato potássico são difusos e retos e bem definidos com os demais minerais da rocha. Inclui cristais de minerais opacos anédricos, apatita euédrica, nefelina anédrica, zircão euédrico, baddeleyita subédrica e anédrica. A calcita ocorre nos interstícios e preenche microfraturas no feldspato alcalino. Apresenta-se ocasionalmente alterado para sericita.

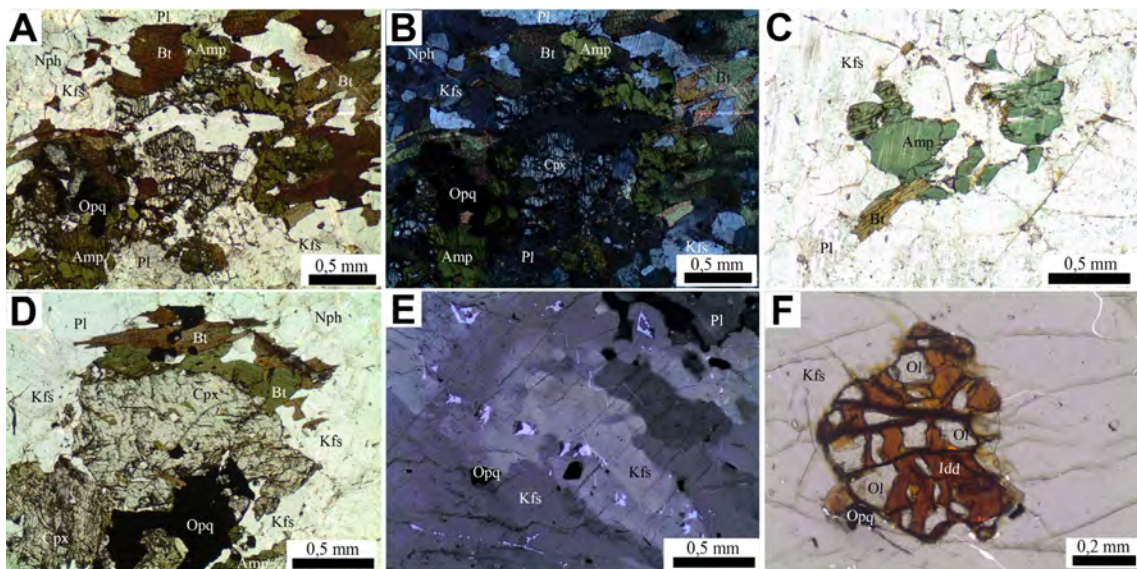


Figura 4. Imagens microscópicas com texturas representativas dos monzonitos do Batólico Sienítico Itabuna. Imagens de texturas do piroxênio anfibólito-biotita monzonito (2058); (A) e (B) apresentam aglomerados de minerais máficos. (C) Cristais de anfibólito verde anédrico com contatos retos com a biotita. (D) Cristais de clinopiroxênio subédrico em contato com minerais opacos e biotita. Imagens no biotita monzonito (2504); (E) Cristais de feldspato potássico com extinção ondulante e contatos embainhados. (F) Cristal de olivina anédrico com alteração para iddingsita e incluso em feldspato alcalino. As imagens (B) e (E) foram obtidas com nicóis cruzados. Amp: anfibólito; Bt: biotita; Cpx: clinopiroxênio; Idd: Iddingsita; Kfs: feldspato alcalino; Nph: nefelina; Ol: olivina; Opq: minerais opacos; Pl: plagioclásio.

O oligoclásio é anédrico, com tamanhos predominantes de 0,5 mm. Exibe extinção ondulante, geminações albita e albita-Carlsbad. Faz contatos retos com cristais de mesma espécie, difusos com cristais de nefelina e inclui minerais opacos, apatita e baddeleyita.

A olivina é anédrica, exibe fraturas e apresenta-se parcialmente alterada para a iddingsita (Figura 4F). Inclui minerais opacos e apatita subédricos. O clinopiroxênio apresenta cor verde clara, tem fraco pleocroísmo, é anédrico e subédrico (Figura 4D). Inclui cristais de apatita e zirconolita. Ilmenita, magnetita, apatita, zircão, pirita e zirconolita são os minerais acessórios nos monzonitos. A ilmenita e a magnetita ocorrem como cristais independentes ou em exsoluções dos tipos treliça, sanduíche e irregular (Figura 5A). A ilmenita e a magnetita comumente coroadas por cristais de titanita anédricos. A pirita é anédrica e encontra-se em fraturas e bordejando fenocristais de minerais máficos. A zirconolita é subédrica e euédrica e ocorre inclusa e intersticial.

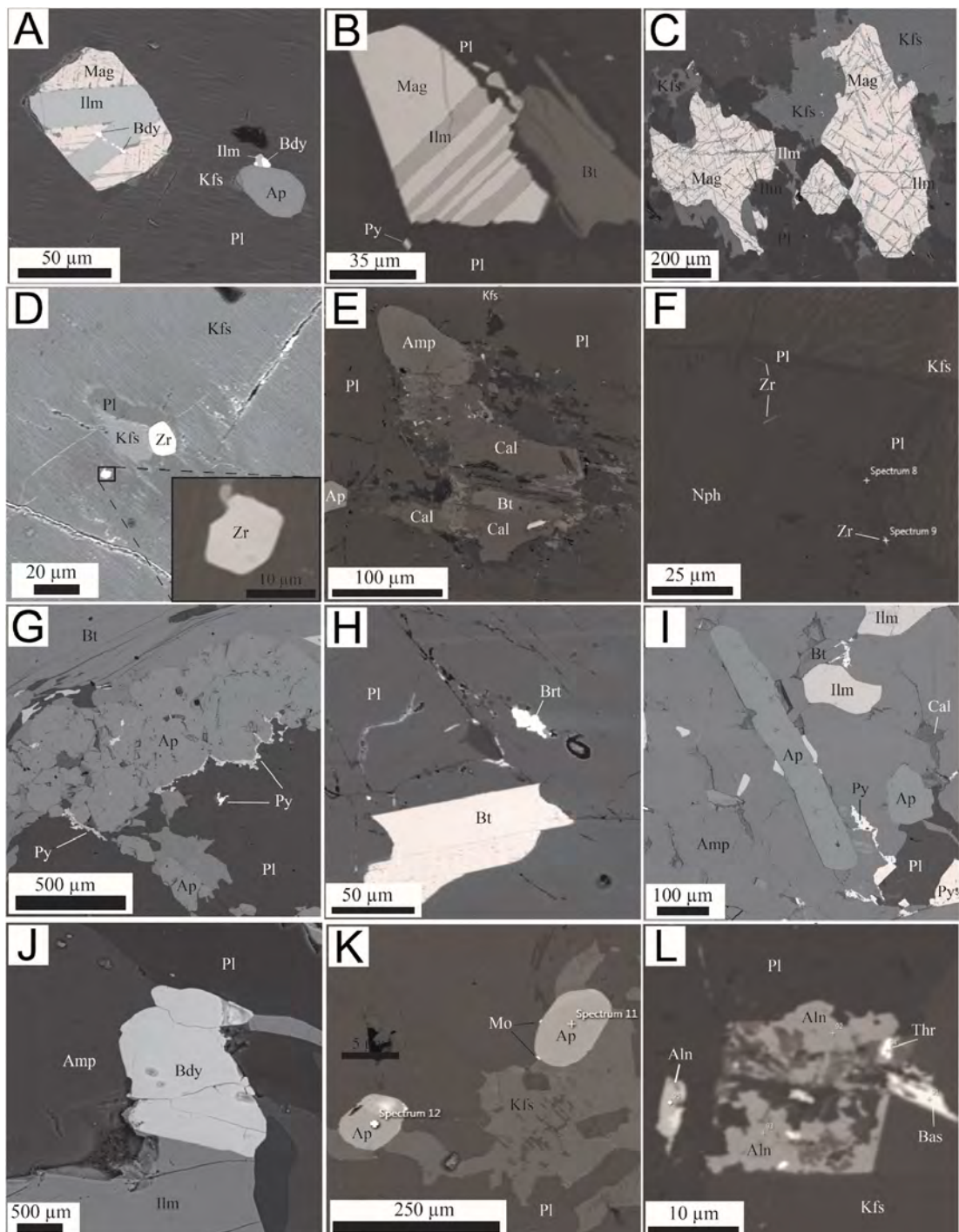


Figura 5. Imagens obtidas com o detector de elétrons retroespalhados. (A) Cristal de magnetita com exsolução irregular de ilmenita que contem inclusão de cristais de baddeleyita (biotita monzonito - 2504). (B) Exsolução tipo sanduíche e em (C) do tipo treliça em magnetita (biotita sienito - 2057). (D) Zirconolita euédrica e subédrica inclusas em feldspato alcalino pertítico (biotita monzonito, 2504). As imagens (E), (G), (H) e (I) foram obtidas no biotita sienito (2579): (E) Anfibólito e biotita envolvidos por cristais de calcita intersticiais. (F) Cristais de nefelina com inclusões de zirconolita (*fooid* sienito, 2056). (G) Pírita anédrica bordejando cristais de apatita e plagioclásio. (H) Barita preenchendo fraturas em plagioclásio. (I) Apatita acicular inclusa em cristal de anfibólito. Observa-se a presença de cristais intersticiais de pírita e calcita, e cristais de ilmenita anédricos. (J) Baddeleyita em contato com ilmenita, anfibólito e plagioclásio (biotita sienito - 2057). (K) Monazita anédrica na borda da apatita (anfibólito-biotita sienito - 2589). (L) Allanita, thorita e bastnaesita (anfibólito-biotita sienito - 2589). Amp: anfibólito; Aln: allanita; Ap: apatita; Bas: bastnesita; Bdy: baddeleyita; Bt: biotita; Brt: barita; Cal: calcita; Ilm: ilmenita; Kfs: feldspato alcalino; Mag: magnetita; Mo: monazita; Nph: nefelina; Pl: plagioclásio; Py: pírita; Thr: thorita; Zr: zirconolita.

## *Sienitos*

Os sienitos têm granulação que varia de fina a grossa (Figura 6) e ocasionalmente pegmatítica. Eles correspondem a rochas: hololeucocrática (2494), leucocráticas (2057 e 2589) e mesocrática (2579). A nefelina é o feldspatoide predominante. Os minerais varietais são biotita, anfibólio e clinopiroxênio. Os minerais acessórios são: apatita, ilmenita, magnetita, pirita, calcopirita, zirconolita, olivina, zircão, allanita, baddeleyita, barita, titanita, calcita (Figura 5E), sodalita, cancrinita, monazita, bastnásita e thorita.

Os feldspatos alcalinos subédricos (1,7 mm) exibe exsoluções pertítica e anti-pertítica. Os fenocristais (6 – 12,0 mm) são anédricos e os menores cristais (0,6 – 1,7 mm) tendem a ser mais euédricos (Figura 6D). Geminação albita-periclina (Figura 6H) foi observada em cristais do biotita sienito (2579) e do anfibólio-biotita sienito (2589). Os contatos são retos com minerais de outras espécies (Figura 6E), embainhados e difusos com cristais de feldspato alcalino, plagioclásio e nefelina (Figura 6I). Apenas no biotita sienito (2057) os fenocristais de feldspato alcalino possuem contatos suturados e interlobados (Figuras 6A, 6B e 6C). Ocorrem inclusões de zircão, allanita aciculares e zirconolita euédrica.

O plagioclásio (0,08 – 0,2 mm) é anédrico nos sienitos e tem composição que varia de oligoclásio até labradorita. As geminações albita e albita-Carlsbad são raras. Os contatos tendem a ser difusos com cristais da mesma espécie e são bem delimitados e retos com os demais minerais da rocha. Incluem cristais de: apatita euédrica, biotita subédrica, zircão subédrico, baddeleyita anédrica, nefelina anédrica, olivina anédrica e minerais opacos anédricos. Barita ocorre preenchendo fraturas (Figura 5H). Pirlita ocorre como cristais euédricos e também intersticiais, e preenche fraturas (Figura 5G).

O clinopiroxênio dos sienitos é subédrico e as inclusões são de apatita, prismática euédrica e acicular, e de minerais opacos anédricos (Figura 6A). A olivina arredondada está presente em apenas no anfibólio sienito (2494), apresenta inclusões de ilmenita e magnetita euédricas, exibe fraturas e altera-se para iddingsita. A titanita é anédrica e limita-se a ocorrer nas bordas de minerais opacos. Os minerais opacos (Figura 6G) correspondem a ilmenita, magnetita, calcopirita, zirconolita e pirita. A magnetita e a ilmenita ocorrem como cristais independentes e como exsolução do tipo treliça, irregular e sanduíche (Figura 5B e 5C) e incluem baddeleyita e zirconolita.

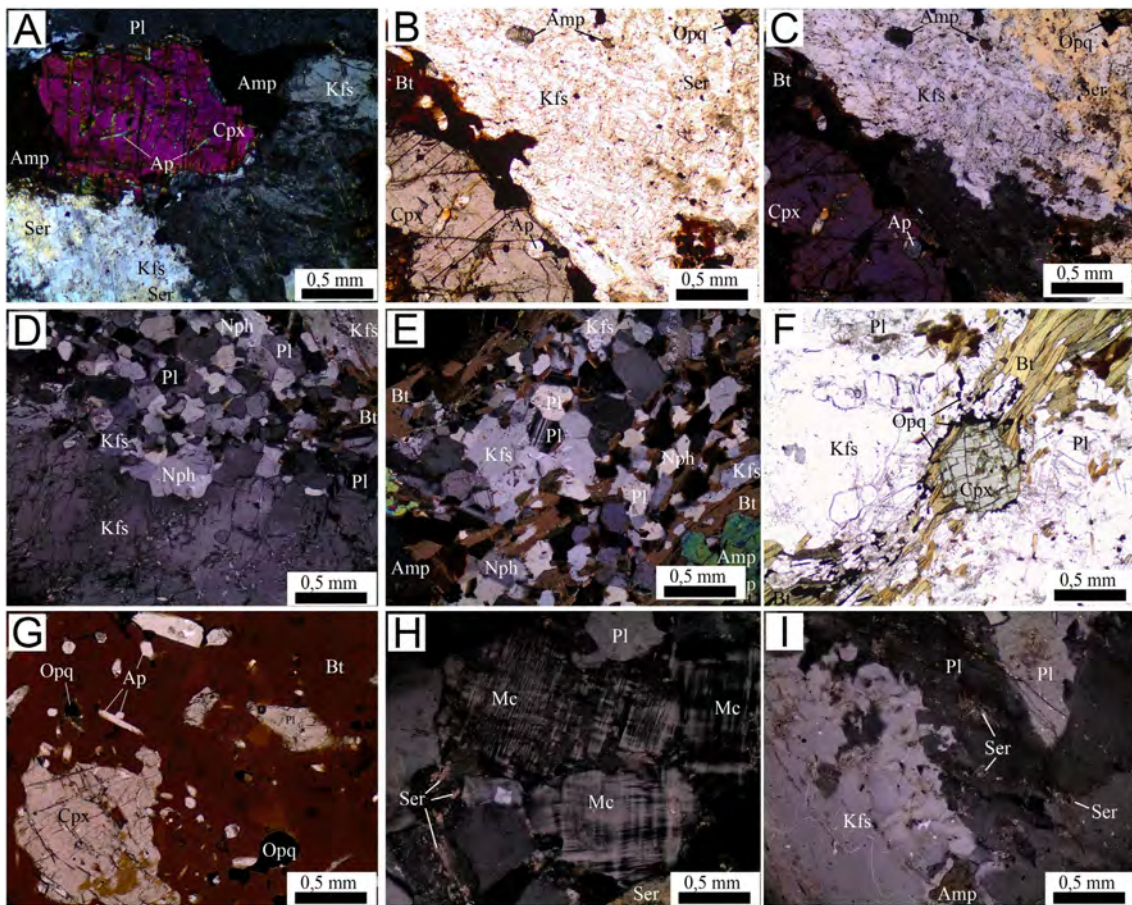


Figura 6. Imagens de texturas representativas em sienitos do Batólito Sienítico Itabuna. (A), (B) e (C) são imagens obtidas na biotita sienito (2057). (A) Fenocristal de clinopiroxênio com inclusões de apatita acicular em contato com anfibólito, plagioclásio e feldspato potássico. (B) e (C) Clinopiroxênio subédrico com inclusões de apatita, em contato com biotita e feldspato potássico. (D), (E), (F) e (G) são fotomicrografias da biotita sienito (2579). (D) Fenocristal de feldspato alcalino com contatos retos com cristais de feldspato potássico, nefelina e plagioclásio. (E) Geminação albita do plagioclásio e feldspato potássico anédrico em contato com biotita. (F) Orientação de cristais de biotita envolvendo cristal de clinopiroxênio. (G) Fenocristais de biotita com inclusões de clinopiroxênio, apatita e minerais opacos. (H) Cristais de microclina anédrica com geminação albita-periclina (anfibólito-biotita sienito 2589). (I) Contatos interlobados entre cristais de feldspato alcalino e plagioclásio (anfibólito sienito 2494). As imagens (B), (F) e (G) estão com nicóis paralelos. Amp: anfibólito; Ap: apatita; Bt: biotita; Cpx: clinopiroxênio; Kfs: feldspato potássico; Mc: microclina; Nph: nefelina; Opq: minerais opacos; Pl: plagioclásio; Ser: sericita.

Nos sienitos os minerais máficos encontram-se reunidos em agregados e a biotita predomina. No biotita sienito (2579) os minerais máficos ocorrem orientados pelo fluxo magmático (Figura 6F). A biotita inclui cristais de apatita euédrica e minerais opacos anédricos (Figura 6G). O anfibólito marrom é subédrico e bordeja cristais de clinopiroxênio. As inclusões presentes são de apatita euédrica e minerais opacos anédricos (Figura 5I). Os cristais de biotita apresentam alteração parcial para clorita.

A nefelina é anédrica ( $0,12 - 2,8$  mm) e tem o tamanho médio de 0,8 mm. A apatita ( $<0,1$  mm) ocorre acicular e prismática. Cristais de baddeleyita ( $<0,1$  mm) são presentes (Figura 5J).

A monazita anédrica está associada à apatita (Figura 5K). Cristais aciculares de allanita foram identificados no anfibólio-biotita sienito (2589). Bastnásita e thorita ocorrem como cristais anédricos e associados a desestabilização de allanita (Figura 5L).

### *Foid sienito*

O *foid* sienito (2056) é leucocrático, exibe texturas porfirítica, hipdiomórfica e a matriz (~ 20% do volume) tem granulação média. Os fenocristais são de feldspatos alcalinos. Os minerais essenciais são albite e ortoclásio, nefelina e os varietais são anfibólio e diopsídio (Figuras 7A e 7B). Os minerais acessórios são biotita, apatita prismática, ilmenita, magnetita, pirita, zirconolita, zircão, titanita e baddeleyita.

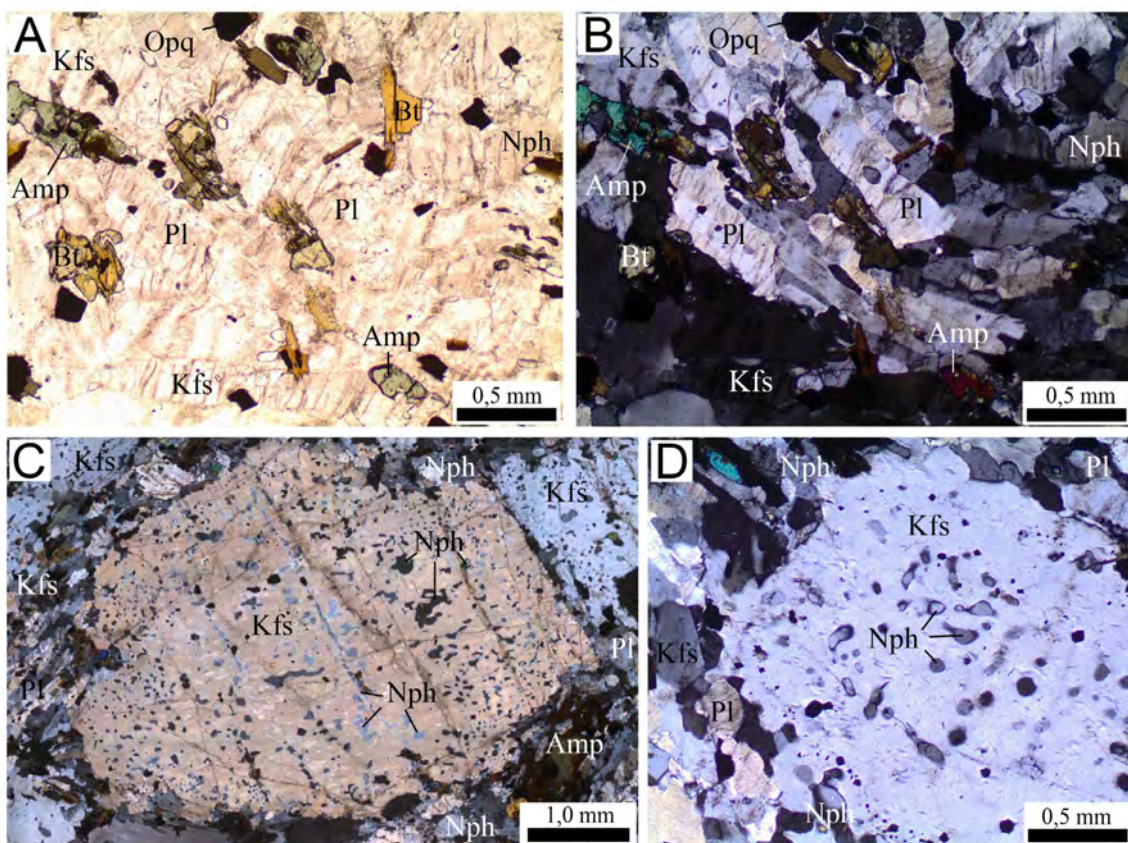


Figura 7. Imagens microscópicas com texturas representativas do *foid* sienito (2056). (A) e (B) são imagens da mesma área e exibem os contatos retos e curvos dos minerais maficos com cristais de plagioclálio subédricos e orientados, com feldspato potássico e nefelina. (C) e (D) Fenocristais de feldspato potássico com nefelina vermiculiforme. Apenas a imagem (A) está com nicóis paralelos. Amp: anfibólio; Bt: biotita; Kfs: feldspato potássico; Nph: nefelina; Opq: minerais opacos; Pl: plagioclálio.

O feldspato alcalino é pertítico subédrico, euédrico, ocorre como fenocristal (6 mm – 1,0 cm) e na matriz tem tamanho < 0,8 mm. Os fenocristais incluem nefelina vermiforme (Figuras 7C e 7D), além de apatita acicular, anfibólio, nefelina anédrica, zircão, ilmenita, magnetita, zirconolita e baddeleyita. A albata anti-pertítica (0,1 – 0,3 mm) é anédrica, subédrica e inclui cristais de apatita e zirconolita euédricas. Fraturas em cristais de feldspatos, piroxênio e anfibólio são preenchidas por calcita

A nefelina intersticial é anédrica e contém inclusões de zirconolita euédrica (Figura 5F) e feldspato alcalino. Foram identificados cristais de sodalita e cancrinita associados a desestabilização da nefelina.

A biotita marrom é subédrica, euédrica e usualmente ocorre em agregados de minerais maficos (Figura 7A). Identificou-se a presença de cristais de anfibólio marrom e verde. O anfibólio marrom é subédrico e anédrico e o anfibólio verde é anédrico, ambos incluem apatita acicular e minerais opacos anédricos. O diopsídio é subédrico. A ilmenita e magnetita são anédrica, subédrica e têm auréolas de titanita anédrica. As texturas de exsolução do tipo sanduíche, irregular e treliça são frequentes nos cristais de magnetita.

## Química Mineral

As composições químicas pontuais obtidas foram utilizadas para a classificação química dos minerais, analisar as variações composticionais registradas, comparar com as composições dos cristais descritos na literatura para minerais identificados em outras intrusões da PASEBA e estimar os parâmetros intensivos (temperatura, pressão e fugacidade de oxigênio).

### *Feldspato alcalino e plagioclásio*

No *foid* sienito o feldspato alcalino é pertítico e anti-pertítico e as fases exsolvidas têm composições próximas dos polos puros de ortoclásio e albata. Nos monzonitos e sienitos encontram-se cristais de feldspato alcalino com exsolução com dimensões muito pequenas. Analisou-se áreas nestes cristais e as composições encontradas são variáveis, e posicionando-se nos campos de anortoclásio, Na-sanidina, sanidina, K-sanidina, Ca-sanidina, Ca-Na-sanidina, Ca-anortoclásio (Figura 8). Os conteúdos de anortita dos plagioclásios analisados (Tabela 2) nos sienitos variam de albata - labradorita ( $An_{2-61,3}$ ). Nos monzonitos os cristais de plagioclásio têm composição de oligoclásio ( $An_{8,8-21,4}$ ) e no *foid* sienito composição de albata ( $An_{1,3-7,5}$ ).

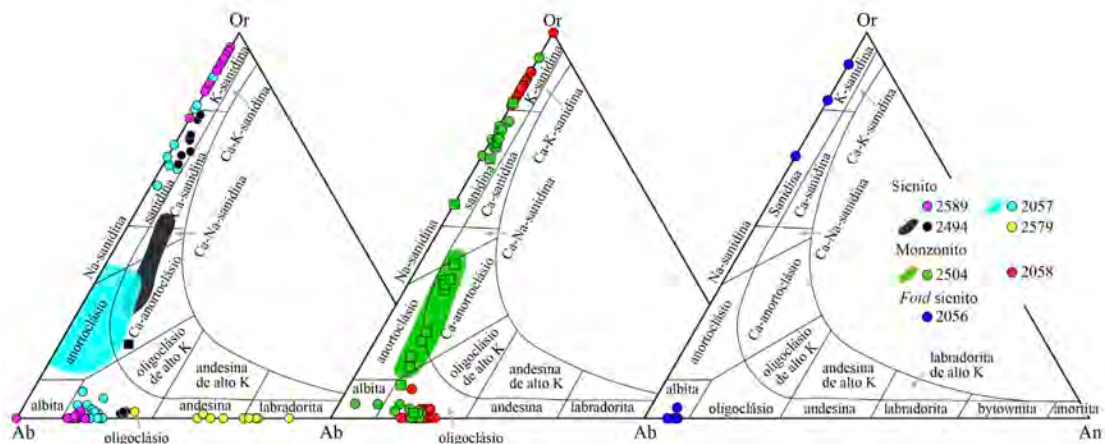


Figura 8. Diagrama ternário Albita (Ab) - Anortita (An) - Ortoclásio (Or) com as subdivisões dos campos de Smith e Brown (1988) para a nomenclatura do feldspato aplicado aos cristais do Batólito Sienítico Itabuna. Os quadrados indicam médias composticionais de áreas em cristais de feldspato alcalino.

Tabela 2. Composições químicas representativas de cristais de feldspatos de amostras estudadas do Batólito Sienítico Itabuna. Cálculo da fórmula estrutural com base em 8 oxigênios. Dados obtidos com EDS instalado em microscópio eletrônico de varredura.

Amostra	2504				2058				2058				2494			
	SiO <sub>2</sub>	64,4	63,5	64,7	62,5	63,8	62,6	66,1	64,8	63,9	64,6	63,4	63,5	61,8		
Al <sub>2</sub> O <sub>3</sub>	19,4	23,2	20,9	23,3	19,3	24,1	19,2	19,6	22,8	19,1	21,8	22,3	23,4			
FeO					0,2			0,5		0,1			0,9			
CaO		4,1	1,8	4,6		3,0		0,8	3,6	0,4	2,7	3,3	4,9			
Na <sub>2</sub> O	2,6	9,1	5,9	9,2	1,1	9,0	3,5	3,5	9,4	2,1	6,3	7,6	8,5			
K <sub>2</sub> O	12,3	0,2	6,7	0,2	14,5	1,3	11,2	10,9	0,2	13,0	5,7	3,4	0,3			
BaO	1,2				1,3					0,7	0,1		0,1			
Total	99,9	100,1	100,0	100,0	100,0	100,0	100,0	100,1	99,9	100,0	100,0	100,1	99,9			
Si	2,962	2,801	2,903	2,773	2,958	2,773	2,993	2,948	2,821	2,969	2,849	2,830	2,755			
Al	1,052	1,206	1,105	1,218	1,055	1,258	1,025	1,051	1,186	1,035	1,155	1,171	1,230			
Fe				0,007				0,019		0,004			0,034			
Ca		0,194	0,087	0,219		0,142		0,039	0,170	0,020	0,130	0,158	0,234			
Na	0,232	0,778	0,513	0,791	0,099	0,773	0,307	0,309	0,805	0,187	0,549	0,657	0,735			
K	0,722	0,011	0,384	0,011	0,858	0,073	0,647	0,632	0,011	0,762	0,327	0,193	0,017			
Ba	0,022				0,024					0,013	0,002		0,002			
Total	4,989	4,991	4,992	5,020	4,993	5,021	4,972	4,998	4,994	4,989	5,011	5,009	5,006			
Or	75,7	1,1	39,0	1,1	89,7	7,4	67,8	64,5	1,1	78,7	32,5	19,2	1,7			
Ab	24,3	79,1	52,2	77,5	10,3	78,2	32,2	31,5	81,6	19,3	54,6	65,2	74,5			
An	19,7	8,8	21,4		14,4		4,0	17,3	2,0	12,9	15,6	23,7				
Amostra	2579				2589				2056							
SiO <sub>2</sub>	58,6	61,5	52,5	63,9	64,6	64,6	64,2	43,1	66,3	66,4						
Al <sub>2</sub> O <sub>3</sub>	29,0	24,5	30,9	19,1	22,4	21,8	19,2	34,2	21,2	20,9						
FeO						3,4										
CaO	0,6	5,4	12,3		2,7	10,2		0,5	1,6	1,3						
Na <sub>2</sub> O	6,4	8,4	4,3	0,4	10,3			0,9	16,5	10,9						
K <sub>2</sub> O	5,4	0,3		15,4			15,3	5,7		0,5						
BaO				1,2			0,4									
Total	100,0	100,1	100,0	100,0	100,0	100,0	100,0	100,0	100,0	100,0						
Si	2,622	2,727	2,373	2,968	2,845	2,851	2,967	2,067	2,908	2,918						
Al	1,530	1,280	1,646	1,046	1,163	1,134	1,046	1,933	1,096	1,083						
Fe																
Ca	0,029	0,257	0,596		0,127	0,161		0,026	0,075	0,061						
Na	0,555	0,722	0,377	0,036	0,879	0,873	0,081	1,534	0,927	0,929						
K	0,308	0,017		0,912			0,902	0,349		0,028						
Ba				0,022			0,007									
Total	5,045	5,003	4,992	4,984	5,014	5,019	5,002	5,908	5,007	5,019						
Or	34,5	1,7		96,2			91,8	18,3		2,8						
Ab	62,2	72,5	38,7	3,8	87,3	84,4	8,2	80,4	92,5	91,2						
An	3,2	25,8	61,3	0,0	12,7	15,6		1,3	7,5	6,0						

## Nefelina

Os cristais anédricos e intersticiais de nefelina do *fooid* sienito têm composições de Ne<sub>75,0-84,4</sub>-Ks<sub>16,1-18,4</sub>-Qz<sub>2,4-7,7</sub> (Figura 9). A nefelina no *fooid* sienito (2056) ocorre como inclusões vermiformes em fenocristais de ortoclásio e microclina e têm composições Ne<sub>74,3-79,7</sub>-Ks<sub>16,6-13,1</sub>-Qz<sub>5,7-12,5</sub>. Esses cristais se alocam predominantemente abaixo da isoterma de 500 °C (Hamilton e Mackenzie, 1965) indicando reequilíbrio pós-magmático.

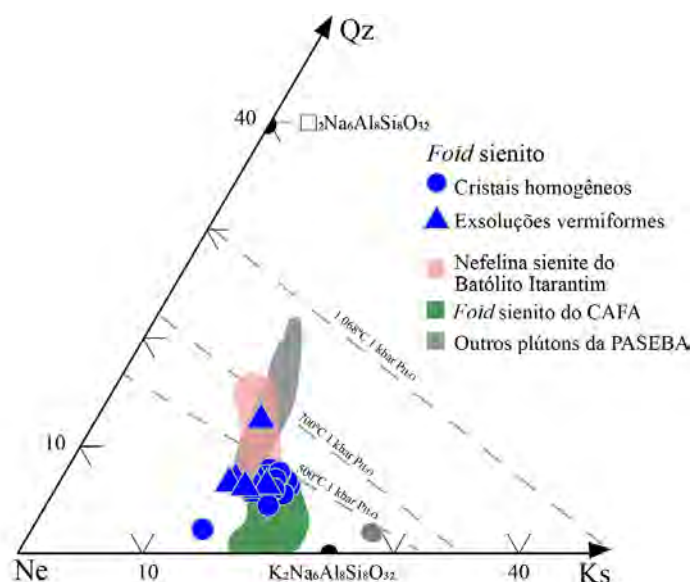


Figura 9. Diagrama ternário Ne (Nefelina) - Ks (Kalsilita) - Qz (Quartzo), com as isotermas de Hamilton e Mackenzie (1965). Análises da nefelina do BSI estão plotadas em azul. A área verde escura delimita a composição da nefelina analisada no Complexo Alcalino Floresta Azul (CAFA; Santos, 2016), a área rosa corresponde aos cristais analisados de nefelina sienitos do Batólito Itarantim e a área em cinza as composições de nefelina de outros corpos da PASEBA (Conceição et al., 2009).

As composições dos cristais de nefelina do BSI são semelhantes àqueles presentes na nefelina do Complexo Alcalino Floresta Azul (CAFA, Santos, 2016) e no Batólito Itarantim (Conceição et al., 2009).

## Biotita

Nos monzonitos, sienitos e *fooid* sienitos a biotita possui composição predominantemente de Fe-biotita (Figura 10). Nos sienitos ocorrem também cristais com composições de siderofilita, lepidomelano e Mg-biotita (Figura 10A). A biotita analisada possui razões  $0,4 < \text{Fe}/(\text{Fe}+\text{Mg}) < 0,7$  e valores Si de 5,4 – 5,6 apfu (átomos por fórmula unitária) e estes cristais preservam composições primárias (Tabela 3, Figura 10B).

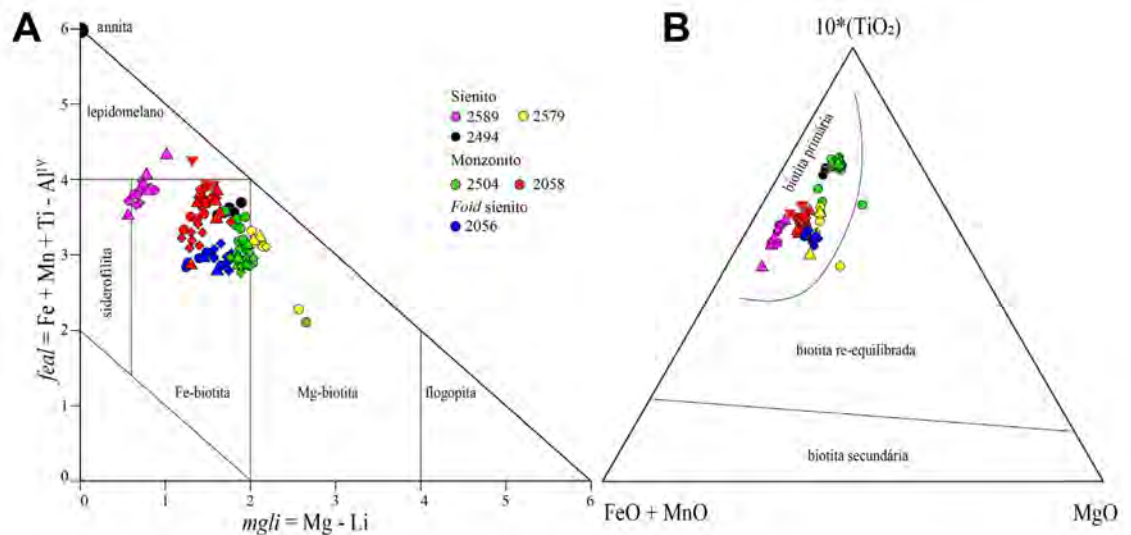


Figura 10. (A) Diagrama feal ( $\text{Fe} + \text{Mn} + \text{Ti-AlVI}$ ) versus  $mg/li = \text{Mg} - \text{Li}$  segundo Tischendorf et al. (1999) para nomenclatura da biotita aplicado aos cristais de mica das rochas do BSI. (B) Diagrama ternário  $10^*(\text{TiO}_2)$ - $(\text{FeO} + \text{MnO})$ - $\text{MgO}$  de Nachit et al. (2005) para inferência da natureza dos cristais de biotita aplicado aos cristais de biotita do BSI. Os círculos indicam análises nas porções centrais dos cristais, os losangos análises nas porções intermediárias, os triângulos nas porções periféricas enquanto os triângulos para baixo são análises com WDS.

O titânio em biotita primária pode ser usado para cálculo da temperatura de cristalização utilizando-se a equação de Henry et al. (2005):  $T = \{( \ln \text{Ti} - a - c(X_{\text{Mg}})^3 ) / b \} 0,333$ , no qual  $X_{\text{Mg}} = \text{Mg}/(\text{Mg} + \text{Fe})$ ,  $a = -2,3594$ ,  $b = 4,6482 \cdot 10^{-9}$  and  $c = -1,7283$ . O experimento de Henry et al. (2005) foi calibrado para biotita cristalizada entre 480-800° C e que tenham composições com  $X_{\text{Mg}} = 0,4 - 0,6$  e  $\text{Ti} = 0,08-0,2$  apfu.

Grande parte dos cristais de biotita das rochas do BSI satisfazem estas exigências compostionais. Inicialmente este geotermômetro foi aplicado para biotita de rochas metamórficas, mas atualmente tem sido utilizado para determinar a temperatura de diferentes tipos rochas ígneas mineralizadas ou não (e.g. Moshefi et al., 2018; Azadbakht et al., 2020). As temperaturas obtidas para os cristais de biotita do BSI (Tabela 4) são compatíveis com biotita cristalizada em sienitos (e.g. Anderson, 1980)

Tabela 3. Composições químicas representativas de cristais de biotita do Batólito Sienítico Itabuna. Cálculo da fórmula estrutural com base em 20 oxigênios.  
Indica-se o método de obtenção das análises: WDS = microssonda eletrônica e EDS = microscópio eletrônico de varredura.

Rocha	Ne Sienito						Monzonitos						Sienitos									
	Amostra			2056			2504			2058			2494			2579						
	EDS	EDS	EDS	EDS	EDS	WDS	EDS	WDS	EDS	WDS	EDS	WDS	EDS	WDS	EDS	WDS	EDS	EDS	EDS			
SiO <sub>2</sub>	37,06	36,96	36,52	35,01	36,13	35,54	35,23	35,71	34,79	35,81	34,85	35,38	34,98	35,72	35,43	34,34	35,17	36,32	33,82	35,02	35,62	
TiO <sub>2</sub>	3,94	4,03	4,13	7,12	5,96	8,50	10,06	4,42	4,61	4,90	4,99	7,93	7,59	7,90	7,51	4,23	3,65	3,08	3,47	3,86	4,20	
Al <sub>2</sub> O <sub>3</sub>	15,74	15,46	15,66	10,87	12,20	12,75	13,55	13,54	13,36	13,63	13,54	12,86	12,97	12,71	13,00	15,29	15,09	16,14	14,84	14,55	14,27	
FeO	21,02	21,22	21,24	24,63	22,10	19,41	19,26	24,29	24,89	23,62	23,71	21,08	20,66	20,41	20,99	20,97	22,68	17,20	30,56	27,50	28,27	
MnO	0,77	0,58	0,77			0,29		0,29	0,29	0,48	0,10	0,19	0,10							0,00		
MgO	8,45	8,65	9,72	10,67	9,66	8,81	8,16	7,98	8,16	7,87	9,09	9,13	8,86	8,95	10,20	10,67	13,93	5,02	4,63	4,66		
CaO																						
Na <sub>2</sub> O	9,02	9,31	9,03	0,77	0,48	0,68		0,48	0,48	0,67	0,96		0,48	0,29	0,19	0,48	0,38	0,38	1,55	2,21		
K <sub>2</sub> O																						
BaO																						
F	0,20	0,40				0,30	0,30	0,30	0,20	0,58	0,96	0,58	1,06	0,77	0,96	1,83						
Cl	0,10	0,10				0,40	0,20	0,40	0,50	0,40	0,40	0,40	0,10	0,10	0,20	0,10	0,20	0,40	0,60	0,60	0,50	
O=FcI	-0,11	-0,19				-0,09	-0,17	-0,22	-0,24	-0,17	-0,09	-0,23		-0,15	-0,11	-0,05	-0,02	-0,05	-0,09	-0,14	-0,11	
Total	96,00	96,19	96,31	96,00	96,00	96,31	96,33	96,48	96,56	96,43	96,31	96,37	96,00	96,25	96,19	96,15	96,08	96,15	96,31	96,46	96,39	
Si	5,531	5,533	5,479	5,404	5,469	5,356	5,296	5,488	5,422	5,478	5,414	5,387	5,350	5,426	5,403	5,288	5,339	5,344	5,341	5,480	5,556	
Al <sub>IV</sub>	2,469	2,467	2,521	1,977	2,177	2,265	2,401	2,452	2,454	2,458	2,479	2,308	2,339	2,276	2,336	2,712	2,661	2,656	2,659	2,520	2,444	
Al <sub>VI</sub>	0,301	0,260	0,249																			
Ti	0,442	0,454	0,466	0,826	0,678	0,963	1,138	0,510	0,541	0,563	0,583	0,908	0,873	0,902	0,861	0,490	0,417	0,340	0,413	0,454	0,493	
Fe	2,624	2,656	2,665	3,179	2,798	2,447	2,422	3,121	3,244	3,021	3,081	2,884	2,643	2,593	2,677	2,701	2,879	2,116	4,037	3,599	3,688	
Mn	0,097	0,073	0,098			0,037		0,037	0,038	0,037	0,063	0,012	0,025	0,012								
Mg	1,880	1,885	1,934	2,235	2,407	2,170	1,974	1,869	1,853	1,861	1,823	2,063	2,081	2,006	2,035	2,341	2,414	3,05	1,183	1,080	1,082	
Ca																						
Na	0,230	0,141	0,198			0,143	0,145	0,199	0,289				0,063	0,081	0,000	0,000						
K	1,718	1,778	1,729	1,553	1,466	1,764	1,745	1,788	1,796	1,742	1,712	1,746	1,669	1,754	1,742	1,700	1,619	1,677	1,355	1,644	1,786	
Ba						0,051				0,035		0,058	0,035	0,063	0,046	0,058	0,110					
OH*	4,000	3,885	3,793	4,000	4,000	3,901	3,813	3,760	3,731	3,808	3,899	3,742	4,000	3,886	3,882	3,950	3,975	3,952	3,899	3,847	3,872	
F	0,091	0,182				0,138	0,140	0,142	0,093			0,233		0,139	0,093							
Cl	0,024	0,024				0,099	0,049	0,100	0,127	0,100	0,101	0,025		0,025	0,025	0,050	0,048	0,101	0,153	0,128		
Total	19,062	19,972	19,927	19,940	19,924	19,813	19,499	20,075	20,033	20,041	20,023	19,777	19,765	19,632	20,039	20,075	20,179	20,534	19,991			

Tabela 4. Valores de temperatura e pressão obtidos em cristais de biotita utilizando-se dos algoritmos proposto por Henry et al. (2005) e Uchida et al. (2007).

Amostra	<i>Foid</i> sienito		Sienitos		Monzonitos	
	2056	2494	2579	2589	2508	2504
Temperatura em °C (média)	707 – 720 (714)	771 – 797 (794)	703 – 748 (732)	681 – 726 (708)	720 – 742 (732)	760 – 810 (804)
Pressão em kbar (média)	1,5 – 2,2 (1,8)	0,5 – 0,6 (0,6)	1,6 – 2,1 (1,8)	1,4 – 2,0 (1,7)	0,9 – 1,8 (0,9)	0,8 – 1,1 (0,9)

Uchida et al. (2007) utilizam-se do conteúdo de alumínio na biotita para avaliar a pressão de sua cristalização com base na equação  $P$  ( kb ) =  $3,03 \times Al_{Total} - 6,53 (\pm 0,33)$ , onde o  $Al_{Total}$  usado para o cálculo da fórmula estrutural com base em 22 oxigênios. As pressões calculadas com o algoritmo de Uchida et al. (2007) para as rochas do BSI situam-se em intervalo compatível com a cristalização epizonal (3 – 7 km), considerando-se as estimativas de 1 kbar = 3,7 km de Tulloch e Challis (2000).

### *Clinopiroxênios*

Dados químicos representativos de cristais de clinopiroxênios são apresentados na tabela 5. Identificou-se que estes minerais nas rochas estudadas correspondem (Figura 11A) a: diopsídio ( $Wo_{46,9-48,4}-En_{26,8-29,4}-Fs_{22,4-26,2}$ ), hedenbergita ( $Wo_{46,3-46,6}-En_{23,7-24,9}-Fs_{27,0-29,6}$ ) e augita ( $Wo_{44,3-44,9}-En_{23,1-25,9}-Fs_{29,1-31,7}$ ) no piroxênio anfibólito biotita monzonito (2058; Figura 11B). Nos sienitos as composições variam de diopsídio ( $Wo_{45,8-49,9}-En_{33,2-37,3}-Fs_{13,2-19,0}$ ), hedenbergita ( $Wo_{45,4-49,8}-En_{20,4-23,5}-Fs_{27,1-33,1}$ ) e augita ( $Wo_{25,3-39,3}-En_{23,5-26,3}-Fs_{35,7-41,5}$ ). A hedenbergita e a augita ocorrem no anfibólito-biotita sienito (2589). No *fooid* sienito (2056) tem-se unicamente diopsídio ( $Wo_{45,6-48,7}-En_{32,7-37,5}-Fs_{16,1-19,7}$ ).

Aplicando-se o algoritmo de Nimis (1999), que se utiliza de parâmetros de célula unitária, calculados a partir da composição química de piroxênios cristalizados em magmas subalcalinos e alcalinos, foi possível estimar o intervalo de temperatura de 875–939 °C e pressão máxima de 5,2 kbar (Tabela 6) para a formação dos cristais de piroxênios de várias rochas do BSI. As pressões obtidas para osmonzonitos do BSI variam de 5,2–1,8 kbar. O algoritmo de Nimis não é aconselhável para rochas com feldspatoides, motivo pelo qual não puderam ser calculadas as pressões nos sienitos e nefelina sienitos (Amostra 2056).

Tabela 5. Composições químicas representativas de cristais de clinopiroxênio de rochas do Batólito Sienítico Itabuna. O cálculo da fórmula estrutural foi realizado com base em 6 oxigênios. Os nomes dos clinopiroxênios são indicados: Augita (Aug), diopsídio (Diop) e hedenbergita (Hed). Espectrômetro (Espec) utilizado para realização das análises: WDS em microssonda eletrônica e EDS em microscópio eletrônico de varredura. Amostra (Am), enstatita (En), ferrossilita (Fs) e wollastonita (Wo).

Rocha		Monzonito						Sienitos						
Am		2058						2589						
Nome	Aug	Aug	Diop	Diop	Hed	Hed	Hed	Hed	Hed	Hed	Aug	Hed	Diop	Diop
Espec	WDS	EDS	EDS	WDS	EDS	WDS	EDS	EDS	EDS	EDS	EDS	EDS	EDS	EDS
SiO <sub>2</sub>	50,7	50,7	51,4	51,5	50,9	51,0	51,0	50,8	50,8	50,8	51,9	51,3	51,6	
TiO <sub>2</sub>	0,1	0,2			0,2	0,2	0,3	0,1	0,1	0,2		0,8		
Al <sub>2</sub> O <sub>3</sub>	1,3	1,1	1,6	1,4	0,9	0,7	0,2	0,3	0,2	1,4	2,1	2,4	1,6	
FeO	18,3	18,5	14,7	14,9	17,3	17,5	17,6	18,1	18,3	18,5	10,9	10,6	11,5	
MnO	1,7	1,8	1,2	1,1	1,7	1,2	1,3	1,4	1,3	1,4	0,5	0,7	0,7	
MgO	7,8	7,5	9,2	9,3	7,9	7,6	7,8	6,6	6,7	7,2	11,6	11,6	11,9	
CaO	19,8	19,5	21,2	20,9	20,6	21,2	21,6	22,2	22,1	20,0	22,3	21,7	21,9	
Na <sub>2</sub> O	0,4	0,7	0,7	0,9	0,6	0,5	0,3	0,5	0,5	0,5	0,7	0,8	0,9	
Total	100,0	100,0	100,0	100,0	100,1	99,9	100,0	100,0	100,0	100,0	100,0	99,9	100,1	
Si	1,978	1,983	1,976	1,981	1,983	1,991	1,992	1,996	1,997	1,983	1,960	1,938	1,956	
Al <sup>IV</sup>	0,022	0,017	0,024	0,019	0,017	0,009	0,008	0,004	0,003	0,017	0,040	0,062	0,044	
Ti	0,003	0,006			0,006	0,006	0,009	0,003	0,003	0,006		0,023		
Al <sup>VI</sup>	0,038	0,034	0,049	0,044	0,024	0,023	0,001	0,010	0,006	0,047	0,053	0,045	0,027	
Fe <sup>++</sup>	0,598	0,605	0,473	0,479	0,564	0,571	0,574	0,595	0,601	0,604	0,344	0,335	0,364	
Mn	0,056	0,060	0,039	0,036	0,056	0,040	0,043	0,047	0,043	0,046	0,016	0,022	0,022	
Mg	0,451	0,437	0,527	0,533	0,459	0,442	0,454	0,387	0,393	0,419	0,653	0,653	0,672	
Ca	0,828	0,817	0,873	0,861	0,860	0,887	0,904	0,935	0,931	0,837	0,902	0,878	0,889	
Na	0,030	0,053	0,052	0,067	0,045	0,038	0,019	0,038	0,038	0,038	0,051	0,059	0,066	
Total	4,004	4,012	4,014	4,021	4,013	4,006	4,004	4,013	4,015	3,998	4,019	4,015	4,042	
En	0,24	0,24	0,29	0,29	0,25	0,24	0,25	0,21	0,21	0,25	0,35	0,36	0,37	
Fs	0,31	0,31	0,24	0,23	0,28	0,29	0,26	0,30	0,30	0,26	0,16	0,16	0,13	
Wo	0,44	0,45	0,48	0,48	0,47	0,47	0,42	0,50	0,50	0,49	0,49	0,48	0,49	
Rocha		Sienitos						Foid Sienito						
Am		2579			2057			2056						
Nome	Diop	Diop	Diop	Diop	Diop	Diop	Diop	Diop	Diop	Diop	Diop	Diop	Diop	
Espec	EDS	EDS	EDS	EDS	EDS	EDS	EDS	EDS	EDS	EDS	EDS	EDS	EDS	
SiO <sub>2</sub>	52,4	51,9	51,5	51,1	50,4	51,1	51,0	53,2	52,7	53,2	53,3			
TiO <sub>2</sub>			1,0	1,1	1,0	0,9	0,9		0,8					
Al <sub>2</sub> O <sub>3</sub>	1,3	1,3	2,8	3,1	4,9	3,8	2,9	2,5	2,4	2,3	2,4			
FeO	11,8	11,7	11,0	11,1	11,3	10,9	12,0	10,9	12,0	11,1	10,2			
MnO	0,0	0,0	0,5	0,6	0,5	0,5	0,5	0,8	0,8	0,7	0,7			
MgO	12,3	12,4	11,3	11,1	10,2	10,8	11,2	10,6	9,6	11,4	11,1			
CaO	21,5	22,0	20,6	20,7	20,4	20,6	20,2	20,2	19,4	19,6	20,2			
Na <sub>2</sub> O	0,6	0,7	1,2	1,3	1,3	1,4	1,2	1,9	2,3	1,7	2,1			
Total	100,0	100,0	99,9	100,1	100,0	100,0	99,9	100,1	100,0	100,0	100,0			
Si	1,977	1,963	1,941	1,927	1,900	1,924	1,931	1,996	1,990	1,995	1,996			
Al <sup>IV</sup>	0,023	0,037	0,059	0,073	0,100	0,076	0,069	0,004	0,010	0,005	0,004			
Ti			0,028	0,031	0,028	0,025	0,026		0,023					
Al <sup>VI</sup>	0,036	0,022	0,066	0,065	0,118	0,093	0,061	0,107	0,097	0,097	0,102			
Fe <sup>++</sup>	0,373	0,369	0,347	0,350	0,356	0,343	0,380	0,342	0,379	0,348	0,320			
Mn	0,000	0,000	0,016	0,019	0,016	0,016	0,016	0,025	0,026	0,022	0,022			
Mg	0,693	0,701	0,635	0,624	0,573	0,606	0,632	0,593	0,540	0,637	0,620			
Ca	0,870	0,890	0,832	0,836	0,824	0,831	0,820	0,812	0,785	0,788	0,811			
Na	0,044	0,051	0,088	0,095	0,095	0,102	0,088	0,138	0,168	0,124	0,153			
Total	4,015	4,034	4,012	4,021	4,010	4,017	4,022	4,018	4,018	4,016	4,027			
En	0,37	0,38	0,36	0,36	0,33	0,35	0,36	0,35	0,33	0,37	0,37			
Fs	0,17	0,14	0,18	0,16	0,19	0,17	0,18	0,17	0,20	0,17	0,14			
Wo	0,46	0,48	0,47	0,48	0,48	0,48	0,46	0,48	0,48	0,46	0,46			

Tabela 6. Resultados de temperatura e pressão obtidos utilizando-se o algoritmo de Nimis (1999) em cristais de clinopiroxênio de rochas do BSI.

Amostra	Foid sienito		Sienitos				Monzonito	
	2056	2057	2579	2589	2058			
Temperatura (média)	919 – 939 (928)	912 – 925 (918)	892 – 925 (913)	875 – 959 (910)	890 – 916 (903)			
Pressão (kbar)	-	-	-	-	1,8–5,2			

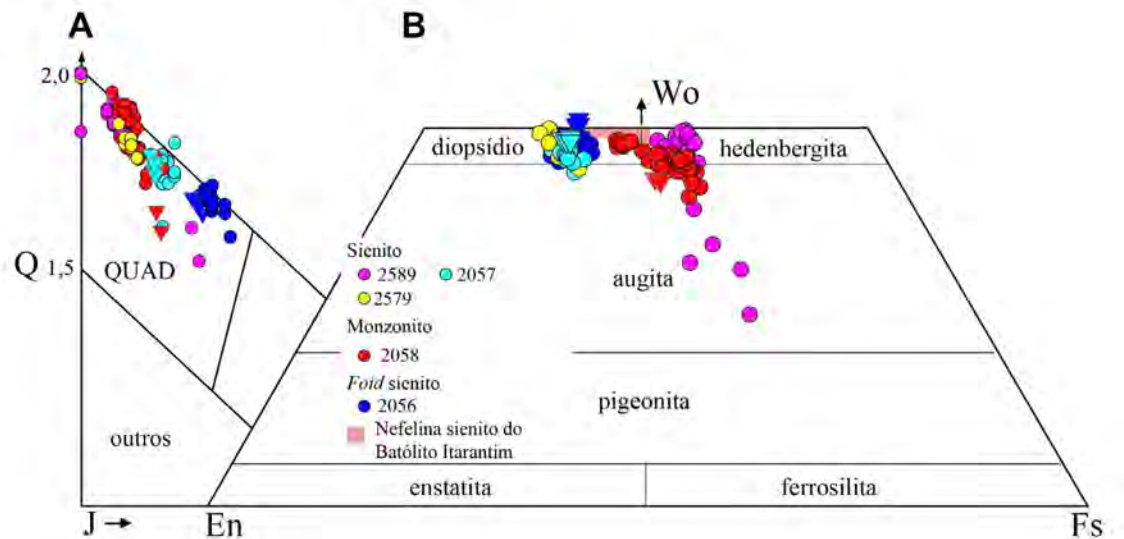


Figura 11. Diagramas de classificação de piroxênios proposto por Morimoto et al. (1988) aplicado aos cristais de piroxênio do BSI. (A) Diagrama binário Q (Ca+Mg+Fe<sup>2+</sup>) versus J (2Na). (B) Diagrama triangular Wo (Wollastonita) - En (Enstatita) - Fs (Ferrossilita) de nomenclatura para piroxênios Ca-Mg-Fe. A área em rosa delimita as composições dos cristais de piroxênio do Batólito Itarantim apresentados por Conceição et al. (2009).

### Anfibólios

Os cristais de anfibólio nas rochas estudadas possuem variadas composições químicas (Tabela 7, Figuras 12 e 13). A maioria dos cristais corresponde a hastingsita e magnesio-hastingsita, ocorrendo de forma limitada cristais de kaersutita, ferro-kaersutita, edenita e actinolita. Os tipos sódico-cálcicos correspondem a ferro-winchita e a ferro-barroisita, limitam-se a amostra 2057 e a ferro-antofilita (Figura 13), encontrada também na amostra 2057. Os cristais de anfibólios cálcicos preservam a composição primária (Figura 13C).

### Olivina

Os cristais de olivina correspondem a hortonolita e Fe-hortonolita (Figura 14). A composição da olivina do sienito (2494) varia de Fo<sub>28,2-42,5</sub>-Fa<sub>55,0-67,8</sub>-Te<sub>3,0-4,2</sub> e do monzonito (2504) de Fo<sub>27,5-30,5</sub>-Fa<sub>65,7-70,4</sub>-Te<sub>1,8-3,7</sub>. De forma geral os conteúdos de Mg# da olivina são superiores aos dos cristais de olivina do Batólito Sienítico Itarantim (Conceição et al., 2009).

Tabela 7. Análises químicas representativas de cristais de anfibólio das rochas do Batólito Sienítico Itabuna. Fórmula estrutural calculada com base em 23 oxigênios. Actinolita (Act), Hornblendita (H), hastingsita (Ha), pargasita (P), edenita (E), kaersutita (Kear), riebequita (R), antofilita (A).

Rocha		Monzonito										Sienito				
Amostra		2058			2505			2589				2579				
Nome		P	HaH	Act	R	A	HaH	Ha	E	HHa	Kear	P	P	H		
SiO <sub>2</sub>	38,22	40,18	53,41	46,45	50,76	39,20	39,30	44,88	48,02	39,59	39,10	40,67	43,51			
TiO <sub>2</sub>	2,45	1,96	0,10	0,39		1,76	2,35	1,27	0,49	4,61	2,55	4,12	1,96			
Al <sub>2</sub> O <sub>3</sub>	14,11	10,68	0,78			10,58	10,09	6,37	4,61	13,72	13,43	13,43	8,33			
FeO	20,29	25,38	19,60	37,92	37,24	28,91	27,93	19,93	23,23	14,31	19,31	12,35	18,42			
MnO	0,78	0,78	1,67	1,67	0,59	0,78	1,08	0,78			0,49					
MgO	6,17	4,80	11,27	5,10	5,78	2,45	3,23	6,76	7,94	10,39	7,74	11,76	10,98			
CaO	10,39	10,68	11,66	0,20	0,29	10,68	10,58	10,98	10,88	11,47	11,27	11,17	10,98			
Na <sub>2</sub> O	2,74	1,76		5,39	1,27	2,06	2,06	1,86	1,57	2,55	2,45	2,94	2,84			
K <sub>2</sub> O	1,47	1,67		0,49	0,20	1,76	1,67	0,78	0,39	1,37	1,57	1,37	0,39			
Total	95,8	97,9	97,6	97,61	97,21	98,0	98,0	93,9	97,9	98,0	97,9	97,8	97,4			
Si	5,996	6,271	7,867	6,904	8,007	6,266	6,245	6,912	7,281	5,934	5,984	6,042	6,534			
Al <sup>IV</sup>	2,004	1,729	0,133			1,734	1,755	1,088	0,719	2,066	2,016	1,958	1,466			
Al <sup>VI</sup>	0,605	0,236	0,003			0,260	0,135	0,068	0,104	0,358	0,406	0,393	0,008			
Ti	0,289	0,230	0,011	0,438		0,212	0,281	0,148	0,056	0,519	0,293	0,460	0,221			
Fe <sup>3+</sup>	0,199	0,595	0,373	4,397		0,394	0,481	0,394	0,432		0,294		0,581			
Fe <sup>2+</sup>	2,462	2,718	2,042	0,317	4,961	3,471	3,230	2,698	2,513	1,793	2,177	1,534	1,732			
Mn	0,104	0,098	0,21	0,225	0,080	0,106	0,141	0,101			0,064					
Mg	1,444	1,117	2,475	1,129	1,373	0,584	0,766	1,552	1,794	2,321	1,766	2,604	2,457			
Ca	1,746	1,786	1,840	0,031	0,050	1,829	1,802	1,811	1,767	1,841	1,848	1,778	1,766			
Na	1,669	1,068		1,553	0,394	1,276	1,268	0,710	0,922	1,481	1,454	1,694	1,655			
K	0,294	0,332		0,093	0,039	0,360	0,338		0,076	0,262	0,306	0,260	0,075			
Total	16,71	16,19	15,06	15,072	15,129	16,46	16,41	15,52	15,76	16,58	16,61	16,72	16,50			
Rocha		Nefelina sienito														
Amostra		2494			2057			2056								
Nome		Ha	Ha	Ha	PH	PH	PH	PH	PH	H	PH					
SiO <sub>2</sub>	40,38	40,57	40,67	41,85	42,43	42,53	40,96	41,26	42,73	42,83						
TiO <sub>2</sub>	2,25	1,86	2,16	4,12	4,12	3,82	2,84	2,35	3,04	2,45						
Al <sub>2</sub> O <sub>3</sub>	12,64	12,94	12,94	10,98	10,98	10,78	12,64	12,35	11,17	11,76						
FeO	18,82	18,03	18,33	14,80	14,80	14,60	19,60	20,09	16,95	16,76						
MnO	0,29	0,20	0,20	0,29	0,00	0,29	0,98	0,88	0,78	0,69						
MgO	8,72	8,92	8,82	10,68	10,58	10,88	6,17	6,37	8,53	8,72						
CaO	10,78	10,68	10,78	10,98	10,49	10,88	9,41	9,51	9,51	9,60						
Na <sub>2</sub> O	2,16	2,25	2,06	2,65	2,55	2,45	3,63	3,43	3,53	3,53						
K <sub>2</sub> O	1,76	1,67	1,76	1,76	1,67	1,67	1,76	1,76	1,67	1,67						
Total	97,8	97,1	97,7	98,1	97,6	97,9	98,0	98,0	97,9	98,0						
Si	6,106	6,150	6,135	6,279	6,363	6,367	6,294	6,338	6,466	6,459						
Al <sup>IV</sup>	1,894	1,850	1,865	1,721	1,637	1,633	1,706	1,662	1,534	1,541						
Al <sup>VI</sup>	0,360	0,461	0,435	0,220	0,303	0,269	0,583	0,574	0,458	0,549						
Ti	0,256	0,212	0,245	0,465	0,464	0,430	0,328	0,272	0,346	0,278						
Fe <sup>3+</sup>	0,555	0,509	0,515					0,048								
Fe <sup>2+</sup>	1,825	1,776	1,797	1,857	1,856	1,828	2,518	2,533	2,145	2,114						
Mn	0,038	0,025	0,025	0,037	0,000	0,037	0,128	0,115	0,100	0,088						
Mg	1,966	2,015	1,983	2,389	2,366	2,428	1,414	1,459	1,923	1,961						
Ca	1,747	1,735	1,742	1,765	1,685	1,745	1,549	1,565	1,541	1,552						
Na	1,264	1,325	1,204	1,540	1,482	1,422	2,160	2,043	2,070	2,063						
K	0,340	0,322	0,339	0,338	0,319	0,318	0,346	0,346	0,322	0,321						
Total	16,35	16,38	16,29	16,61	16,47	16,48	17,03	16,95	16,91	16,93						

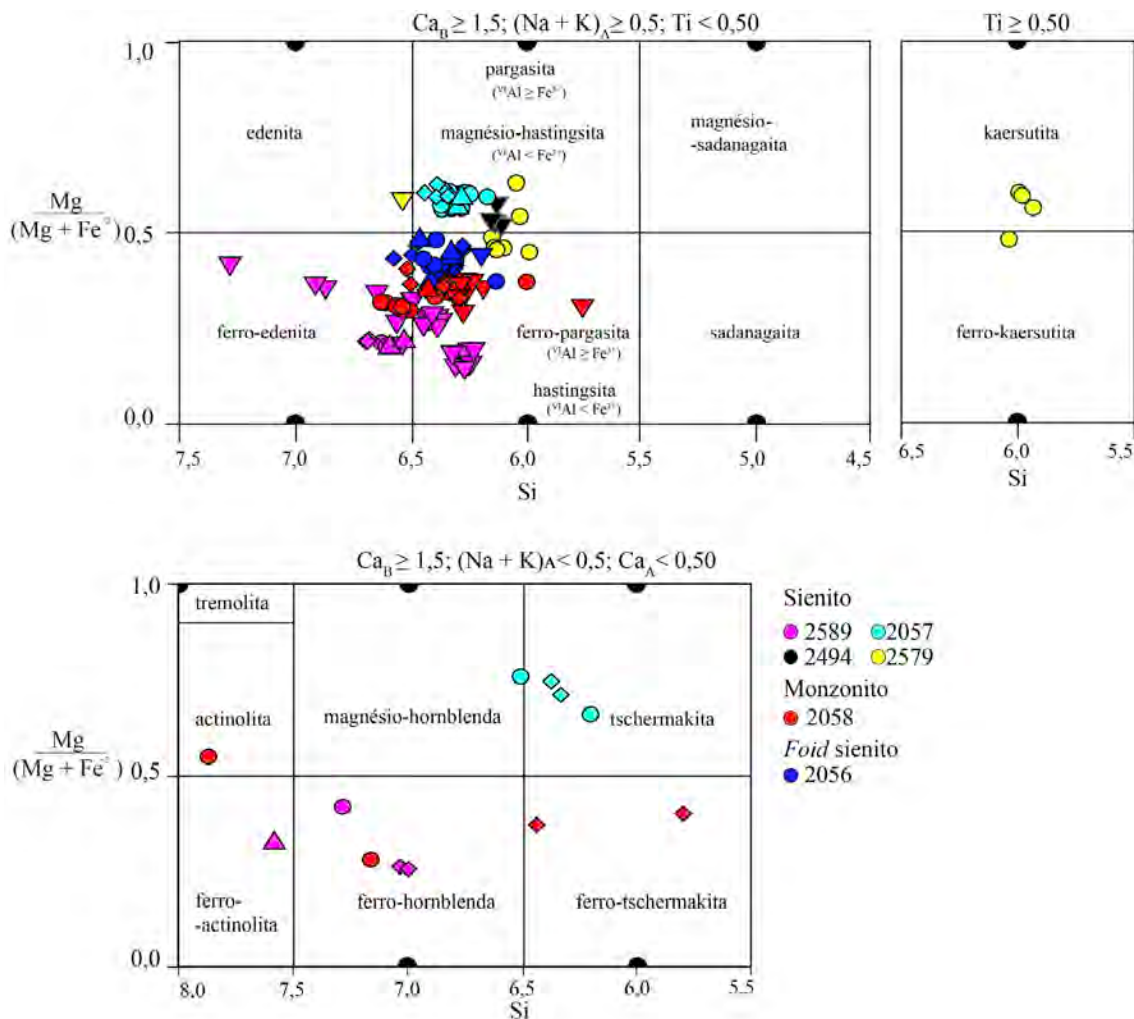


Figura 12. Análises de anfibólio do BSI plotadas no diagrama Mg# versus Si para classificação do anfibólio cálcico (Leake et al., 1997).

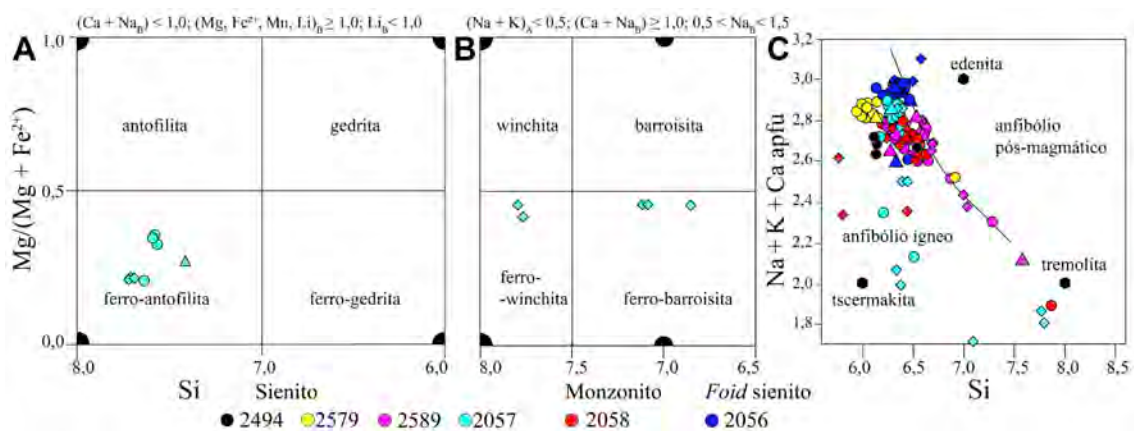


Figura 13. Diagramas binários Mg# versus Si de Leake et al. (1997) para a nomenclatura de anfibólio. (A) Diagramas para classificação do anfibólio de Fe-Mg-Mn-Li com análises realizadas em cristais do BSI. (B) Diagramas para classificação do anfibólio de Na-Ca com análises realizadas em cristais do BSI. (C) Diagrama binário Si apfu versus  $(\text{Na} + \text{Ka} + \text{Ca})$  discriminante entre anfibólio ígneo e anfibólio pós-magmático (Leake, 1971).

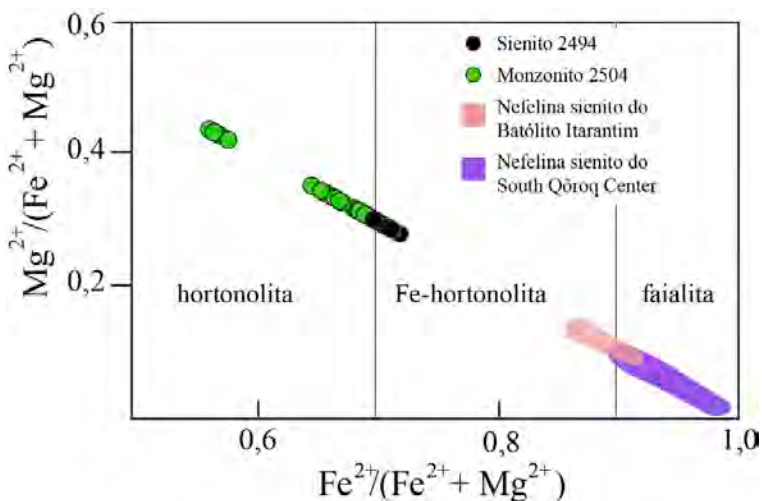


Figura 14. Diagrama binário  $Mg/(Fe^{2+}+Mg)$  versus  $Fe^{2+}/(Fe^{2+}+Mg)$  para nomenclatura da olivina (Deer et al., 2013) com as análises de cristais de olivina de sienitos e monzonitos do Batólito Sienítico Itabuna plotados. A área em rosa representa a química dos cristais de olivina do Batólito Itarantim apresentados por Conceição et al. (2009) e a área em roxo os cristais de olivina do South Qôroq Center apresentadas por Stephenson (1974).

### Minerais acessórios

A apatita do BSI corresponde a OH-apatita e F-apatita (Figura 15A) e os conteúdos de flúor variam de 0,6 a 1,9 apfu e de cloro < 0,1 apfu.  $\Sigma ETR$  atingem valores máximos de 0,06 apfu, o principal deles é o Ce ( $\leq 0,04$  apfu). Identificou-se boa correlação linear (Figura 15B;  $R^2 = 0,884$ ) entre  $(\Sigma ETR + Si)$  e  $(Ca + P)$  o que indica que é ativa a substituição acoplada  $ETR^{3+} + Si^{4+} = Ca^{2+} + P^{5+}$  proposta por Rønsbo (1989).

Os cristais de allanita têm  $0,2 < La$  (apfu)  $< 0,9$ ;  $0,1 < Ce$  (apfu)  $< 0,4$  e  $Nd \leq 0,1$  apfu. Estes dados permitem classificar estes cristais como Ce-allanita e La-allanita. Os carbonatos encontrados nas rochas do BSI são a calcita e dolomita, suas composições têm moléculas de  $CaCO_3$  entre 73 – 99,9% e  $MgCO_3$  de 0,1 – 26%. A baddeleyita ( $UO_2 < 0,5\%$  e  $HfO_2 < 3,1$ ) é mais abundante nas rochas estudadas que os cristais de zircão. A zirconolita ocorre em todas as amostras estudadas (Figura 16A). No *fooid* sienito os cristais de zirconolita têm  $\Sigma ETR \leq 0,21$  apfu e  $(Th+U) < 0,04$  apfu; nos monzonitos possuem  $\Sigma ETR \leq 0,10$  apfu e  $0,20 < (Nb+Ta)$  apfu  $< 0,34$  (0,20 – 0,34 apfu); e nos sienitos  $0,05 < (Th+U)$  apfu  $< 0,19$  (Figura 16B) e o  $\Sigma ETR \leq 0,17$  apfu.

A ilmenita e a magnetita são os principais minerais opacos nas rochas do batólito. A ilmenita possui  $Fe\#$  de 0,75 – 1,00 enquanto a magnetita possui a relação entre o ferro férrico e o ferroso menos variada,  $Fe\#$  entre 0,31 – 0,40. Utilizando-se o algoritmo de Andersen e Lindsley (1985) para os resultados químicos dos óxidos analisados obteve-se nos sienitos temperaturas de exsolução máxima de 600 °C e fugacidade de oxigênio entre  $\log O_2$  variando de -20 e -30. No caso dos óxidos do *fooid* sienito obteve-se temperatura máxima de exsolução de 765 °C e  $\log O_2$  variando de -31 até -9.

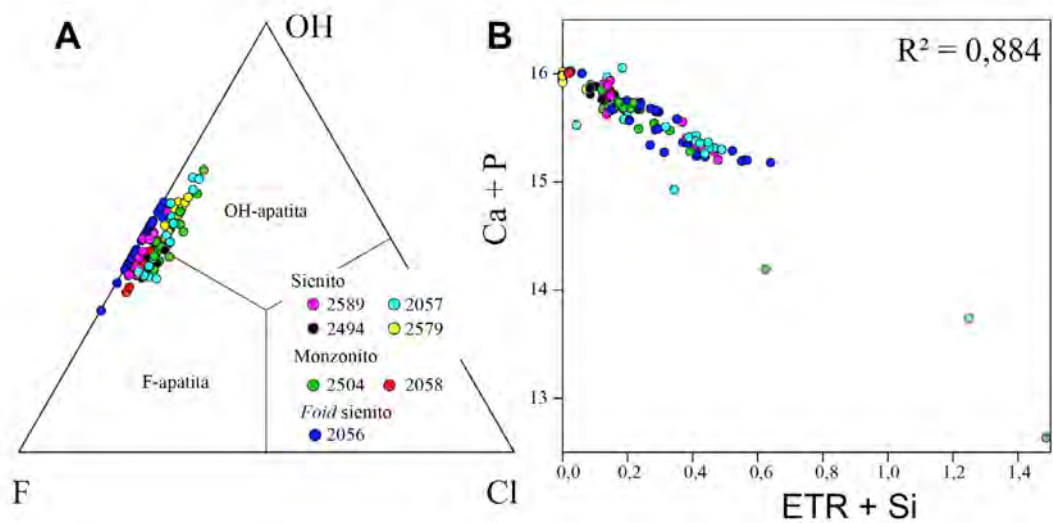


Figura 15. (A) Diagrama ternário F-OH-Cl para nomenclatura dos cristais de apatita analisadas nas rochas do BSI. (B) Diagrama binário ETR+Si versus Ca+P apfu para demonstrar que a substituição acoplada, proposta por Rønsbo (1989), é presente em cristais de apatita do BSI.

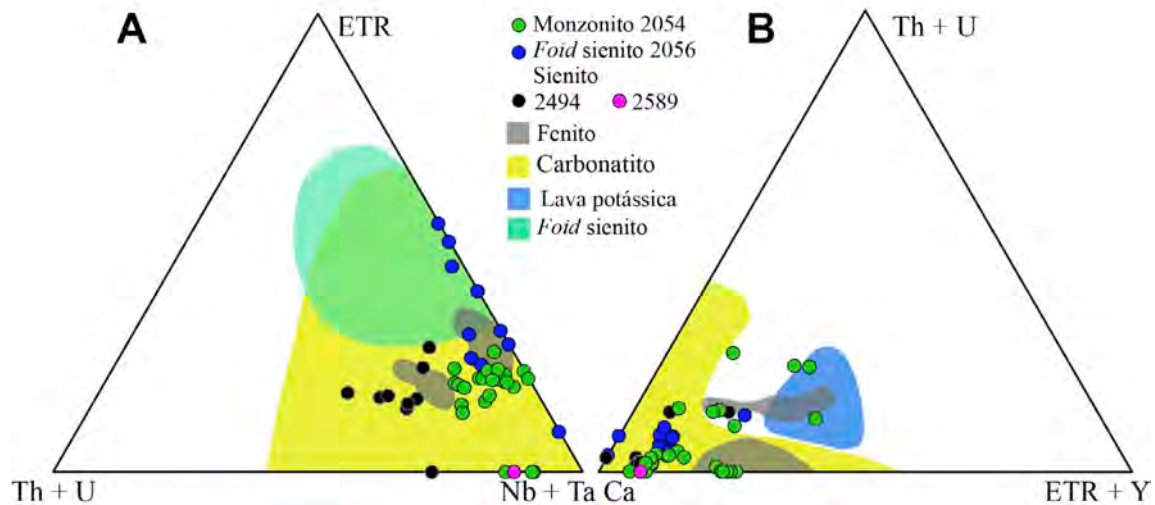


Figura 16. (A) Diagrama ternário (Th+U)-(Nb+Ta)-(ETR) apresentado por Bellatreccia et al. (1999) com análises de cristais de zirconolita do BSI. (B) Diagrama (Th+U)-(Ca)-(ETR+Y). As áreas coloridas definem a composição de cristais de zirconolita encontrados em lavas potássicas (De Hoog e Van Bergen, 1997), *foid* sienitos (Platt et al., 1987), carbonatititos (Bellatreccia et al., 1999; Williams e Gieré, 1996); Fenitos (Santos, 2016).

## DISCUSSÃO

O estudo petrográfico das rochas do Batólito Sienítico Itabuna evidenciou que elas têm minerais bem formados (subédricos e euédricos) e preservam as texturas ígneas (hipidiomórfica, porfirítica, fluxo magmático e as relações de inclusões). Estes dados indicam que se pode utilizar a química dos minerais para inferir os parâmetros intensivos presentes durante a cristalização das rochas estudadas.

A composição dos cristais de plagioclásio em rochas do BSI evidencia graus distintos de fracionamento, o que sugere que as rochas estudadas correspondem a etapas diferentes de cristalização do magma básico/intermediário responsável pela formação do batólito em estudo. A labradorita, presente no biotita sienito (2579), é o plagioclásio mais primitivo identificado no BSI. O oligoclásio domina nas rochas do BSI e a albita ocorre no *fold* sienito, o termo mais diferenciado. Os cristais de feldspato alcalino registram igualmente essa evolução e as suas composições indicam cristalização a alta temperatura (e.g. Ca sanidina, Na- sanidina, Ca - anortoclásio).

A olivina do BSI apresenta conteúdo de MgO superior às encontradas nos sienitos do Batólito Itarantim.

Temperaturas de 875 – 939 °C encontram-se registradas em cristais de clinopiroxênio de diferentes rochas do BSI e são compatíveis com as temperaturas reportadas para cristais precoces em magmas básicos/intermediários alcalinos (McBirney, 2006). A cristalização precoce e longa de clinopiroxênio suporta igualmente o aumento da subsaturação em silício registrada no BSI com a formação de *fold* sienito. A pressão de cristalização máxima obtida para clinopiroxênio no BSI foi de 5,2 kbar (18,7 km) utilizando-se o algoritmo de Nimis (1999). A restrição desse geobarômetro (elaborado para rochas com baixa alcalinidade) não permitiu aplicá-lo a algumas amostras de sienitos e *fold* sienito, por isso inferiu-se as pressões para as outras rochas estudadas com base nos conteúdos de alumínio, segundo Aoki e Shiba (1973). Os resultados obtidos (Figura 17A) indicaram que os clinopiroxênios do BSI se cristalizaram a pressões intermediárias (mesozona) a baixas (epizona) sob em condições de alta fugacidade de oxigênio (Figura 17B). As profundidades estimadas para a cristalização dos minerais são compatíveis com as estruturas de alta viscosidade descritas por Rosa et al. (2007) observadas nos contatos entre as rochas alcalinas de diversas intrusões da PASEBA e as metamórficas encaixantes.

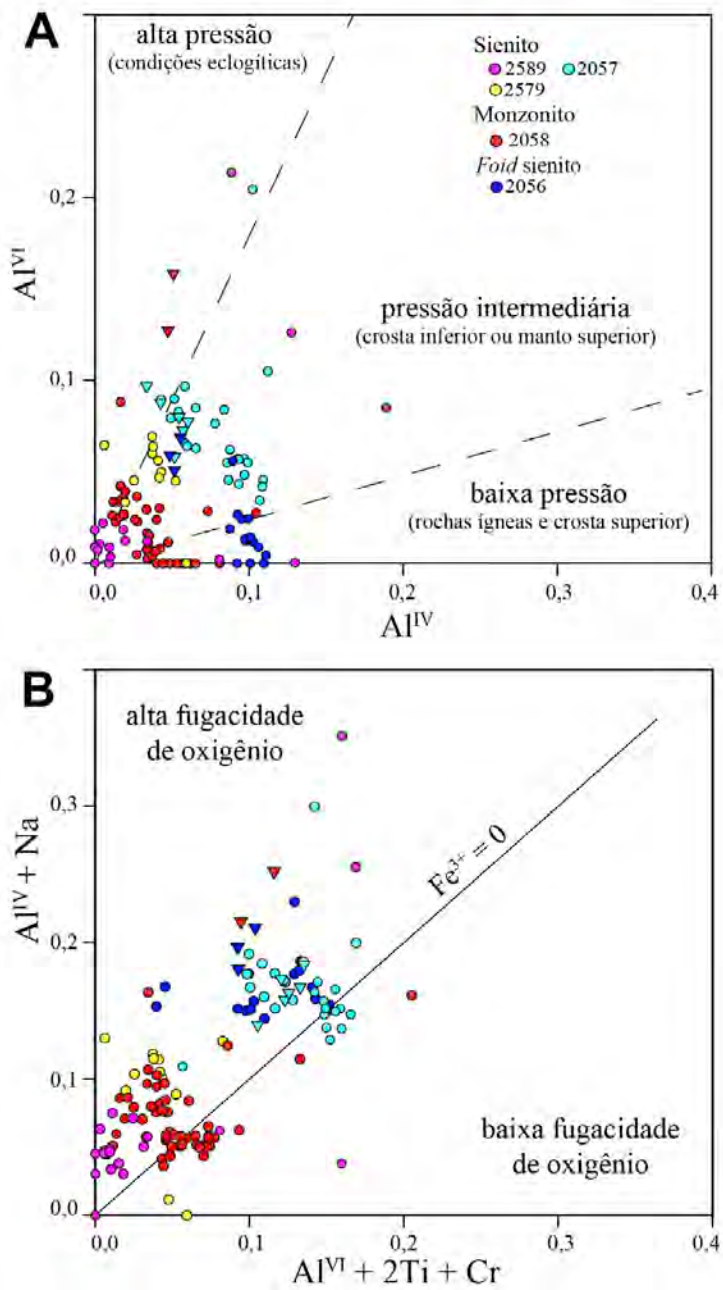


Figura 17. Diagramas binários para inferência de parâmetros intensivos da cristalização do clinopiroxênio aplicados aos cristais do BSI. (A) Diagrama Al<sup>IV</sup> e Al<sup>VI</sup> apfu para inferir a pressão propostas por Aoki e Shiba (1973). (B) Diagrama binário Al<sup>IV</sup>+Na versus Al<sup>VI</sup>+2Ti+Cr apfu de Schweitzer et al. (1979) para estimar a fugacidade de oxigênio.

Os cristais de anfibólio e biotita nas rochas do BSI são magmáticos. Os anfibólitos mostram evolução magmática de tipos com alto titânio (kaersutita) para médio-baixo titânio (pargasita, hastingsita, edenita, tschermakita, Mg hornblenda), a tipos sódico-cálcicos (Fe antophillita, Fe wichita). Tal evolução é compatível com a cristalização fracionada.

As temperaturas entre 810 – 681 °C foram obtidas para a cristalização da biotita, segundo o algoritmo de Henry et al. (2005). Os maiores valores ocorrem nos monzonitos (810 – 720 °C) e são seguidos pelos dos sienitos (797 – 681 °C) e no *fold* sienito obteve-se temperaturas entre 720 – 707 °C. Estes dados mostram-se coerentes e estão nos intervalos descritos para cristalização de biotita em corpos sieníticos da literatura (e.g. Anderson, 1980; Mesquita et al., 2018). A pressão máxima de cristalização da biotita foi de 2,2 kbar, utilizando-se o geobarômetro de Al na biotita de Uchida et al. (2007), que corresponde a 8 km de profundidade, sendo coerente com o fato da biotita ser o último mineral máfico magmático a se formar em condições mais rasas.

Os cristais com hábitos em prismas alongados a acicular de apatita nas rochas estudadas releva cristalização precoce relativamente rápida, o que é compatível com processo de mistura entre magmas máfico e félscico. O conteúdo total dos ETR nos cristais de apatita analisados é relativamente baixo, quando comparados a cristais de rochas semelhantes da literatura (e.g. Rønsbo, 1989). Este fato pode refletir as cristalizações precoces de baddeleyita, allanita, zircão e zirconolita que incorporaram a maior parte dos ETR disponíveis no magma. Os cristais de monazita encontrados estão associados a cristais de apatita prismáticos na amostra de sienito 2589. Essa monazita pode ter se formado a partir da interação da apatita com fluidos, durante processo acoplado de dissolução e re-precipitação (Harlov et al., 2005; Santos et al., 2018). A identificação da substituição acoplada  $\text{ETR}^{3+} + \text{Si}^{4+} = \text{Ca}^{2+} + \text{P}^{5+}$  pode ser mais um indício da perda de ETR da apatita para a monazita. Como os cristais de apatita já se cristalizaram com baixos conteúdos de ETR, a nucleação e crescimento da monazita foi limitado a cristais com poucos micrômetros de diâmetro, ainda assim a presença desse mineral associado à F-apatita depletada em ETR e Si é um indício da ação de metassomatismo (Harlov et al., 2005; Hansen e Harlov, 2007; Harlov, 2015; Santos et al., 2018). Santos (2016) considera que este processo foi relevante na gênese da monazita no Complexo Alcalino Floresta Azul, o corpo a sul do BSI.

Os elevados teores de Ce e La da allanita, bem como a sua ocorrência como inclusões denotam sua origem magmática precoce segundo os critérios de Gieré e Sorensen (2004). Os cristais de carbonato nas rochas do BSI são intersticiais e preenchem fraturas, de forma semelhante ao que ocorre com os cristais de calcita descritos por Rosa et al. (2005c) no Complexo Alcalino Floresta Azul, Batólito Itarantim e no Stock Rio Pardo. Rosa et al. (2005c) determinam por isótopos de C e O que os cristais de carbonato nos corpos da PASEBA estudados por eles possuem assinatura mantélica.

A presença de pirita intersticial, barita preenchendo fraturas, monazita anédrica associada à apatita, bastnásita e thorita formadas aparentemente a partir da transformação da allanita, marcam o fim da cristalização magmática e são indicativos da atuação de fluidos tardios nas rochas estudadas, como descrito na literatura (e.g. Harlov, 2015; Berger et al., 2008). Estas feições associadas a recristalização da apatita e formação tardia da monazita reforçam a importância dos fluidos nas etapas finais da cristalização do BSI.

A zirconolita é inclusa em diversos cristais nas rochas estudadas e não apresentam indícios de associação com evento hidrotermal. Quando comparadas a cristais em outras rochas (Figura 16) observa-se que a zirconolita do BSI possui composição semelhante aos cristais presentes em rochas carbonatíticas descritas por Williams e Gieré (1996). A zirconolita descrita por Rajesh et al. (2006) que ocorre como inclusões, sem correlação com fluidos e aloca-se no mesmo campo no diagrama da Figura 16, teve gênese associada a um magma subsaturado em SiO<sub>2</sub> de afinidade carbonatítica. Essa semelhança entre a química dos cristais das rochas carbonatíticas e os cristais das rochas do BSI ocorre devido provavelmente à composição alcalina miasquítica das rochas do batólito. Assim, a zirconolita do BSI foi interpretada também como um mineral magmático precoce.

O intercrescimento entre feldspato e feldspatoide é uma feição comumente observada em rochas alcalinas (e.g. Agreeva et al., 2012). Esta textura é usualmente associada a processos metassomáticos, de alteração de fases preexistentes e de desestabilização dos cristais (Smith, 1974; Mitchell e Platt, 1979; Deer et al., 2013). Os intercrescimentos de nefelina vermiciforme em feldspato alcalino pertítico em rochas do BSI são caracterizados por: (i) ocorrer unicamente em fenocristais; (ii) a disposição e extinção das vermiculas não sugere controle cristalográfico do feldspato alcalino hospedeiro; (iii) as composições da nefelina vermiciforme coincide com aquelas dos cristais intersticiais. As características são compatíveis com aquelas descritas na literatura como produto da exsolução do feldspato alcalino associado ao resfriamento das rochas.

Diversos autores evidenciam a importância da cristalização fracionada na evolução das rochas que compõem a PASEBA (e.g. Rosa et al., 2005a, b; Conceição et al., 2009). Esses trabalhos, associados à incipiente ação de fluidos, na morfologia e química dos minerais, dão respaldo para propor a cristalização fracionada como principal processo atuante na evolução das rochas do Batólito Sienítico Itabuna, de forma similar ao observado em diversos outros corpos da província.

## CONCLUSÃO

O estudo petrográfico clássico complementado com o de microscopia eletrônica de varredura permitiu identificar várias texturas e minerais, ainda não identificados nas rochas do Batólito Sienítico Itabuna, como, por exemplo, zirconolita, monazita, barita, bastnásita, allanita e thorita.

Os monzonitos e *feld* sienitos são porfiríticos e o volume da matriz nestas rochas situam-se entre 20 – 25%. A variação da granulação nos sienitos do BSI é sua característica marcante. A diferença de tamanhos dos cristais pode refletir variação local da pressão de fluidos na câmara magmática durante a cristalização. A forma anédrica e alocação intersticial dos minerais magnéticos tardios (carbonatos, pirita e monazita) indicam a ação de fluidos hidrotermais, e as texturas e composições químicas de feldspatos, feldspatoides e minerais ferro-magnesianos (clinopiroxênio, anfibólio e biotita) estão preservados e sugerem que a cristalização fracionada teve um papel importante na formação das rochas do batólito.

Entre os minerais essenciais, a labradorita e o clinopiroxênio cristalizaram-se precocemente. Os clinopiroxênios registram a temperatura inicial de cristalização de 939 °C em uma profundidade de cerca de 19 km, sob condições relativamente oxidantes. O anfibólio e biotita apresentam composições magnéticas. A composição do anfibólio durante a evolução do magma modifica-se, passando de Ca-Fe-Mg com alto titânio (kearsurtita) para tipos com menor titânio (pargasita, hastingsita, edenita, tschermakita, Mg hornblenda), e sódico-cálcicos (Fe antophillita, Fe wichita). Essa mudança na composição é coerente com o aumento de alcalinidade na evolução do magma miasquítico responsável pela formação do BSI. A mica marrom corresponde dominante mente a Fe-biotita e de forma subordinada a siderofilita e lepidomelano. Ela corresponde ao último mineral máfico a se cristalizar nas rochas do BSI. A Fe-biotita cristaliza-se no intervalo de temperatura de 797 – 681 °C e com profundidade de 8 km, colocando em evidência a ascensão durante seu fracionamento.

Os minerais acessórios identificados nas rochas do BSI refletem sua natureza alcalina. Eles são compatíveis com magmas alcalinos miasquíticos moderadamente subsaturados em sílica, fazendo com que vários deles registrem afinidades com magmas carbonatíticos.

## AGRADECIMENTOS

Essa pesquisa foi realizada com apoio da Coordenação de Aperfeiçoamento de Pessoal de Nível Superior – Brasil. Este estudo foi possível graças aos auxílios dos projetos PRONEX/FAPITEC/CNPq (019.203.02538/2009-7), PROMOB/FAPITEC/CAPES (Processo 88881.157717/2017-01), PROEF/FAPITEC/CAPES (Processo 88881.15743/2017-01), CNPq-PQ (311008/2017-08), CNPq (310391/2017-2) e CNPq-Universal (2016311008/2017-8).

Agradecemos ao Prof. Dr. Carlos Dinges Marques de Sá (UFS), à Profa. Dra. Jailma Santos de Souza de Oliveira (UFBA) e aos dois revisores anônimos da revista Geologia USP, Série Científica, pelas sugestões que muito contribuíram para a melhora do trabalho.

## REFERÊNCIAS

- Agreeva, O. A., Abart, R., Habler, G., Borutzky, B. Y., Trubkin, N. V. (2012). Oriented feldspar-feldspathoid intergrowths in rocks of the Khibiny massif: genetic implications. *Mineralogy and Petrology*, 106(1), 1-17. <https://doi.org/10.1007/s00710-012-0216-8>
- Andersen, D. J., Lindsley, D. H. (1985). New (and final!) models for the Ti-magnetite/ilmenite geothermometer and oxygen barometer. *EOS*, 66(18), 416.
- Anderson, J. L. (1980). Mineral equilibria and crystallization conditions in the late Precambrian Wolf River rapakivi massif, Wisconsin. *American Journal of Science*, 280(4), 289-332. <https://doi.org/10.2475/ajs.280.4.289>
- Aoki, K. I., Shiba, I. (1973). Pyroxenes from Lherzolite Inclusions of Itinome-Gata, Japan. *Lithos*, 6, 41-51. [https://doi.org/10.1016/0024-4937\(73\)90078-9](https://doi.org/10.1016/0024-4937(73)90078-9)
- Azadbakht, Z., Lentz, D., Mcfarlane, C., Whalen, J. (2020). Using Magmatic Biotite Chemistry to Differentiate Barren and Mineralized Silurian-Devonian Granitoids of New Brunswick, Canada. Contributions to Mineralogy and Petrology. 175. 69. [10.1007/s00410-020-01703-2](https://doi.org/10.1007/s00410-020-01703-2).
- Barbosa de Deus, P., Rangel, P. A., Silveira, W. P., Viana, I. A., Alecrim, J. D., Villas Boas, A., Teixeira, L. R., Panponet, L. T. C., Araújo, J. B., Rodrigues, J. B., Cardoso, P. C. S., Vasconcelos, H. R., Garrido, I. A. A., Ribeiro, W., Bezerra, A. T., Rego, J. E., Silva, N. S., Siqueira, L. P., Bezerra, J. C. L. (1976). *Projeto Rochas Alcalinas de Itarantim, Fase-I*. CBPM.
- Barbosa, J. S., Mascarenhas, J. F., Correa Gomes, L. C., Dominguez, L. M., Santos de Souza, J. (2012). Geologia da Bahia: pesquisa e atualização. Série publicações especiais, Salvador, CBPM. 559p.
- Bellatreccia, F., Della Ventura, D. G., Caprilli, E., Williams, C. T., Parodi, G. C. (1999). Crystal-chemistry of zirconolite and calzirite from Jacupiranga, São Paulo (Brazil). *Mineralogical Magazine*, 63, 649-660. <https://doi.org/10.1180/002646199548817>
- Berger, A., Gnos, E., Janots, E., Fernandez, A., Giese, J. (2008). Formation and composition of rhabdophane, bastnäsite and hydrated thorium minerals during alteration: Implications for geochronology and low-temperature processes. *Chemical Geology*, 254(3-4), 238-248. <https://doi.org/10.1016/j.chemgeo.2008.03.006>

- Conceição, H. (1990). *Pétrologie du massif syénitique d'Itiúba: contribution à l'étude minéralogique des roches alcalines dans l'État de Bahia (Brésil)*. Tese (Doutorado). Centre d'Orsay: University of Paris-Sul.
- Conceição, H., Rosa, M. L. S., Moura, C. A. V., Macambira, M. J. B., Galarza, M. A., Rios, D. C., Marinho, M. M., Menezes R. C. L, Cunha, M. P. (2009). Petrology of the Neoproterozoic Itarantim nepheline syenite batholith, São Francisco Craton, Bahia, Brazil. *The Canadian Mineralogist*, 47(6), 1527-1550. <https://doi.org/10.3749/canmin.47.6.1527>
- Corrêa Gomes, L. C. (2000). *Evolução Dinâmica da Zona de Cisalhamento Neoproterozóica de Itabuna-Itajú do Colônia e do Magmatismo Fissural Alcalino Associado (SSE do Estado da Bahia, Brasil)*. Tese (Doutorado). Campinas: Instituto de Geociências – UNICAMP.
- De Hoog, J. C. M., Van Bergen, M. J. (1997). Notes on the chemical composition of zirconolite with thorutite inclusions from Walaweduwa, Sri Lanka. *Mineralogical Magazine*, 6(408), 721–725. doi:10.1180/minmag.1997.061.408.13
- Deer, W. A., Howie, R. A., Zussman, J. (2013). *An introduction to the Rock-Forming Minerals*. London: The Mineralogical Society.
- Gieré, R., Sorensen, S. S. (2004). Allanite and other REE-rich epidote-group minerals. *Reviews in Mineralogy and Geochemistry*, 56(1), 431-493. <https://doi.org/10.2138/gsrmg.56.1.431>
- Hamilton, D. L., Mackenzie, W. S. (1965). Phase equilibrium studies in the system NaAlSiO<sub>4</sub> (nepheline)–KAlSiO<sub>4</sub> (kalsilite)–SiO<sub>2</sub>–H<sub>2</sub>O. *Mineralogist Magazine*, 34(1), 214-231. <https://doi.org/10.1180/minmag.1965.034.268.17>
- Hansen, E. C., Harlov, D. E. (2007). Whole-rock, phosphate, and silicate compositional trends across an amphibolite-to granulite-facies transition, Tamil Nadu, India. *Journal of Petrology*, 48(9), 1641-1680. <https://doi.org/10.1093/petrology/egm03>
- Harlov, D. E. (2015). Apatite: A fingerprint for metasomatic processes. *Elements*, 11(3), 171-176. <https://doi.org/10.2113/gselements.11.3.171>
- Harlov, D. E., Wirth, R., Förster, H. J. (2005). An experimental study of dissolution–reprecipitation in fluorapatite: fluid infiltration and the formation of monazite. *Contributions to Mineralogy and Petrology*, 150(3), 268-286. <https://doi.org/10.1007/s00410-005-0017-8>
- Henry, D. J., Guidotti, C. V., Thomson, J. A. (2005). The Ti-saturation surface for low-to-medium pressure metapelitic biotites: Implications for geothermometry and Ti-substitution mechanisms. *American mineralogist*, 90(2-3), 316-328. <https://doi.org/10.2138/am.2005.1498>
- Leake, B. E. (1971). On aluminous and edenitic hornblendes. *Mineralogical Magazine*, 38(296), 389-407. <https://doi.org/10.1180/minmag.1971.038.296.01>
- Leake, B. E., Wooley, A. R., Arps, C. E. S., Birch, W. D., Gilbert, M. C., Grice, J. D., Hawthorne, F. C., Kato, A., Kisch, H. J., Krivovichev, V. G., Linthout, K., Laird, J., Mandarino, J. A., Maresch, W. V., Nickel, E. H., Rock, N. M. S., Schumacher, J. C., Smith, D. C., Stephenson, N. C. N., Ungaretti, L., Whittaker, E. J. W., Youzhi, G. (1997). Nomenclature of Amphiboles: Report of the Subcommittee on Amphiboles of the International Mineralogical Association, Commission on New Minerals and Mineral Names. *American Mineralogist*, 82, 1019-1037.
- Lima, M. I. C., Fonsêca, E. G., Oliveira, E. P., Ghignone, J. I., Rocha, R. M., Carmo, U. F., Silva, J. M. R., Siga Junior, O. (1981). Folha SD. 24 Salvador; geologia, geomorfologia, pedologia, vegetação e uso potencial da terra. Projeto RADAMBRASIL.
- McBirney, A. (2006). *Igneous Petrology, Third Edition*. Jones & Bartlett Learning.

- Mesquita, C. J. S., Dall'Agnol, R., Almeida, J. D. A. C. D. (2018). Mineral chemistry and crystallization parameters of the A-type Paleoproterozoic Bannach granite, Carajás province, Pará, Brazil. *Brazilian Journal of Geology*, 48(3), 575-601. <https://doi.org/10.1590/2317-4889201820170082>
- Mitchell, R. H., Platt, R. G. (1979). Nepheline – plagioclase intergrowth of metasomatic origin from the Coldwell complex, Ontario. *Canadian Mineralogist*, 17, 537–540
- Moshefi, P., Hosseinzadeh, M.R., Moayyed, M., Lentz, D. (2018). Comparative Study of Mineral Chemistry of Four Biotite Types as Geochemical Indicators of Mineralized and Barren Intrusions in the Sungun Porphyry Cu - Mo Deposit, Northwestern Iran. *Ore Geology Reviews*, 97, 1- 20. [10.1016/j.oregeorev.2018.05.003](https://doi.org/10.1016/j.oregeorev.2018.05.003).
- Morimoto, N. 1988. Nomenclature of pyroxenes. *Mineralogy and Petrology*, 39(1), 55-76. <https://doi.org/10.1007/BF01226262>
- Nachit, H., Ibhi, A., Abia, E. H., Ohoud, M. B. (2005). Discrimination between primary magmatic biotites, reequilibrated biotites and neoformed biotites. *Comptes Rendus Geoscience*, 337(16), 1415-1420. <https://doi.org/10.1016/j.crte.2005.09.002>
- Newbury, D. E. (2009). Mistakes encountered during automatic peak identification of minor and trace constituents in electron excited energy dispersive X-ray microanalysis. *Scanning: The Journal of Scanning Microscopies*, 31(3), 91-101. <https://doi.org/10.1002/sca.20151>
- Nimis, P. (1999) Clinopyroxene geobarometry of magmatic rocks. Part 2. Structural geobarometers for basic to acid, tholeiitic and mildly alkaline magmatic systems. *Contributions to Mineralogy and Petrology*, 135, 62-74. <https://doi.org/10.1007/s004100050498>
- Oliveira, E. P., Lima, M. I. C., Marques, N. M. G. (1980). Maciço Sienítico de Itabuna, Bahia. Congresso Brasileiro de Geologia, 31, 2149-2162. Florianópolis: SBG
- Oliveira, R. C. L. M. (2010). *Idade, petrografia e geoquímica do magmatismo anorogênico criogeniano e toniano no sul do estado da Bahia*. Tese (Doutorado). Salvador: Curso de Pós-graduação em Geociências - UFBA.
- Peixoto, A. A. (2005). *Aspectos geológicos, petrológicos e geoquímicos do plutonismo miasquítico Brasileiro da região Sul do Estado da Bahia: Batólito Sienítico Itabuna*. Tese (Doutorado). Salvador: Programa de Pós-graduação em Geologia – UFBA.
- Platt, R. G., Wall, F., Williams, C. T., Woolley, A. R. (1987). Zirconolite, chevkinite and other rare earth minerals from nepheline syenites and peralkaline granites and syenites of the Chilwa Alkaline Province, Malawi. *Mineralogical Magazine*, 51(360), 253-263. <https://doi.org/10.1180/minmag.1987.051.360.07>
- Rajesh, V. J., Yokoyama, K., Santosh, M., Arai, S., Oh, C. W., Kim, S. W., (2006). Zirconolite and Baddeleyite in an Ultramafic Suite from Southern India: Early Ordovician Carbonatite-Type melts associated with extensional collapse of the Gondwana Crust. *The Journal of geology*, 114(2), 171-188. <https://doi.org/10.1086/499571>
- Rønsbo, J. G. (1989). Coupled substitutions involving REEs and Na and Si in apatites in alkaline rocks from the Ilmaussaq intrusion, South Greenland, and the petrological implications. *American Mineralogist*, 74(7-8), 896-901.
- Rosa, M. L. S, Conceição, H., Moura, C. A. V., Macambira, M. J. B., Marinho, M. M., Leal, R. C. M., Cunha, M. P., Rios, D. C. (2005c). Assinatura mantélica de isótopos de carbono e oxigênio em cristais de calcita de rochas foid-sieníticas da Província Alcalina do Sul do Estado da Bahia. *Revista Brasileira de Geociências*, 35(4), 71-76.

- Rosa, M. L. S., Conceição, H., Macambira, M. J. B., Marinho, M. M., Menezes, R. C. L., Cunha, M. P. D., Rios, D. C. (2005a). Magmatismo neoproterozoico no sul do Estado da Bahia, maciço sienítico Serra das Araras: Geologia, petrografia, idade e geoquímica. *Revista Brasileira de Geociências*, 35(1), 111-121. <https://doi.org/10.25249/0375-7536.2005351111121>
- Rosa, M. L. S., Conceição, H., Macambira, M. J. B., Menezes, R. C. L., Cunha, M. P., Rios, D. C., Marinho, M. M. (2005b). Magmatismo alcalino intraplaca neoproterozoico no sul do estado da Bahia: o batólito nefelina-sienítico itarantim. *Revista Brasileira de Geociências*, 35(4), 47-58. <https://doi.org/10.25249/0375-7536.200535S44758>
- Rosa, M. L. S., Conceição, H., Menezes, R. C. L., Macambira, M. J. B., Galarza, M. A., Cunha, M. P., Menezes, R. C. L., Marinho, M. M., Cruz Filho, B. E., Rios, D. C. (2007). Neoproterozoic anorogenic magmatism in the southern Bahia alkaline Province of NE Brazil. *Lithos*, 97(1), 88-97. <https://doi.org/10.1016/j.lithos.2006.12.011>
- Santos, J. J. A. (2016). *Intrusão sienítica do Complexo Alcalino Floresta Azul, Bahia: mineralogia e geoquímica*. Dissertação (Mestrado). São Cristóvão: Programa de Pós-Graduação em Geociências e Análise de Bacias – UFS.
- Santos, J. J. A. (2020). *Petrogênese do Complexo Alcalino Floresta Azul, Sul do Estado da Bahia*. Tese (Doutorado). Salvador: Programa de Pós-graduação em Geologia – UFBA.
- Santos, J. J. A., Conceição, H., Leandro, M. V. S., Rosa, M. L. S. (2018). Formation of monazite-(Ce, La) by fluid-apatite interaction: the Floresta Azul Alkaline Complex, Bahia, Brazil. *Brazilian Journal of Geology*, 48(4), 721-733. <http://dx.doi.org/10.1590/2317-4889201820180069>
- Santos, J. J. A., Conceição, H., Rosa, M.L.S. (2021). Autometassomatic and hydrothermal processes in the crystallization and recrystallization of calcite, Floresta Azul Alkaline Complex, NE Brazil. *Journal of South American Earth Sciences*, 111, 103450, <https://doi.org/10.1016/j.jsames.2021.103450>.
- Schweitzer, E. L., Papike, J. J., Bence, A. E. (1979) Statistical analysis of clinopyroxenes from deep-sea basalts. *American Mineralogist*, 64 (5-6), 501-513.
- Silva Filho, M. A., Moraes Filho, O., Gil C. A. A., Santos, R. A. (1974). *Projeto Sul da Bahia, Folha SD. 24-YD*. Relatório Final, Convênio DNPM/CPRM.
- Smith, J. V. (1974). Intergrowths of feldspars with other minerals. In: Smith, J. V. (Ed.), *Feldspar Minerals*, 553-647. Heidelberg: Springer, Berlin, Heidelberg.
- Smith, J. V., Brown, W. L. (1988). Crystal Structures. In: Smith, J. V., Brown, W. L. (Eds) *Feldspar Minerals I Physical, Chemical and Microstructural Properties*, 21-32. New York: Springer-Verlag.
- Souto, P. G. (1972). *Geologia e Petrografia da Área de Potiraguá, Bahia, Brasil*. Tese (Doutorado). São Paulo: Instituto de Geociências - USP.
- Stephenson, D. (1974). Mn and Ca enriched olivines from nepheline syenites of the South Qoroq Centre, south Greenland. *Lithos*, 7(1), 35-41. [https://doi.org/10.1016/0024-4937\(74\)90036-X](https://doi.org/10.1016/0024-4937(74)90036-X)
- Streckeisen, A. L. (1976). To each plutonic rocks its proper name. *Earth Science Reviews*, 12(1), 1-33.
- Teixeira, W., Kamo S. L., Arcanjo, J. B. A. (1997). U-Pb zircon and baddeleyite age and tectonic interpretation of the Itabuna alkaline suite, São Francisco Craton, Brazil. *Journal of South American Earth Sciences*, 10(1), 91-98. [https://doi.org/10.1016/S0895-9811\(97\)00008-4](https://doi.org/10.1016/S0895-9811(97)00008-4)

- Tischendorf, G., Förster, H. J., Gottesmann, B. (1999). The correlation between lithium and magnesium in trioctahedral micas: Improved equations for Li<sub>2</sub>O estimation from MgO data. *Mineralogical Magazine*, 63(1), 57-74. <https://doi.org/10.1180/002646199548312>
- Tulloch, A. J., Challis, G. A., (2000). Emplacement depths of Paleozoic-Mesozoic plutons from western New Zealand estimated by hornblende-Al geobarometry. *New Zealand Journal of Geology and Geophysics*, 43(4), 555-567. <https://doi.org/10.1080/00288306.2000.9514908>
- Uchida, E., Endo, S., Makino, M. (2007). Relationship between solidification depth of granitic rocks and formation of hydrothermal ore deposits. *Resource Geology*, 57(1), 47-56. <https://doi.org/10.1111/j.1751-3928.2006.00004.x>
- Williams, C. T., Gieré, R. (1996). Zirconolite: a review of localities worldwide, and a compilation of its chemical compositions. *Bulletin of the Natural History Museum of London*, 52, 1-24.

## ***CAPÍTULO 3: CONCLUSÕES***

O Batólito Sienítico Itabuna é intrusivo em granulitos do Cráton do São Francisco. Em seus 450 km<sup>2</sup> de área aflorante são identificados a presença de sienitos, monzonitos e *foi*d sienitos (em ordem decrescente de abundância) e de forma subordinada tem-se dioritos e gabros. As rochas estudadas têm minerais bem formados e preservam as texturas ígneas (porfirítica, fluxo magmático e reações). Os *foi*d sienitos têm textura porfirítica, hipdiomórfica e é composto por 20% de matriz, com fenocristais centimétricos (<1.0 cm) de feldspato alcalino subédrico e nefelina anédrica. Sodalita e cancrinita ocorrem apenas na matriz. Os monzonitos têm texturas porfirítica e hipdiomórfica e a matriz perfaz 25% do volume das rochas. Os maiores fenocristais são de feldspato alcalino (< 1.2 cm), minerais máficos (anfibólio, biotita e piroxênio) são mais abundantes que os presentes nos *foi*d sienitos. Os sienitos são as rochas mais abundantes no batólito. Eles possuem grande variação de granulação, desde fina até pegmatítica, e textura allotriomórfica. Cristais de sodalita e cancrinita estão associados a cristais de nefelina nestas rochas.

Além dos aspectos petrográficos das rochas estudadas foi possível também inferir que:

- A ordem de cristalização dos minerais identificados teve início com a baddeleyita e os últimos minerais magmáticos se formar foram a sodalita e os carbonatos.
- Os cristais de plagioclásio possuem teores de anortita que os classificam de albita até labradorita, indicando rochas com diferentes graus evolutivos. A labradorita é presente no biotita sienito (2579) é o plagioclásio mais primitivo e o termo mais diferenciado é a albita presente no *foi*d sienito (2056). Os cristais de feldspato alcalino registram cristalização em altas temperaturas (e.g. Ca sanidina, Na sanidina, Ca anortoclásio)
- O feldspatóide predominante é a nefelina (em quantidades muito menores identificou-se sodalita e cancrinita) encontrada principalmente na matriz das rochas. Possuem baixas variações composticionais, o que sugere cristalização em condições físico-químicas pouco variadas, plotadas abaixo da isotermia de 500 °C.
- Temperaturas máximas nos cristais de clinopiroxênio dos sienitos de 989 °C, nos monzonitos de 916 °C e no *foi*d sienito de 977 °C, interpretadas como temperaturas de cristalização e são compatíveis com as reportadas a cristais precoces em magmas básicos/intermediários alcalinos.
- Pressões em torno de 5,2 kbar (18,7 Km de profundidade) foram calculadas para o clinopiroxênio dos monzonitos e para as demais rochas inferiu-se pressões predominantemente intermediárias (mesozona) a baixas (epizona) em condições de alta fugacidade de oxigênio. Estas profundidades são compatíveis com as estruturas de alta viscosidade descritas por Rosa *et al.* (2007) em rochas de diversas intrusões da PASEBA.

- Os cristais de anfibólio possuem composições que variam de termos cálcicos até termos sódico-cálcicos, reflexo do aumento do índice de alcalinidade à medida que a cristalização fracionada ocorreu e indicam origem magmática.
- Na biotita predominam composições de Fe-biotita. Também ocorrem cristais de siderofilita, lepidomelano e Mg-biotita. Os cristais preservam composições químicas de cristais magmáticos. As temperaturas máximas encontradas nesse mineral são de 789 °C no monzonito 2504 e a maior pressão foi registrada no *fooid* sienito 2056, como 2.1 Kbar. A coincidência dos valores em torno de 2 kbar das pressões estimadas nesse mineral, que corresponde a aproximadamente a 8 km de profundidade, é coerente com o fato da biotita finalizar a sua cristalização no BSI em condições mais rasas.
- O conteúdo total dos ETR nos cristais de apatita analisados relativamente baixo pode refletir as cristalizações precoces de baddeleyita, allanita, zircão e zirconolita que absorveram a maior parte dos ETR disponíveis no magma. E ainda teve o conteúdo desses elementos reduzida pela equação  $\text{ETR}^{3+} + \text{Si}^{4+} = \text{Ca}^{2+} + \text{P}^{5+}$ , com a qual os ETR foram transferidas para a monazita.
- Os carbonatos do BSI foram interpretados como primários, com base na comparação dos cristais com os carbonatos presentes em outros corpos da PASEBA e que já possuem análises isotópicas que indicam suas origens magmáticas.
- A zirconolita foi interpretada como um mineral magmático precoce com química semelhante à de cristais de zirconolita de rochas carbonatáticas.
- A olivina corresponde à Fe-hortnlita e hortnlita e possui teores de MgO maiores do que os presentes na olivina do Batólito Itarantim. Os carbonatos são calcita e dolomita. A allanita é Ce-allanita e La-allanita.
- A presença de exsoluções de ilmenita e titanita que bordeja esses cristais, possivelmente formada a partir da interação da magnetita com o magma (Wones, 1989), são indicativas que Ti-magnetita cristalizada inicialmente possuía teores de Ti elevados e que posteriormente foi desestabilizada gerando as exsoluções ilmenita-magnetita e titanita secundárias. As temperaturas máximas dessa exsolução magnetita-ilmenita foram de 765 °C no *fooid* sienito.
- A morfologia e composições químicas dos carbonatos e pirita intersticiais, barita preenchendo fraturas, monazita anédrica, bastnesita e thorita são indicativas da ação de fluidos magmáticos tardios nas rochas do BSI.
- Os dados interpretados permitem sugerir a cristalização fracionada como o principal processo responsável pela evolução das rochas do Batólito Sienítico Itabuna.

***ANEXO: COMPROVANTE DE SUBMISSÃO DO ARTIGO***

**Submissões**

Fluxo de Trabalho

**Publicação**

Submissão

**Avaliação**

Edição de Texto

Editoração

**Arquivos da Submissão****Q Buscar**

515351-1

setembro

Texto

maria\_rosa,

15, 2021

do

MVSLeandro-RGeo-

USP.docx

artigo

**Baixar Todos os Arquivos****Discussão da pré-avaliação****Adicionar comentários**

Nome

De

Última  
resposta

Respostas

Fechado

*Nenhum item*Platform &  
workflow by  
**OJS / PKP**

## *APÊNDICES*

***APÊNDICE 1:***  
***Análises de Química Mineral***

Apêndice 1.1.1. Análises químicas pontuais de cristais de feldspato do Batólito Sênítico Itabuna.

Rock Sample	Foyd syenite					
	2056					
SiO <sub>2</sub>	64.8	67.0	66.6	64.7	66.4	64.9
TiO <sub>2</sub>	21.7	20.8	21.1	19.1	20.9	19.4
Al <sub>2</sub> O <sub>3</sub>						
FeO	0.3					
CaO	1.5	1.1	1.5		1.3	
Na <sub>2</sub> O	11.7	11.1	10.8	1.9	10.9	3.5
K <sub>2</sub> O				13.6	0.5	11.3
BaO				0.7	0.9	0.4
Total	100.0	100.0	100.0	100.0	100.0	100.0
Structural formula based in 8 oxygen						
Si	2.852	2.934	2.918	2.975	2.918	2.966
Ti						
Al	1.126	1.073	1.09	1.035	1.083	1.045
Fe <sup>3+</sup>	0.025					
Ca	0.071	0.052	0.07		0.061	
Na	0.999	0.942	0.918	0.169	0.929	0.31
K				0.798	0.028	0.659
Ba				0.013		0.016
Total	5.072	5.001	4.996	4.991	5.019	4.996
Ab	93.38	94.81	92.87	17.52	91.23	32.01
An	6.62	5.19	7.13		6.01	
Or				82.48	2.75	67.99
					91.79	

Apêndice 1.1.2. Análises químicas pontuais de cristais de feldspato do Batólito Sientífico Itabuna.

Rock Sample	Foid-bearing syenite							
	2057				2055			
SiO <sub>2</sub>	64.9	63.9	66.1	63.7	64.8	64.9	64.5	64.3
TiO <sub>2</sub>								
Al <sub>2</sub> O <sub>3</sub>	22.3	22.8	19.2	22.8	19.6	21.7	21.5	22.4
FeO								
CaO	2.9	3.6		3.7	0.8	2.6	2.6	3.3
Na <sub>2</sub> O	9.3	9.4	3.5	9.3	3.5	7.7	8.6	9.4
K <sub>2</sub> O	0.6	0.2	11.2	0.2	10.9	3.1	2.6	0.4
BaO								
Total	100.0	99.9	100.0	100.0	100.1	100.0	99.8	100.0
Si	2.857	2.821	2.993	2.805	2.931	2.878	2.870	2.843
Ti								
Al	1.157	1.186	1.025	1.183	1.045	1.134	1.127	1.164
Fe <sup>3+</sup>								
Ca	0.137	0.170	0.025	0.175	0.039	0.124	0.124	0.156
Na	0.794	0.805	0.307	0.794	0.307	0.662	0.742	0.803
K	0.034	0.011	0.647	0.011	0.629	0.175	0.148	0.022
Ba								
Total	4.978	4.994	4.972	4.993	4.993	4.973	5.011	4.988
Ab	82.32	81.59	32.20	81.04	31.49	68.90	73.21	81.83
An	14.19	17.27		17.82	3.98	12.86	12.23	15.88
Or	3.49	1.14	67.80	1.15	64.53	18.25	14.56	2.29

Apêndice 1.1.3. Análises químicas pontuais de cristais de feldspato do Batólito Sientífico Itabuna.

Rock Sample	Foid-bearing syenite							
	2057				2055			
SiO <sub>2</sub>	63.7	62.5	63.2	63.7	63.6	63.0	63.7	63.8
TiO <sub>2</sub>	20.5	24.2	22.6	22.4	20.2	22.7	23.8	23.5
Al <sub>2</sub> O <sub>3</sub>								
FeO								
CaO								
Na <sub>2</sub> O								
K <sub>2</sub> O								
BaO								
Total	99.9	100.0	100.1	100.0	99.9	100.1	99.9	100.0
Si	2.928	2.767	2.836	2.852	2.936	2.839	2.786	2.815
Ti								
Al	1.111	1.262	1.195	1.182	1.097	1.194	1.240	1.213
Fe <sup>3+</sup>								
Ca	0.166	0.091	0.086		0.096	0.142	0.114	0.127
Na	0.134	0.764	0.522	0.530	0.116	0.571	0.823	0.845
K	0.803	0.051	0.366	0.343	0.823	0.296	0.028	0.068
Ba	0.009				0.013			
Total	4.985	5.010	5.011	4.993	4.985	4.997	5.020	5.015
Ab	14.27	77.89	53.28	55.24	12.37	59.32	82.85	81.63
An		16.93	9.32	9.01		9.93	14.31	11.52
Or		85.73	5.18	37.39	35.75	87.63	30.75	2.84

Apêndice 1.1.4. Análises químicas pontuais de cristais de feldspato do Batólito Sientífico Itabuna.

Rock Sample	Foid-bearing syenite							
	2057				Foid-bearing syenite			
SiO <sub>2</sub>	64.1	63.8	65.0	62.9	63.3	63.8	64.8	63.2
TiO <sub>2</sub>								
Al <sub>2</sub> O <sub>3</sub>	23.6	23.5	22.9	24.0	23.3	22.6	23.0	24.0
FeO								
CaO		2.5			2.1		3.4	
Na <sub>2</sub> O	9.7	9.7	6.8	9.6	8.5	8.3	6.7	9.4
K <sub>2</sub> O	2.6	0.6	5.2	3.5	2.3	3.2	5.6	
BaO								
Total	100.0	100.1	99.9	100.0	99.9	100.0	100.1	100.0
Si	2.833	2.810	2.883	2.799	2.811	2.837	2.875	2.784
Ti								
Al	1.229	1.220	1.197	1.259	1.219	1.184	1.203	1.246
Fe <sup>3+</sup>								
Ca	0.118			0.119	0.100		0.161	
Na	0.831	0.829	0.585	0.828	0.732	0.716	0.576	0.803
K	0.147	0.034	0.294	0.199	0.130	0.182	0.317	
Ba								
Total	5.041	5.011	4.958	5.085	5.011	5.019	4.971	4.994
Ab	85.01	84.52	66.53	80.65	74.60	71.76	64.52	83.34
An		12.04			12.12	10.03	16.66	
Or	14.99	3.44	33.47	19.35	13.28	18.20	35.48	80.16

Apêndice 1.1.5. Análises químicas pontuais de cristais de feldspato do Batólio Sientítico Itabuna.

Rock	Sample	2057			Fold-bearing syenite						2494		
SiO <sub>2</sub>	63.7	62.1	62.4	62.3	62.4	61.6	62.0	64.6	63.6	63.8	64.2	64.9	64.3
TiO <sub>2</sub>	20.6	24.9	24.4	24.5	24.4	24.0	23.7	19.4	20.8	21.5	19.3	21.0	19.4
Al <sub>2</sub> O <sub>3</sub>						0.3	0.2	0.2	0.1	0.1	0.1	0.1	0.2
FeO						5.0	4.9	0.4	2.0	2.3	0.6	0.6	0.6
CaO		3.9	3.9	4.0	3.8	8.8	8.8	2.2	5.1	7.0	2.8	3.2	2.8
Na <sub>2</sub> O	2.0	9.1	9.2	9.2	9.4	0.2	0.3	12.6	8.0	5.0	12.2	11.5	6.3
K <sub>2</sub> O		13.1				0.1	0.6	0.3	0.2	0.8	0.4	0.5	0.8
BaO	0.6												
Total	100.0	100.0	99.9	100.0	100.0	99.9	100.0	100.0	99.9	100.0	99.9	100.1	100.0
Structural formula based in 8 oxygen													
Si	2.923	2.741	2.758	2.752	2.756	2.731	2.748	2.955	2.882	2.861	2.948	2.964	2.892
Ti													
Al	1.114	1.295	1.271	1.275	1.270	1.254	1.238	1.046	1.111	1.136	1.044	1.039	1.110
Fe <sup>3+</sup>						0.025	0.016	0.017	0.008	0.008	0.009	0.009	0.017
Ca	0.184	0.185	0.189	0.180	0.237	0.233	0.020	0.097	0.111	0.030	0.029	0.106	0.029
Na	0.178	0.779	0.788	0.788	0.805	0.756	0.195	0.448	0.609	0.249	0.283	0.530	0.248
K	0.767					0.011	0.017	0.735	0.462	0.286	0.715	0.670	0.360
Ba	0.011					0.002	0.011	0.005	0.004	0.014	0.007	0.007	0.014
Total	4.992	5.000	5.001	5.004	5.011	5.014	5.011	4.979	5.014	5.014	5.008	4.993	4.998
Ab	18.83	80.85	81.02	80.63	81.74	75.25	75.18	20.54	44.47	60.55	25.09	28.83	53.23
An		19.15	18.98	19.37	18.26	23.63	23.13	2.06	9.64	10.99	2.97	2.99	10.61
Or						1.13	1.69	77.40	45.89	28.46	71.93	68.18	36.17

Apêndice 1.1.6. Análises químicas pontuais de cristais de feldspato do Batólio Sientífico Itabuna.

Rock Sample	2494						Foid-bearing syenite						2579													
	SiO <sub>2</sub>	TiO <sub>2</sub>	Al <sub>2</sub> O <sub>3</sub>	FeO	CaO	Na <sub>2</sub> O	K <sub>2</sub> O	BaO	Total	SiO <sub>2</sub>	TiO <sub>2</sub>	Al <sub>2</sub> O <sub>3</sub>	FeO	CaO	Na <sub>2</sub> O	K <sub>2</sub> O	BaO	Total	SiO <sub>2</sub>	TiO <sub>2</sub>	Al <sub>2</sub> O <sub>3</sub>	FeO	CaO	Na <sub>2</sub> O	K <sub>2</sub> O	BaO
SiO <sub>2</sub>	64.6	64.2	63.5	64.2	63.5	63.4	64.5	61.8	61.8	58.6	55.1	54.5	56.0	61.5	56.0	54.5	55.1	58.6	58.6	48.90	47.73	53.48	72.53	59.36	59.36	
TiO <sub>2</sub>	19.1	19.8	22.3	19.8	20.6	21.8	19.5	23.6	23.4	29.0	29.0	29.1	28.2	24.5	28.2	29.1	29.0	29.0	29.0	3.22	51.10	52.27	46.52	25.77	40.64	
Al <sub>2</sub> O <sub>3</sub>				0.1	0.2	0.9	0.1	0.9	0.9																	
FeO	0.4	0.7	3.3	0.9	1.6	2.7	0.5	4.7	4.9	0.6	10.4	10.9	9.6	5.4	8.3											
CaO	2.1	3.4	7.6	2.9	4.6	6.3	2.7	8.7	8.5	6.4	5.5	5.5	6.1	8.4	6.7											
Na <sub>2</sub> O	13.0	11.1	3.4	11.6	8.9	5.7	12.0	0.2	0.3																	
K <sub>2</sub> O	0.7	0.7	0.5	0.7	0.1	0.7	0.1	0.7	0.1																	
BaO																										
Total	100.0	99.9	100.1	100.1	99.9	100.0	100.0	99.9	99.9	100.0	100.0	100.0	100.0	100.0	100.0	100.0	100.0	100.0	100.0	100.0	100.0	100.0	100.0	100.0		
Structural formula based in 8 oxygen																										
Si	2.965	2.938	2.830	2.929	2.894	2.849	2.951	2.725	2.725	2.729	2.623	2.477	2.457	2.516	2.727	2.576										
Ti																										
Al	1.033	1.068	1.171	1.065	1.106	1.155	1.052	1.226	1.218	1.530	1.537	1.546	1.493	1.280	1.439											
Fe <sup>3+</sup>	0.009	0.017	0.044	0.078	0.130	0.025	0.009	0.074	0.074	0.232	0.029	0.501	0.527	0.462	0.257	0.398										
Ca	0.020	0.034	0.158	0.257	0.406	0.549	0.240	0.744	0.728	0.555	0.479	0.481	0.531	0.722	0.581											
Na	0.187	0.302	0.657	0.193	0.675	0.517	0.327	0.700	0.011	0.017	0.308															
K	0.761	0.648	0.013	0.009	0.013	0.002	0.013	0.002	0.002																	
Ba																										
Total	4.988	5.003	5.009	4.996	5.015	5.011	4.989	5.002	4.998	5.045	4.994	5.010	5.003	5.003	4.995											
Ab	19.31	30.66	65.18	26.29	40.57	54.58	24.84	76.12	74.53	62.23	48.90	47.73	53.48	72.53	59.36											
An	2.03	3.49	15.64	4.51	7.80	12.93	2.54	22.73	23.74	3.22	51.10	52.27	46.52	25.77	40.64											
Or	78.66	65.85	19.18	69.20	51.64	32.49	72.62	1.15	1.73	34.55																

Apêndice 1.1.7. Análises químicas pontuais de cristais de feldspato do Batólito Sientífico Itabuna.

Rock	Sample	2579						Foid-bearing syenite						2589						2579						Foid-bearing syenite					
		SiO <sub>2</sub>	TiO <sub>2</sub>	Al <sub>2</sub> O <sub>3</sub>	FeO	CaO	Na <sub>2</sub> O	K <sub>2</sub> O	BaO	Total	SiO <sub>2</sub>	TiO <sub>2</sub>	Al <sub>2</sub> O <sub>3</sub>	FeO	CaO	Na <sub>2</sub> O	K <sub>2</sub> O	BaO	Total	SiO <sub>2</sub>	TiO <sub>2</sub>	Al <sub>2</sub> O <sub>3</sub>	FeO	CaO	Na <sub>2</sub> O	K <sub>2</sub> O	BaO	Total			
	Si	56.7	57.3	54.0	53.7	54.4	52.5	63.7	63.6	63.4	66.9	66.9	63.4	63.9	63.5	63.9	63.5	63.9	64.5												
	Ti																														
	Al	27.6	27.3	29.9	29.9	29.5	30.9	20.6	20.0	20.4	15.5	20.3	23.8	23.4	23.8	23.4	23.8	23.4	23.3												
	Fe																														
	Ca	9.1	8.6	11.0	11.1	11.0	12.3																								
	Na	6.5	6.6	5.1	5.3	5.2	4.3	2.3	1.4	1.6	0.6	0.7																			
	K			0.2				12.3	13.8	13.5	10.3	14.9																			
	Ba							1.1	0.9	1.2																					
	Total	99.9	100.0	100.0	100.0	100.1	100.0	100.0	100.0	100.1	99.9	100.1	100.1	100.1	100.1	100.1	100.1	100.1	100.1	99.9											
Structural formula based in 8 oxygen																															
	Si	2.545	2.567	2.433	2.423	2.448	2.373	2.923	2.926	2.923	2.866	2.926	2.796	2.796	2.812	2.812	2.833														
	Ti																														
	Al	1.460	1.441	1.587	1.590	1.564	1.646	1.114	1.084	1.109	0.783	1.096									1.235	1.213	1.206								
	Fe <sup>3+</sup>																				0.525	0.026									
	Ca	0.438	0.413	0.531	0.537	0.530	0.596														0.132	0.127	0.108								
	Na	0.566	0.573	0.445	0.464	0.454	0.377	0.205	0.125	0.143	0.050	0.062									0.828	0.853	0.835								
	K		0.011					0.720	0.810	0.794	0.563	0.870									0.017	0.006									
	Ba								0.020	0.016	0.022																				
	Total	5.008	5.005	4.996	5.014	4.997	4.992	4.982	4.987	4.991	4.787	4.980									5.009	5.011	4.982								
	Ab	56.38	57.47	45.62	46.35	46.10	38.75	22.13	13.36	15.26	8.13	6.66	84.76	86.52	88.52																
	An	43.62	41.38	54.38	53.65	53.90	61.25														13.52	12.91	11.48								
	Or		1.15										77.87	86.64	84.74	91.87	93.34	1.72	0.57												

Apêndice 1.1.8. Análises químicas pontuais de cristais de feldspato do Batólito Sientífico Itabuna.

Rock Sample	Foid-bearing syenite							
	2589							
SiO <sub>2</sub>	68.8	64.6	64.9	64.6	64.6	64.5	64.2	65.2
TiO <sub>2</sub>	19.6	22.2	22.2	22.5	22.4	21.8	22.2	19.3
Al <sub>2</sub> O <sub>3</sub>							22.2	22.1
FeO								
CaO		2.8	2.7	2.9	2.7	3.4	2.9	3.0
Na <sub>2</sub> O		11.6	10.1	10.3	10.0	10.3	10.2	10.1
K <sub>2</sub> O			0.2			0.3	15.0	
BaO								
Total	100.0	99.9	100.1	100.0	100.0	100.0	99.9	99.9
Si	3.000	2.850	2.854	2.843	2.845	2.851	2.846	2.956
Ti							2.861	2.862
Al	1.007	1.154	1.150	1.167	1.162	1.134	1.154	0.021
Fe <sup>3+</sup>								0.013
Ca	0.132	0.127	0.137	0.127	0.161	0.137	0.141	0.132
Na	0.981	0.864	0.878	0.853	0.879	0.873	0.864	0.071
K		0.011				0.017	0.881	
Ba								
Total	4.987	5.011	5.010	5.000	5.014	5.018	4.976	4.992
Ab	100.00	85.75	87.35	86.19	87.35	84.44	84.87	7.50
An		13.14	12.65	13.81	12.65	15.56	13.47	15.41
Or			1.12			1.66	92.50	13.40
							96.20	95.33
								94.23
								90.09

Apêndice 1.1.9. Análises químicas pontuais de cristais de feldspato do Batólio Sientífico Itabuna.

Rock Sample	Foid-bearing monzonite							
	2058							
SiO <sub>2</sub>	63.0	62.5	62.7	63.2	62.5	62.1	62.7	62.9
TiO <sub>2</sub>	23.3	23.7	23.3	23.2	23.3	23.8	23.4	23.4
Al <sub>2</sub> O <sub>3</sub>								
FeO								
CaO	4.1	4.3	4.3	4.1	4.6	4.4	4.3	4.5
Na <sub>2</sub> O	9.4	9.2	9.1	9.3	9.2	9.3	9.0	9.4
K <sub>2</sub> O	0.4	0.3	0.4	0.3	0.2	0.2	0.3	0.4
BaO								
Total	100.0	100.0	100.1	100.1	100.0	100.0	100.0	100.0
Structural formula based in 8 oxygen								
Si	2.785	2.768	2.770	2.793	2.767	2.747	2.778	2.784
Ti								
Al	1.214	1.237	1.213	1.208	1.216	1.241	1.222	1.221
Fe <sup>3+</sup>								
Ca	0.194	0.204	0.194	0.218	0.209	0.204	0.214	0.190
Na	0.806	0.790	0.779	0.797	0.790	0.789	0.773	0.807
K	0.023	0.017	0.023	0.017	0.011	0.017	0.023	0.017
Ba								
Total	5.022	5.017	5.013	5.010	5.018	5.021	5.019	5.009
Ab	78.80	78.14	77.52	79.06	77.48	78.21	78.32	76.60
An	18.99	20.18	20.24	19.26	21.41	20.67	20.01	21.16
Or	2.21	1.68	2.24	1.68	1.11	1.12	1.66	2.24

Apêndice 1.1.10. Análises químicas pontuais de cristais de feldspato do Batólito Sêntrico Itabuna.

Rock Sample	2058							Foid-bearing monzonite		
	2055									
SiO <sub>2</sub>	65.4	67.1	66.5	65.3	66.1	67.3	68.0	66.1	66.6	67.1
TiO <sub>2</sub>										
Al <sub>2</sub> O <sub>3</sub>	25.8	21.6	21.4	26.2	21.2	21.9	22.1	26.0	26.2	21.4
FeO										
CaO	4.2			4.1				4.1	4.0	
Na <sub>2</sub> O	9.3	1.1	1.3	9.5	1.6	1.7	2.0	9.6	9.7	
K <sub>2</sub> O		14.9	14.5		13.8	14.1	13.7		14.3	
BaO		1.5	1.5		1.5	1.5	1.6		1.7	
Total	104.7	106.2	105.2	105.1	104.2	106.5	107.4	105.8	106.5	107.2
Structural formula based in 8 oxygen										
Si	2.755	2.925	2.924	2.742	2.928	2.917	2.919	2.756	2.758	2.919
Ti										
Al	1.281	1.110	1.109	1.297	1.107	1.119	1.118	1.278	1.279	1.118
Fe <sup>3+</sup>										
Ca	0.190		0.184					0.183	0.177	
Na	0.760	0.093	0.111	0.773	0.137	0.143	0.166	0.776	0.779	0.118
K		0.829	0.813		0.780	0.780	0.750		0.794	0.801
Ba		0.026	0.026		0.026	0.025	0.027		0.029	0.027
Total	4.985	4.981	4.983	4.996	4.978	4.984	4.980	4.993	4.992	4.982
Ab	80.03	10.09	11.99	80.74	14.98	15.49	18.16	80.91	81.44	12.95
An				19.26				19.09	18.56	12.72
Or		89.91	88.01		85.02	84.51	81.84		87.05	87.28
										86.33
										100.00

Apêndice 1.1.11. Análises químicas pontuais de cristais de feldspato do Batólito Sienítico Itabuna.

Rock Sample	Foid-bearing monzonite							
	2058				Foid-bearing monzonite			
SiO <sub>2</sub>	66.9	67.3	66.1	66.9	63.3	65.9	66.3	67.8
TiO <sub>2</sub>	26.4	22.0	26.1	22.1	25.0	24.5	26.6	26.7
Al <sub>2</sub> O <sub>3</sub>								
FeO								
CaO	4.1		4.1		3.8	4.3	4.3	4.2
Na <sub>2</sub> O	10.1	1.5	9.5	1.6	8.9	1.1	9.8	9.6
K <sub>2</sub> O		14.2		14.3		14.6		
BaO			1.3		1.4		1.3	
Total	107.5	106.3	105.8	106.3	101.0	107.4	107.0	107.2
Si	2.749	2.918	2.755	2.907	2.760	2.834	2.738	2.746
Ti								
Al	1.279	1.124	1.282	1.132	1.285	1.242	1.295	1.290
Fe <sup>3+</sup>								
Ca	0.181	0.183		0.178		0.190	0.190	0.183
Na	0.805	0.126	0.768	0.135	0.752	0.092	0.785	0.766
K		0.785		0.793		0.801		
Ba		0.022		0.024		0.022		
Total	5.014	4.976	4.988	4.991	4.974	4.991	5.007	4.992
Ab	81.68	13.83	80.74	14.53	80.91	10.27	80.48	80.16
An	18.32		19.26		19.09		19.52	19.84
Or		86.17		85.47		89.73		

Apêndice 1.1.12. Análises químicas pontuais de cristais de feldspato do Batólito Sientíco Itabuna.

Rock Sample	Foid-bearing monzonite							
	2058				2055			
SiO <sub>2</sub>	66.2	65.4	66.1	66.0	64.5	64.6	64.7	65.3
TiO <sub>2</sub>	26.6	26.4	26.7	26.4	26.1	26.2	26.4	26.1
Al <sub>2</sub> O <sub>3</sub>								
FeO								
CaO	4.3	4.5	4.3	4.4	4.2	4.6	4.5	4.3
Na <sub>2</sub> O	9.5	9.4	9.6	9.7	9.7	8.9	9.1	9.0
K <sub>2</sub> O								
BaO								
Total	106.6	105.7	106.7	106.9	106.5	104.1	104.4	104.6
						105.0	104.7	105.2
							104.3	104.1
								106.7
								104.9
Structural formula based in 8 oxygen								
Si	2.741	2.733	2.735	2.744	2.737	2.735	2.732	2.730
Ti								
Al	1.298	1.300	1.302	1.286	1.300	1.304	1.306	1.313
Fe <sup>3+</sup>								
Ca	0.191	0.202	0.191	0.195	0.187	0.209	0.204	0.203
Na	0.763	0.762	0.770	0.777	0.780	0.732	0.746	0.736
K								
Ba								
Total	4.992	4.997	4.999	5.002	5.003	4.979	4.988	4.978
Ab	79.99	79.08	80.16	79.96	80.69	77.78	78.54	78.35
An	20.01	20.92	19.84	20.04	19.31	22.22	21.46	21.65
Or								

Apêndice 1.1.13. Análises químicas pontuais de cristais de feldspato do Batólito Sientíco Itabuna.

Rock	Sample	2058				Foid-bearing monzonite				2504				
		SiO <sub>2</sub>	TiO <sub>2</sub>	Al <sub>2</sub> O <sub>3</sub>	FeO	CaO	Na <sub>2</sub> O	K <sub>2</sub> O	BaO	Total	SiO <sub>2</sub>	TiO <sub>2</sub>	Al <sub>2</sub> O <sub>3</sub>	FeO
SiO <sub>2</sub>	67.9	67.8	68.4	68.4	62.6	64.6	64.8	64.2	63.7	65.1	64.5	64.7	63.5	65.2
TiO <sub>2</sub>	27.0	27.2	26.9	26.8	27.1	24.1	21.6	21.2	21.4	21.3	21.1	21.6	20.9	21.4
Al <sub>2</sub> O <sub>3</sub>														20.9
FeO	4.2	4.3	4.2	4.1	4.3	3.0	2.5	2.3	2.1	2.1	2.5	1.8	4.1	2.0
CaO	9.9	9.9	10.0	10.2	10.2	9.0	8.0	7.2	6.9	9.0	7.3	7.6	5.9	9.3
Na <sub>2</sub> O														3.0
K <sub>2</sub> O														11.3
BaO														0.5
Total	109.0	109.2	109.5	109.5	110.0	100.0	100.0	100.0	100.0	100.0	99.9	100.0	100.0	100.0
Structural formula based in 8 oxygen														
Si	2.749	2.741	2.756	2.757	2.747	2.773	2.872	2.890	2.875	2.855	2.900	2.872	2.903	2.801
Ti														2.885
Al	1.288	1.296	1.277	1.273	1.283	1.258	1.132	1.114	1.130	1.125	1.108	1.134	1.105	1.206
Fe <sup>3+</sup>														1.116
Ca	0.182	0.186	0.181	0.177	0.185	0.142	0.119	0.110	0.101	0.101	0.100	0.119	0.087	0.194
Na	0.777	0.776	0.781	0.797	0.794	0.773	0.690	0.623	0.599	0.782	0.631	0.656	0.513	0.778
K														0.265
Ba														0.009
Total	4.996	4.999	4.996	5.005	5.009	5.021	5.000	4.992	5.014	5.085	4.983	4.997	4.992	5.018
Ab	81.01	80.64	81.16	81.82	81.11	78.17	69.25	62.98	59.41	70.72	64.66	66.19	52.20	79.15
An	18.99	19.36	18.84	18.18	18.89	14.40	11.96	11.12	9.99	9.12	10.28	12.03	8.80	19.71
Or														1.56
							7.43	18.79	25.90	30.59	20.16	25.06	21.77	39.00
													1.14	12.21
														70.14

Apêndice 1.1.14. Análises químicas pontuais de cristais de feldspato do Batólito Sêntrico Itabuna.

Rock	Sample	Foid-bearing monzonite							
		2504							
SiO <sub>2</sub>	64.4	64.7	64.0	63.6	63.8	63.1	63.8	63.5	62.2
TiO <sub>2</sub>	19.4	20.6	22.0	22.4	22.5	22.2	22.8	20.4	24.7
Al <sub>2</sub> O <sub>3</sub>						0.8		1.3	
FeO									0.7
CaO									
Na <sub>2</sub> O	2.6	6.9	7.7	7.6	7.3	7.7	7.1	2.8	1.5
K <sub>2</sub> O	12.3	6.3	3.5	4.2	4.3	4.4	3.3	11.3	0.3
BaO	1.2		0.4	0.4	0.3	0.2	0.3	0.5	
Total	99.9	100.1	99.6	100.1	100.1	100.0	99.9	100.1	99.9
Structural formula based in 8 oxygen									
Si	2.962	2.904	2.862	2.842	2.847	2.807	2.846	2.831	2.868
Ti									
Al	1.052	1.090	1.159	1.180	1.183	1.164	1.188	1.198	1.086
Fe <sup>3+</sup>						0.066		0.109	
Ca	0.077	0.096	0.091	0.086	0.081	0.091	0.100	0.015	0.175
Na	0.232	0.601	0.668	0.658	0.632	0.664	0.614	0.683	0.245
K	0.722	0.361	0.200	0.239	0.245	0.244	0.250	0.188	0.651
Ba	0.022		0.007	0.007	0.005	0.003	0.005	0.009	
Total	4.989	5.032	4.992	5.017	5.000	5.032	4.992	5.005	4.983
Ab	24.32	57.84	69.32	66.59	65.63	67.14	64.28	70.34	26.92
An		7.41	9.95	9.20	8.94	8.19	9.51	10.33	1.59
Or	75.68	34.75	20.73	24.21	25.43	24.67	26.21	19.33	71.48

**Apêndice 1.2.1 Análises químicas pontuais de cristais de nefelina do Batólito Sienítico Itabuna.**

Rock	Sample	2056										Foyd syenite				
		SiO <sub>2</sub>	Al <sub>2</sub> O <sub>3</sub>	FeO	CaO	Na <sub>2</sub> O	K <sub>2</sub> O	Cl	Total	SiO <sub>2</sub>	Al <sub>2</sub> O <sub>3</sub>	FeO	CaO	Na <sub>2</sub> O	K <sub>2</sub> O	Cl
SiO <sub>2</sub>	43.1	44.1	43.4	43.7	44.3	44.4	43.9	44.0	43.9	43.9	44.4	44.1	44.0	43.4	44.4	44.0
Al <sub>2</sub> O <sub>3</sub>	34.2	33.6	33.5	34.2	34.1	33.5	33.7	33.7	33.6	33.8	33.8	33.5	33.5	33.9	34.0	33.4
FeO												0.2				0.2
CaO	0.5	0.7	0.7	0.8	0.6	0.7	0.7	0.7	0.6	0.7	0.7	0.7	0.7	0.6	0.6	0.7
Na <sub>2</sub> O	16.5	16.1	16.2	15.8	16.0	16.1	16.2	16.3	16.1	15.9	16.3	16.2	15.9	16.1	16.0	16.1
K <sub>2</sub> O	5.7	5.5	5.6	5.9	5.6	5.5	5.2	5.5	5.4	5.8	5.3	5.2	5.5	5.9	5.5	5.6
Cl																
Total	100.0	100.0	100.1	100.1	100.0	100.0	100.1	100.0	100.0	99.9	100.1	100.1	99.9	100.0	100.1	100.0
Structural formula based in 32 oxygen																
Si	8.267	8.426	8.427	8.306	8.353	8.458	8.454	8.395	8.413	8.394	8.391	8.464	8.432	8.400	8.320	8.473
Al	7.732	7.567	7.546	7.715	7.683	7.539	7.563	7.596	7.572	7.617	7.615	7.528	7.550	7.629	7.682	7.513
Fe													0.032			0.032
Ca	0.103	0.143	0.143	0.164	0.123	0.143	0.143	0.143	0.123	0.143	0.143	0.143	0.143	0.123	0.123	0.143
Na	6.137	5.965	6.003	5.863	5.930	5.924	5.944	6.007	6.043	5.969	5.893	6.025	6.006	5.886	5.985	5.921
K	1.395	1.340	1.365	1.440	1.365	1.339	1.263	1.341	1.341	1.317	1.414	1.289	1.268	1.339	1.443	1.339
Cl																
Total	23.633	23.443	23.484	23.488	23.454	23.404	23.368	23.482	23.493	23.441	23.455	23.429	23.431	23.398	23.553	23.400
Ne	77.69	75.83	76.01	75.12	75.79	75.36	75.91	76.31	76.51	76.14	75.08	76.37	76.48	75.34	76.01	75.27
Ks	17.65	17.04	17.28	18.45	17.45	17.04	16.13	17.04	16.98	16.80	18.02	16.34	16.15	17.14	18.32	17.02
Qz	4.66	7.13	6.71	6.42	6.76	7.60	7.96	6.65	6.51	7.07	6.91	7.29	7.37	7.52	5.67	7.72

**Apêndice 1.2.2 Análises químicas pontuais de cristais de nefelina do Batólito Sienítico Itabuna.**

Rock	Sample	2056				Foyd syenite			
SiO <sub>2</sub>	41.6	43.3	43.3	42.9	43.4	43.1	43.2	43.5	45.8
Al <sub>2</sub> O <sub>3</sub>	34.8	35.1	35.1	35.0	35.2	34.9	34.9	35.0	33.2
FeO			0.1	0.2	0.2		0.1	0.1	0.4
CaO	0.7	0.7	0.5	0.4		0.4		0.8	0.5
Na <sub>2</sub> O	17.6	16.5	16.7	16.3	16.2	16.3	16.1	16.6	15.6
K <sub>2</sub> O	4.3	4.4	4.3	5.2	5.1	5.1	5.3	4.8	4.2
Cl	1.1								5.7
Total	100.1	100.0	100.0	100.0	100.1	99.4	99.9	100.0	100.0
Structural formula based in 32 oxygen									
Si	7.964	8.237	8.237	8.201	8.259	8.261	8.252	8.280	8.657
Al	7.853	7.870	7.871	7.886	7.895	7.884	7.858	7.852	7.397
Fe			0.016	0.032	0.032			0.016	0.063
Ca	0.144	0.143	0.102	0.082		0.082		0.162	0.103
Na	6.533	6.086	6.160	6.042	5.978	6.058	5.963	6.127	5.718
K	1.050	1.068	1.043	1.268	1.238	1.247	1.291	1.165	1.013
Cl	0.357								1.395
Total	23.901	23.405	23.429	23.511	23.401	23.449	23.446	23.440	23.010
Ne	84.04	79.09	79.79	77.91	77.26	77.84	76.91	78.69	74.32
Ks	13.51	13.87	13.51	16.35	16.00	16.02	16.66	14.97	13.16
Qz	2.45	7.04	6.69	5.74	6.74	6.14	6.43	6.34	12.52
									4.66

Apêndice 1.3.1 Análises químicas pontuais de cristais de sodalita do Batólito Sienítico Itabuna.

Rock	Foyd syenite				
Sample	2056				
SiO <sub>2</sub>	35.8	35.8	42.1	35.4	35.4
Al <sub>2</sub> O <sub>3</sub>	32.6	32.4	35.0	32.9	32.7
Na <sub>2</sub> O	24.8	25.1	16.8	25.0	25.2
K <sub>2</sub> O		0.2	4.8		
Cl	7.2	6.9	0.8	7.2	7.2
Total	100.4	100.4	100.0	100.5	100.5
Structural formula based in 32 oxygen					
Si	6.319	6.332	8.052	6.848	6.855
Al	6.782	6.755	7.890	7.502	7.464
Ca			0.102		
Na	8.487	8.608	6.230	9.378	9.462
K	5.583	5.663	1.171		
Cl	2.154	2.069	0.259	2.361	2.363
Total	29.326	29.426	23.704	26.090	26.144

Apêndice 1.4.1. Análises químicas pontuais de cristais de biotita do Batólito Sienítico Itabuna.

Rock	Foyd syenite											
Sample	2056											
SiO <sub>2</sub>	38.6	38.5	38.0	37.3	37.1	37.1	36.9	37.3	37.6	38.1	38.4	38.1
TiO <sub>2</sub>	4.1	4.2	4.3	4.2	4.2	4.2	4.4	4.4	4.3	4.0	4.1	3.8
Al <sub>2</sub> O <sub>3</sub>	16.4	16.1	16.3	16.3	16.5	15.9	15.9	16.4	16.3	15.8	15.7	15.5
FeO	21.9	22.1	22.1	22.3	22.2	22.3	22.6	22.0	22.1	21.1	20.5	20.8
MnO	0.8	0.6	0.8	0.9	0.7	0.7	0.6	0.5	0.6	0.6	0.5	0.5
MgO	8.8	8.8	9.0	8.8	9.0	9.0	9.2	9.2	8.9	10.3	11.0	10.6
CaO							0.1					
Na <sub>2</sub> O				0.5	0.3	0.6			0.6	0.4		0.4
K <sub>2</sub> O	9.4	9.7	9.4	9.5	9.6	9.5	9.8	9.6	9.5	9.7	9.6	9.6
SrO												
BaO												
Cr <sub>2</sub> O <sub>3</sub>												
NiO												
Total	100.0	100.0	99.9	99.8	99.6	99.3	99.5	99.4	99.9	100.0	99.8	99.3
F		0.2	0.4		0.4	0.6	0.5	0.6			0.2	0.6
Cl		0.1	0.1		0.1		0.1	0.1	0.1			
Structural formula based in 20 oxygen												
Si	5.644	5.644	5.579	5.514	5.490	5.518	5.485	5.512	5.537	5.579	5.602	5.609
Al <sup>IV</sup>	2.356	2.356	2.421	2.486	2.510	2.482	2.515	2.488	2.463	2.421	2.398	2.391
Al <sup>VI</sup>	0.470	0.426	0.399	0.355	0.367	0.305	0.270	0.369	0.367	0.306	0.301	0.298
Ti	0.451	0.463	0.475	0.467	0.467	0.470	0.492	0.489	0.476	0.441	0.450	0.421
Cr												
Fe	2.678	2.709	2.713	2.757	2.747	2.774	2.809	2.719	2.722	2.584	2.501	2.561
Mn	0.099	0.075	0.099	0.113	0.088	0.088	0.076	0.063	0.075	0.074	0.062	0.062
Mg	1.918	1.923	1.970	1.939	1.985	1.995	2.038	2.027	1.954	2.248	2.392	2.326
Li*	0.682	0.667	0.582	0.464	0.430	0.432	0.397	0.465	0.515	0.602	0.653	0.606
Ca							0.016					
Na				0.143	0.086	0.173			0.171	0.114		0.114
K	1.753	1.814	1.760	1.791	1.812	1.802	1.858	1.810	1.785	1.812	1.786	1.803
Sr												
Ba												
OH*	4.000	3.878	3.781	4.000	3.779	3.706	3.729	3.682	3.974	4.000	3.904	3.709
F		0.097	0.193		0.195	0.294	0.245	0.292			0.096	0.291
Cl		0.026	0.026		0.026		0.026	0.026	0.026			
Total	19.369	19.409	19.416	19.566	19.553	19.607	19.560	19.475	19.550	19.579	19.492	19.584
Fe/(Fe+Mg)	0.58	0.58	0.58	0.59	0.58	0.58	0.58	0.57	0.58	0.53	0.51	0.52
10xTiO <sub>2</sub>	39.36	40.32	41.28	40.32	40.32	40.32	42.24	42.24	41.28	38.40	39.36	36.48
FeO+MnO	21.79	21.79	21.98	22.27	21.98	22.08	22.27	21.60	21.79	20.83	20.16	20.45
Mg-Li	1.24	1.26	1.39	1.48	1.56	1.56	1.64	1.56	1.44	1.65	1.74	1.72
Fe+Mn+Ti-Al <sup>VI</sup>	2.84	2.90	2.95	3.03	2.98	3.07	3.15	2.95	2.96	2.86	2.79	2.81

Apêndice 1.4.2. Análises químicas pontuais de cristais de biotita do Batólito Sienítico Itabuna.

Rock	Foyd syenite					Foid-bearing syenite					
Sample	2056					2494					2579
SiO <sub>2</sub>	37.6	37.9	38.1	38.0	38.5	36.6	36.4	37.1	36.8	35.9	36.0 35.7
TiO <sub>2</sub>	4.1	4.0	4.0	4.2	4.1	8.2	7.9	8.2	7.8	7.7	4.8 4.4
Al <sub>2</sub> O <sub>3</sub>	15.5	15.3	15.5	15.4	15.5	13.3	13.5	13.2	13.5	13.4	15.6 15.9
FeO	21.6	21.6	21.1	21.2	21.0	21.8	21.5	21.2	21.8	22.4	21.3 21.8
MnO	0.6	0.5	0.5	0.7		0.1	0.2	0.1		0.2	
MgO	10.4	10.5	10.6	10.5	10.4	9.4	9.5	9.2	9.3	9.4	10.7 10.6
CaO							0.4	0.2			
Na <sub>2</sub> O	0.3		0.4		0.5		0.5	0.3	0.2	0.6	0.5 0.5
K <sub>2</sub> O	9.7	9.7	9.6	9.8	9.6	9.3	8.9	9.4	9.3	8.7	9.2 9.0
SrO											
BaO						0.6	1.1	0.8	1.0	0.8	1.7 1.9
Cr <sub>2</sub> O <sub>3</sub>											
NiO											
Total	99.8	99.5	99.8	99.8	99.6	99.3	99.9	99.7	99.7	99.1	99.8 99.8
F		0.4	0.2	0.3	0.4	0.5		0.3	0.2	0.6	
Cl		0.1	0.1			0.1		0.1	0.1	0.2	0.1 0.2
Structural formula based in 20 oxygen											
Si	5.540	5.589	5.588	5.582	5.637	5.457	5.415	5.507	5.477	5.394	5.366 5.338
Al <sup>IV</sup>	2.460	2.411	2.412	2.418	2.363	2.338	2.367	2.309	2.368	2.373	2.634 2.662
Al <sup>VI</sup>	0.231	0.248	0.267	0.248	0.313						0.107 0.140
Ti	0.454	0.444	0.441	0.464	0.452	0.920	0.884	0.915	0.873	0.870	0.538 0.495
Cr											
Fe	2.661	2.664	2.588	2.604	2.572	2.719	2.675	2.632	2.714	2.815	2.655 2.726
Mn	0.075	0.062	0.062	0.087		0.013	0.025	0.013		0.025	
Mg	2.284	2.308	2.317	2.299	2.270	2.089	2.107	2.036	2.063	2.105	2.378 2.363
Li*	0.518	0.572	0.603	0.587	0.671	0.346	0.309	0.432	0.380	0.223	0.240 0.187
Ca							0.064	0.032			
Na	0.086		0.114		0.142		0.144	0.086	0.058	0.175	0.145 0.145
K	1.823	1.824	1.796	1.836	1.793	1.769	1.689	1.780	1.766	1.667	1.749 1.717
Sr											
Ba						0.035	0.064	0.047	0.058	0.047	0.099 0.111
OH*	4.000	3.780	3.877	3.855	3.807	3.728	4.000	3.827	3.876	3.650	3.974 3.947
F		0.194	0.097	0.145	0.193	0.246		0.147	0.098	0.297	
Cl		0.026	0.026			0.026		0.026	0.026	0.053	0.026 0.053
Total	19.615	19.550	19.586	19.539	19.541	19.339	19.434	19.356	19.377	19.471	19.672 19.697
Fe/(Fe+Mg)	0.54	0.54	0.53	0.53	0.53	0.57	0.56	0.56	0.57	0.57	0.53 0.54
10xTiO <sub>2</sub>	39.36	38.40	38.40	40.32	39.36	78.72	75.84	78.72	74.88	73.92	46.08 42.24
FeO+MnO	21.31	21.22	20.74	21.02	20.16	21.02	20.83	20.45	20.93	21.70	20.45 20.93
Mg-Li	1.77	1.74	1.71	1.71	1.60	1.74	1.80	1.60	1.68	1.88	2.14 2.18
Fe+Mn+Ti-Al <sup>VI</sup>	3.02	2.98	2.89	2.97	2.79	3.62	3.56	3.53	3.56	3.69	3.11 3.10

Apêndice 1.4.3. Análises químicas pontuais de cristais de biotita do Batólito Sienítico Itabuna.

Rock	Foid-bearing syenite										
Sample	2579					2589					
SiO <sub>2</sub>	36.6	37.8	36.4	36.4	36.2	36.4	36.6	35.7	36.4	36.8	36.6
TiO <sub>2</sub>	3.8	3.2	5.1	5.6	5.2	4.3	4.2	3.7	4.0	4.3	4.0
Al <sub>2</sub> O <sub>3</sub>	15.7	16.8	15.2	15.4	15.5	14.6	14.9	15.7	15.1	14.7	15.3
FeO	23.6	17.9	21.2	22.0	21.5	30.2	29.9	32.3	28.6	29.2	28.7
MnO											
MgO	11.1	14.5	10.5	10.5	10.4	4.8	4.9	5.3	4.8	4.8	5.6
CaO											
Na <sub>2</sub> O	0.4	0.4	0.7	0.7	0.7			1.6	2.3		7.6
K <sub>2</sub> O	8.7	9.3	9.2	9.3	9.0	9.2	9.2	7.1	8.6	9.3	8.7
SrO											
BaO			1.4		1.4						
Cr <sub>2</sub> O <sub>3</sub>											
NiO											
Total	99.9	99.9	99.7	99.9	99.9	99.5	99.7	101.4	99.7	99.2	105.6
F											0.5
Cl	0.1	0.2	0.1	0.2				0.4	0.6	0.5	0.6
Structural formula based in 20 oxygen											
Si	5.408	5.435	5.417	5.370	5.378	5.586	5.590	5.393	5.548	5.634	5.356
Al <sup>IV</sup>	2.592	2.565	2.583	2.630	2.622	2.414	2.410	2.607	2.452	2.366	2.641
Al <sup>VI</sup>	0.142	0.282	0.084	0.049	0.093	0.227	0.273	0.183	0.266	0.294	0.282
Ti	0.422	0.346	0.571	0.621	0.581	0.496	0.482	0.417	0.459	0.500	0.441
Cr											
Fe	2.916	2.152	2.639	2.715	2.671	3.876	3.819	4.076	3.643	3.739	3.513
Mn											
Mg	2.445	3.108	2.329	2.309	2.303	1.098	1.116	1.195	1.094	1.098	1.050
Li*	0.345	0.550	0.311	0.308	0.275	0.312	0.346	0.189	0.305	0.383	0.328
Ca											
Na	0.115	0.112	0.202	0.200	0.202			0.480	0.680		2.144
K	1.640	1.705	1.746	1.750	1.706	1.801	1.792	1.369	1.664	1.812	1.619
Sr											
Ba			0.082		0.081						
OH*	3.974	3.949	4.000	3.974	3.948	4.000	4.000	3.893	3.838	3.865	3.845
F											0.251
Cl	0.026	0.051		0.026	0.052			0.107	0.162	0.135	0.155
Total	19.680	19.704	19.653	19.644	19.637	19.498	19.482	19.720	19.806	19.442	20.764
Fe/(Fe+Mg)	0.54	0.41	0.53	0.54	0.54	0.78	0.77	0.77	0.77	0.77	0.74
10xTiO <sub>2</sub>	36.48	30.72	48.96	53.76	49.92	41.28	40.32	35.23	38.40	41.66	38.40
FeO+MnO	22.66	17.18	20.35	21.12	20.64	28.99	28.70	31.00	27.42	28.03	27.54
Mg-Li	2.10	2.56	2.02	2.00	2.03	0.79	0.77	1.01	0.79	0.72	0.86
Fe+Mn+Ti-Al <sup>VI</sup>	3.23	2.28	3.16	3.31	3.19	4.17	4.06	4.33	3.86	3.98	3.93

Apêndice 1.4.4. Análises químicas pontuais de cristais de biotita do Batólito Sienítico Itabuna.

Rock	Foid-bearing syenite										
Sample	2589										
SiO <sub>2</sub>	37.0	37.0	36.9	37.4	36.9	36.9	36.8	37.0	37.4	36.9	37.1
TiO <sub>2</sub>	5.0	5.0	4.7	4.7	4.7	4.5	4.4	4.5	4.1	5.4	5.6
Al <sub>2</sub> O <sub>3</sub>	15.1	15.1	15.2	15.2	15.2	15.2	15.5	15.6	15.9	14.1	14.3
FeO	28.2	27.9	27.7	27.6	28.0	28.0	27.7	27.5	27.4	26.5	26.7
MnO			0.3	0.1	0.3	0.2	0.1	0.2	0.2	0.4	0.3
MgO	5.5	5.3	4.5	4.6	4.8	4.7	4.7	4.7	4.6	6.0	5.5
CaO											
Na <sub>2</sub> O			0.5	0.5	0.2	0.2	0.3	0.2	0.7	0.8	0.8
K <sub>2</sub> O	9.3	9.5	9.7	9.3	9.4	9.5	9.4	9.5	9.3	9.4	9.3
SrO											
BaO											
Cr <sub>2</sub> O <sub>3</sub>											
NiO											
Total	100.1	99.9	99.5	99.4	99.5	99.2	98.9	99.2	99.6	99.5	99.6
F		0.1		0.1		0.3	0.6	0.3		0.1	0.2
Cl	0.6	0.5			0.5	0.5	0.5	0.5	0.5	0.5	0.6
Structural formula based in 20 oxygen											
Si	5.580	5.592	5.616	5.667	5.608	5.626	5.616	5.622	5.650	5.596	5.614
Al <sup>IV</sup>	2.420	2.408	2.384	2.333	2.392	2.374	2.384	2.378	2.350	2.404	2.386
Al <sup>VI</sup>	0.268	0.284	0.343	0.382	0.331	0.358	0.404	0.417	0.481	0.116	0.164
Ti	0.567	0.568	0.538	0.536	0.537	0.516	0.505	0.514	0.466	0.616	0.637
Cr											
Fe	3.552	3.528	3.526	3.498	3.559	3.570	3.535	3.495	3.462	3.361	3.379
Mn			0.039	0.013	0.039	0.026	0.013	0.026	0.026	0.051	0.038
Mg	1.229	1.196	1.021	1.039	1.087	1.068	1.069	1.065	1.036	1.356	1.241
Li*	0.415	0.416	0.398	0.484	0.398	0.399	0.381	0.415	0.482	0.399	0.432
Ca											
Na			0.148	0.147	0.059	0.059	0.089	0.059	0.205	0.235	0.235
K	1.785	1.835	1.883	1.798	1.822	1.848	1.830	1.841	1.792	1.818	1.795
Sr											
Ba											
OH*	3.840	3.817	4.000	3.950	4.000	3.715	3.564	3.716	3.867	3.816	3.740
F		0.050		0.050		0.151	0.302	0.150		0.050	0.100
Cl	0.160	0.133				0.135	0.135	0.134	0.133	0.134	0.160
Total	19.401	19.411	19.498	19.412	19.434	19.445	19.444	19.416	19.467	19.555	19.489
Fe/(Fe+Mg)	0.74	0.75	0.78	0.77	0.77	0.77	0.77	0.77	0.77	0.71	0.73
10xTiO <sub>2</sub>	48.00	48.00	45.12	45.12	45.12	43.20	42.24	43.20	39.36	51.84	53.76
FeO+MnO	27.04	26.80	26.88	26.59	27.17	27.07	26.69	26.59	26.50	25.82	25.92
Mg-Li	0.81	0.78	0.62	0.56	0.69	0.67	0.69	0.65	0.55	0.96	0.81
Fe+Mn+Ti-Al <sup>VI</sup>	3.89	3.85	3.80	3.71	3.84	3.79	3.69	3.66	3.52	3.95	3.93

Apêndice 1.4.5. Análises químicas pontuais de cristais de biotita do Batólito Sienítico Itabuna.

Rock	Foid-bearing monzonite											
Sample	2504											
SiO <sub>2</sub>	36.4	37.9	37.8	37.7	37.6	37.6	38.3	37.5	36.9	36.4	39.3	37.6
TiO <sub>2</sub>	10.4	7.5	7.7	7.9	8.7	8.2	7.6	8.0	8.5	7.4	5.2	6.2
Al <sub>2</sub> O <sub>3</sub>	14.0	13.7	13.8	13.7	13.0	14.3	14.1	13.7	14.6	11.3	14.5	12.7
FeO	19.9	18.6	18.1	18.8	20.2	19.0	17.4	19.2	19.5	25.6	13.3	23.0
MnO									0.5			
MgO	9.1	11.5	11.6	11.4	10.7	10.9	12.3	11.0	10.4	10.1	16.2	11.1
CaO												
Na <sub>2</sub> O									0.5		0.8	0.5
K <sub>2</sub> O	9.4	9.5	9.8	9.7	9.5	9.7	9.7	9.4	9.5	8.2	10.2	7.9
SrO												
BaO												0.9
Cr <sub>2</sub> O <sub>3</sub>												
NiO												
Total	99.2	98.7	98.8	99.2	99.7	99.7	99.4	99.3	99.9	99.8	98.7	99.9
F	0.3	0.4	0.7	0.5	0.1	0.1	0.4	0.6				
Cl	0.2	0.2	0.3	0.2	0.2	0.1	0.1	0.2	0.2	0.3	0.1	
Structural formula based in 20 oxygen												
Si	5.360	5.556	5.534	5.514	5.508	5.473	5.542	5.493	5.387	5.471	5.620	5.565
Al <sup>IV</sup>	2.430	2.367	2.382	2.362	2.245	2.453	2.405	2.365	2.512	2.002	2.380	2.216
Al <sup>VI</sup>											0.064	
Ti	1.152	0.827	0.848	0.869	0.959	0.898	0.827	0.881	0.933	0.836	0.559	0.690
Cr												
Fe	2.451	2.281	2.216	2.300	2.475	2.313	2.106	2.352	2.381	3.218	1.591	2.847
Mn										0.062		
Mg	1.998	2.513	2.532	2.486	2.337	2.365	2.653	2.402	2.263	2.263	3.454	2.449
Li*	0.306	0.571	0.553	0.534	0.516	0.513	0.634	0.499	0.392	0.314	0.810	0.523
Ca												
Na								0.142		0.233		0.143
K	1.766	1.777	1.830	1.810	1.775	1.801	1.790	1.756	1.769	1.572	1.861	1.491
Sr												0.052
Ba												
OH*	3.802	3.755	3.585	3.707	3.900	3.926	3.784	3.659	3.948	4.000	3.924	3.974
F	0.146	0.193	0.338	0.241	0.048	0.048	0.191	0.290				
Cl	0.052	0.052	0.078	0.052	0.052	0.026	0.026	0.052	0.052		0.076	0.026
Total	19.156	19.321	19.342	19.341	19.298	19.303	19.323	19.392	19.308	19.595	19.529	19.454
Fe/(Fe+Mg)	0.55	0.48	0.47	0.48	0.51	0.49	0.44	0.49	0.51	0.59	0.32	0.54
10xTiO <sub>2</sub>	99.84	72.00	73.92	75.84	83.52	78.72	72.96	76.80	81.60	71.04	49.92	59.52
FeO+MnO	19.10	17.86	17.38	18.05	19.39	18.24	16.70	18.43	19.20	24.58	12.77	22.08
Mg-Li	1.69	1.94	1.98	1.95	1.82	1.85	2.02	1.90	1.87	1.95	2.64	1.93
Fe+Mn+Ti-Al <sup>VI</sup>	3.58	3.07	3.03	3.13	3.40	3.18	2.89	3.20	3.35	4.03	2.11	3.50

Apêndice 1.4.6. Análises químicas pontuais de cristais de biotita do Batólito Sienítico Itabuna.

Rock	Foid-bearing monzonite											
Sample	2504											
SiO <sub>2</sub>	36.8	37.9	37.9	38.2	37.6	37.3	38.1	38.0	37.9	38.6	38.2	37.9
TiO <sub>2</sub>	8.8	8.1	8.1	8.3	8.4	8.3	7.9	7.7	7.6	7.6	7.7	7.7
Al <sub>2</sub> O <sub>3</sub>	13.2	14.6	14.6	14.6	14.8	14.4	14.3	14.6	14.4	14.4	14.7	14.3
FeO	20.1	17.3	17.3	17.3	17.2	17.7	16.6	16.8	17.6	16.4	16.7	16.6
MnO	0.3	0.2	0.1	0.1			0.2	0.1	0.2		0.3	0.2
MgO	10.0	11.0	11.1	11.0	10.9	10.6	11.3	11.8	11.6	11.9	11.6	11.8
CaO												
Na <sub>2</sub> O	0.7	0.7	0.6	0.6	0.7		1.3	0.5	0.6	0.7	0.7	0.5
K <sub>2</sub> O	9.5	9.5	9.4	9.7	9.5	9.7	9.5	9.7	9.5	9.9	9.8	9.9
SrO												
BaO												
Cr <sub>2</sub> O <sub>3</sub>												
NiO												
Total	99.4	99.3	99.1	99.8	99.1	98.0	99.2	99.2	99.4	99.5	99.7	98.9
F	0.4	0.5	0.7		0.8	0.4	0.7	0.7	0.3	0.3	0.6	1.0
Cl	0.2	0.1	0.2	0.1	0.1	0.2	0.2	0.2	0.2	0.2	0.2	0.2
Structural formula based in 20 oxygen												
Si	5.438	5.501	5.505	5.514	5.465	5.495	5.530	5.508	5.503	5.567	5.514	5.518
Al <sup>IV</sup>	2.299	2.498	2.495	2.484	2.535	2.500	2.446	2.492	2.465	2.433	2.486	2.454
Al <sup>VI</sup>			0.004		0.000			0.002		0.015	0.015	
Ti	0.978	0.884	0.885	0.901	0.918	0.920	0.862	0.839	0.830	0.824	0.836	0.843
Cr												
Fe	2.484	2.100	2.101	2.088	2.091	2.181	2.015	2.036	2.137	1.978	2.016	2.021
Mn	0.038	0.025	0.012	0.012			0.025	0.012	0.025		0.037	0.025
Mg	2.203	2.380	2.403	2.367	2.362	2.328	2.445	2.549	2.511	2.558	2.496	2.561
Li*	0.379	0.564	0.564	0.612	0.512	0.466	0.599	0.582	0.566	0.682	0.614	0.568
Ca												
Na	0.201	0.197	0.169	0.168	0.197		0.366	0.141	0.169	0.196	0.196	0.141
K	1.791	1.759	1.741	1.786	1.761	1.823	1.759	1.793	1.759	1.821	1.804	1.839
Sr												
Ba												
OH*	3.753	3.735	3.614	3.975	3.591	3.754	3.614	3.615	3.805	3.807	3.664	3.469
F	0.195	0.239	0.335		0.383	0.194	0.335	0.334	0.144	0.143	0.285	0.480
Cl	0.052	0.026	0.051	0.025	0.026	0.052	0.051	0.051	0.051	0.051	0.051	0.051
Total	19.430	19.344	19.316	19.320	19.329	19.246	19.447	19.373	19.399	19.393	19.400	19.402
Fe/(Fe+Mg)	0.53	0.47	0.47	0.47	0.47	0.48	0.45	0.44	0.46	0.44	0.45	0.44
10xTiO <sub>2</sub>	84.48	77.76	77.76	79.68	80.64	79.68	75.84	73.92	72.96	72.96	73.92	73.92
FeO+MnO	19.58	16.80	16.70	16.70	16.51	16.99	16.13	16.22	17.09	15.74	16.32	16.13
Mg-Li	1.82	1.82	1.84	1.76	1.85	1.86	1.85	1.97	1.95	1.88	1.88	1.99
Fe+Mn+Ti-Al <sup>VI</sup>	3.47	2.97	2.96	2.96	2.98	3.07	2.86	2.85	2.96	2.76	2.85	2.85

Apêndice 1.4.7. Análises químicas pontuais de cristais de biotita do Batólito Sienítico Itabuna.

Rock	Foid-bearing monzonite											
Sample	2504											
SiO <sub>2</sub>	37.5	38.1	37.9	38.0	37.0	37.3	37.2	37.5	37.0	37.7	37.4	37.3
TiO <sub>2</sub>	7.5	7.6	7.6	7.8	8.3	8.5	8.4	8.3	8.2	7.6	8.3	8.8
Al <sub>2</sub> O <sub>3</sub>	14.3	14.3	14.6	14.5	14.6	14.3	14.5	14.5	14.1	13.6	13.6	13.1
FeO	17.6	17.3	17.0	17.4	18.3	18.3	18.6	18.4	19.0	18.4	19.5	20.5
MnO	0.1	0.2		0.2	0.3	0.2		0.2	0.3	0.3	0.2	0.3
MgO	11.6	11.6	11.6	11.2	11.0	11.1	10.7	11.0	10.5	11.6	10.9	10.2
CaO												
Na <sub>2</sub> O	1.0	0.6	0.8	0.4	0.3				0.4	0.4	0.6	
K <sub>2</sub> O	9.5	9.6	9.6	9.7	9.7	9.7	9.7	9.6	9.6	9.7	9.4	9.7
SrO												
BaO									0.8	0.6		
Cr <sub>2</sub> O <sub>3</sub>												
NiO												
Total	99.1	99.3	99.1	99.2	99.5	99.4	99.1	99.5	99.9	99.9	99.9	99.9
F	0.8	0.6	0.8	0.5	0.2	0.4	0.1	0.2	0.3	0.4		
Cl	0.2	0.1	0.2	0.2	0.2	0.2	0.2	0.1	0.2	0.2	0.3	0.2
Structural formula based in 20 oxygen												
Si	5.475	5.531	5.505	5.523	5.400	5.439	5.443	5.456	5.431	5.507	5.462	5.478
Al <sup>IV</sup>	2.461	2.447	2.495	2.477	2.512	2.458	2.501	2.487	2.439	2.341	2.341	2.268
Al <sup>VI</sup>			0.005	0.007								
Ti	0.823	0.830	0.830	0.853	0.911	0.932	0.924	0.908	0.905	0.835	0.912	0.972
Cr												
Fe	2.149	2.100	2.065	2.115	2.234	2.232	2.276	2.239	2.332	2.248	2.382	2.518
Mn	0.012	0.025		0.025	0.037	0.025		0.025	0.037	0.037	0.025	0.037
Mg	2.525	2.510	2.512	2.427	2.393	2.413	2.334	2.386	2.297	2.526	2.373	2.233
Li*	0.499	0.600	0.566	0.582	0.410	0.462	0.446	0.496	0.412	0.534	0.480	0.464
Ca												
Na	0.283	0.169	0.225	0.113	0.085				0.114	0.113	0.170	
K	1.769	1.778	1.779	1.798	1.806	1.804	1.810	1.782	1.797	1.807	1.751	1.817
Sr									0.046	0.034		
Ba												
OH*	3.564	3.687	3.566	3.709	3.852	3.756	3.900	3.878	3.803	3.756	3.923	3.948
F	0.385	0.287	0.383	0.239	0.096	0.192	0.048	0.096	0.145	0.192		
Cl	0.052	0.026	0.051	0.051	0.052	0.051	0.052	0.026	0.052	0.052	0.077	0.052
Total	19.497	19.389	19.417	19.338	19.378	19.302	19.288	19.283	19.400	19.448	19.416	19.324
Fe/(Fe+Mg)	0.46	0.46	0.45	0.47	0.48	0.48	0.49	0.48	0.50	0.47	0.50	0.53
10xTiO <sub>2</sub>	72.00	72.96	72.96	74.88	79.68	81.60	80.64	79.68	78.72	72.96	79.68	84.48
FeO+MnO	16.99	16.80	16.32	16.90	17.86	17.76	17.86	17.86	18.53	17.95	18.91	19.97
Mg-Li	2.03	1.91	1.95	1.84	1.98	1.95	1.89	1.89	1.89	1.99	1.89	1.77
Fe+Mn+Ti-Al <sup>VI</sup>	2.95	2.92	2.86	2.95	3.15	3.16	3.17	3.14	3.25	3.08	3.28	3.49

Apêndice 1.4.8. Análises químicas pontuais de cristais de biotita do Batólito Sienítico Itabuna.

Rock	Foid-bearing monzonite											
Sample	2058											
SiO <sub>2</sub>	37.2	36.2	37.3	36.3	36.6	36.0	37.4	36.8	36.6	37.0	36.5	37.1
TiO <sub>2</sub>	4.6	4.8	5.1	5.2	5.0	5.0	4.5	5.0	5.3	5.1	4.7	4.7
Al <sub>2</sub> O <sub>3</sub>	14.1	13.9	14.2	14.1	14.3	14.2	13.8	14.1	14.3	13.9	14.3	14.4
FeO	25.3	25.9	24.6	24.7	24.6	24.8	25.2	24.9	24.5	24.6	23.3	24.2
MnO	0.3	0.3	0.3	0.5	0.3	0.4	0.4	0.5	0.5	0.4	0.4	0.3
MgO	8.5	8.3	8.5	8.2	8.1	8.1	8.3	8.1	8.3	8.4	8.5	8.4
CaO												
Na <sub>2</sub> O	0.5	0.5	0.7	1.0	0.7	1.1	1.0	0.5		0.5	0.8	1.0
K <sub>2</sub> O	9.5	9.4	9.3	9.0	9.4	9.2	8.6	9.3	9.4	9.3	9.1	9.0
SrO												
BaO		0.6		1.0	0.9	0.7		0.8	1.0	0.9	1.0	0.9
Cr <sub>2</sub> O <sub>3</sub>												
NiO												
Total	100.0	99.9	100.0	100.0	99.9	99.5	99.2	100.0	99.9	100.1	98.6	100.0
F	0.3	0.3	0.2		0.6	0.1	0.4	0.3		0.4	0.5	
Cl	0.4	0.5	0.4	0.4	0.4	0.4	0.4	0.4	0.3	0.4	0.4	0.4
Structural formula based in 20 oxygen												
Si	5.572	5.485	5.564	5.479	5.518	5.462	5.628	5.541	5.510	5.558	5.545	5.560
Al <sup>IV</sup>	2.428	2.482	2.436	2.509	2.482	2.538	2.372	2.459	2.490	2.442	2.455	2.440
Al <sup>VI</sup>	0.061		0.061		0.059	0.002	0.075	0.044	0.048	0.019	0.105	0.103
Ti	0.518	0.547	0.572	0.590	0.567	0.571	0.509	0.566	0.600	0.576	0.537	0.530
Cr												
Fe	3.169	3.282	3.069	3.118	3.102	3.147	3.171	3.136	3.085	3.091	2.960	3.033
Mn	0.038	0.039	0.038	0.064	0.038	0.051	0.051	0.064	0.064	0.051	0.051	0.038
Mg	1.898	1.875	1.890	1.845	1.820	1.832	1.862	1.818	1.863	1.881	1.925	1.876
Li*	0.452	0.277	0.468	0.294	0.347	0.242	0.489	0.382	0.347	0.418	0.333	0.434
Ca												
Na	0.145	0.147	0.202	0.293	0.205	0.324	0.292	0.146		0.146	0.236	0.291
K	1.815	1.817	1.769	1.733	1.808	1.781	1.651	1.786	1.805	1.782	1.763	1.720
Sr												
Ba		0.036		0.059	0.053	0.042		0.047	0.059	0.053	0.060	0.053
OH*	3.746	3.716	3.796	3.893	3.596	3.843	3.695	3.745	3.920	3.696	3.642	3.894
F	0.148	0.150	0.098		0.298	0.050	0.198	0.149		0.198	0.250	
Cl	0.106	0.134	0.105	0.107	0.106	0.107	0.106	0.106	0.080	0.106	0.107	0.106
Total	19.645	19.709	19.602	19.689	19.651	19.749	19.611	19.607	19.523	19.599	19.637	19.644
Fe/(Fe+Mg)	0.63	0.64	0.62	0.63	0.63	0.63	0.63	0.63	0.62	0.62	0.61	0.62
10xTiO <sub>2</sub>	44.16	46.08	48.96	49.92	48.00	48.00	43.20	48.00	50.88	48.96	45.12	45.12
FeO+MnO	24.58	25.15	23.90	24.19	23.90	24.19	24.58	24.38	24.00	24.00	22.75	23.52
Mg-Li	1.45	1.60	1.42	1.55	1.47	1.59	1.37	1.44	1.52	1.46	1.59	1.44
Fe+Mn+Ti-Al <sup>VI</sup>	3.69	3.84	3.64	3.75	3.68	3.75	3.69	3.73	3.72	3.68	3.48	3.54

Apêndice 1.4.9. Análises químicas pontuais de cristais de biotita do Batólito Sienítico Itabuna.

Rock	Foid-bearing monzonite											
Sample	2058											
SiO <sub>2</sub>	36.3	30.6	36.5	37.6	36.8	36.6	37.0	37.3	37.7	37.3	37.9	38.2
TiO <sub>2</sub>	4.7	5.0	5.4	5.0	5.0	5.1	4.7	4.8	4.7	5.0	4.7	4.6
Al <sub>2</sub> O <sub>3</sub>	14.3	12.0	14.9	15.5	15.6	14.0	14.1	14.7	15.4	15.2	14.9	15.5
FeO	24.9	25.0	23.4	23.9	25.1	26.0	26.0	24.4	23.3	24.0	23.5	23.0
MnO	0.4	0.3	0.5	0.3		0.3	0.3	0.1	0.1	0.2	0.3	0.1
MgO	8.3	6.8	8.8	7.8	7.5	7.9	8.1	8.2	8.3	8.3	8.4	8.6
CaO												
Na <sub>2</sub> O	0.8	0.5	1.1	0.9	0.9	0.7	0.7	0.2	0.2	0.2	0.2	
K <sub>2</sub> O	9.1	8.9	9.0	8.9	9.2	8.8	8.6	9.6	9.7	9.6	9.6	9.4
SrO												
BaO	0.9	0.9										
Cr <sub>2</sub> O <sub>3</sub>												
NiO												
Total	99.7	90.0	99.6	99.9	100.1	99.4	99.5	99.3	99.4	99.8	99.5	99.4
F			0.2		0.1	0.1		0.3	0.3		0.1	0.3
Cl	0.4	0.4	0.3	0.4	0.4	0.4	0.5	0.4	0.4	0.4	0.4	0.4
Structural formula based in 20 oxygen												
Si	5.492	5.270	5.448	5.569	5.485	5.527	5.566	5.588	5.603	5.547	5.635	5.646
Al <sup>IV</sup>	2.508	2.436	2.552	2.431	2.515	2.473	2.434	2.412	2.397	2.453	2.365	2.354
Al <sup>VI</sup>	0.042		0.070	0.275	0.225	0.019	0.067	0.184	0.301	0.212	0.247	0.346
Ti	0.535	0.648	0.606	0.557	0.560	0.579	0.532	0.541	0.525	0.559	0.526	0.511
Cr												
Fe	3.150	3.601	2.921	2.960	3.129	3.284	3.271	3.057	2.896	2.985	2.922	2.843
Mn	0.051	0.044	0.063	0.038		0.038	0.038	0.013	0.013	0.025	0.038	0.013
Mg	1.872	1.746	1.958	1.722	1.666	1.778	1.817	1.831	1.839	1.840	1.862	1.895
Li*	0.295		0.327	0.515	0.377	0.348	0.418	0.469	0.535	0.466	0.571	0.620
Ca												
Na	0.235	0.167	0.318	0.258	0.260	0.205	0.204	0.058	0.058	0.058	0.058	
K	1.756	1.955	1.714	1.681	1.749	1.695	1.650	1.835	1.839	1.821	1.821	1.772
Sr												
Ba	0.053	0.061										
OH*	3.893	3.878	3.823	3.895	3.846	3.844	3.867	3.746	3.748	3.895	3.846	3.750
F			0.098		0.049	0.050		0.148	0.147		0.049	0.146
Cl	0.107	0.122	0.079	0.105	0.105	0.107	0.133	0.106	0.105	0.105	0.105	0.104
Total	19.694	19.926	19.651	19.491	19.589	19.598	19.579	19.519	19.471	19.500	19.473	19.379
Fe/(Fe+Mg)	0.63	0.67	0.60	0.63	0.65	0.65	0.64	0.63	0.61	0.62	0.61	0.60
10xTiO <sub>2</sub>	45.12	48.00	51.84	48.00	48.00	48.96	45.12	46.08	45.12	48.00	45.12	44.16
FeO+MnO	24.29	24.29	22.94	23.23	24.10	25.25	25.25	23.52	22.46	23.23	22.85	22.18
Mg-Li	1.58	1.75	1.63	1.21	1.29	1.43	1.40	1.36	1.30	1.37	1.29	1.27
Fe+Mn+Ti-Al <sup>VI</sup>	3.71	4.29	3.55	3.33	3.50	3.87	3.81	3.47	3.19	3.40	3.30	3.09

Apêndice 1.4.10. Análises químicas pontuais de cristais de biotita do Batólito Sienítico Itabuna.

Rock	Foid-bearing monzonite									
Sample	2058						2058 (WDS)			
SiO <sub>2</sub>	36.2	34.4	36.6	38.2	36.6	36.6	34.44	35.21	35.49	35.58
TiO <sub>2</sub>	5.2	4.5	4.8	4.9	4.9	4.5	5.30	5.55	5.68	5.67
Al <sub>2</sub> O <sub>3</sub>	14.4	13.9	14.8	15.6	15.0	15.2	13.52	13.39	13.57	13.43
FeO	25.9	22.7	23.1	23.5	22.1	21.2	26.82	24.60	24.65	25.03
MnO	0.2	0.2	0.1	0.3	0.2	0.2	0.40	0.42	0.43	0.37
MgO	7.4	7.3	7.8	8.2	7.6	7.1	5.50	7.11	7.22	7.07
CaO							0.09	0.03	0.05	0.07
Na <sub>2</sub> O		0.3	0.2	0.2		0.5	0.11	0.07	0.04	0.06
K <sub>2</sub> O	10.1	8.8	9.6	9.6	9.2	8.7	8.72	9.04	8.92	9.08
SrO							0.01			0.12
BaO							0.40	0.55	0.45	0.41
Cr <sub>2</sub> O <sub>3</sub>							0.40	0.61	0.62	0.50
NiO							0.01	0.01		0.02
Total	99.4	92.1	97.0	100.5	95.6	94.0	95.72	96.59	97.13	97.30
F	0.2		0.5		0.3	0.1	0.23	0.36	0.43	0.37
Cl	0.4	0.4	0.3	0.3	0.4	0.3	0.34	0.33	0.34	0.36
Structural formula based in 20 oxygen										
Si	5.493	5.561	5.594	5.610	5.633	5.696	5.486	5.503	5.501	5.516
Al <sup>IV</sup>	2.507	2.439	2.406	2.390	2.367	2.304	2.514	2.467	2.478	2.455
Al <sup>VI</sup>	0.069	0.210	0.261	0.311	0.354	0.484	0.023			
Ti	0.593	0.547	0.552	0.541	0.567	0.527	0.635	0.653	0.662	0.661
Cr							0.051	0.076	0.076	0.061
Fe	3.287	3.069	2.953	2.886	2.845	2.759	3.572	3.215	3.195	3.246
Mn	0.026	0.027	0.013	0.037	0.026	0.026	0.054	0.055	0.056	0.048
Mg	1.674	1.759	1.777	1.795	1.744	1.647	1.305	1.655	1.667	1.634
Li*	0.277		0.352	0.615	0.354	0.357		0.102	0.153	0.168
Ca							0.015	0.005	0.007	0.012
Na		0.094	0.059	0.057		0.151	0.033	0.020	0.011	0.018
K	1.955	1.815	1.872	1.798	1.806	1.727	1.772	1.802	1.763	1.795
Sr							0.001			0.005
Ba							0.025	0.034	0.027	0.025
OH*	3.793	3.886	3.667	3.922	3.739	3.866	3.783	3.725	3.688	3.714
F	0.100		0.252		0.152	0.051	0.121	0.184	0.220	0.189
Cl	0.107	0.114	0.081	0.078	0.109	0.082	0.096	0.092	0.092	0.097
Total	19.603	19.522	19.486	19.426	19.342	19.322	19.488	19.485	19.447	19.469
Fe/(Fe+Mg)	0.66	0.64	0.62	0.62	0.62	0.63	0.73	0.66	0.66	0.67
10xTiO <sub>2</sub>	49.92	43.20	46.08	47.04	47.04	43.20	50.91	53.31	54.56	54.42
FeO+MnO	25.06	21.98	22.27	22.85	21.41	20.54	26.13	24.01	24.08	24.38
Mg-Li	1.40	1.76	1.43	1.18	1.39	1.29	1.31	1.55	1.51	1.47
Fe+Mn+Ti-Al <sup>VI</sup>	3.86	3.43	3.29	3.22	3.12	2.87	4.24	3.91	3.90	3.94

**Apêndice 1.5.1. Análises químicas pontuais de cristais de anfíbólito do Batólito Sienítico Itabuna.**

Rock	Sample	Foyd syenite											
		2056											
SiO <sub>2</sub>	43.0	43.6	43.7	42.1	42.5	42.4	42.6	42.1	41.8	41.2	40.4	42.1	42.2
TiO <sub>2</sub>	2.2	3.1	2.5	2.4	2.9	2.5	3.0	3.2	2.9	2.6	2.0	2.0	2.5
Al <sub>2</sub> O <sub>3</sub>	11.8	11.4	12.0	12.6	12.0	12.5	11.6	12.0	12.9	11.7	12.8	13.0	12.4
FeO	18.2	17.3	17.1	20.5	19.7	19.6	20.2	20.1	20.5	22.2	19.1	19.0	19.3
MnO	0.9	0.8	0.7	0.9	0.8	0.8	0.9	1.0	1.0	0.9	0.9	0.7	0.7
MgO	8.7	8.7	8.9	6.5	7.0	7.1	6.7	6.5	6.3	7.8	6.3	7.6	7.6
CaO	9.8	9.7	9.8	9.7	9.7	9.8	9.5	9.6	9.6	10.4	10.1	9.9	10.1
Na <sub>2</sub> O	3.6	3.6	3.5	3.6	3.5	3.6	3.7	3.6	3.7	3.1	3.3	3.4	3.4
K <sub>2</sub> O	1.8	1.7	1.7	1.8	1.8	1.8	1.8	1.8	1.8	1.8	2.0	1.8	1.8
F	0.1	0.3	0.1	0.1	0.1	0.1	0.1	0.1	0.1	0.1	0.1	0.1	0.1
Cl	0.1	0.1	0.1	0.1	0.1	0.1	0.1	0.1	0.1	0.1	0.1	0.1	0.1
Total	100.0	99.9	100.0	100.0	100.0	100.0	100.0	100.0	100.0	100.0	100.0	100.0	100.0
Si	6.388	6.466	6.459	6.338	6.381	6.359	6.413	6.350	6.294	6.193	6.128	6.304	6.333
Al <sup>IV</sup>	1.612	1.534	1.541	1.662	1.619	1.641	1.587	1.650	1.706	1.807	1.872	1.696	1.667
Al <sup>VI</sup>	0.453	0.458	0.549	0.574	0.504	0.569	0.471	0.483	0.583	0.266	0.416	0.598	0.526
Ti	0.246	0.346	0.278	0.272	0.327	0.282	0.340	0.363	0.328	0.294	0.228	0.225	0.282
Fe <sup>3+</sup>	0.170	0.2145	2.1114	2.533	2.473	2.458	2.543	2.535	2.518	2.224	2.417	2.289	2.385
Fe <sup>2+</sup>	0.091	0.113	0.100	0.088	0.115	0.102	0.102	0.115	0.128	0.115	0.116	0.089	0.089
Mn	1.927	1.923	1.961	1.459	1.567	1.587	1.504	1.461	1.414	1.748	1.424	1.696	1.700
Mg	1.560	1.541	1.552	1.565	1.560	1.575	1.532	1.551	1.549	1.675	1.641	1.588	1.624
Ca	1.037	1.035	1.032	1.022	1.048	1.018	1.080	1.053	1.080	0.904	0.970	0.987	1.018
Na	0.341	0.322	0.321	0.346	0.345	0.344	0.346	0.346	0.346	0.345	0.348	0.382	0.345
K	0.048	0.026	0.026	0.000	0.000	0.000	0.000	0.000	0.000	0.000	0.000	0.000	0.000
F	1.926	2.000	2.000	2.000	2.000	2.000	1.974	2.000	1.974	2.000	2.000	2.000	2.000
Total	17.938	17.871	17.894	17.932	17.926	17.935	17.931	17.920	17.946	17.924	17.960	17.957	17.970
(Ca+Na) <sub>B</sub>	2.00	2.00	2.00	2.00	2.00	2.00	2.00	2.00	2.00	2.00	2.00	2.00	2.00
N <sub>Ab</sub>	0.44	0.46	0.45	0.44	0.43	0.47	0.45	0.45	0.32	0.36	0.41	0.38	0.37
(Na+K) <sub>A</sub>	0.94	0.90	0.90	0.93	0.95	0.94	0.96	0.95	0.97	0.92	0.96	0.99	1.00
Mg/(Mg+Fe <sup>2+</sup> )	0.48	0.47	0.48	0.37	0.39	0.39	0.37	0.37	0.36	0.44	0.37	0.43	0.42
Fe <sup>3+</sup> /(Fe <sup>3+</sup> +Al <sup>VI</sup> )	0.27	0.08	0.08	0.08	0.08	0.08	0.08	0.08	0.08	0.08	0.08	0.08	0.08

**Apêndice 1.5.2. Análises químicas pontuais de cristais de anfíbólito do Batólito Sienítico Itabuna.**

Rock	Sample	2056						2057						Foid-bearing syenite					
		Foid syenite																	
SiO <sub>2</sub>	42.4	42.4	43.7	42.8	42.7	43.7	44.1	42.0	42.1	42.2	43.3	42.7	43.0	34.8	43.4	42.9	3.9		
TiO <sub>2</sub>	3.4	3.4	3.3	2.8	2.7	3.4	3.0	2.6	2.9	4.2	4.1	6.8	6.8	3.9	3.9	3.9	3.9		
Al <sub>2</sub> O <sub>3</sub>	12.1	12.0	13.1	12.6	11.8	12.2	11.9	12.4	12.2	12.5	12.6	11.2	11.1	9.7	11.0	11.7	11.7		
FeO	18.6	18.6	19.3	19.2	18.8	18.7	19.0	18.8	18.4	18.0	15.1	15.1	15.1	26.6	14.9	14.8	14.8		
MnO	0.8	0.8	0.7	0.9	0.8	0.6	0.6	0.7	0.9	0.8	0.3	0.5	0.4	0.4	0.3	0.3	0.3		
MgO	7.3	7.3	7.8	7.4	7.4	7.7	8.0	8.2	8.3	8.2	10.8	10.9	10.8	9.9	11.1	10.8	10.8		
CaO	10.1	9.9	9.6	9.9	9.9	10.1	10.0	10.4	9.9	10.0	9.9	10.7	11.2	11.1	7.6	11.1	11.2		
Na <sub>2</sub> O	3.4	3.4	3.7	3.6	3.6	3.5	3.6	3.8	3.4	3.3	3.4	2.6	2.7	2.7	2.5	2.5	2.6		
K <sub>2</sub> O	1.8	1.9	2.1			1.8	1.8	1.8	2.0	1.9	2.0	1.7	1.8	1.7	1.7	1.7	1.8		
F						0.2	0.2	0.1	0.3	0.9	0.8	0.8	1.0	0.7	0.8	1.1	1.1		
Cl	99.9	99.7	100.0	99.7	99.7	99.9	99.9	100.0	99.9	99.2	99.6	100.1	100.0	100.0	100.0	100.0	100.0		
Total	99.9	99.7	100.0	99.7	99.7	99.9	99.9	100.0	99.9	99.2	99.6	100.1	100.0	100.0	100.0	100.0	100.0		
Structural formula based in 23 oxygen																			
Si	6.345	6.359	6.493	6.324	6.419	6.395	6.444	6.572	6.275	6.274	6.323	6.363	6.279	6.321	5.101	6.367	6.295		
Al <sup>IV</sup>	1.655	1.641	1.507	1.676	1.581	1.605	1.556	1.428	1.725	1.726	1.677	1.637	1.721	1.679	1.676	1.633	1.705		
Al <sup>VI</sup>	0.480	0.480	0.786	0.518	0.505	0.549	0.512	0.750	0.423	0.470	0.549	0.303	0.220	0.245	0.269	0.318	0.318		
Ti	0.383	0.384		0.367	0.316	0.304	0.377		0.337	0.291	0.327	0.464	0.465	0.453	0.750	0.430	0.430		
Fe <sup>3+</sup>				0.201	0.259		0.100		0.091	0.164					3.217				
Fe <sup>2+</sup>	2.328	2.333	2.197	2.114	2.358	2.342	2.243	2.343	2.208	2.129	2.256	1.856	1.857	1.844	0.043	1.828	1.816		
Mn	0.101	0.102	0.088	0.113	0.102	0.076	0.075	0.088	0.114	0.101		0.037	0.062	0.050	0.037	0.037	0.037		
Mg	1.629	1.632	1.728	1.630	1.655	1.652	1.693	1.777	1.826	1.844	1.832	2.366	2.389	2.367	2.163	2.428	2.362		
Ca	1.619	1.591	1.528	1.567	1.591	1.621	1.580	1.661	1.585	1.597	1.589	1.685	1.765	1.748	1.194	1.745	1.761		
Na	0.987	0.989	1.066	1.031	1.047	1.016	1.029	1.098	0.985	0.954	0.988	0.741	0.770	0.770	0.682	0.711	0.740		
K	0.344	0.364	0.398		0.344	0.344		0.342	0.381	0.361	0.382	0.319	0.338	0.319	0.337	0.318	0.337		
F	0.145	0.048																	
Cl	0.026	0.026		0.026				0.026											
OH*	1.829	1.926	2.000	1.974	2.000	1.974	2.000	2.000	2.000	2.000	2.000	2.000	2.000	2.000	2.000	2.000	2.000		
Total	17.870	17.873	17.992	17.599	17.918	17.904	17.609	18.059	17.951	17.912	17.922	17.733	17.840	17.808	17.212	17.766	17.802		
(Ca+Na) <sub>B</sub>	2.00	2.00	2.00	2.00	2.00	2.00	2.00	2.10	2.00	2.00	2.00	2.00	2.00	2.00	1.88	2.00	2.00		
N <sub>Ab</sub>	0.38	0.41	0.47	0.43	0.41	0.38	0.42	0.44	0.42	0.40	0.41	0.32	0.24	0.25	0.68	0.26	0.24		
(Na+K) <sub>A</sub>	0.95	0.94	0.60	0.98	0.61	1.00	0.95	0.91	0.95	0.91	0.96	0.74	0.87	0.84	0.34	0.77	0.84		
Mg/(Mg+Fe <sup>2+</sup> )	0.41	0.41	0.44	0.44	0.41	0.41	0.43	0.43	0.45	0.46	0.45	0.56	0.56	0.56	0.98	0.57	0.57		
Fe <sup>3+</sup> /(Fe <sup>3+</sup> +Al <sup>VI</sup> )			0.20	0.33				0.16	0.18	0.26					1.00				

**Apêndice 1.5.3. Análises químicas pontuais de cristais de anfíbolo do Batólito Sienítico Itabuna.**

Rock	Sample	Foid-bearing syenite									
		2057					2057				
SiO <sub>2</sub>	52.6	52.4	42.7	43.5	42.8	42.7	43.2	42.6	42.6	41.8	42.4
TiO <sub>2</sub>	0.1	0.2	4.0	3.8	3.8	3.9	4.4	4.1	4.3	4.1	0.5
Al <sub>2</sub> O <sub>3</sub>	9.9	10.3	9.2	12.2	12.3	12.3	12.1	12.6	12.4	12.2	7.6
FeO	24.9	25.9	25.7	13.3	13.3	13.1	13.5	14.7	13.2	13.0	13.5
MnO	0.5	0.3	0.6	0.3	0.2	0.2	0.2	0.2	0.3	0.2	0.2
MgO	7.7	7.0	7.6	11.2	11.1	11.0	11.2	11.1	11.2	10.6	4.6
CaO	2.2	1.9	2.3	10.8	10.8	10.8	10.7	10.7	10.5	10.9	10.9
Na <sub>2</sub> O	1.4	1.3	1.4	2.7	2.7	2.8	2.7	2.6	2.7	2.5	2.5
K <sub>2</sub> O	0.7	0.7	0.8	2.0	2.0	1.9	2.0	2.1	2.0	2.0	1.4
F				0.6	1.0	0.6	0.9	0.6	0.4	0.7	0.4
Cl				0.2	0.2	0.2	0.3	0.2	0.1	0.2	0.3
Total	100.0	100.0	100.1	98.9	99.8	98.7	92.6	98.9	99.1	99.0	99.4
											99.1
Si	7.574	7.561	7.586	6.285	6.338	6.307	6.504	6.199	6.248	6.265	6.167
Al <sup>IV</sup>	0.426	0.439	0.414	1.715	1.662	1.693	1.496	1.652	1.801	1.752	1.735
Al <sup>VI</sup>	1.254	1.312	1.155	0.401	0.451	0.443	0.712	0.444	0.340	0.391	0.380
Ti	0.011	0.022	0.011	0.443	0.416	0.421	0.431	0.477	0.452	0.476	0.455
Fe <sup>3+</sup>											
Fe <sup>2+</sup>	2.998	3.125	3.111	1.637	1.621	1.614	0.816	1.598	1.237	1.619	1.599
Mn	0.061	0.037	0.074	0.037	0.025	0.025	0.026	0.025	0.024	0.025	0.037
Mg	1.653	1.506	1.640	2.457	2.411	2.416	2.543	2.410	2.386	2.449	2.434
Ca	0.339	0.294	0.357	1.703	1.686	1.705	1.746	1.685	1.622	1.713	1.718
Na	0.391	0.364	0.393	0.771	0.763	0.800	0.769	0.727	0.768	0.741	0.715
K	0.129	0.129	0.148	0.376	0.372	0.357	0.389	0.394	0.393	0.375	0.376
F											
Cl											
OH*	2.000	2.000	2.000	2.000	2.000	2.000	2.000	2.000	2.000	2.000	2.000
Total	16.835	16.788	16.889	17.787	17.756	17.782	17.135	17.754	17.349	17.809	17.720
(Ca+Na) <sub>B</sub>	0.73	0.66	0.75	2.00	2.00	1.75	2.00	2.00	2.00	2.00	2.00
Na <sub>B</sub>	0.39	0.36	0.39	0.30	0.31	0.29	0.32	0.38	0.29	0.28	0.37
(Na+K) <sub>A</sub>	0.13	0.13	0.15	0.85	0.82	0.86	0.39	0.85	0.35	0.83	0.72
Mg/(Mg+Fe <sup>2+</sup> )	0.36	0.33	0.35	0.60	0.60	0.76	0.60	0.66	0.60	0.59	0.60
Fe <sup>3+/(Fe<sup>3+</sup>+Al<sup>IV</sup>)</sup>							0.56	0.61	0.50	0.59	0.21

Apêndice 1.5.4. Análises químicas pontuais de cristais de anfíbolo do Batólito Sienítico Itabuna.

Rock	Sample	Foid-bearing syenite											
		2057						2057					
SiO <sub>2</sub>	48.5	53.6	53.2	49.7	49.4	47.5	52.1	49.3	42.9	43.2	43.0	43.9	44.2
TiO <sub>2</sub>	0.4	0.4	0.6	0.6	0.6	0.6	0.5	0.3	3.9	4.0	4.0	3.8	4.0
Al <sub>2</sub> O <sub>3</sub>	7.1		7.7	7.9	7.5		8.1	11.8	11.7	11.5	11.5	11.5	11.8
FeO	28.8	30.6	31.6	28.9	28.7	31.8	34.5	28.6	13.1	12.9	13.2	13.3	13.7
MnO	0.3	0.4		0.4	0.3	0.3	0.4	0.3	0.2	0.2	0.3	0.3	0.2
MgO	4.4	6.4	6.0	4.7	4.8	4.3	5.1	5.8	11.3	11.4	11.4	11.1	11.1
CaO	1.1	2.9	2.8	2.5	2.7	3.0	2.8	2.4	10.8	10.7	10.8	10.6	10.7
Na <sub>2</sub> O	2.3	3.7	4.0	3.7	3.7	3.4	2.7	3.5	2.7	2.9	2.9	3.0	2.9
K <sub>2</sub> O	1.1	1.7	1.6	1.5	1.5	1.5	1.5	1.4	1.8	2.0	1.9	1.8	1.9
F	0.3		0.3	0.3	0.3	0.3	0.3	0.3	1.3	1.0	1.5	1.2	1.0
Cl	1.0	0.3	0.3	0.3	0.3	0.3	0.3	0.1	0.1	0.1	0.2	0.2	0.2
Total	94.0	99.7	99.8	99.7	99.6	99.9	99.6	99.7	98.5	98.9	98.5	98.6	98.8
Si	7.685	7.797	7.769	7.120	7.090	6.857	8.079	7.409	6.332	6.351	6.354	6.384	6.438
Al <sup>IV</sup>	0.315		0.880	0.910	1.143		0.591	1.668	1.649	1.646	1.616	1.562	1.673
Al <sup>VI</sup>	1.010		0.420	0.427	0.133		0.843	0.384	0.378	0.357	0.424	0.446	0.353
Ti	0.048	0.044	0.066	0.065	0.065	0.065	0.058	0.034	0.433	0.431	0.445	0.438	0.438
Fe <sup>3+</sup>	2.056	2.024	2.261	2.219	2.723						0.133	0.085	
Fe <sup>2+</sup>	3.816	1.666	1.835	1.202	1.226	1.116	4.474	3.594	1.617	1.586	1.631	1.484	1.584
Mn	0.040	0.049	0.049	0.036	0.036	0.037	0.053	0.038	0.025	0.025	0.049	0.049	0.037
Mg	1.039	1.388	1.306	1.004	1.027	0.925	1.179	1.299	2.486	2.498	2.489	2.472	2.472
Ca	0.187	0.452	0.438	0.384	0.415	0.464	0.465	0.386	1.708	1.685	1.646	1.683	1.654
Na	0.707	1.044	1.133	1.028	1.030	0.952	0.812	1.020	0.773	0.827	0.831	0.818	0.847
K	0.222	0.315	0.298	0.274	0.275	0.276	0.297	0.268	0.339	0.375	0.358	0.339	0.358
F													
Cl													
OH*													
Total	2.000	2.000	2.000	2.000	2.000	2.000	2.000	2.000	2.000	2.000	2.000	2.000	2.000
(Ca+Na) <sub>B</sub>	17.069	16.811	16.869	16.686	16.720	16.692	17.417	17.484	17.765	17.805	17.795	17.501	17.501
N <sub>Ab<sub>B</sub></sub>	0.89	1.50	1.57	1.41	1.44	1.42	1.28	1.25	2.00	2.00	2.00	2.00	2.00
(Na+K) <sub>A</sub>	0.71	1.04	1.13	1.03	1.03	0.95	0.81	0.86	0.29	0.31	0.35	0.32	0.35
Mg/(Mg+Fe <sup>2+</sup> )	0.22	0.32	0.30	0.27	0.27	0.30	0.42	0.82	0.89	0.84	0.50	0.50	0.86
Fe <sup>3+</sup> /(Fe <sup>3+</sup> +Al <sup>VI</sup> )	0.21	0.45	0.42	0.46	0.45	0.45	0.21	0.27	0.61	0.61	0.60	0.60	0.59

**Apêndice 1.5.5. Análises químicas pontuais de cristais de anfíbólito do Batólito Sienítico Itabuna.**

Rock	Sample	2057				2494				2579				Foid-bearing syenite
		SiO <sub>2</sub>	TiO <sub>2</sub>	Al <sub>2</sub> O <sub>3</sub>	FeO	Al <sub>2</sub> O <sub>3</sub>	MnO	MgO	CaO	Na <sub>2</sub> O	K <sub>2</sub> O	F	Cl	
	SiO <sub>2</sub>	44.6	42.7	42.6	41.5	41.2	41.4	41.3	40.8	41.0	41.5	40.4	40.9	39.9
	TiO <sub>2</sub>	3.9	4.4	2.0	2.2	2.3	1.9	3.3	2.7	4.9	4.2	4.6	3.8	2.6
	Al <sub>2</sub> O <sub>3</sub>	11.7	11.8	13.4	13.2	12.9	13.2	12.3	13.6	13.4	13.7	14.1	14.0	13.7
	FeO	13.9	13.7	18.7	18.7	19.2	18.4	18.3	17.4	13.5	12.6	13.4	14.6	18.7
	MnO	0.2	0.1	0.4	0.2	0.3	0.2	0.4					0.6	0.5
	MgO	12.0	11.1	9.8	9.0	8.9	9.1	9.0	9.8	11.5	12.0	11.2	10.6	8.7
	CaO	10.9	10.7	11.2	11.0	11.0	10.9	11.5	11.7	11.7	11.4	11.6	11.7	11.5
	Na <sub>2</sub> O	2.8	2.2	2.1	2.2	2.3	2.4	2.5	2.6	3.0	2.7	2.6	2.6	2.5
	K <sub>2</sub> O	1.8	2.0	1.7	1.8	1.8	1.7	1.5	1.3	1.4	1.4	1.3	1.4	1.4
	F	0.7	0.5	0.1	0.1	0.1	0.3	0.3	0.1	0.1	0.1	0.1	0.1	0.1
	Cl	0.3	0.2	0.4	0.3	0.3	0.3	0.3	0.1	0.1	0.1	0.1	0.1	0.1
Total		99.0	99.3	101.9	99.7	99.8	99.1	100.0	99.8	100.0	99.8	99.9	100.0	99.9
		Structural formula based in 23 oxygen												
Si	6.371	6.278	6.125	6.135	6.106	6.150	6.147	6.026	5.989	6.042	5.983	6.135	5.984	6.096
Al <sup>IV</sup>	1.629	1.722	1.875	1.865	1.894	1.850	1.853	1.974	2.011	1.958	2.017	2.066	1.865	2.016
Al <sup>VI</sup>	0.341	0.323	0.396	0.435	0.360	0.461	0.305	0.393	0.297	0.393	0.407	0.358	0.204	0.406
Ti	0.419	0.487	0.216	0.245	0.256	0.212	0.369	0.300	0.538	0.460	0.505	0.519	0.429	0.293
Fe <sup>3+</sup>	0.786	0.686	0.515	0.555	0.509	0.163	0.317						0.064	0.294
Fe <sup>2+</sup>	0.875	1.685	1.557	1.797	1.825	1.776	2.115	1.832	1.649	1.534	1.635	1.793	2.282	1.187
Mn	0.024	0.012	0.047	0.025	0.038	0.025	0.050						0.076	0.064
Mg	2.555	2.433	2.097	1.983	1.966	2.015	1.997	2.158	2.504	2.604	2.436	2.321	1.946	1.766
Ca	1.668	1.686	1.724	1.742	1.747	1.735	1.834	1.851	1.831	1.778	1.814	1.841	1.848	1.866
Na	0.798	0.601	0.602	0.632	0.662	0.693	0.716	0.736	0.847	0.764	0.740	0.756	0.727	0.699
K	0.328	0.375	0.309	0.339	0.340	0.322	0.285	0.245	0.261	0.260	0.242	0.262	0.287	0.306
F														0.268
Cl														0.266
OH*		2.000	2.000	2.000	2.000	2.000	2.000	2.000	2.000	2.000	2.000	2.000	2.000	2.000
Total		16.996	17.799	17.635	17.684	17.719	17.720	17.811	17.812	17.876	17.803	17.836	17.891	17.881
(Ca+Na) <sub>B</sub>		1.67	2.00	2.00	2.00	2.00	2.00	2.00	2.00	2.00	2.00	2.00	2.00	2.00
N <sub>Ab</sub>		0.31	0.28	0.26	0.25	0.17	0.15	0.17	0.22	0.19	0.16	0.15	0.15	0.13
(Na+K) <sub>A</sub>		0.33	0.86	0.64	0.68	0.72	0.81	0.83	0.89	0.82	0.84	0.89	0.88	0.86
Mg/(Mg+Fe <sup>2+</sup> )		0.74	0.59	0.57	0.52	0.53	0.49	0.54	0.60	0.63	0.60	0.56	0.46	0.46
Fe <sup>3+)/(Fe<sup>3+</sup>+Al<sup>IV</sup>)</sup>		0.70	0.63	0.54	0.61	0.52	0.35	0.45				0.24	0.42	0.41

**Apêndice 1.5.6. Análises químicas pontuais de cristais de anfíbolio do Batólito Sienítico Itabuna.**

Rock	Sample	Foid-bearing syenite									
		2579					2589				
SiO <sub>2</sub>	44.4	41.8	42.5	41.6	49.0	43.7	41.5	41.4	45.5	41.2	41.6
TiO <sub>2</sub>	2.0	1.6	1.8	0.5	1.8	2.6	2.3	1.0	2.0	2.3	1.8
Al <sub>2</sub> O <sub>3</sub>	8.5	9.8	9.1	10.0	4.7	7.8	9.7	7.3	10.4	10.2	9.7
FeO	18.8	26.3	26.1	25.8	23.7	25.4	25.7	24.8	25.6	25.8	25.9
MnO	0.7	0.8	0.6	0.8	0.9	0.8	1.0	1.0	0.7	0.8	0.7
MgO	11.2	4.9	4.8	4.9	8.1	6.2	4.8	4.9	6.5	4.8	4.7
CaO	11.2	10.8	10.9	10.9	11.1	10.8	10.9	10.7	10.8	11.0	10.8
Na <sub>2</sub> O	2.9	2.0	2.0	2.1	1.6	2.2	2.2	2.3	2.4	2.1	1.9
K <sub>2</sub> O	0.4	1.6	1.5	1.6	0.4	1.0	1.6	0.5	1.7	1.6	1.4
F									0.2		
Cl	0.6	0.5	0.6	0.1	0.3	0.5	0.4	0.3	0.4	0.6	0.5
Total	99.4	99.5	99.3	99.9	99.8	99.5	99.6	99.7	99.5	99.4	99.4
Structural formula based in 23 oxygen											
Si	6.534	6.435	6.559	6.428	7.281	6.645	6.425	6.382	6.867	6.367	6.383
Al <sup>IV</sup>	1.466	1.565	1.441	1.572	0.719	1.355	1.575	1.618	1.133	1.633	1.617
Al <sup>VI</sup>	0.008	0.213	0.214	0.249	0.104	0.043	0.196	0.163	0.166	0.261	0.245
Ti	0.221	0.185	0.209	0.209	0.056	0.206	0.303	0.267	0.114	0.232	0.268
Fe <sup>3+</sup>	0.581	0.508	0.311	0.350	0.432	0.539	0.181	0.414	0.478	0.309	0.284
Fe <sup>2+</sup>	1.732	2.878	3.057	2.984	2.513	2.691	3.108	2.900	2.653	3.000	3.059
Mn	0.091	0.105	0.079	0.101	0.116	0.105	0.131	0.128	0.092	0.105	0.079
Mg	2.457	1.125	1.104	1.129	1.794	1.405	1.108	1.126	1.463	1.106	1.039
Ca	1.766	1.781	1.802	1.805	1.767	1.760	1.808	1.767	1.746	1.772	1.793
Na	0.827	0.597	0.598	0.629	0.461	0.649	0.660	0.658	0.673	0.719	0.631
K	0.075	0.314	0.295	0.315	0.076	0.194	0.316	0.315	0.096	0.335	0.336
F										0.316	0.312
Cl										0.272	0.252
OH*	2.000	2.000	2.000	2.000	2.000	2.000	2.000	2.000	2.000	2.000	2.000
Total	17.668	17.693	17.696	17.749	17.304	17.602	17.785	17.740	17.516	17.826	17.759
(Ca+Na) <sub>B</sub>	2.00	2.00	2.00	2.00	2.00	2.00	2.00	2.00	2.00	2.00	2.00
Na <sub>B</sub>	0.23	0.22	0.20	0.23	0.24	0.19	0.23	0.25	0.23	0.21	0.17
(Na+K) <sub>A</sub>	0.67	0.69	0.70	0.75	0.30	0.60	0.78	0.74	0.52	0.83	0.76
Mg/(Mg+Fe <sup>2+</sup> )	0.59	0.28	0.27	0.27	0.42	0.34	0.26	0.28	0.36	0.27	0.25
Fe <sup>3+</sup> /(Fe <sup>3+</sup> +Al <sup>VI</sup> )	0.99	0.70	0.59	0.58	0.81	0.93	0.48	0.72	0.74	0.54	0.53

Apêndice 1.5.7 Análises químicas pontuais de cristais de anfíbolo do Batólito Sienítico Itabuna.

Rock	Sample	Foid-bearing syenite									
		2589					2589				
SiO <sub>2</sub>	40.3	42.3	40.0	40.3	39.9	40.0	45.8	40.6	40.1	42.9	43.5
TiO <sub>2</sub>	2.0	2.2	2.3	2.3	1.8	1.3	2.2	2.4	2.0	2.2	1.3
Al <sub>2</sub> O <sub>3</sub>	10.1	8.9	10.4	10.2	10.3	10.8	6.5	10.1	10.3	9.9	7.8
FeO	29.3	28.1	29.5	29.4	29.5	24.5	28.7	28.8	25.4	25.0	25.3
MnO	0.7	0.8	0.8	0.7	0.8	0.6	1.1	0.7	0.8	0.6	0.4
MgO	3.2	3.7	2.6	2.6	2.7	2.5	6.9	3.2	3.3	3.8	4.0
CaO	10.9	10.9	10.6	10.7	10.6	10.9	11.2	10.9	10.8	10.8	10.9
Na <sub>2</sub> O	2.0	1.8	2.2	2.2	2.3	2.1	1.9	2.1	2.2	2.0	2.0
K <sub>2</sub> O	1.7	1.3	1.7	1.6	1.7	1.8	0.8	1.7	1.7	1.5	1.6
F											
Cl	0.5	0.6	0.6	0.6	0.7	0.3	0.6	0.5	0.5	0.6	0.5
Total	100.2	100.0	100.1	100.0	100.1	100.0	100.0	100.3	99.5	99.4	99.6
Structural formula based in 23 oxygen											
Si	6.269	6.536	6.249	6.304	6.239	6.266	6.912	6.319	6.226	6.625	6.693
Al <sup>IV</sup>	1.731	1.464	1.751	1.696	1.761	1.734	1.088	1.681	1.774	1.375	1.307
Al <sup>VI</sup>	0.120	0.156	0.164	0.184	0.137	0.260	0.068	0.172	0.111	0.464	0.525
Ti	0.234	0.256	0.270	0.271	0.271	0.212	0.148	0.258	0.280	0.232	0.231
Fe <sup>3+</sup>	0.569	0.392	0.492	0.397	0.496	0.394	0.394	0.447	0.540	0.540	0.055
Fe <sup>2+</sup>	3.242	3.239	3.362	3.449	3.362	3.471	2.698	3.288	3.200	3.280	3.217
Mn	0.092	0.105	0.106	0.093	0.106	0.080	0.141	0.092	0.105	0.092	0.078
Mg	0.742	0.852	0.606	0.606	0.629	0.584	1.552	0.742	0.764	0.875	0.872
Ca	1.817	1.804	1.774	1.793	1.776	1.829	1.811	1.818	1.797	1.804	1.780
Na	0.603	0.539	0.666	0.667	0.697	0.638	0.556	0.573	0.632	0.659	0.597
K	0.337	0.256	0.339	0.319	0.339	0.360	0.154	0.338	0.337	0.296	0.314
F											
Cl											
OH*	2.000	2.000	2.000	2.000	2.000	2.000	2.000	2.000	2.000	2.000	2.000
Total	17.757	17.600	17.780	17.812	17.521	17.729	17.766	17.700	17.615	17.605	17.377
(Ca+Na) <sub>B</sub>	2.00	2.00	2.00	2.00	2.00	2.00	2.00	2.00	2.00	2.00	2.00
Na <sub>B</sub>	0.18	0.20	0.23	0.21	0.22	0.17	0.19	0.18	0.20	0.22	0.19
(Na+K) <sub>A</sub>	0.76	0.60	0.78	0.78	0.81	0.83	0.52	0.73	0.77	0.69	0.65
Mg/(Mg+Fe <sup>2+</sup> )	0.19	0.21	0.15	0.15	0.14	0.37	0.18	0.19	0.21	0.22	0.21
Fe <sup>3+</sup> /(Fe <sup>3+</sup> +Al <sup>VI</sup> )	0.83	0.71	0.75	0.68	0.78	0.60	0.85	0.72	0.83	0.11	0.25

Apêndice 1.5.8. Análises químicas pontuais de cristais de anfíbolio do Batólito Sienítico Itabuna.

Rock	Sample	Foid-bearing syenite										Foid-bearing monzonite									
		2589					2058					2058					2058				
SiO <sub>2</sub>	42.6	42.6	42.5	42.7	42.0	41.2	41.3	40.7	41.3	41.4	41.1	41.7	41.4	41.5	41.3	41.4	41.4	41.5	41.3	39.0	
TiO <sub>2</sub>	1.9	1.8	1.8	1.8	2.0	2.4	2.3	2.9	3.1	2.9	2.8	2.7	2.7	2.5	2.5	2.5	2.5	2.5	2.5	2.5	
Al <sub>2</sub> O <sub>3</sub>	10.7	10.6	10.8	11.0	10.6	10.8	11.4	10.9	11.2	10.6	10.6	10.7	10.5	10.8	10.7	11.0	11.0	11.0	14.4		
FeO	25.9	25.6	25.4	25.7	25.3	23.1	23.5	22.8	23.3	22.4	22.7	22.5	22.2	22.9	22.8	22.9	22.9	22.9	22.9	20.7	
MnO	0.5	0.5	0.4	0.5	0.5	0.6	0.5	0.6	0.7	0.8	0.8	0.7	0.8	0.7	0.6	0.6	0.6	0.6	0.6	0.6	
MgO	3.8	3.7	3.6	3.6	3.9	6.3	6.1	6.4	6.3	6.4	6.6	6.7	6.8	6.5	6.6	6.7	6.7	6.7	6.3		
CaO	10.8	10.6	10.8	10.8	10.8	11.3	11.2	11.2	11.1	11.2	11.2	11.1	11.3	11.1	11.1	11.1	11.1	11.1	10.6		
Na <sub>2</sub> O	2.1	2.3	2.1	1.9	2.2	2.1	2.1	2.2	2.2	2.3	2.3	2.2	2.0	2.1	2.2	2.2	2.2	2.2	2.8		
K <sub>2</sub> O	1.7	1.8	1.9	1.9	1.8	1.7	1.7	1.7	1.7	1.6	1.6	1.7	1.8	1.8	1.6	1.6	1.6	1.6	1.5		
F	0.3	0.1	0.1	0.1	0.3	0.4	0.5	0.6	0.4	0.5	0.5	0.4	0.4	0.4	0.4	0.4	0.4	0.4	0.4	0.5	
Cl	0.4	0.5	0.5	0.6	0.6	0.4	0.5	0.5	0.5	0.4	0.4	0.4	0.4	0.4	0.4	0.4	0.4	0.4	0.4	0.5	
Total	100.0	99.5	99.3	99.4	99.1	99.5	100.0	100.0	100.1	99.7	100.1	99.5	99.8	100.0	99.6	99.9	99.9	99.9	97.8		
Si	6.558	6.588	6.580	6.590	6.527	6.305	6.262	6.284	6.185	6.311	6.289	6.270	6.341	6.288	6.317	6.258	6.258	6.258	5.996		
Al <sup>IV</sup>	1.442	1.412	1.420	1.410	1.473	1.695	1.738	1.716	1.815	1.689	1.711	1.730	1.659	1.712	1.683	1.742	1.742	2.004			
Al <sup>VI</sup>	0.499	0.520	0.550	0.590	0.469	0.253	0.304	0.238	0.190	0.220	0.187	0.194	0.223	0.221	0.236	0.223	0.223	0.605			
Ti	0.220	0.209	0.210	0.209	0.234	0.276	0.263	0.332	0.331	0.356	0.331	0.321	0.309	0.308	0.286	0.285	0.285	0.289			
Fe <sup>3+</sup>	3.334	3.311	3.288	3.317	3.288	0.230	0.313	0.184	0.370	0.096	0.227	0.283	0.197	0.294	0.294	0.389	0.389	0.199			
Fe <sup>2+</sup>	0.065	0.065	0.052	0.066	0.078	0.064	0.064	0.077	0.090	0.104	0.104	0.103	0.090	0.103	0.090	0.090	0.090	0.077	0.077		
Mn	0.872	0.853	0.831	0.828	0.904	1.437	1.382	1.452	1.427	1.458	1.495	1.524	1.542	1.472	1.498	1.513	1.444				
Mg	1.781	1.756	1.791	1.786	1.798	1.853	1.824	1.826	1.807	1.834	1.823	1.814	1.841	1.806	1.810	1.802	1.746				
Ca	0.627	0.690	0.630	0.569	0.663	0.623	0.619	0.649	0.648	0.681	0.677	0.651	0.590	0.618	0.649	0.646	0.646	0.835			
Na	0.334	0.355	0.375	0.374	0.357	0.332	0.330	0.330	0.330	0.330	0.312	0.310	0.331	0.349	0.349	0.311	0.309	0.294			
F	Cl	OH*	2.000	2.000	2.000	2.000	2.000	2.000	2.000	2.000	2.000	2.000	2.000	2.000	2.000	2.000	2.000	2.000	2.000		
Total	17.732	17.759	17.728	17.672	17.778	17.808	17.772	17.805	17.785	17.827	17.810	17.796	17.780	17.773	17.770	17.758	17.758	17.875			
(Ca+Na) <sub>B</sub>	2.00	2.00	2.00	2.00	2.00	2.00	2.00	2.00	2.00	2.00	2.00	2.00	2.00	2.00	2.00	2.00	2.00	2.00	2.00		
Na <sub>B</sub>	0.22	0.24	0.21	0.21	0.20	0.15	0.18	0.17	0.19	0.17	0.18	0.19	0.16	0.19	0.19	0.20	0.20	0.25			
(Na+K) <sub>A</sub>	0.74	0.80	0.80	0.73	0.82	0.81	0.77	0.80	0.78	0.83	0.81	0.80	0.78	0.77	0.77	0.76	0.76	0.87			
Mg/(Mg+Fe <sup>2+</sup> )	0.21	0.20	0.20	0.20	0.22	0.35	0.34	0.35	0.36	0.35	0.37	0.37	0.36	0.36	0.38	0.38	0.38	0.37			
Fe <sup>2+</sup> /(Fe <sup>2+</sup> +Al <sup>VI</sup> )						0.48	0.51	0.44	0.66	0.30	0.55	0.59	0.47	0.57	0.55	0.64	0.64	0.25			

Apêndice 1.5.9. Análises químicas pontuais de cristais de anfíbolio do Batólito Sienítico Itabuna.

Rock	Sample	2058										Foid-bearing monzonite			
SiO <sub>2</sub>	41.3	41.2	40.9	41.2	41.3	41.4	36.5	41.3	41.4	54.5	41.0	41.0	40.9	42.7	42.3
TiO <sub>2</sub>	2.8	2.6	2.6	2.5	2.6	2.2	5.4	2.6	2.8	0.1	2.0	1.9	1.8	2.2	2.2
Al <sub>2</sub> O <sub>3</sub>	11.3	10.8	11.0	10.9	11.2	14.9	10.9	10.7	0.8	10.9	11.0	11.2	9.2	9.2	9.2
FeO	22.6	22.5	22.9	22.6	22.7	23.0	23.4	23.6	23.7	20.0	25.9	25.3	25.0	23.5	23.8
MnO	0.6	0.8	0.6	0.7	0.6	0.5	0.7	0.8	0.8	0.8	0.9	0.9	0.9	0.9	0.9
MgO	6.2	6.5	6.6	6.5	6.2	8.8	5.9	5.9	11.5	4.9	5.4	5.2	5.7	5.6	5.6
CaO	11.5	11.2	11.4	11.2	11.4	11.4	11.1	11.1	11.0	11.9	10.9	10.8	12.7	12.7	12.7
Na <sub>2</sub> O	2.0	2.1	1.7	1.9	2.1	1.9	1.1	2.3	2.1	0.2	1.8	2.1	1.8	2.0	2.1
K <sub>2</sub> O	1.7	1.8	1.8	1.8	1.7	9.0	1.7	1.7	1.7	1.7	1.6	1.7	1.2	1.2	1.2
F															
Cl	0.4	0.4	0.4	0.5	0.4	0.4	0.4	0.4	0.4	0.1	0.4	0.4	0.4	0.2	0.2
Total	100.0	99.6	99.8	99.6	99.3	99.7	99.5	100.2	100.3	100.2	100.3	100.5	99.8	100.0	99.9
Structural formula based in 23 oxygen															
Si	6.289	6.296	6.232	6.284	6.333	6.314	5.696	6.300	6.301	7.867	6.271	6.244	6.264	6.539	6.503
Al <sup>IV</sup>	1.711	1.704	1.768	1.716	1.667	1.686	2.304	1.700	1.699	0.133	1.729	1.756	1.736	1.461	1.497
Al <sup>VI</sup>	0.317	0.241	0.207	0.262	0.303	0.327	0.436	0.259	0.221	0.003	0.236	0.218	0.286	0.199	0.171
Ti	0.321	0.299	0.298	0.287	0.300	0.252	0.634	0.298	0.321	0.011	0.230	0.218	0.207	0.253	0.254
Fe <sup>3+</sup>	0.080	0.224	0.390	0.307	0.041	0.236	0.205	0.299	0.373	0.595	0.647	0.590			
Fe <sup>2+</sup>	2.798	2.651	2.528	2.576	2.870	2.697	3.054	2.805	2.718	2.042	2.718	2.575	2.612	3.009	3.060
Mn	0.077	0.104	0.077	0.090	0.078	0.066	0.090	0.103	0.098	0.104	0.116	0.117	0.117	0.117	0.117
Mg	1.407	1.481	1.499	1.478	1.486	1.410	2.047	1.342	1.339	2.475	1.117	1.226	1.187	1.301	1.284
Ca	1.876	1.834	1.861	1.830	1.873	1.863	1.814	1.794	1.840	1.786	1.762	1.789	2.084	2.092	
Na	0.590	0.622	0.502	0.562	0.624	0.562	0.333	0.680	0.620	0.056	0.534	0.620	0.535	0.594	0.626
K	0.330	0.351	0.350	0.352	0.331	1.792	0.331	0.330	0.330	0.332	0.311	0.332	0.234	0.235	
F															
Cl															
OH*	2.000	2.000	2.000	2.000	2.000	2.000	2.000	2.000	2.000	2.000	2.000	2.000	2.000	2.000	2.000
Total	17.797	17.807	17.713	17.743	17.849	17.755	18.362	17.825	17.744	16.896	17.652	17.693	17.655	17.792	17.839
(Ca+Na) <sub>B</sub>	2.00	2.00	2.00	2.00	2.00	2.00	0.33	2.00	2.00	1.90	2.00	2.00	2.00	2.00	2.00
Na <sub>B</sub>	0.12	0.17	0.14	0.17	0.13	0.14	0.33	0.19	0.21	0.06	0.21	0.24	0.21		
(Na+K) <sub>A</sub>	0.80	0.81	0.71	0.74	0.85	0.76	1.79	0.83	0.74	0.65	0.69	0.66	0.83	0.86	
Mg/(Mg+Fe <sup>2+</sup> )	0.33	0.36	0.37	0.36	0.34	0.40	0.32	0.33	0.55	0.29	0.32	0.31	0.31	0.30	0.30
Fe <sup>3+</sup> /(Fe <sup>3+</sup> +Al <sup>VI</sup> )	0.20	0.48	0.65	0.54	0.12	0.42	0.44	0.58	0.99	0.72	0.75	0.75			

**Apêndice 1.5.10. Análises químicas pontuais de cristais de anfíbolio do Batólito Sienítico Itabuna.**

Rock	Sample	Fold-bearing monzonite									
		2058					2058				
SiO <sub>2</sub>	42.7	42.6	43.2	43.5	42.9	41.8	43.6	38.7	42.5	47.6	45.9
TiO <sub>2</sub>	2.3	2.1	2.0	2.3	2.1	2.3	2.0	1.9	2.1	2.3	1.9
Al <sub>2</sub> O <sub>3</sub>	9.5	9.1	8.6	8.8	9.0	11.8	12.7	18.0	11.9	12.0	14.6
FeO	23.2	23.5	22.9	23.5	23.4	21.6	21.3	20.6	21.7	22.1	20.4
MnO	0.8	0.9	1.0	1.1	0.5	0.7	0.4	0.6	0.6	0.5	0.4
MgO	5.5	5.8	5.9	6.1	5.8	6.0	6.4	5.3	6.1	6.4	5.7
CaO	12.8	12.7	13.5	12.7	12.9	11.0	11.0	10.4	10.9	11.0	10.9
Na <sub>2</sub> O	1.9	1.8	1.9	1.9	1.9	2.1	2.3	2.3	2.0	1.9	2.6
K <sub>2</sub> O	1.2	1.3	1.1	1.2	1.1	1.9	1.9	1.9	1.9	1.8	2.4
F						0.2			0.2	0.2	0.1
Cl	0.2	0.2	0.2	0.2	0.2	0.4	0.5	0.4	0.4	0.5	0.3
Total	99.8	99.7	100.0	99.9	100.1	98.9	101.9	98.3	98.1	100.8	105.5
Structural formula based in 23 oxygen											
Si	6.536	6.546	6.606	6.627	6.561	6.393	6.435	5.795	6.435	6.358	6.515
Al <sup>IV</sup>	1.464	1.454	1.394	1.373	1.439	1.607	1.565	2.205	1.565	1.642	1.485
Al <sup>VI</sup>	0.250	0.193	0.156	0.207	0.184	0.520	0.644	0.972	0.559	0.473	0.871
Ti	0.265	0.243	0.230	0.264	0.242	0.265	0.222	0.214	0.239	0.259	0.185
Fe <sup>3+</sup>							0.799	0.403	0.212	0.042	0.051
Fe <sup>2+</sup>	2.970	3.020	2.928	2.994	2.993	2.763	2.629	1.781	2.344	2.553	2.293
Mn	0.104	0.117	0.130	0.142	0.065	0.088	0.051	0.051	0.077	0.076	0.072
Mg	1.255	1.329	1.345	1.385	1.322	1.368	1.408	1.183	1.377	1.427	1.551
Ca	2.099	2.091	2.212	2.073	2.114	1.802	1.739	1.669	1.768	1.763	1.599
Na	0.564	0.536	0.563	0.561	0.563	0.623	0.658	0.668	0.587	0.551	0.690
K	0.234	0.255	0.215	0.233	0.215	0.371	0.358		0.363	0.314	0.361
F										0.393	0.382
Cl										0.393	0.382
OH*	2.000	2.000	2.000	2.000	2.000	2.000	2.000	2.000	2.000	2.000	2.000
Total	17.741	17.783	17.778	17.717	17.775	17.746	17.336	17.356	17.677	17.603	17.690
(Ca+Na) <sub>B</sub>	2.10	2.09	2.21	2.07	2.11	2.00	2.00	2.00	2.00	2.00	2.00
Na <sub>B</sub>						0.20	0.26	0.33	0.23	0.24	0.40
(Na+K) <sub>A</sub>	0.80	0.79	0.78	0.79	0.78	0.80	0.76	0.34	0.36	0.68	0.60
Mg/(Mg+Fe <sup>2+</sup> )	0.30	0.31	0.31	0.32	0.31	0.33	0.35	0.40	0.37	0.36	0.40
Fe <sup>3+</sup> /(Fe <sup>3+</sup> +Al <sup>VI</sup> )						0.45	0.42	0.31	0.31	0.05	0.07

**Apêndice 1.5.11. Análises químicas pontuais de cristais de anfíbolio do Batólito Sienítico Itabuna.**

Rock	Sample	2058	Foid-bearing monzonite		
SiO <sub>2</sub>	SiO <sub>2</sub>	42.4	51.8	47.4	50.3
TiO <sub>2</sub>		0.2	0.4	2.0	0.9
Al <sub>2</sub> O <sub>3</sub>		1.9		33.5	36.0
FeO		24.9	38.0	1.7	1.3
MnO		0.8	1.7	5.2	6.8
MgO		5.4	5.9	0.2	0.4
CaO		15.9	0.3	0.2	0.8
Na <sub>2</sub> O		1.1	1.3	5.5	4.5
K <sub>2</sub> O		0.2	0.2	0.5	0.5
F					
Cl					
Total		92.8	99.2	99.6	99.3
		Structural formula based in 23 oxygen			
Si		7.158	8.087	6.904	7.791
Al <sup>IV</sup>		0.378		0.209	0.117
Al <sup>VI</sup>				0.156	0.049
Ti		0.025	0.044		
Fe <sup>3+</sup>			4.397		
Fe <sup>2+</sup>		3.515	4.961	0.317	4.339
Mn		0.114	0.225	0.210	0.171
Mg		1.359	1.373	1.129	1.570
Ca		2.876	0.050	0.031	0.066
Na		0.360	0.394	1.553	1.351
K		0.043	0.040	0.093	0.099
F					
Cl					
OH*		2.000	2.000	2.000	2.000
Total		17.829	17.130	16.677	17.752
(Ca+Na) <sub>B</sub>		2.88	0.44	1.58	0.88
Na <sub>B</sub>			0.39	1.55	0.81
(Na+K) <sub>A</sub>		0.40	0.04	0.09	0.64
Mg(Mg+Fe <sup>2+</sup> )		0.28	0.22	0.78	0.27
Fe <sup>2+</sup> /(Fe <sup>2+</sup> +Al <sup>VI</sup> )				1.00	0.22
					0.19

Apêndice 1.6.1. Análises químicas pontuais com WDS de cristais de anfibólio do Batólito Sienítico Itabuna.

Rock	Foyd syenite									Foid-bearing syenite		
Sample	2056									2057		
SiO <sub>2</sub>	40.47	40.24	40.59	40.29	40.75	40.98	40.42	39.91	41.79	41.61	41.70	
TiO <sub>2</sub>	3.66	3.68	3.24	3.19	3.34	3.30	3.21	3.23	3.97	4.19	4.04	
Al <sub>2</sub> O <sub>3</sub>	10.75	11.11	10.76	10.91	10.59	10.38	10.75	11.15	10.88	10.91	10.82	
FeO	19.79	19.57	18.69	18.91	18.72	19.54	19.97	20.26	14.85	14.61	14.58	
MnO	1.01	1.06	0.99	1.04	1.00	1.04	1.06	1.03	0.39	0.45	0.36	
MgO	7.48	7.30	7.72	7.47	7.83	7.53	7.23	6.96	10.36	10.56	10.36	
CaO	10.17	10.43	10.26	10.31	10.37	10.27	10.32	10.24	10.88	11.07	11.14	
Na <sub>2</sub> O	3.14	3.10	3.14	3.04	3.09	3.04	3.03	3.00	2.53	2.57	2.49	
K <sub>2</sub> O	1.69	1.74	1.67	1.71	1.68	1.65	1.64	1.78	1.72	1.68	1.74	
BaO		0.10	0.10	0.08	0.07		0.08	0.08	0.09	0.05	0.01	
SrO		0.03	0.01	0.03	0.01				0.17			
F	0.31	0.18	0.27	0.29	0.34	0.32	0.26	0.28	0.96	0.98	0.94	
Cl	0.07	0.07	0.07	0.07	0.07	0.07	0.06	0.05	0.19	0.19	0.20	
Total	98.14	98.35	97.16	96.96	97.43	97.73	97.71	97.64	97.63	97.69	97.25	
Structural formula based in 23 oxygen												
Si	6.231	6.205	6.299	6.277	6.307	6.331	6.265	6.200	6.310	6.272	6.309	
Al <sup>IV</sup>	1.769	1.795	1.701	1.723	1.693	1.669	1.735	1.800	1.690	1.728	1.691	
Al <sup>VI</sup>	0.181	0.224	0.268	0.280	0.238	0.221	0.228	0.242	0.246	0.211	0.239	
Ti	0.424	0.427	0.378	0.374	0.389	0.384	0.375	0.378	0.451	0.474	0.460	
Fe <sup>3+</sup>	0.115					0.047	0.085	0.129				
Fe <sup>2+</sup>	2.433	2.524	2.426	2.463	2.423	2.478	2.504	2.504	1.875	1.841	1.845	
Mn	0.131	0.138	0.130	0.137	0.131	0.136	0.138	0.136	0.050	0.057	0.047	
Mg	1.716	1.679	1.785	1.735	1.806	1.734	1.671	1.612	2.331	2.373	2.336	
Ca	1.678	1.724	1.707	1.721	1.719	1.699	1.714	1.705	1.760	1.787	1.806	
Na	0.937	0.926	0.946	0.919	0.926	0.911	0.911	0.902	0.742	0.750	0.730	
K	0.333	0.342	0.330	0.339	0.333	0.324	0.325	0.353	0.331	0.323	0.336	
Ba		0.006	0.006	0.005	0.004		0.005	0.005	0.005	0.003	0.000	
Sr		0.003	0.001	0.002	0.001				0.015			
F												
Cl				0.027		0.027						
OH*	2.000	2.000	2.000	1.973	2.000	1.973	2.000	2.000	2.000	2.000	2.000	
Total	17.948	17.992	17.977	17.976	17.968	17.934	17.954	17.965	17.807	17.821	17.799	
(Ca+Na) <sub>B</sub>	2.000	2.000	2.000	2.000	2.000	2.000	2.000	2.000	2.000	2.000	2.000	
Na <sub>B</sub>	0.322	0.274	0.292	0.276	0.281	0.301	0.286	0.295	0.224	0.213	0.194	
(Na+K) <sub>A</sub>	0.948	0.994	0.984	0.982	0.978	0.934	0.950	0.960	0.848	0.861	0.872	
Mg/(Mg+Fe <sup>2+</sup> )	0.414	0.399	0.424	0.413	0.427	0.412	0.400	0.392	0.554	0.563	0.559	
Fe <sup>3+)/(Fe<sup>3+</sup>+Al<sup>VI</sup>)</sup>	0.387					0.176	0.271	0.348				

Apêndice 1.6.2. Análises químicas pontuais com WDS de cristais de anfíbólio do Batólito Sienítico Itabuna.

Rock	Foid-bearing syenite					Foid-bearing monzonite							
Sample	2589					2058			2504				
SiO <sub>2</sub>	40.80	50.60	50.20	41.60	41.50	40.13	40.25	40.24	42.20	47.20	41.40	41.30	41.40
TiO <sub>2</sub>	2.30	0.50	0.30	2.10	2.40	3.85	3.81	2.62			4.90	4.80	4.40
Al <sub>2</sub> O <sub>3</sub>	8.80	3.10	3.50	10.00	9.90	10.12	10.12	10.57	5.30	4.30	11.50	11.70	11.70
FeO	24.70	23.50	23.50	25.60	26.00	23.17	23.28	23.37	41.40	37.50	17.40	17.50	17.70
MnO	0.80	1.00	1.10	0.70	0.80	0.80	0.82	0.73	1.10	1.50	0.40	0.40	0.60
MgO	5.40	8.20	8.50	5.00	4.60	5.19	5.32	5.66	5.90	4.20	8.80	8.80	8.70
CaO	10.50	11.40	11.40	11.20	11.00	10.74	10.73	11.28	0.30	0.40	11.00	10.90	11.10
Na <sub>2</sub> O	4.80	1.30	1.30	1.50	1.60	2.11	2.15	1.78	2.20	3.00	2.60	2.50	2.50
K <sub>2</sub> O	1.50	0.30		1.60	1.60	1.45	1.45	1.66	1.40	1.70	1.80	1.80	1.70
BaO						0.08	0.15	0.20	0.10				
SrO						0.13	0.31						
F			0.60	0.20	0.20	0.20	0.08	0.21	0.10			0.10	
Cl	0.50	0.10	0.30	0.50	0.50	0.32	0.34	0.43	0.30	0.30	0.20	0.30	0.30
Total	99.60	99.90	99.80	99.30	99.40	97.79	98.38	98.10	99.90	99.80	99.80	99.70	99.80
Structural formula based in 23 oxygen													
Si	6.390	7.530	7.432	6.406	6.403	6.304	6.295	6.282	6.798	7.471	6.185	6.174	6.192
Al <sup>IV</sup>	1.610	0.470	0.568	1.594	1.597	1.696	1.705	1.718	1.006	0.529	1.815	1.826	1.808
Al <sup>VI</sup>	0.014	0.074	0.043	0.221	0.204	0.178	0.160	0.227		0.273	0.209	0.236	0.254
Ti	0.271	0.056	0.033	0.243	0.279	0.455	0.448	0.307			0.551	0.540	0.495
Fe <sup>3+</sup>	0.216	0.468	0.429	0.405		0.025	0.037	0.211	0.411				
Fe <sup>2+</sup>	3.235	2.708	2.442	2.868	2.950	3.019	3.007	2.841	5.167	4.964	2.174	2.188	2.214
Mn	0.106	0.126	0.138	0.091	0.105	0.107	0.108	0.097	0.150	0.201	0.051	0.051	0.076
Mg	1.261	1.819	1.876	1.148	1.058	1.216	1.240	1.318	1.417	0.991	1.960	1.961	1.940
Ca	1.762	1.818	1.808	1.848	1.819	1.808	1.798	1.887	0.052	0.068	1.761	1.746	1.779
Na	1.458	0.375	0.373	0.448	0.479	0.644	0.652	0.538	0.687	0.921	0.753	0.725	0.725
K	0.300	0.057		0.314	0.315	0.290	0.289	0.330	0.288	0.343	0.343	0.343	0.324
Ba						0.005	0.009	0.012	0.006				
Sr						0.012	0.028						
F									0.156	0.051			
Cl		0.026							0.028	0.027		0.026	
OH*	2.000	1.974	2.000	2.000	2.000	2.000	2.000	2.000	1.816	1.922	2.000	1.974	2.000
Total	18.406	17.250	17.182	17.610	17.612	17.759	17.777	17.767	17.981	17.760	17.801	17.789	17.807
(Ca+Na) <sub>B</sub>	2.519	2.000	2.000	2.000	2.000	2.000	2.000	2.000	0.121	0.661	2.000	2.000	2.000
Na <sub>B</sub>	0.757	0.182	0.192	0.152	0.181	0.180	0.174	0.113	0.069	0.593	0.239	0.254	0.221
(Na+K) <sub>A</sub>	1.000	0.250	0.182	0.610	0.612	0.754	0.767	0.754	0.905	0.671	0.857	0.814	0.828
Mg/(Mg+Fe <sup>2+</sup> )	0.280	0.402	0.435	0.286	0.264	0.287	0.292	0.317	0.215	0.166	0.474	0.473	0.467
Fe <sup>3+)/(Fe<sup>3+</sup>+Al<sup>VI</sup>)</sup>	0.745	0.916	0.660	0.665		0.123	0.189	0.483	1.000				

**Apêndice 1.7.1. Análises químicas pontuais de cristais de clinopiroxênio do Batólito Sienítico Itabuna.**

Rock	Sample	2056										Foyd syenite			2056 (WDS)				
SiO <sub>2</sub>	53.2	53.2	52.7	52.7	54.0	54.2	54.4	53.0	53.1	52.9	52.7	53.7	52.0	52.6	52.9	53.9	51.0	51.5	51.3
TiO <sub>2</sub>	2.6	2.5	2.8	2.4	2.1	2.5	2.3	2.6	2.5	2.5	2.7	3.3	2.7	2.6	2.6	2.8	2.3	2.4	0.7
Al <sub>2</sub> O <sub>3</sub>																		0.0	0.0
Cr <sub>2</sub> O <sub>3</sub>																			0.0
FeO	10.9	10.9	11.6	12.0	10.0	9.7	9.9	11.0	11.2	11.3	11.3	12.6	11.7	11.5	11.1	11.6	12.1	11.7	12.3
MnO	0.7	0.8	0.7	0.8	0.7	0.7	0.7	0.6	0.7	0.7	0.7	0.4	0.6	0.6	0.6	0.9	0.9	0.9	0.9
MgO	10.5	10.6	10.0	9.6	11.4	11.4	11.1	9.7	9.9	10.0	10.0	10.5	9.9	9.7	9.9	10.3	9.3	9.7	9.5
CaO	20.1	20.2	20.0	19.4	19.6	19.5	19.8	20.0	19.7	19.7	19.8	19.2	19.4	20.1	19.9	20.6	20.8	21.0	20.7
Na <sub>2</sub> O	2.0	1.9	2.1	2.3	2.1	2.0	2.1	2.0	2.0	2.0	2.1	2.3	2.4	2.1	2.1	1.9	1.8	1.9	1.9
K <sub>2</sub> O																			0.1
Total	100.0	100.1	99.9	100.0	99.9	100.0	100.3	100.0	99.9	100.0	100.0	100.0	100.0	100.1	99.9	99.9	99.7	99.6	99.8
Structural formula based in 6 oxygen																			
Si	1.997	1.996	1.988	1.990	2.016	2.015	2.021	1.993	1.996	1.990	1.984	2.035	1.962	1.982	1.991	2.039	1.949	1.963	1.958
Al <sub>total</sub>	0.115	0.111	0.125	0.107	0.092	0.110	0.101	0.115	0.111	0.120	0.120	0.147	0.120	0.115	0.125	0.103	0.109		
Ti					0.023			0.023		0.023	0.023	0.023	0.020	0.020	0.020	0.020	0.024	0.021	0.021
Cr																0.000	0.000	0.001	
Fe <sub>tot</sub>	0.342	0.342	0.366	0.379	0.312	0.302	0.308	0.346	0.352	0.356	0.356	0.399	0.369	0.362	0.349	0.367	0.386	0.373	0.392
Mn	0.022	0.025	0.022	0.025	0.022	0.022	0.022	0.019	0.022	0.022	0.022	0.013	0.019	0.019	0.019	0.030	0.029	0.029	
Mg	0.585	0.590	0.559	0.538	0.632	0.632	0.614	0.543	0.555	0.560	0.559	0.589	0.552	0.542	0.554	0.578	0.525	0.549	0.534
Ca	0.808	0.812	0.809	0.785	0.784	0.777	0.788	0.806	0.794	0.794	0.799	0.780	0.784	0.811	0.802	0.835	0.849	0.857	0.847
Na	0.146	0.138	0.154	0.168	0.152	0.144	0.151	0.146	0.146	0.146	0.153	0.169	0.176	0.153	0.153	0.154	0.143	0.131	0.138
Total	4.015	4.015	4.022	4.015	4.011	4.002	4.004	3.994	3.997	4.001	4.010	4.017	4.022	4.010	4.004	4.012	4.031	4.025	4.030
Fe <sup>2+</sup>	0.286	0.288	0.286	0.324	0.270	0.296	0.293	0.333	0.347	0.334	0.301	0.303	0.255	0.308	0.317	0.305	0.275	0.282	0.284
Fe <sup>3+</sup>	0.054	0.053	0.078	0.054	0.041	0.006	0.014	0.013	0.005	0.021	0.053	0.093	0.111	0.052	0.032	0.061	0.107	0.088	0.104
Mg/(Mg+Fe <sup>2+</sup> )	0.67	0.67	0.66	0.62	0.70	0.68	0.68	0.62	0.61	0.63	0.65	0.66	0.68	0.64	0.64	0.65	0.66	0.66	0.65
Fe <sup>2+)/(Fe<sub>tot</sub>)</sup>	0.84	0.85	0.79	0.86	0.87	0.98	0.95	0.96	0.99	0.94	0.85	0.76	0.70	0.86	0.91	0.83	0.72	0.76	0.73
En	0.35	0.35	0.34	0.33	0.38	0.37	0.36	0.32	0.33	0.33	0.34	0.35	0.35	0.33	0.33	0.34	0.32	0.33	0.32
Fs	0.17	0.17	0.20	0.16	0.17	0.17	0.20	0.20	0.20	0.20	0.18	0.18	0.16	0.19	0.19	0.18	0.17	0.17	0.17
Wo	0.48	0.48	0.49	0.48	0.46	0.46	0.46	0.48	0.47	0.47	0.48	0.49	0.49	0.48	0.48	0.51	0.51	0.51	0.51

**Apêndice 1.7.2. Análises químicas pontuais de cristais de clinopiroxênio do Batólito Sienítico Itabuna.**

Rock	Sample	Foid-bearing syenite												2057 (WDS)							
		2057																			
SiO <sub>2</sub>	51.3	50.6	47.6	51.5	52.2	51.9	52.1	53.8	52.1	52.3	52.5	51.8	52.2	51.9	52.0	51.1	51.0	51.3	51.5		
TiO <sub>2</sub>	0.8	0.7	0.7	0.9	1.0	1.1	0.9	1.0	1.0	1.0	0.8	1.0	0.9	1.0	1.1	1.0	1.0	1.0	0.9		
Al <sub>2</sub> O <sub>3</sub>	3.5	3.5	6.9	2.8	3.5	3.4	3.4	3.2	3.0	3.1	3.2	3.4	3.3	3.4	3.5	3.5	3.0	3.0	2.5		
Cr <sub>2</sub> O <sub>3</sub>																					
FeO	10.6	12.5	15.1	11.3	10.2	10.6	10.4	10.1	9.8	10.3	10.1	10.2	10.3	10.0	9.9	10.1	10.8	10.7	11.1	10.7	
MnO	0.4	0.4	0.5	0.3	0.2	0.4	0.5	0.3	0.4	0.3	0.4	0.3	0.4	0.4	0.3	0.3	0.3	0.6	0.5	0.5	
MgO	11.1	11.3	10.3	11.0	11.2	10.9	10.8	11.7	11.1	11.5	11.4	11.4	11.3	11.0	11.4	11.4	11.0	10.7	10.7	11.1	
CaO	20.9	19.9	17.6	20.9	20.2	20.6	20.3	21.2	20.8	20.6	20.3	20.3	20.3	20.5	20.6	20.6	20.4	21.2	21.3	21.4	
Na <sub>2</sub> O	1.3	1.1	1.3	1.3	1.4	1.5	1.3	1.5	1.4	1.3	1.5	1.3	1.3	1.5	1.3	1.3	1.3	1.2	1.2	1.1	
K <sub>2</sub> O																					
Total	99.9	100.0	100.0	99.9	100.0	99.9	99.9	100.2	100.0	100.1	99.9	99.9	100.1	99.9	100.1	100.0	100.5	100.1	101.9	99.7	
Structural formula based in 6 oxygen																					
Si	1.931	1.916	1.819	1.943	1.952	1.945	1.954	2.022	1.948	1.954	1.955	1.962	1.942	1.953	1.943	1.941	1.944	1.921	1.925	1.947	
Al <sub>total</sub>	0.155	0.156	0.311	0.124	0.154	0.150	0.150	0.141	0.132	0.137	0.141	0.150	0.146	0.150	0.154	0.154	0.154	0.131	0.135	0.110	
Ti	0.023	0.020	0.020	0.026	0.028	0.031	0.025	0.028	0.028	0.031	0.028	0.028	0.025	0.028	0.031	0.028	0.031	0.030	0.028	0.027	
Cr																					
F <sub>tot</sub>	0.334	0.396	0.483	0.356	0.319	0.320	0.332	0.327	0.316	0.306	0.322	0.316	0.320	0.322	0.313	0.309	0.316	0.340	0.337	0.345	
Mn	0.013	0.013	0.016	0.010	0.006	0.013	0.016	0.010	0.013	0.009	0.013	0.010	0.013	0.013	0.010	0.009	0.010	0.018	0.017	0.016	
Mg	0.620	0.634	0.579	0.616	0.625	0.608	0.605	0.655	0.618	0.641	0.636	0.636	0.613	0.636	0.635	0.636	0.616	0.598	0.593	0.623	
Ca	0.843	0.807	0.721	0.845	0.809	0.827	0.816	0.854	0.833	0.825	0.813	0.813	0.815	0.822	0.826	0.824	0.817	0.856	0.861	0.867	
Ni	0.095	0.081	0.096	0.095	0.101	0.109	0.095	0.109	0.101	0.094	0.094	0.109	0.109	0.094	0.094	0.094	0.086	0.087	0.087	0.081	
Total	4.014	4.022	4.045	4.014	3.995	4.003	3.994	4.004	4.006	4.000	3.997	3.994	4.008	4.003	4.001	3.998	3.998	4.014	4.010	4.013	4.010
Fe <sup>2+</sup>	0.284	0.314	0.319	0.304	0.319	0.309	0.332	0.312	0.294	0.306	0.322	0.316	0.292	0.312	0.310	0.309	0.316	0.284	0.301	0.295	
Fe <sup>3+</sup>	0.048	0.079	0.158	0.051	0.010	0.014	0.022				0.027	0.010	0.003				0.054	0.035	0.049	0.035	
Mg/(Mg+Fe <sup>2+</sup> )	0.69	0.67	0.65	0.67	0.65	0.66	0.63	0.68	0.68	0.66	0.65	0.68	0.66	0.67	0.67	0.66	0.68	0.67	0.67	0.67	
Fe <sup>2+)/(Fe<sub>tot</sub>)</sup>	0.86	0.80	0.67	0.86	1.06	0.97	1.07	0.96	0.93	1.00	1.04	1.07	0.91	0.97	0.99	1.02	1.02	0.84	0.90	0.86	
En	0.36	0.36	0.36	0.35	0.35	0.35	0.34	0.36	0.35	0.36	0.36	0.36	0.35	0.36	0.36	0.36	0.36	0.35	0.34	0.35	
Fs	0.16	0.18	0.20	0.17	0.19	0.18	0.20	0.17	0.17	0.17	0.19	0.19	0.17	0.18	0.18	0.18	0.18	0.16	0.17	0.17	
Wo	0.48	0.46	0.44	0.48	0.46	0.47	0.46	0.47	0.48	0.47	0.46	0.45	0.47	0.47	0.47	0.46	0.46	0.49	0.49	0.48	

**Apêndice 1.7.3. Análises químicas pontuais de cristais de clinopiroxênio do Batólito Sienítico Itabuna.**

Rock	Sample	2057 (WDS)										2057										Foid-bearing syenite											
		2057 (WDS)					2057					Foid-bearing syenite					2579					2579					2579						
SiO <sub>2</sub>	51.2	51.0	51.5	51.1	51.0	50.4	51.1	50.9	51.0	50.9	51.1	51.0	51.3	51.5	51.2	51.0	51.9	51.7	51.6	52.0													
TiO <sub>2</sub>	1.2	1.1	1.1	1.0	1.1	1.0	0.9	1.0	0.9	1.0	1.1	1.0	1.0	0.9	1.2	1.1																	
Al <sub>2</sub> O <sub>3</sub>	2.9	3.1	2.9	2.8	3.1	3.4	4.9	3.8	3.2	2.9	3.0	3.0	3.0	2.5	2.9	3.1	2.2	2.2	2.3	2.2													
Cr <sub>2</sub> O <sub>3</sub>																																	
FeO	10.7	10.9	11.1	11.0	11.1	11.6	11.3	10.9	11.8	12.0	11.5	10.8	10.7	11.1	10.7	10.7	10.7	10.8	10.6	10.7													
MnO	0.5	0.5	0.6	0.5	0.6	0.5	0.5	0.4	0.5	0.5	0.5	0.6	0.5	0.6	0.5	0.5	0.5	0.5	0.5	0.5													
MgO	10.8	10.8	11.1	11.3	11.1	10.9	10.2	10.8	11.2	11.4	11.0	10.7	10.7	11.1	10.8	10.8	11.8	11.6	11.7	11.8													
CaO	21.4	21.1	20.3	20.6	20.7	20.6	20.4	20.6	20.3	20.2	20.2	21.2	21.3	21.4	21.4	21.4	21.1	22.6	22.6	22.5													
Na <sub>2</sub> O	1.2	1.2	1.3	1.2	1.3	1.2	1.3	1.4	1.3	1.2	1.4	1.2	1.2	1.2	1.2	1.2	1.2	1.2	0.8	0.8	0.7												
K <sub>2</sub> O																																	
Total	99.9	99.8	99.9	99.9	100.1	100.2	100.0	100.0	100.1	99.9	99.9	100.5	100.1	101.9	99.7	99.9	99.8	100.0	100.0	100.0													
Structural formula based in 6 oxygen																																	
Si	1.933	1.928	1.942	1.941	1.927	1.923	1.900	1.924	1.922	1.931	1.925	1.921	1.925	1.911	1.947	1.933	1.928	1.956	1.953	1.949													
Al <sub>total</sub>	0.130	0.138	0.129	0.124	0.138	0.151	0.218	0.169	0.142	0.129	0.134	0.131	0.135	0.131	0.110	0.130	0.138	0.098	0.098	0.102	0.098												
Ti	0.033	0.032	0.031	0.028	0.031	0.028	0.028	0.025	0.028	0.026	0.028	0.031	0.030	0.028	0.027	0.033	0.032																
Cr																																	
Fe <sub>tot</sub>	0.339	0.344	0.350	0.347	0.350	0.366	0.356	0.343	0.373	0.380	0.364	0.340	0.337	0.345	0.338	0.339	0.344	0.337	0.341	0.335	0.337												
Mn	0.017	0.017	0.019	0.016	0.019	0.016	0.016	0.016	0.013	0.016	0.016	0.018	0.017	0.017	0.016	0.017	0.017	0.016	0.016	0.016													
Mg	0.607	0.608	0.622	0.633	0.621	0.610	0.572	0.604	0.627	0.629	0.638	0.616	0.598	0.593	0.623	0.607	0.608	0.659	0.649	0.654	0.661												
Ca	0.866	0.856	0.820	0.832	0.836	0.832	0.824	0.831	0.821	0.820	0.819	0.856	0.861	0.855	0.867	0.866	0.856	0.913	0.907	0.914	0.909												
Na	0.085	0.086	0.095	0.088	0.095	0.095	0.088	0.095	0.102	0.095	0.088	0.103	0.086	0.087	0.087	0.081	0.085	0.086	0.058	0.059	0.051	0.044											
Total	4.010	4.011	4.008	4.010	4.017	4.014	4.009	4.014	4.022	4.019	4.026	4.015	4.010	4.014	4.010	4.010	4.011	4.021	4.023	4.022	4.010												
Fe <sup>2+</sup>	0.303	0.305	0.319	0.310	0.287	0.314	0.324	0.291	0.294	0.311	0.269	0.286	0.301	0.296	0.302	0.303	0.305	0.262	0.258	0.255	0.300												
Fe <sup>3+</sup>	0.035	0.038	0.030	0.035	0.061	0.051	0.031	0.051	0.077	0.067	0.092	0.052	0.035	0.048	0.034	0.035	0.038	0.073	0.081	0.077	0.037												
Mg/(Mg+Fe <sup>2+</sup> )	0.67	0.67	0.66	0.67	0.68	0.66	0.64	0.67	0.68	0.67	0.70	0.68	0.67	0.67	0.67	0.67	0.67	0.72	0.72	0.72	0.69												
Fe <sup>2+</sup> /(Fe <sub>tot</sub> )	0.90	0.89	0.91	0.90	0.82	0.86	0.91	0.85	0.79	0.82	0.74	0.85	0.90	0.86	0.90	0.90	0.90	0.89	0.78	0.76	0.77	0.89											
En	0.34	0.34	0.35	0.36	0.36	0.35	0.33	0.35	0.36	0.36	0.37	0.35	0.34	0.34	0.35	0.34	0.34	0.34	0.36	0.36	0.36												
Fs	0.17	0.17	0.18	0.16	0.18	0.19	0.17	0.17	0.18	0.16	0.16	0.17	0.17	0.17	0.17	0.17	0.17	0.14	0.14	0.14	0.16												
Wo	0.49	0.48	0.46	0.47	0.48	0.47	0.48	0.48	0.47	0.46	0.47	0.49	0.49	0.48	0.49	0.49	0.48	0.50	0.50	0.50	0.49												

**Apêndice 1.7.4. Análises químicas pontuais de cristais de clinopirotroxênio do Batólito Sienítico Itabuna.**

Rock	Sample	2579										2589										
		Foid-bearing syenite										Foid-bearing syenite										
SiO <sub>2</sub>	51.9	52.1	51.3	51.6	52.4	51.9	52.4	52.6	51.9	51.4	51.8	45.3	51.0	50.9	51.2	51.6	50.9	51.2	51.6	50.8	50.8	
TiO <sub>2</sub>		0.8							0.5			1.2	0.2		0.1	0.1	0.1	0.1	0.1	0.1	0.1	0.1
Al <sub>2</sub> O <sub>3</sub>	2.1	1.6	2.4	1.6	1.2	2.0	1.3	1.3		2.8	1.8		6.5	0.7	0.4	0.3	0.2	0.6	0.2	0.6	0.2	0.2
Cr <sub>2</sub> O <sub>3</sub>													0.1							0.1		
FeO	10.9	11.3	10.6	11.5	11.0	11.8	10.8	10.7	17.9	23.7	19.7	17.7	24.4	17.5	17.5	17.2	18.0	17.9	18.1	18.3		
MnO	0.5	0.5	0.7	0.7	0.6	0.7			1.2	1.0	1.1	1.0	0.7	1.2	1.2	1.3	1.2	1.2	1.3	1.4	1.3	
MgO	11.6	11.9	11.6	11.9	12.1	11.9	12.3	12.4	7.3	8.4	7.9	7.4	6.5	7.6	7.8	7.2	7.3	7.6	6.7	6.6	6.7	
CaO	22.3	21.9	21.7	21.9	21.9	20.8	22.5	22.0	21.6	11.6	17.4	21.5	12.5	21.2	21.5	22.2	21.9	21.0	22.1	22.2	22.1	
Na <sub>2</sub> O	0.7	0.8	0.8	0.9	0.8	0.8			0.5	0.8	0.6	0.6	1.8	0.5	0.6	0.4	0.5	0.7	0.4	0.5	0.5	
K <sub>2</sub> O																						
Total	100.0	100.1	99.9	100.1	100.0	99.9	99.3	99.0	99.9	99.9	100.1	100.0	98.9	99.9	100.0	99.9	100.0	100.1	100.0	100.0	100.0	
Si	1.960	1.967	1.938	1.956	1.979	1.963	1.982	1.991	2.025	1.995	1.995	2.020	1.815	1.991	1.989	2.000	2.011	1.988	2.006	1.996	1.997	
Al <sub>total</sub>	0.093	0.071	0.107	0.071	0.053	0.089	0.059	0.059		0.128	0.082		0.307	0.032	0.018	0.014	0.009	0.028	0.009	0.014	0.009	
Ti			0.023						0.015			0.036	0.006			0.003	0.003	0.003	0.003	0.003	0.003	
Cr													0.003						0.003			
Fe <sub>tot</sub>	0.344	0.357	0.335	0.364	0.347	0.373	0.342	0.338	0.584	0.769	0.639	0.577	0.818	0.571	0.572	0.572	0.561	0.588	0.586	0.595	0.601	
Mn	0.016	0.016	0.022	0.022	0.019	0.022			0.040	0.033	0.036	0.033	0.040	0.039	0.043	0.040	0.039	0.043	0.046	0.043		
Mg	0.650	0.666	0.651	0.665	0.677	0.668	0.694	0.705	0.427	0.493	0.458	0.430	0.382	0.442	0.452	0.419	0.424	0.440	0.391	0.385	0.391	
Ca	0.902	0.886	0.878	0.889	0.886	0.843	0.913	0.890	0.903	0.482	0.724	0.898	0.537	0.887	0.900	0.929	0.915	0.879	0.928	0.935	0.931	
Na	0.051	0.059	0.059	0.066	0.059	0.059			0.038	0.060	0.045	0.140	0.038	0.045	0.030	0.038	0.053	0.030	0.038	0.038	0.038	
Total	4.016	4.022	4.013	4.035	4.020	4.018	3.990	3.983	3.978	3.953	3.995	4.003	4.058	4.006	4.020	4.007	4.000	4.019	4.000	4.012	4.013	
Fe <sup>2+</sup>	0.285	0.276	0.288	0.237	0.273	0.308	0.342	0.338	0.584	0.769	0.639	0.567	0.613	0.551	0.501	0.547	0.560	0.521	0.586	0.553	0.555	
Fe <sup>3+</sup>	0.058	0.078	0.045	0.124	0.072	0.064				0.009	0.192	0.019	0.068	0.024	0.000	0.064	0.001	0.040	0.044			
Mg/(Mg+Fe <sup>2+</sup> )	0.70	0.71	0.69	0.74	0.71	0.68	0.65	0.64	0.39	0.34	0.41	0.43	0.38	0.44	0.47	0.43	0.43	0.46	0.40	0.41	0.41	
Fe <sup>2+)/(Fe<sub>tot</sub>)</sup>	0.83	0.78	0.86	0.66	0.79	0.83	1.10	1.18	1.13	1.21	1.03	0.98	0.76	0.97	0.88	0.96	1.00	0.89	1.00	0.93	0.93	
En	0.35	0.37	0.36	0.37	0.37	0.37	0.35	0.35	0.21	0.26	0.25	0.23	0.25	0.24	0.24	0.22	0.22	0.24	0.21	0.21	0.21	
Fs	0.16	0.15	0.16	0.13	0.15	0.17	0.19	0.20	0.33	0.49	0.36	0.30	0.40	0.29	0.27	0.29	0.30	0.28	0.31	0.30	0.30	
Wo	0.49	0.48	0.48	0.49	0.48	0.46	0.46	0.45	0.45	0.25	0.39	0.47	0.35	0.47	0.48	0.49	0.48	0.48	0.49	0.50	0.50	

**Apêndice 1.7.5. Análises químicas pontuais de cristais de clinopiroxênio do Batólito Sienítico Itabuna.**

Rock	Sample	Foid-bearing syenite										Foid-bearing monzonite									
		2589					2058					2058									
SiO <sub>2</sub>	50.8	50.9	50.7	51.7	47.9	50.9	51.1	50.8	46.5	50.9	43.3	50.6	51.0	51.1	50.7	50.9	50.7	51.1	50.7	51.5	51.3
TiO <sub>2</sub>	0.1	0.1	0.1	0.1	0.7	0.5	0.4	1.0		0.2	0.2	0.4	0.2	0.2	0.1	0.2	0.1	0.2	0.1	0.2	0.2
Al <sub>2</sub> O <sub>3</sub>	0.2	0.2	0.8	5.5	0.4					0.9	0.7	1.3	1.1	0.9	1.1	1.1	1.0	1.0	0.8	1.0	
Cr <sub>2</sub> O <sub>3</sub>										0.1									0.1		
FeO	18.0	17.9	19.0	18.0	24.8	18.4	18.1	18.6	30.5	17.3	15.0	17.0	17.7	18.4	18.5	18.5	18.4	17.7	17.2	16.9	
MnO	1.3	1.3	1.2	1.4	0.9	1.4	1.3	1.2		1.7	1.3	1.4	1.4	1.7	1.8	1.7	1.9	1.9	1.7	1.6	1.7
MgO	6.8	6.8	6.9	6.7	6.5	6.7	6.7	6.5		9.0	7.9	6.8	8.3	7.4	7.4	7.5	7.3	7.4	7.7	8.1	8.2
CaO	21.5	22.2	20.6	21.6	12.0	21.8	22.3	21.3		14.0	20.6	17.3	20.2	19.3	19.5	19.6	19.2	19.5	20.0	19.8	20.0
Na <sub>2</sub> O	0.5	0.5	0.7	0.6	1.7	0.5	0.4	0.6		0.6	0.6	0.8	0.9	0.9	0.7	0.7	0.8	0.7	0.7	0.7	0.6
K <sub>2</sub> O																					
Total	99.2	99.9	100.0	100.1	100.0	100.1	99.9	100.0	100.0	100.2	85.2	100.0	99.9	99.9	100.0	100.1	100.0	100.2	100.1	100.0	100.0
Si	2.006	1.999	1.989	2.021	1.887	1.997	2.008	1.992	1.899	1.981	1.983	1.968	1.990	1.997	1.983	1.994	1.990	1.980	1.977	1.999	1.991
Al <sub>total</sub>	0.009	0.009	0.037	0.255	0.018			0.046		0.041	0.038	0.060	0.051	0.041	0.051	0.051	0.051	0.046	0.046	0.037	0.046
Ti	0.003	0.003	0.003	0.003	0.021					0.006	0.007	0.012	0.006	0.006	0.003	0.006	0.009	0.003	0.006	0.006	0.006
Cr										0.003									0.003		
Fe <sub>tot</sub>	0.595	0.588	0.623	0.588	0.817	0.604	0.595	0.610	1.042	0.563	0.574	0.553	0.578	0.601	0.605	0.604	0.605	0.600	0.577	0.558	0.548
Mn	0.043	0.043	0.040	0.046	0.030	0.046	0.043	0.040		0.056	0.050	0.046	0.046	0.056	0.059	0.056	0.063	0.063	0.056	0.053	0.056
Mg	0.400	0.397	0.402	0.391	0.379	0.391	0.392	0.379		0.457	0.462	0.479	0.429	0.430	0.436	0.424	0.430	0.447	0.468	0.474	0.480
Ca	0.910	0.934	0.866	0.905	0.507	0.917	0.939	0.895		0.859	0.849	0.842	0.844	0.808	0.817	0.819	0.804	0.816	0.836	0.823	0.832
Na	0.038	0.038	0.053	0.045	0.130	0.038	0.030	0.046		0.045	0.053	0.060	0.068	0.068	0.053	0.053	0.061	0.053	0.053	0.045	
Total	4.005	4.011	4.014	3.999	4.026	4.011	4.007	4.088		4.012	4.016	4.018	4.011	4.009	4.011	4.004	4.008	4.013	4.019	4.003	4.003
Fe <sup>2+</sup>	0.578	0.549	0.574	0.588	0.725	0.564	0.571	0.585	0.720	0.521	0.517	0.487	0.537	0.570	0.567	0.590	0.575	0.554	0.509	0.549	0.538
Fe <sup>3+</sup>	0.015	0.037	0.047	0.087	0.037	0.022	0.024	0.296		0.040	0.054	0.063	0.039	0.030	0.036	0.013	0.029	0.044	0.065	0.009	0.010
Mg/(Mg+Fe <sup>2+</sup> )	0.41	0.42	0.41	0.40	0.34	0.41	0.41	0.39	0.43	0.47	0.50	0.44	0.43	0.43	0.42	0.43	0.45	0.48	0.46	0.47	
Fe <sup>2+)/(Fe<sub>tot</sub>)</sup>	0.97	0.94	0.92	1.01	0.89	0.94	0.96	0.71		0.93	0.90	0.89	0.93	0.95	0.94	0.98	0.95	0.93	0.89	0.98	0.98
En	0.21	0.21	0.22	0.21	0.24	0.21	0.21	0.20		0.29	0.25	0.25	0.27	0.24	0.24	0.23	0.24	0.25	0.26	0.26	0.26
Fs	0.31	0.29	0.31	0.45	0.30	0.30	0.31	0.39		0.28	0.28	0.27	0.30	0.32	0.31	0.32	0.32	0.31	0.28	0.30	0.29
Wo	0.48	0.50	0.47	0.48	0.31	0.49	0.49	0.48		0.32	0.47	0.46	0.46	0.47	0.45	0.45	0.44	0.45	0.46	0.45	0.45

**Apêndice 1.7.6. Análises químicas pontuais de cristais de clinopiroxênio do Batólito Sienítico Itabuna.**

Rock	Sample	Foid-bearing monzonite												
		2058						2059						
SiO <sub>2</sub>	51.3	50.8	49.3	51.4	51.1	51.5	51.0	50.7	51.4	51.5	51.0	51.3	54.6	
TiO <sub>2</sub>	0.2	0.2	0.3	0.1	0.1	0.3	0.2	0.3	0.3	0.4	0.4	0.2	0.1	0.2
Al <sub>2</sub> O <sub>3</sub>	1.3	1.3	2.3	0.9	0.7	1.1	1.0	1.4	1.4	1.2	1.3	1.1	0.8	1.0
Cr <sub>2</sub> O <sub>3</sub>	0.1					0.1								1.0
FeO	16.7	16.7	18.7	17.2	17.1	16.6	16.6	17.2	17.1	14.7	14.9	15.0	15.5	16.8
MnO	1.7	1.6	1.6	1.8	1.5	1.5	1.6	1.5	1.7	1.2	1.1	1.1	1.0	0.8
MgO	8.2	8.3	7.8	8.3	8.1	8.5	8.3	8.1	7.9	9.2	9.3	9.2	9.4	8.9
CaO	20.0	20.2	19.0	19.8	20.3	20.2	20.1	19.6	20.2	21.2	20.9	21.5	21.6	21.8
Na <sub>2</sub> O	0.6	0.9	1.0	0.5	0.7	0.7	0.7	0.8	0.8	0.7	0.9	0.7	0.7	0.8
K <sub>2</sub> O														0.1
Total	100.0	100.1	100.0	100.0	99.9	100.0	100.0	100.0	100.1	100.0	99.9	100.0	100.0	103.5
														104.4
														103.5
Structural formula based in 6 oxygen														
Si	1.988	1.972	1.932	1.996	1.999	1.981	1.995	1.980	1.972	1.976	1.981	1.976	1.967	1.985
Al <sub>total</sub>	0.059	0.059	0.106	0.041	0.032	0.050	0.046	0.064	0.073	0.063	0.055	0.059	0.050	0.036
Ti	0.006	0.006	0.009	0.003	0.003	0.009	0.006	0.009	0.009	0.012	0.012	0.012	0.012	0.006
Cr	0.003					0.003								0.003
Fe <sub>tot</sub>	0.541	0.542	0.613	0.559	0.556	0.538	0.538	0.558	0.556	0.473	0.479	0.481	0.484	0.501
Mn	0.056	0.052	0.053	0.059	0.049	0.049	0.052	0.049	0.056	0.039	0.036	0.036	0.036	0.033
Mg	0.474	0.478	0.451	0.481	0.469	0.490	0.479	0.468	0.456	0.526	0.530	0.532	0.526	0.538
Ca	0.830	0.840	0.798	0.824	0.846	0.839	0.834	0.815	0.842	0.873	0.861	0.889	0.880	0.898
Na	0.045	0.068	0.076	0.038	0.053	0.053	0.060	0.060	0.052	0.067	0.052	0.052	0.037	0.045
Total	3.999	4.021	4.038	4.000	4.007	4.010	4.002	4.007	4.015	4.012	4.018	4.020	4.016	4.015
Fe <sup>2+</sup>	0.541	0.467	0.477	0.559	0.530	0.504	0.529	0.534	0.502	0.431	0.414	0.409	0.427	0.417
Fe <sup>3+</sup>	0.072	0.129	0.025	0.033	0.008	0.024	0.052	0.040	0.063	0.069	0.055	0.070	0.046	0.052
Mg/(Mg+Fe <sup>2+</sup> )	0.47	0.51	0.49	0.46	0.47	0.49	0.48	0.47	0.48	0.55	0.56	0.55	0.53	0.42
Fe <sup>2+)/(Fe<sub>tot</sub>)</sup>	1.00	0.87	0.79	1.00	0.96	0.94	0.98	0.96	0.91	0.87	0.85	0.89	0.86	0.90
En	0.26	0.27	0.26	0.26	0.25	0.27	0.26	0.26	0.25	0.29	0.29	0.29	0.29	0.28
Fs	0.29	0.26	0.28	0.30	0.29	0.28	0.29	0.28	0.24	0.23	0.23	0.23	0.24	0.23
Wo	0.45	0.47	0.46	0.44	0.46	0.46	0.45	0.45	0.47	0.48	0.48	0.48	0.45	0.46

**Apêndice 1.7.7. Análises químicas pontuais de cristais de clinopiroxênio do Batólito Sienítico Itabuna.**

Rock	Sample	2058												Foid-bearing monzonite				2058 (WDS)		2504				
		2058												Foid-bearing monzonite				2058 (WDS)		2504				
SiO <sub>2</sub>	54.1	53.9	54.9	53.9	53.3	53.7	53.8	54.0	47.9	53.6	54.4	50.2	54.1	54.5	55.0	54.4	55.0	52.8	53.6	48.1	47.1	51.3		
TiO <sub>2</sub>	0.2	0.2	0.2	0.2	0.2	0.2	0.2	0.3	0.2	0.2	0.3	0.2	0.1	0.2	0.3	0.2	0.3	0.2	0.5	0.3	0.8	1.0		
Al <sub>2</sub> O <sub>3</sub>	1.1	1.4	1.5	1.0	1.2	1.4	1.3	1.2	2.1	1.2	1.3	1.7	0.9	1.4	1.4	1.3	1.3	1.3	3.0	6.5	3.8	4.5	0.1	
Cr <sub>2</sub> O <sub>3</sub>																								
FeO	16.7	17.3	17.7	17.2	17.0	17.3	16.8	17.3	19.0	16.9	17.1	16.5	16.3	17.5	17.6	17.3	17.3	18.8	16.6	18.9	19.5	16.7		
MnO	1.1	1.2	1.0	1.1	0.9	0.9	1.1	1.0	0.9	1.1	0.9	0.9	0.8	0.9	1.0	1.2	1.0	0.9	1.1	0.8	1.0	1.5	1.2	
MgO	8.0	7.7	8.0	7.5	7.6	7.5	7.6	7.7	6.5	7.6	7.8	7.7	8.2	8.0	7.8	8.0	7.9	7.7	7.5	7.6	7.7	7.3	7.7	
CaO	21.8	20.8	20.9	20.8	20.8	21.4	21.0	21.4	16.8	21.3	21.3	17.8	20.8	21.5	21.7	21.7	21.8	22.2	19.1	20.8	17.1	16.4	22.4	
Na <sub>2</sub> O	0.6	0.9	0.8	0.7	0.7	0.8	0.7	0.6	1.2	0.8	0.7	0.8	0.8	0.7	0.8	0.7	0.8	0.7	1.2	1.1	1.2	1.2	0.5	
K <sub>2</sub> O	0.1																		0.2	0.4				
Total	103.5	103.4	105.0	102.4	101.7	103.2	102.5	103.5	94.6	102.7	103.8	95.7	102.1	104.8	105.8	103.3	105.0	105.5	103.7	107.5	99.3	99.1		
Si	2.017	2.012	2.015	2.030	2.020	2.010	2.021	2.014	1.978	2.015	2.018	2.015	2.034	2.007	2.008	2.037	2.003	2.013	1.969	1.908	1.894	1.866	2.002	
Al <sub>total</sub>	0.048	0.062	0.065	0.044	0.054	0.062	0.058	0.053	0.102	0.053	0.057	0.080	0.040	0.061	0.060	0.056	0.056	0.056	0.132	0.273	0.177	0.212	0.005	
Ti	0.006	0.006	0.006	0.006	0.006	0.006	0.008	0.006	0.006	0.006	0.008	0.006	0.006	0.008	0.006	0.006	0.006	0.014	0.008	0.024	0.031	0.004		
Cr																								
Fe <sub>tot</sub>	0.521	0.540	0.543	0.542	0.539	0.542	0.528	0.540	0.656	0.531	0.530	0.554	0.512	0.539	0.537	0.542	0.542	0.529	0.529	0.586	0.494	0.624	0.646	0.545
Mn	0.035	0.038	0.031	0.035	0.029	0.029	0.035	0.032	0.031	0.035	0.028	0.027	0.029	0.031	0.037	0.032	0.028	0.034	0.025	0.030	0.048	0.049	0.040	
Mg	0.446	0.430	0.440	0.424	0.432	0.420	0.429	0.431	0.399	0.428	0.435	0.464	0.463	0.441	0.427	0.448	0.435	0.422	0.418	0.405	0.449	0.429	0.446	
Ca	0.871	0.832	0.822	0.839	0.845	0.858	0.845	0.845	0.743	0.858	0.847	0.765	0.838	0.848	0.849	0.870	0.860	0.871	0.763	0.793	0.723	0.697	0.937	
Na	0.043	0.065	0.057	0.051	0.051	0.058	0.051	0.043	0.096	0.058	0.050	0.062	0.058	0.050	0.057	0.051	0.057	0.050	0.087	0.076	0.089	0.095	0.038	
Total	3.981	3.979	3.972	3.976	3.973	3.984	3.976	3.972	4.012	3.984	3.974	3.976	3.984	3.984	3.974	3.976	3.984	3.990	3.981	3.995	3.987	4.027	4.013	
Fe <sup>2+</sup>	0.521	0.540	0.543	0.542	0.539	0.542	0.528	0.540	0.656	0.531	0.530	0.554	0.512	0.539	0.537	0.542	0.542	0.529	0.586	0.494	0.484	0.482	0.500	
Fe <sup>3+</sup>																								
Mg/(Mg+Fe <sup>2+</sup> )	0.44	0.42	0.42	0.40	0.41	0.41	0.41	0.41	0.39	0.42	0.41	0.42	0.44	0.43	0.42	0.43	0.43	0.41	0.41	0.43	0.48	0.47	0.47	
Fe <sup>2+</sup> /(Fe <sub>tot</sub> )	1.10	1.09	1.13	1.18	1.15	1.10	1.17	1.15	0.94	1.10	1.17	1.16	1.16	1.10	1.10	1.09	1.06	1.12	1.03	1.09	0.78	0.76	0.92	
En	0.24	0.23	0.23	0.22	0.23	0.22	0.23	0.22	0.23	0.23	0.23	0.25	0.24	0.23	0.23	0.23	0.23	0.22	0.23	0.23	0.27	0.27	0.24	
Fs	0.30	0.32	0.33	0.34	0.33	0.32	0.33	0.33	0.35	0.31	0.33	0.34	0.31	0.32	0.32	0.31	0.31	0.32	0.34	0.31	0.29	0.30	0.27	
Wo	0.46	0.45	0.44	0.44	0.45	0.46	0.45	0.45	0.42	0.46	0.45	0.45	0.41	0.44	0.45	0.46	0.46	0.46	0.46	0.43	0.43	0.43	0.50	

Apêndice 1.8.1. Análises químicas pontuais de cristais de olivina do Batólito Sienítico Itabuna.

Rock	Foid-bearing syenite						Foid-bearing monzonite					
	2494			2504			2494			2504		
Sample												
FeO	55.2	54.2	54.0	54.1	54.2	52.9	52.1	51.8	51.6	51.6	51.2	44.6
SiO <sub>2</sub>	31.2	31.9	32.1	32.0	32.2	32.7	32.5	32.8	32.7	32.7	32.8	34.0
MnO	1.6	1.5	1.6	1.6	1.4	1.5	3.0	3.0	3.2	3.2	3.1	2.4
MgO	12.1	12.5	12.2	12.2	12.3	12.9	12.5	12.4	12.5	12.6	12.7	12.9
CaO												
Total	100.1	100.1	99.9	99.9	100.1	100.0	100.1	100.0	100.0	100.1	100.0	100.0
							Structural formula based in 4 oxygen					
Fe	1.443	1.405	1.401	1.405	1.403	1.360	1.343	1.333	1.329	1.327	1.328	1.315
Si	0.975	0.989	0.996	0.994	0.997	1.005	1.002	1.010	1.007	1.006	1.006	1.099
Mn	0.042	0.039	0.042	0.042	0.037	0.039	0.078	0.078	0.083	0.083	0.078	1.001
Mg	0.564	0.578	0.564	0.565	0.567	0.591	0.574	0.569	0.574	0.578	0.582	0.060
Ca												
Total	3.025	3.011	3.004	3.006	3.003	2.995	2.998	2.990	2.993	2.994	2.993	2.999
Fo	27.52	28.57	28.11	28.07	28.28	29.70	28.78	28.73	28.89	29.06	29.30	29.73
Fy	70.42	69.49	69.80	69.84	69.90	68.33	67.29	67.32	66.91	66.75	66.77	41.99
T <sub>e</sub>	2.07	1.95	2.09	2.09	1.83	1.96	3.92	3.95	4.20	4.19	3.93	4.06

**Apêndice 1.8.2. Análises químicas pontuais de cristais de olivina do Batólito Sienítico Itabuna.**

Rock	Sample	Foid-bearing monzonite									
		2504									
FeO	44.3	44.5	44.7	44.3	45.3	52.1	52.5	48.3	48.4	48.2	48.1
SiO <sub>2</sub>	33.9	33.9	33.8	34.1	33.7	32.6	32.2	32.4	34.9	35.0	34.9
MnO	2.4	2.4	2.4	2.5	2.4	3.1	3.1	2.9	2.7	2.8	2.7
MgO	19.4	19.2	19.1	19.1	18.6	12.2	12.2	12.6	13.8	13.7	13.6
CaO									0.2	0.1	0.1
Total	100.0	100.0	100.0	100.0	100.0	100.0	100.0	100.0	100.0	100.0	100.0
Structural formula based in 4 oxygen											
Fe	1.091	1.097	1.104	1.091	1.122	1.345	1.360	1.345	1.209	1.217	1.215
Si	0.999	0.999	0.998	1.004	0.998	1.006	0.998	1.000	1.050	1.048	1.051
Mn	0.060	0.060	0.060	0.062	0.060	0.081	0.081	0.076	0.068	0.071	0.071
Mg	0.852	0.844	0.841	0.838	0.821	0.561	0.563	0.580	0.616	0.613	0.609
Ca									0.006	0.003	0.003
Total	3.001	3.002	2.996	3.002	2.994	3.002	3.000	2.950	2.952	2.949	2.952
Fo	42.53	42.17	41.94	42.10	40.99	28.25	28.10	28.98	32.52	32.24	32.12
Fy	54.48	54.83	55.06	54.77	56.00	67.67	67.84	67.23	63.86	64.02	64.12
T <sub>e</sub>	2.99	3.00	2.99	3.13	3.01	4.08	4.06	3.79	3.62	3.74	3.76

Apêndice 1.8.3. Análises químicas pontuais de cristais de olivina do Batólito Sienítico Itabuna.

Rock	Sample	2504						Foid-bearing monzonite						
FeO	47.9	48.0	48.6	51.4	51.2	48.3	48.4	48.7	48.2	48.7	51.4	50.9	51.6	50.9
SiO <sub>2</sub>	35.3	35.5	35.3	30.3	30.4	35.5	35.3	34.9	35.1	35.1	32.2	32.6	32.4	32.8
MnO	2.7	2.5	2.7	3.0	3.1	2.7	2.8	2.8	3.0	2.7	2.9	2.9	3.0	2.9
MgO	14.0	13.9	13.3	15.2	15.2	13.4	13.4	13.5	13.6	13.5	13.4	13.5	13.0	13.3
CaO	0.1	0.1	0.1	0.1	0.1	0.1	0.1	0.1	0.1	0.1	0.1	0.1	0.1	0.1
Total	100.0	99.9	99.9	100.0	100.0	100.0	100.0	100.0	100.0	100.0	100.0	100.0	100.0	99.9
Structural formula based in 4 oxygen														
Fe	1.196	1.198	1.218	1.334	1.328	1.208	1.212	1.224	1.208	1.222	1.323	1.305	1.329	1.305
Si	1.054	1.060	1.058	0.940	0.943	1.062	1.057	1.049	1.052	1.053	0.991	1.000	0.998	1.006
Mn	0.068	0.063	0.069	0.079	0.081	0.068	0.071	0.071	0.076	0.069	0.076	0.075	0.078	0.075
Mg	0.623	0.619	0.594	0.703	0.703	0.597	0.598	0.605	0.608	0.604	0.615	0.617	0.597	0.608
Ca	0.003	0.003	0.003	0.003	0.003	0.003	0.003	0.003	0.003	0.003	0.003	0.003	0.003	0.003
Total	2.946	2.940	2.942	3.060	3.057	2.938	2.943	2.951	2.948	2.947	3.009	3.000	3.002	2.994
Fo	33.01	32.90	31.59	33.23	33.27	31.88	31.80	31.83	32.12	31.87	30.54	30.89	29.78	30.57
Fy	63.37	63.74	64.76	63.04	62.87	64.47	64.43	64.42	63.86	64.50	65.71	65.34	66.31	65.64
T <sub>e</sub>	3.62	3.36	3.64	3.73	3.86	3.65	3.77	3.75	4.03	3.62	3.75	3.77	3.90	3.79

Apêndice 1.8.4. Análises químicas pontuais de cristais de olivina do Batólito Sienítico Itabuna.

Rock	Foid-bearing monzonite				
Sample	2504				
FeO	51.2	51.3	51.4	51.3	51.0
SiO <sub>2</sub>	32.7	32.4	32.6	32.9	32.8
MnO	2.9	2.9	3.1	3.0	2.9
MgO	13.2	13.3	12.9	12.7	13.3
CaO					
Total	100.0	99.9	100.0	99.9	100.0
Structural formula based in 4 oxygen					
Fe	1.314	1.320	1.322	1.318	1.307
Si	1.003	0.997	1.003	1.011	1.005
Mn	0.075	0.076	0.081	0.078	0.075
Mg	0.604	0.610	0.592	0.582	0.608
Ca					
Total	2.997	3.003	2.997	2.989	2.995
Fo	30.30	30.42	29.66	29.41	30.53
Fy	65.92	65.82	66.29	66.64	65.68
T <sub>e</sub>	3.78	3.77	4.05	3.95	3.78

Apêndice 1.9.1. Análises químicas pontuais de cristais de iddingsita do Batólito Sienítico Itabuna.

Rock	Sample	Foid-bearing monzonite					
		2504					
SiO <sub>2</sub>	47.9	47.3	47.5	45.0	42.9	49.3	50.8
FeO	39.9	39.3	39.6	42.7	43.9	32.4	31.6
NaO	4.0	3.9	3.9	1.7	1.9	4.4	4.0
MgO	3.6	4.8	3.7	8.5	7.3	6.7	6.5
MnO	1.7	2.1	1.9	1.5	1.2	1.5	1.5
K <sub>2</sub> O	1.2	1.0	1.1	0.5	0.9	1.3	1.3
Al <sub>2</sub> O <sub>3</sub>	1.1	0.8	1.4	-	1.7	3.3	3.5
CaO	0.2	0.5	0.3	0.2	0.3	-	-
SO <sub>2</sub>	-	-	-	-	-	0.6	-
Cl	0.4	0.3	0.5	-	-	0.6	0.7
Total	100.0	100.0	99.9	100.1	100.1	100.1	99.9
						100.0	100.0
						100.0	99.4
						99.5	99.6

Apêndice 1.10.1. Análises químicas pontuais de cristais de apatita do Batólito Sienítico Itabuna.

Rock	Foyd syenite												
Sample	2056												
P <sub>2</sub> O <sub>5</sub>	41.0	41.5	40.3	40.8	40.1	39.5	40.1	40.5	39.3	39.3	39.4	38.6	39.1
SiO <sub>2</sub>	1.4	1.2	1.3	1.5		1.3	1.2	1.0	1.4	1.0	1.2	1.1	1.3
Al <sub>2</sub> O <sub>3</sub>													
FeO												0.7	0.3
MnO													
MgO													
CaO	51.5	52.1	50.8	51.0	53.7	52.2	53.3	53.3	52.4	52.3	51.8	50.7	52.1
Na <sub>2</sub> O									0.3	0.4		2.4	
K <sub>2</sub> O													
SrO													
BaO													
Y <sub>2</sub> O <sub>3</sub>													
ThO <sub>2</sub>													
UO <sub>2</sub>													
F	3.7	4.3			3.3	5.0	4.0	3.5	4.1	4.0	4.2	3.1	4.5
Cl													
Ce <sub>2</sub> O <sub>3</sub>	1.6		1.4	1.5	1.5	1.1	1.0	1.2	1.6	1.9	1.9	1.8	1.7
La <sub>2</sub> O <sub>3</sub>	0.5		0.8	0.6	0.7		0.5			1.0	1.2	1.1	0.9
Pr <sub>2</sub> O <sub>3</sub>			0.4	0.3		0.4			0.3			0.1	0.1
Nd <sub>2</sub> O <sub>3</sub>			0.5	0.3	0.6	0.5			0.5		0.4	0.5	
Sm <sub>2</sub> O <sub>3</sub>													
Total	99.7	99.1	95.5	99.8	99.9	100.0	100.1	99.5	99.9	99.9	100.1	100.1	100.0
Structural formula based in 25 oxygen													
P	5.979	6.014	5.969	5.915	5.938	5.867	5.867	5.910	5.823	5.852	5.875	5.763	5.831
Si	0.241	0.205	0.227	0.257		0.228	0.207	0.172	0.245	0.176	0.211	0.194	0.229
Al													
Fe												0.103	0.044
Mn													
Mg													
Ca	9.504	9.555	9.523	9.358	10.064	9.812	9.870	9.843	9.826	9.856	9.776	9.579	9.833
Na									0.102	0.136		0.821	
K													
Sr													
Ba					0.255								
Y													
Zn													
Th													
U													
Ce	0.034		0.030	0.031	0.032	0.024	0.021	0.025	0.034	0.041	0.041	0.039	0.037
La	0.011		0.017	0.013	0.015		0.011			0.022	0.026	0.024	0.019
Pr			0.008	0.006		0.009			0.006			0.002	0.002
Nd			0.010	0.006	0.012	0.010			0.010		0.008	0.010	
Sm													
OH*	1.027	0.877	2.000	2.000	1.119	0.661	0.945	1.079	0.905	0.926	0.871	1.166	0.790
F	0.973	1.123			0.881	1.339	1.055	0.921	1.095	1.074	1.129	0.834	1.210
Cl													
Total	17.769	17.774	17.786	17.842	18.062	17.950	17.976	17.950	18.046	18.083	17.938	18.535	17.995
REE+Si	0.29	0.21	0.29	0.31	0.06	0.27	0.24	0.20	0.30	0.24	0.29	0.27	0.29
Ca+P	15.48	15.57	15.49	15.27	16.00	15.68	15.74	15.75	15.65	15.71	15.65	15.34	15.66

Apêndice 1.10.2. Análises químicas pontuais de cristais de apatita do Batólito Sienítico Itabuna.

Rock	Foyd syenite												
Sample	2056												
P <sub>2</sub> O <sub>5</sub>	39.0	39.2	39.6	40.0	40.3	40.1	39.1	38.7	40.4	40.2	41.0	40.5	39.7
SiO <sub>2</sub>	1.5	1.6	1.2	0.9	0.9	0.8	1.5	2.0	0.9	1.0	1.0	1.0	1.3
Al <sub>2</sub> O <sub>3</sub>													
FeO		0.5											
MnO			0.2			0.1			0.1	0.2	0.1		
MgO													
CaO	51.9	51.0	50.5	50.3	50.9	50.5	49.4	50.2	49.6	50.2	52.0	50.1	50.3
Na <sub>2</sub> O	0.3			0.3	0.4	0.2		0.2	0.3	0.4	0.4	0.2	0.3
K <sub>2</sub> O													
SrO		0.5	0.5	0.5	0.6	0.6	0.5	0.3	0.5	0.7		0.7	0.4
BaO													
Y <sub>2</sub> O <sub>3</sub>		2.4	2.2	2.3	2.0	2.2	2.4	2.5	2.3	2.5	1.3	2.2	2.2
ThO <sub>2</sub>													
UO <sub>2</sub>													
F	3.2	3.8	4.3	3.8	3.6	3.7	3.5	3.5	4.0	3.3	3.7	3.5	4.0
Cl									0.1	0.1			
Ce <sub>2</sub> O <sub>3</sub>	2.2	0.8	0.9	1.0	0.9	1.2	1.8	1.9	1.1	0.7	0.9	1.0	0.9
La <sub>2</sub> O <sub>3</sub>	1.4		0.5	0.4	0.2	0.6	1.0	0.7	0.4	0.4	0.4	0.6	0.3
Pr <sub>2</sub> O <sub>3</sub>													
Nd <sub>2</sub> O <sub>3</sub>	0.5	0.2	0.3	0.4	0.3	0.1	0.4		0.4	0.5	0.2	0.3	0.5
Sm <sub>2</sub> O <sub>3</sub>				0.1									
Total	100.0	100.0	100.2	100.0	100.1	100.1	99.6	100.0	100.1	100.2	100.0	100.1	99.9
Structural formula based in 25 oxygen													
P	5.805	5.777	5.867	5.916	5.914	5.922	5.849	5.747	5.967	5.904	6.015	5.949	5.872
Si	0.264	0.279	0.210	0.157	0.156	0.140	0.265	0.351	0.157	0.173		0.173	0.227
Al													
Fe		0.073											
Mn			0.030			0.015			0.015	0.029	0.015		
Mg													
Ca	9.777	9.512	9.469	9.414	9.454	9.439	9.353	9.434	9.271	9.330	9.654	9.313	9.415
Na	0.102			0.102	0.134	0.068		0.068	0.101	0.135	0.134	0.067	0.102
K													
Sr		0.050	0.051	0.051	0.060	0.061	0.051	0.031	0.051	0.070		0.070	0.041
Ba													
Y		0.222	0.205	0.214	0.185	0.204	0.226	0.233	0.214	0.231	0.120	0.203	0.205
Zn													
Th													
U													
Ce	0.047	0.017	0.019	0.021	0.019	0.026	0.039	0.041	0.023	0.015	0.019	0.021	0.019
La	0.030		0.011	0.009	0.004	0.013	0.022	0.015	0.009	0.009	0.009	0.013	0.006
Pr													
Nd	0.010	0.004	0.006	0.008	0.006	0.002	0.008		0.008	0.010	0.004	0.006	0.010
Sm				0.002									
OH*	1.141	0.990	0.851	0.987	1.048	1.015	1.056	1.063	0.905	1.097	1.021	1.073	0.933
F	0.859	1.010	1.149	1.013	0.952	0.985	0.944	0.937	1.065	0.874	0.979	0.927	1.067
Cl							0.030	0.029					
Total	18.036	17.934	17.868	17.893	17.933	17.889	17.813	17.919	17.816	17.906	17.969	17.816	17.896
REE+Si	0.35	0.30	0.25	0.20	0.19	0.18	0.33	0.41	0.20	0.21	0.03	0.21	0.26
Ca+P	15.58	15.29	15.34	15.33	15.37	15.36	15.20	15.18	15.24	15.23	15.67	15.26	15.29

Apêndice 1.10.3. Análises químicas pontuais de cristais de apatita do Batólito Sienítico Itabuna.

Rock	Foyd syenite		Foid-bearing syenite										
Sample	2056		2057										
P <sub>2</sub> O <sub>5</sub>	39.3	39.0	40.2	40.4	40.7	40.6	40.1	40.3	40.2	40.7	38.2	39.1	40.3
SiO <sub>2</sub>	1.6	1.7	0.8	0.7	0.8	0.6	0.9	0.8	0.8	0.9	0.8	1.8	0.9
Al <sub>2</sub> O <sub>3</sub>											0.5	0.6	
FeO					0.3			0.5			0.9		2.5
MnO	0.1										0.6		
MgO												0.4	
CaO	49.8	49.8	55.1	52.6	53.3	52.6	53.1	53.0	52.2	52.4	55.9	49.1	51.3
Na <sub>2</sub> O	0.2	0.3						0.4				0.4	0.1
K <sub>2</sub> O													
SrO	0.4	0.3		0.2	0.1	0.2	0.2			0.1	0.4		0.3
BaO													
Y <sub>2</sub> O <sub>3</sub>	2.3	2.2											2.3
ThO <sub>2</sub>													
UO <sub>2</sub>													
F	3.7	3.7	4.0	3.4	3.2	3.8	3.0	2.5	2.6	3.2	2.4	3.9	3.2
Cl			0.3	0.4	0.2	0.3	0.3	0.2	0.3	0.3	0.3	0.1	0.3
Ce <sub>2</sub> O <sub>3</sub>	1.6	1.6		1.3	0.9	1.3	1.1	1.5	1.4	1.2	1.2	0.6	0.9
La <sub>2</sub> O <sub>3</sub>	0.5	0.7		0.8	0.3	0.6	0.5	1.0	0.7	0.7	0.8	0.4	0.1
Pr <sub>2</sub> O <sub>3</sub>													
Nd <sub>2</sub> O <sub>3</sub>	0.5	0.6		0.3	0.2			0.4	0.2	0.2	0.1	0.4	
Sm <sub>2</sub> O <sub>3</sub>							1.0		0.1				
Total	100.0	99.9	100.4	100.1	100.0	100.0	100.7	100.1	100.1	100.0	100.2	99.6	99.9
Structural formula based in 25 oxygen													
P	5.835	5.811	5.839	5.945	5.924	5.969	5.871	5.899	5.893	5.953	5.630	5.766	5.904
Si	0.281	0.299	0.137	0.122	0.138	0.104	0.156	0.138	0.139	0.155	0.139	0.314	0.156
Al											0.051	0.062	
Fe					0.043			0.072		0.130			0.364
Mn	0.015									0.088			
Mg												0.104	
Ca	9.357	9.391	10.128	9.797	9.818	9.788	9.839	9.818	9.685	9.700	10.426	9.163	9.512
Na	0.068	0.102						0.134				0.135	0.034
K													
Sr	0.041	0.031		0.020	0.010	0.020	0.020			0.010	0.040		0.030
Ba													
Y	0.215	0.206											0.212
Zn													
Th													
U													
Ce	0.034	0.034		0.028	0.019	0.028	0.023	0.032	0.030	0.025	0.025	0.013	0.019
La	0.011	0.015		0.017	0.006	0.013	0.011	0.021	0.015	0.015	0.017	0.009	0.002
Pr													
Nd	0.010	0.013		0.006	0.004			0.008	0.004	0.004	0.002	0.008	
Sm							0.020		0.002				
OH*	1.010	1.006	0.865	0.980	1.102	0.904	1.120	1.282	1.225	1.068	1.274	0.934	1.067
F	0.990	0.994	1.047	0.902	0.840	1.007	0.792	0.660	0.687	0.844	0.638	1.037	0.845
Cl			0.087	0.118	0.058	0.088	0.088	0.059	0.088	0.088	0.089	0.030	0.088
Total	17.866	17.902	18.104	17.935	17.962	17.922	18.011	18.050	17.996	17.893	18.291	17.967	17.888
REE+Si	0.34	0.36	0.14	0.17	0.17	0.14	0.21	0.20	0.19	0.20	0.18	0.34	0.18
Ca+P	15.19	15.20	15.97	15.74	15.74	15.76	15.71	15.72	15.58	15.65	16.06	14.93	15.42

Apêndice 1.10.4. Análises químicas pontuais de cristais de apatita do Batólito Sienítico Itabuna.

Rock	Foid-bearing syenite												
Sample	2057											2494	
P <sub>2</sub> O <sub>5</sub>	39.6	40.5	40.0	40.0	39.8	40.3	39.5	39.5	39.4	39.8	36.2	40.4	40.9
SiO <sub>2</sub>	0.9	0.8	1.0	1.1	1.2	1.1	1.2		0.9	0.9	5.8	0.8	0.6
Al <sub>2</sub> O <sub>3</sub>													
FeO								1.6			4.8		
MnO													
MgO													
CaO	50.9	51.7	50.7	50.7	50.3	50.2	50.3	50.5	50.5	50.4	44.0	53.5	54.1
Na <sub>2</sub> O	0.2	0.3	0.1	0.1	0.2	0.3	0.2	1.6	0.1	0.1	0.3		
K <sub>2</sub> O													
SrO	0.3		0.4	0.5	0.3	0.5	0.4		0.7	0.6		0.2	
BaO													
Y <sub>2</sub> O <sub>3</sub>	2.4	1.6	2.2	2.7	2.2	2.3	2.6		2.8	2.5	1.4		
ThO <sub>2</sub>													
UO <sub>2</sub>													
F	3.9	3.2	4.0	3.4	3.9	3.4	3.9	4.0	4.1	3.9	3.0	3.8	4.2
Cl	0.3	0.3	0.4	0.3	0.5	0.4	0.3	0.3	0.2	0.3	0.1	0.4	0.3
Ce <sub>2</sub> O <sub>3</sub>	0.8	0.8	1.0	0.9	1.1	0.8	1.0	1.2	0.7	0.8	2.4	0.8	
La <sub>2</sub> O <sub>3</sub>	0.2	0.3	0.3	0.3	0.2	0.3	0.5	0.5	0.2	0.3	0.9	0.2	
Pr <sub>2</sub> O <sub>3</sub>													
Nd <sub>2</sub> O <sub>3</sub>	0.4	0.4	0.2	0.1	0.4	0.5	0.2	0.3	0.4	0.4	1.0		
Sm <sub>2</sub> O <sub>3</sub>													
Total	99.9	99.9	100.3	100.1	100.1	100.1	100.1	99.5	100.0	100.0	99.9	100.1	100.1
Structural formula based in 25 oxygen													
P	5.874	5.930	5.906	5.881	5.892	5.924	5.858	5.931	5.861	5.901	5.412	5.908	5.940
Si	0.158	0.138	0.174	0.191	0.210	0.191	0.210		0.158	0.158	1.024	0.138	0.103
Al													
Fe							0.237				0.709		
Mn													
Mg													
Ca	9.555	9.580	9.474	9.433	9.424	9.339	9.441	9.596	9.508	9.457	8.325	9.902	9.944
Na	0.068	0.101	0.034	0.034	0.068	0.101	0.068	0.550	0.034	0.034	0.103		
K													
Sr	0.030		0.040	0.050	0.030	0.050	0.041		0.071	0.061		0.020	
Ba													
Y	0.224	0.147	0.204	0.250	0.205	0.213	0.242		0.262	0.233	0.132		
Zn													
Th													
U													
Ce	0.017	0.017	0.021	0.019	0.023	0.017	0.021	0.026	0.015	0.017	0.052	0.017	
La	0.004	0.006	0.006	0.006	0.004	0.006	0.011	0.011	0.004	0.006	0.020	0.004	
Pr													
Nd	0.008	0.008	0.004	0.002	0.008	0.010	0.004	0.006	0.008	0.008	0.021		
Sm													
OH*	0.868	1.067	0.817	1.011	0.811	0.981	0.868	0.827	0.841	0.868	1.161	0.881	0.813
F	1.043	0.845	1.065	0.901	1.041	0.901	1.043	1.083	1.100	1.042	0.809	1.002	1.100
Cl	0.089	0.088	0.118	0.088	0.148	0.118	0.089	0.090	0.060	0.089	0.030	0.117	0.087
Total	17.939	17.928	17.865	17.866	17.865	17.851	17.897	18.357	17.922	17.875	17.797	17.989	17.987
REE+Si	0.19	0.17	0.21	0.22	0.25	0.22	0.25	0.04	0.19	0.19	1.12	0.16	0.10
Ca+P	15.43	15.51	15.38	15.31	15.32	15.26	15.30	15.53	15.37	15.36	13.74	15.81	15.88

Apêndice 1.10.5. Análises químicas pontuais de cristais de apatita do Batólito Sienítico Itabuna.

Rock	Foid-bearing syenite											
Sample	2494						2579					
P <sub>2</sub> O <sub>5</sub>	40.6	40.9	40.8	40.2	40.1	41.0	41.7	41.5	41.7	41.6	41.8	41.6
SiO <sub>2</sub>	0.6	0.5	0.5	1.1	1.4	0.5						0.5
Al <sub>2</sub> O <sub>3</sub>												
FeO			0.9									
MnO												
MgO												
CaO	53.1	53.9	54.3	52.5	53.8	54.1	55.2	54.6	54.6	54.6	54.7	54.5
Na <sub>2</sub> O	0.4			0.3		0.2		0.2		0.3		
K <sub>2</sub> O												
SrO	0.1			0.2		0.1						
BaO												
Y <sub>2</sub> O <sub>3</sub>												
ThO <sub>2</sub>					0.1				0.3			
UO <sub>2</sub>	0.3				0.2	0.4	0.3					
F	4.0	3.5	3.6	3.9	4.2	3.7	3.0	3.2	3.0	3.5	3.1	3.5
Cl	0.3	0.4	0.4	0.2	0.2	0.2	0.2	0.2	0.3	0.4	0.3	0.3
Ce <sub>2</sub> O <sub>3</sub>	0.6			1.5								
La <sub>2</sub> O <sub>3</sub>	0.2			0.5								
Pr <sub>2</sub> O <sub>3</sub>												
Nd <sub>2</sub> O <sub>3</sub>												
Sm <sub>2</sub> O <sub>3</sub>												
Total	100.2	100.1	100.1	100.2	100.2	100.0	100.1	100.0	99.9	100.1	99.9	99.9
Structural formula based in 25 oxygen												
P	5.936	5.926	5.917	5.907	5.832	5.941	5.988	5.989	6.002	6.008	6.015	6.012
Si	0.104	0.086	0.086	0.191	0.240	0.086						0.085
Al												
Fe		0.129										
Mn												
Mg												
Ca	9.826	9.884	9.966	9.762	9.902	9.921	10.031	9.972	9.946	9.980	9.962	9.969
Na	0.134		0.100			0.066		0.066	0.099			
K												
Sr	0.010		0.020	0.010								
Ba												
Y												
Zn												
Th				0.004				0.012				
U	0.012			0.008	0.015	0.011						
Ce	0.013			0.032								
La	0.004			0.011								
Pr												
Nd												
Sm												
OH*	0.858	0.970	0.943	0.908	0.841	0.975	1.166	1.110	1.135	0.973	1.109	1.001
F	1.054	0.914	0.941	1.033	1.101	0.967	0.777	0.833	0.778	0.911	0.804	0.912
Cl	0.088	0.116	0.116	0.059	0.058	0.058	0.057	0.058	0.086	0.116	0.086	0.087
Total	18.039	18.025	18.089	17.920	17.993	18.025	18.019	18.038	18.047	17.988	17.977	17.981
REE+Si	0.12	0.09	0.09	0.23	0.24	0.09						0.09
Ca+P	15.76	15.81	15.88	15.67	15.73	15.86	16.02	15.96	15.95	15.99	15.98	15.98

Apêndice 1.10.6. Análises químicas pontuais de cristais de apatita do Batólito Sienítico Itabuna.

Rock	Foid-bearing syenite										
Sample	2579						2589				
P <sub>2</sub> O <sub>5</sub>	41.5	41.5	41.7	41.9	41.9	41.5	42.2	42.4	42.2	39.2	41.7
SiO <sub>2</sub>						0.4	0.6	0.9	0.6	1.9	1.1
Al <sub>2</sub> O <sub>3</sub>										0.4	
FeO											
MnO											
MgO											
CaO	54.6	54.6	54.4	54.4	55.0	54.4	55.4	55.8	55.5	53.2	55.0
Na <sub>2</sub> O	0.5	0.3	0.3	0.3			0.3				0.2
K <sub>2</sub> O											2.1
SrO						0.6	0.1	0.4	0.2	0.2	0.4
BaO											
Y <sub>2</sub> O <sub>3</sub>											
ThO <sub>2</sub>											
UO <sub>2</sub>											
F	3.1	3.4	3.4	3.0	2.9	2.8	4.3	4.4	4.4	3.6	4.5
Cl	0.2	0.3	0.2	0.3	0.3	0.3		0.1		0.1	0.1
Ce <sub>2</sub> O <sub>3</sub>							0.6	0.6	0.7	1.2	0.9
La <sub>2</sub> O <sub>3</sub>							0.2	0.5	0.5	0.5	0.4
Pr <sub>2</sub> O <sub>3</sub>											0.1
Nd <sub>2</sub> O <sub>3</sub>											0.3
Sm <sub>2</sub> O <sub>3</sub>											0.1
Total	99.9	100.0	100.0	99.9	100.1	100.0	103.7	105.0	104.2	100.2	104.2
											100.1
											100.2
Structural formula based in 25 oxygen											
P	5.981	5.991	6.011	6.024	6.010	5.959	5.934	5.916	5.933	5.725	5.893
Si						0.073	0.107	0.141	0.107	0.332	0.179
Al										0.104	0.104
Fe										0.038	
Mn											
Mg											
Ca	9.959	9.977	9.928	9.896	9.975	9.898	9.870	9.861	9.893	9.831	9.833
Na	0.178	0.089	0.089	0.089			0.087				0.067
K											0.704
Sr						0.058	0.011	0.034	0.023	0.024	0.034
Ba											0.010
Y											
Zn											
Th											
U											
Ce							0.012	0.012	0.015	0.026	0.018
La							0.005	0.010	0.010	0.010	0.012
Pr											0.008
Nd											0.009
Sm											0.002
OH*	1.136	1.028	1.059	1.137	1.165	1.188	0.909	0.865	0.884	1.052	0.825
F	0.806	0.886	0.883	0.777	0.749	0.725	1.091	1.107	1.116	0.948	1.146
Cl	0.058	0.087	0.058	0.086	0.086	0.086		0.028		0.028	0.029
Total	18.118	18.057	18.028	18.008	17.985	17.988	18.027	17.974	17.981	17.986	17.968
REE+Si						0.07	0.12	0.16	0.13	0.37	0.21
Ca+P	15.94	15.97	15.94	15.92	15.98	15.86	15.80	15.78	15.83	15.56	15.73
											15.85
											15.63

Apêndice 1.10.7. Análises químicas pontuais de cristais de apatita do Batólito Sienítico Itabuna.

Rock	Foid-bearing syenite												
Sample	2589												
P <sub>2</sub> O <sub>5</sub>	40.4	40.5	40.2	40.5	40.1	40.3	40.3	40.1	40.0	39.8	40.1	40.0	40.3
SiO <sub>2</sub>	0.6	0.7	0.9	1.0	0.8	0.9	0.9	1.0	1.2	0.7	0.7	0.7	0.6
Al <sub>2</sub> O <sub>3</sub>													
FeO													
MnO													
MgO													
CaO	54.5	53.5	50.8	50.6	50.9	50.8	50.9	49.8	50.5	54.5	54.1	53.4	53.8
Na <sub>2</sub> O	0.2	0.2	0.2		0.2	0.2	0.1	0.2	0.2	0.2	0.2		
K <sub>2</sub> O													
SrO	0.1	0.2	0.8	0.6	0.5	0.7	0.8	0.9	0.6			0.4	0.2
BaO													
Y <sub>2</sub> O <sub>3</sub>			2.8	2.6	2.5	2.8	2.6	3.0	2.6				
ThO <sub>2</sub>													
UO <sub>2</sub>													
F	3.1	3.6	3.7	3.8	4.3	3.7	3.7	4.0	3.9	3.7	4.2	4.2	3.6
Cl	0.1	0.1	0.1		0.1	0.1	0.1	0.1	0.1	0.1	0.3	0.2	0.2
Ce <sub>2</sub> O <sub>3</sub>	0.6	0.7	0.7		0.5	0.5	0.7	0.8	0.4	0.8	0.5	0.6	0.7
La <sub>2</sub> O <sub>3</sub>	0.4	0.5					0.4		0.4	0.1	0.3	0.5	
Pr <sub>2</sub> O <sub>3</sub>													
Nd <sub>2</sub> O <sub>3</sub>	0.1	0.1		0.4		0.2			0.5		0.3	0.2	0.2
Sm <sub>2</sub> O <sub>3</sub>												0.1	
Total	100.1	100.1	100.2	99.5	99.9	100.2	100.1	100.3	100.0	100.2	100.5	100.1	100.1
Structural formula based in 25 oxygen													
P	5.875	5.912	5.895	5.935	5.911	5.903	5.907	5.912	5.881	5.832	5.870	5.890	5.902
Si	0.103	0.121	0.156	0.173	0.139	0.156	0.156	0.174	0.208	0.121	0.121	0.122	0.104
Al													
Fe													
Mn													
Mg													
Ca	10.030	9.884	9.428	9.384	9.496	9.418	9.442	9.292	9.397	10.107	10.022	9.952	9.972
Na	0.067	0.067	0.067		0.068	0.067	0.034	0.068	0.067	0.067	0.067		
K													
Sr	0.010	0.020	0.080	0.060	0.050	0.070	0.080	0.091	0.060			0.040	0.020
Ba													
Y		0.258	0.240	0.232	0.258	0.240	0.278	0.240					
Zn													
Th													
U													
Ce	0.013	0.015	0.015		0.011	0.011	0.015	0.017	0.008	0.017	0.011	0.013	0.015
La	0.008	0.011					0.009		0.009	0.002	0.006	0.011	
Pr													
Nd	0.002	0.002		0.008		0.004			0.010		0.006	0.004	0.004
Sm												0.002	
OH*	1.158	1.023	0.992	0.996	0.828	0.994	0.993	0.907	0.937	0.993	0.804	0.826	0.991
F	0.813	0.947	0.978	1.004	1.143	0.977	0.978	1.063	1.034	0.977	1.108	1.115	0.951
Cl	0.029	0.029	0.029		0.030	0.029	0.029	0.030	0.029	0.029	0.088	0.059	0.059
Total	18.107	18.031	17.899	17.800	17.907	17.887	17.873	17.840	17.874	18.152	18.099	18.030	18.028
REE+Si	0.13	0.15	0.17	0.18	0.15	0.17	0.17	0.20	0.23	0.15	0.14	0.15	0.13
Ca+P	15.90	15.80	15.32	15.32	15.41	15.32	15.35	15.20	15.28	15.94	15.89	15.84	15.87

Apêndice 1.10.8. Análises químicas pontuais de cristais de apatita do Batólito Sienítico Itabuna.

Rock	Foid-bearing monzonite												
Sample	2058							2504					
P <sub>2</sub> O <sub>5</sub>	40.2	41.0	40.7	40.8	40.6	40.6	40.5	40.7	39.5	36.0	39.3	40.6	41.2
SiO <sub>2</sub>	0.7	0.6		0.7				0.6	1.1	3.5	1.0	0.7	0.6
Al <sub>2</sub> O <sub>3</sub>									2.1				
FeO									5.2	1.2			
MnO													
MgO									0.4				
CaO	53.9	53.7	54.3	53.3	53.8	54.1	53.7	53.2	52.3	47.6	51.2	52.4	52.4
Na <sub>2</sub> O								0.4	0.4	0.4	0.7	0.4	0.3
K <sub>2</sub> O													
SrO	0.3			0.3				0.1		0.2		0.3	0.2
BaO									0.3				0.1
Y <sub>2</sub> O <sub>3</sub>											0.1		
ThO <sub>2</sub>								0.2					
UO <sub>2</sub>													
F	3.8	3.3	3.6	3.6	4.5	4.0	4.4	3.3	3.7	3.6	3.5	3.5	4.0
Cl	0.2	0.1	0.1	0.1	0.2	0.2	0.2	0.3	0.4	0.2	0.5	0.3	0.3
Ce <sub>2</sub> O <sub>3</sub>	0.5	0.9	0.8	0.4	0.4	0.5	0.5	1.0	1.6	0.5	1.7	1.0	0.8
La <sub>2</sub> O <sub>3</sub>	0.2	0.5	0.4	0.4	0.2	0.2	0.4	0.2	0.5	0.2	1.0	0.3	0.2
Pr <sub>2</sub> O <sub>3</sub>													
Nd <sub>2</sub> O <sub>3</sub>	0.2			0.2	0.2	0.3							
Sm <sub>2</sub> O <sub>3</sub>													
Total	100.0	100.1	99.9	99.8	99.9	99.9	99.7	100.0	99.8	99.9	100.1	99.6	100.1
Structural formula based in 25 oxygen													
P	5.885	5.953	5.960	5.946	5.979	5.964	5.977	5.937	5.857	5.310	5.849	5.953	6.007
Si	0.121	0.103		0.121				0.103	0.193	0.610	0.176	0.121	0.103
Al									0.216				
Fe									0.758	0.176			
Mn													
Mg									0.104				
Ca	9.986	9.868	10.063	9.831	10.027	10.058	10.029	9.821	9.815	8.886	9.643	9.723	9.668
Na								0.134	0.136	0.135	0.239	0.134	0.100
K													
Sr	0.030			0.030				0.010		0.020		0.030	0.020
Ba									0.021				0.007
Y											0.009		
Zn													
Th								0.008					
U													
Ce	0.011	0.019	0.017	0.008	0.008	0.011	0.011	0.021	0.034	0.011	0.036	0.021	0.017
La	0.004	0.011	0.009	0.008	0.004	0.004	0.009	0.004	0.011	0.004	0.022	0.006	0.004
Pr													
Nd	0.004			0.004	0.004	0.006							
Sm													
OH*	0.938	1.107	1.020	1.025	0.746	0.882	0.770	1.045	0.892	0.984	0.912	0.987	0.861
F	1.003	0.864	0.950	0.946	1.195	1.059	1.171	0.868	0.989	0.957	0.939	0.925	1.051
Cl	0.059	0.029	0.029	0.029	0.059	0.059	0.059	0.088	0.119	0.059	0.149	0.088	0.088
Total	18.042	17.953	18.048	17.949	18.023	18.043	18.025	18.038	18.067	18.054	18.141	17.998	17.926
REE+Si	0.14	0.13	0.03	0.14	0.02	0.02	0.02	0.13	0.24	0.62	0.23	0.15	0.12
Ca+P	15.87	15.82	16.02	15.78	16.01	16.02	16.01	15.76	15.67	14.20	15.49	15.68	15.68

Apêndice 1.10.9. Análises químicas pontuais de cristais de apatita do Batólito Sienítico Itabuna.

Rock	Foid-bearing monzonite													
Sample	2504													
P <sub>2</sub> O <sub>5</sub>	40.3	40.8	40.6	40.5	40.3	33.9	40.5	39.8	40.8	40.6	39.7	39.9	40.2	39.8
SiO <sub>2</sub>	0.9	0.7	0.6	0.6	1.5	8.6	0.5	0.8	0.8	0.8	0.8	1.0	0.7	1.1
Al <sub>2</sub> O <sub>3</sub>														
FeO			0.5			0.9		8.1			0.7			
MnO								2.6						
MgO								2.0						
CaO	52.3	52.4	52.6	53.4	52.9	42.4	53.3	52.7	50.5	51.9	51.1	53.0	52.7	53.4
Na <sub>2</sub> O	0.4	0.4		0.2				0.4	0.4	0.3	0.2	0.6	0.4	0.6
K <sub>2</sub> O														
SrO	0.1	0.1	0.1		0.1	0.1				0.6	0.4	0.7	0.4	
BaO			0.4	0.4										
Y <sub>2</sub> O <sub>3</sub>										2.5	2.1	2.6		
ThO <sub>2</sub>						0.1	0.2							
UO <sub>2</sub>														
F	3.6	3.7	3.1	3.6	2.6	2.3	3.9	3.1	3.0	3.8	3.6		3.4	3.1
Cl	0.3	0.3	0.4	0.3	0.4	0.3	0.4	0.5	0.3	0.3	0.2		0.4	0.3
Ce <sub>2</sub> O <sub>3</sub>	1.5	0.7	1.0	1.1	1.1	0.9	0.8	1.4	0.9		0.6	1.3	1.3	1.3
La <sub>2</sub> O <sub>3</sub>		0.6	0.8	0.4	0.1	0.5	0.4	0.6	0.2		0.2	0.4	0.5	
Pr <sub>2</sub> O <sub>3</sub>								0.3						
Nd <sub>2</sub> O <sub>3</sub>								0.4		0.1		0.4		0.3
Sm <sub>2</sub> O <sub>3</sub>												0.3		
Total	99.4	100.1	100.1	100.1	100.0	101.8	100.2	100.3	100.1	100.2	100.1	96.6	100.2	99.6
Structural formula based in 25 oxygen														
P	5.929	5.966	5.949	5.928	5.840	4.894	5.948	5.862	5.955	5.912	5.865	5.850	5.918	5.831
Si	0.156	0.121	0.104	0.104	0.257	1.459	0.087	0.139	0.138	0.138	0.140	0.173	0.122	0.190
Al														
Fe			0.072			0.129	1.155			0.102				
Mn							0.373							
Mg							0.506							
Ca	9.739	9.697	9.754	9.892	9.702	7.743	9.906	9.824	9.328	9.565	9.554	9.834	9.818	9.901
Na	0.135	0.134		0.067				0.135	0.134	0.100	0.068	0.201	0.135	0.201
K														
Sr	0.010	0.010	0.010		0.010	0.012				0.060	0.040	0.071	0.040	
Ba		0.027	0.027											
Y								0.229	0.192	0.241				
Zn														
Th					0.004	0.009								
U														
Ce	0.032	0.015	0.021	0.023	0.023	0.018	0.017	0.030	0.019		0.013	0.027	0.028	0.027
La		0.013	0.017	0.009	0.002	0.010	0.009	0.013	0.004		0.004	0.009	0.011	
Pr							0.006							
Nd							0.008		0.002		0.008		0.006	
Sm												0.006		
OH*	0.957	0.937	1.064	0.962	1.205	1.315	0.850	1.029	1.123	0.915	0.982	2.000	0.980	1.093
F	0.955	0.975	0.819	0.950	0.679	0.598	1.033	0.823	0.789	0.998	0.959		0.902	0.819
Cl	0.088	0.088	0.117	0.088	0.116	0.087	0.118	0.147	0.088	0.087	0.059		0.118	0.088
Total	18.001	17.983	17.954	18.022	17.967	18.178	17.975	18.111	17.869	17.948	17.964	18.135	18.043	18.151
REE+Si	0.19	0.15	0.14	0.14	0.28	1.49	0.12	0.19	0.16	0.14	0.16	0.21	0.17	0.22
Ca+P	15.67	15.66	15.70	15.82	15.54	12.64	15.85	15.69	15.28	15.48	15.42	15.68	15.74	15.73

Apêndice 1.11. Análises químicas pontuais de cristais de carbonato do Batólito Sienítico Itabuna.

Rock	Foid-syenite		2579		Foid-bearing syenite		2589	
	Sample	2056						
CaO	94.1	95.3	60.2	88.5	97.7	96.6	98.6	97.4
MgO			18.1	3.3		0.4	0.1	
MnO	0.6	2.3	5.5	3.1	1.9	1.9	0.5	1.1
Na <sub>2</sub> O	4.6	1.3	1.0		0.4	0.4		0.9
SrO				0.5				0.6
FeO	0.5	1.1	15.2	4.6		0.8	0.8	1.2
Total	99.8	100.0	100.0	100.0	100.0	100.1	100.0	100.1
Structural formula based in 3 oxygen								
Ca	2.848	2.883	1.762	2.671	2.944	2.908	3.954	4.897
Mg	0.008	0.032	0.078	0.082		0.010	0.002	5.868
Mn	0.148	0.042	0.032	0.044	0.027	0.027	0.007	0.016
Na					0.013	0.013		0.019
Sr	0.012	0.026	0.347	0.108		0.019	0.025	0.056
Fe								
Total	3.017	2.984	2.668	2.913	2.984	2.977	3.988	4.972
CaCO <sub>3</sub>	99.84	99.90	73.86	95.77	99.96	99.48	99.87	99.99
MgCO <sub>3</sub>			26.00	4.18		0.48	0.12	
MnCO <sub>3</sub>	0.01	0.03	0.09	0.04		0.03	0.01	0.01
Na <sub>2</sub> CO <sub>3</sub>	0.15	0.04	0.04		0.02	0.03	0.01	0.02
SrCO <sub>3</sub>				0.01		0.01		
FeCO <sub>3</sub>			0.02	0.01				

Apêndice 1.12.1. Análises químicas pontuais de cristais de ilmenita do Batólito Sienítico Itabuna.

Rock	Foyd syenite										Foid-bearing syenite				
Sample	2056										2057				
TiO <sub>2</sub>	52.8	52.7	52.5	52.0	52.4	45.7	52.3	52.3	52.8	51.2	52.2	52.5	52.4	52.0	
Al <sub>2</sub> O <sub>3</sub>															
Cr <sub>2</sub> O <sub>3</sub>															
FeO	38.2	40.4	40.4	41.1	40.6	47.4	39.5	40.0	38.4	43.8	44.9	44.5	44.8	43.5	
MnO		8.7	6.9	6.9	6.9	7.0	6.9	8.3	7.7	8.3	4.7	3.0	3.0	2.8	
NiO															
MgO											0.5			0.6	
CaO											0.3				
SiO <sub>2</sub>															
CoO															
Nb <sub>2</sub> O <sub>5</sub>														1.2	
V <sub>2</sub> O <sub>5</sub>															
Total	99.7	100.0	99.8	100.0	100.0	100.0	100.1	100.0	100.0	100.0	100.1	100.0	100.0	100.1	
Structural formula based in 3 oxygen															
Ti	1.005	1.000	0.998	0.986	0.994	0.861	0.991	0.992	0.998	0.970	0.990	0.997	0.995	0.976	
Al															
Cr															
Fe <sup>3+</sup>			0.005	0.037	0.016	0.371	0.024	0.021	0.006	0.081	0.028	0.009	0.014	0.063	
Fe <sup>2+</sup>	0.807	0.852	0.849	0.830	0.841	0.622	0.808	0.822	0.801	0.841	0.919	0.930	0.931	0.845	
Mn	0.186	0.147	0.148	0.147	0.150	0.146	0.177	0.164	0.177	0.100	0.064	0.064	0.060	0.059	
Ni															
Mg									0.019					0.022	
Ca										0.008					
Si															
Co															
Nb														0.034	
V															
Total	1.999	2.000	2.000	2.000	2.000	2.000	2.000	2.000	2.000	2.000	2.000	2.000	2.000	2.000	
Mg/(Mg+Fe <sup>2+</sup> )									0.02					0.03	
Fe <sup>2+)/(Fe^{2+}+Fe^{3+})</sup>	1.00	1.00	0.99	0.96	0.98	0.63	0.97	0.97	0.99	0.91	0.97	0.99	0.98	0.93	
Spinel										0.02				0.02	
Galaxite	0.19	0.15	0.15	0.15	0.15	0.15	0.18	0.16	0.18	0.10	0.06	0.06	0.06	0.06	
Magnetite				0.00	0.02	0.01	0.19	0.01	0.01	0.00	0.04	0.01	0.00	0.01	0.03
Chromite															
Ulvöspinel	1.01	1.00	1.00	0.99	0.99	0.86	0.99	0.99	1.00	0.97	0.99	1.00	0.99	0.98	

Apêndice 1.12.2. Análises químicas pontuais de cristais de ilmenita do Batólito Sienítico Itabuna.

Rock	Foid-bearing syenite												
Sample	2057												
TiO <sub>2</sub>	52.3	48.6	52.3	51.8	51.9	51.6	51.9	51.9	52.2	52.0	53.7	54.8	54.4
Al <sub>2</sub> O <sub>3</sub>	0.2	6.1	0.2	0.2				0.2		0.2	0.4		
Cr <sub>2</sub> O <sub>3</sub>											0.3	0.1	
FeO	43.5	41.2	43.4	43.9	43.7	44.2	44.2	43.9	43.8	43.7	42.6	42.5	41.7
MnO	3.0	2.6	2.9	2.7	2.9	2.8	2.7	2.7	2.8	2.7	2.2	2.3	2.4
NiO													
MgO		0.5		0.5	0.4								
CaO													
SiO <sub>2</sub>													
CoO											1.2	1.4	
Nb <sub>2</sub> O <sub>5</sub>	1.1	1.0	1.2	1.0	1.1	1.4	1.2	1.3	1.2	1.4			
V <sub>2</sub> O <sub>5</sub>													
Total	100.1	100.0	100.0	100.1	100.0	100.0	100.0	100.0	100.0	100.0	100.1	99.9	100.0
Structural formula based in 3 oxygen													
Ti	0.987	0.889	0.987	0.973	0.977	0.974	0.980	0.979	0.986	0.981	1.019	1.044	1.036
Al	0.006	0.175	0.006	0.006				0.006		0.006	0.012		
Cr											0.006	0.002	
Fe <sup>3+</sup>	0.028	0.064	0.026	0.064	0.060	0.070	0.053	0.048	0.037	0.043	0.891		
Fe <sup>2+</sup>	0.885	0.773	0.885	0.853	0.855	0.857	0.876	0.873	0.883	0.873	0.007	0.900	0.883
Mn	0.064	0.054	0.062	0.057	0.061	0.059	0.057	0.057	0.060	0.057	0.047	0.049	0.051
Ni													
Mg		0.018		0.019	0.015								
Ca													
Si													
Co											0.024	0.028	
Nb	0.031	0.027	0.034	0.028	0.031	0.040	0.034	0.037	0.034	0.040			
V													
Total	2.000	2.000	2.000	2.000	2.000	2.000	2.000	2.000	2.000	2.000	2.000	2.000	2.000
Mg/(Mg+Fe <sup>2+</sup> )		0.02		0.02	0.02								
Fe <sup>2+)/(Fe^{2+}+Fe^{3+})</sup>	0.97	0.92	0.97	0.93	0.93	0.92	0.94	0.95	0.96	0.95	0.01	1.00	1.00
Spinel		0.02		0.02	0.01								
Galaxite	0.06	0.05	0.06	0.06	0.06	0.06	0.06	0.06	0.06	0.06	0.05	0.05	0.05
Magnetite	0.01	0.03	0.01	0.03	0.03	0.04	0.03	0.02	0.02	0.02	0.45		
Chromite											0.00	0.00	
Ulvöspinel	0.99	0.89	0.99	0.97	0.98	0.97	0.98	0.98	0.99	0.98	1.02	1.04	1.04

Apêndice 1.12.3. Análises químicas pontuais de cristais de ilmenita do Batólito Sienítico Itabuna.

Rock	Foid-bearing syenite														
Sample	2057			2494											
TiO <sub>2</sub>	54.3	53.1	53.7	50.8	50.0	49.9	50.7	49.5	49.1	51.7	50.5	50.9	48.9	49.8	
Al <sub>2</sub> O <sub>3</sub>		0.5			0.1	0.2	0.2		0.3			0.2	0.1		
Cr <sub>2</sub> O <sub>3</sub>															
FeO	41.8	42.1	42.4	47.6	48.0	47.9	47.2	46.5	46.4	46.7	47.9	46.5	47.8	48.9	
MnO		2.5	2.5	2.4	1.2	1.6	1.5	1.0	1.0	0.9	1.6	0.8	1.4	0.4	
NiO															
MgO		0.6						1.2	1.1				0.6		
CaO															
SiO <sub>2</sub>										0.5					
CoO		1.4	1.3	1.5											
Nb <sub>2</sub> O <sub>5</sub>						0.8	1.7	1.7			0.9	0.8	1.3	0.9	
V <sub>2</sub> O <sub>5</sub>					0.2	0.4	0.4	0.2				0.2	0.9	0.4	
Total	100.0	100.1	100.0	99.8	100.1	99.9	100.1	99.9	100.0	100.0	100.0	100.0	100.0	100.0	
Structural formula based in 3 oxygen															
Ti	1.033	1.001	1.021	0.965	0.946	0.946	0.957	0.923	0.907	0.981	0.955	0.962	0.918	0.941	
Al		0.015			0.003	0.006	0.006		0.009			0.006	0.003		
Cr															
Fe <sup>3+</sup>				0.079	0.113	0.110	0.094	0.205	0.236	0.051	0.121	0.081	0.157	0.131	
Fe <sup>2+</sup>	0.885	0.882	0.897	0.927	0.897	0.900	0.896	0.759	0.718	0.934	0.883	0.895	0.841	0.896	
Mn	0.054	0.053	0.051	0.026	0.034	0.032	0.021	0.021	0.019	0.034	0.016	0.030	0.008		
Ni															
Mg		0.022						0.044	0.040				0.022		
Ca															
Si								0.025							
Co	0.028	0.026	0.030					0.023	0.048	0.047		0.024	0.023	0.037	0.026
Nb								0.003	0.007	0.007	0.003		0.003	0.015	0.007
V								2.000	2.000	2.000	2.000	2.000	2.000	2.000	2.000
Total	2.000	2.000	2.000	2.000	2.000	2.000	2.000	2.000	2.000	2.000	2.000	2.000	2.000	2.000	
Mg/(Mg+Fe <sup>2+</sup> )		0.02						0.06	0.05				0.03		
Fe <sup>2+)/(Fe^{2+}+Fe^{3+})</sup>	1.00	1.00	1.00	0.92	0.89	0.89	0.90	0.79	0.75	0.95	0.88	0.92	0.84	0.87	
Spinel		0.02						0.04	0.04				0.02		
Galaxite	0.05	0.05	0.05	0.03	0.03	0.03	0.02	0.02	0.02	0.03	0.02	0.03	0.01		
Magnetite				0.04	0.06	0.05	0.05	0.10	0.12	0.03	0.06	0.04	0.08	0.07	
Chromite															
Ulvöspinel	1.03	1.00	1.02	0.97	0.95	0.95	0.96	0.92	0.91	0.98	0.95	0.96	0.92	0.94	

Apêndice 1.12.4. Análises químicas pontuais de cristais de ilmenita do Batólito Sienítico Itabuna.

Rock	Foid-bearing syenite													
Sample	2494			2579						2589				
TiO <sub>2</sub>	49.5	49.7	48.8	51.8	51.0	50.6	52.0	51.2	51.4	50.9	51.2	51.3	52.0	51.4
Al <sub>2</sub> O <sub>3</sub>	0.1		0.2											
Cr <sub>2</sub> O <sub>3</sub>														
FeO	48.9	48.8	47.5	45.7	47.6	47.7	45.8	46.4	46.6	47.3	46.7	45.4	46.5	46.8
MnO	0.5	0.5	2.1	2.5	1.4	1.7	1.2	2.4	2.0	1.7	2.2	3.2	1.5	1.9
NiO														
MgO							1.0							
CaO												0.2		
SiO <sub>2</sub>														
CoO														
Nb <sub>2</sub> O <sub>5</sub>	1.0	1.0	1.3											
V <sub>2</sub> O <sub>5</sub>														
Total	100.0	100.0	99.9	100.0	100.0	100.0	100.0	100.0	100.0	99.9	100.1	100.1	100.0	100.1
Structural formula based in 3 oxygen														
Ti	0.933	0.938	0.919	0.983	0.967	0.959	0.979	0.971	0.975	0.965	0.970	0.971	0.987	0.974
Al	0.003		0.006											
Cr														
Fe <sup>3+</sup>	0.174	0.167	0.209	0.046	0.088	0.110	0.057	0.078	0.067	0.092	0.080	0.077	0.035	0.070
Fe <sup>2+</sup>	0.851	0.857	0.785	0.918	0.915	0.895	0.902	0.900	0.915	0.907	0.903	0.878	0.946	0.916
Mn	0.011	0.011	0.045	0.053	0.030	0.036	0.025	0.051	0.043	0.036	0.047	0.068	0.032	0.041
Ni														
Mg							0.037							
Ca												0.005		
Si														
Co														
Nb	0.028	0.028	0.037											
V														
Total	2.000	2.000	2.000	2.000	2.000	2.000	2.000	2.000	2.000	2.000	2.000	2.000	2.000	2.000
Mg/(Mg+Fe <sup>2+</sup> )							0.04							
Fe <sup>2+)/(Fe^{2+}+Fe^{3+})</sup>	0.83	0.84	0.79	0.95	0.91	0.89	0.94	0.92	0.93	0.91	0.92	0.92	0.96	0.93
Spinel							0.04							
Galaxite	0.01	0.01	0.04	0.05	0.03	0.04	0.03	0.05	0.04	0.04	0.05	0.07	0.03	0.04
Magnetite	0.09	0.08	0.10	0.02	0.04	0.05	0.03	0.04	0.03	0.05	0.04	0.04	0.02	0.04
Chromite														
Ulvöspinel	0.93	0.94	0.92	0.98	0.97	0.96	0.98	0.97	0.97	0.97	0.97	0.97	0.99	0.97

Apêndice 1.12.5. Análises químicas pontuais de cristais de ilmenita do Batólito Sienítico Itabuna.

Rock	Foid-bearing syenite													
Sample	2589													
TiO <sub>2</sub>	51.5	50.1	51.3	50.9	50.6	52.7	51.9	51.7	51.6	52.1	51.6	52.7	53.1	53.1
Al <sub>2</sub> O <sub>3</sub>														
Cr <sub>2</sub> O <sub>3</sub>														
FeO	47.0	48.2	46.2	45.7	45.8	39.8	42.5	42.5	41.8	42.3	47.5	43.9	44.0	43.8
MnO		1.5	1.7	1.4	2.5	2.7	7.5	5.7	5.6	6.6	5.7	0.6	3.5	2.9
NiO														
MgO														
CaO						0.3	0.7					0.3		
SiO <sub>2</sub>									0.2					
CoO														
Nb <sub>2</sub> O <sub>5</sub>					1.0	0.8	0.6							
V <sub>2</sub> O <sub>5</sub>														
Total	100.0	100.0	99.9	99.9	100.0	100.7	100.0	99.9	99.9	100.1	99.9	100.1	100.0	100.0
Structural formula based in 3 oxygen														
Ti	0.977	0.949	0.970	0.963	0.956	0.991	0.984	0.978	0.978	0.987	0.978	1.000	1.009	1.009
Al														
Cr														
Fe <sup>3+</sup>	0.062	0.136	0.079	0.099	0.118	0.023	0.043	0.058	0.059	0.035	0.060			
Fe <sup>2+</sup>	0.929	0.878	0.892	0.862	0.844	0.808	0.852	0.835	0.822	0.857	0.941	0.925	0.929	0.925
Mn	0.032	0.036	0.030	0.053	0.057	0.159	0.121	0.118	0.141	0.121	0.014	0.074	0.062	0.066
Ni														
Mg														
Ca						0.008	0.019				0.008			
Si								0.011						
Co														
Nb					0.028	0.023	0.017							
V														
Total	2.000	2.000	2.000	2.000	2.000	2.000	2.000	2.000	2.000	2.000	2.000	2.000	2.000	2.000
Mg/(Mg+Fe <sup>2+</sup> )														
Fe <sup>2+)/(Fe^{2+}+Fe^{3+})</sup>	0.94	0.87	0.92	0.90	0.88	0.97	0.95	0.93	0.93	0.96	0.94	1.00	1.00	1.00
Spinel														
Galaxite	0.03	0.04	0.03	0.05	0.06	0.16	0.12	0.12	0.14	0.12	0.01	0.07	0.06	0.07
Magnetite	0.03	0.07	0.04	0.05	0.06	0.01	0.02	0.03	0.03	0.02	0.03			
Chromite														
Ulvöspinel	0.98	0.95	0.97	0.96	0.96	0.99	0.98	0.98	0.98	0.99	0.98	1.00	1.01	1.01

Apêndice 1.12.6. Análises químicas pontuais de cristais de ilmenita do Batólito Sienítico Itabuna.

Rock	Foid-bearing syenite								Foid-bearing monzonite					
Sample	2589								2058					
TiO <sub>2</sub>	53.0	53.1	53.2	51.5	48.7	52.0	51.6	52.1	52.8	52.9	52.8	50.0	53.7	37.9
Al <sub>2</sub> O <sub>3</sub>					0.8							4.5		0.5
Cr <sub>2</sub> O <sub>3</sub>														
FeO	44.2	44.3	43.9	45.1	44.6	46.7	45.6	43.8	43.3	43.0	44.0	40.6	43.1	55.9
MnO	2.8	2.6	2.9	3.1	2.3	1.1	2.8	3.7	3.8	4.1	3.1	2.9	3.1	5.4
NiO														
MgO														
CaO								0.2				0.6		
SiO <sub>2</sub>												0.8		
CoO														
Nb <sub>2</sub> O <sub>5</sub>														
V <sub>2</sub> O <sub>5</sub>				0.2	0.1	0.1		0.2						0.3
Total	100.0	100.0	100.0	99.9	96.5	99.9	100.0	100.0	99.9	100.0	99.9	99.4	99.9	100.0
Structural formula based in 3 oxygen														
Ti	1.007	1.009	1.011	0.978	0.953	0.988	0.979	0.988	1.004	1.005	1.004	0.922	1.022	0.707
Al					0.025							0.130		0.015
Cr														
Fe <sup>3+</sup>				0.045	0.086	0.025	0.057	0.018				0.034		0.742
Fe <sup>2+</sup>	0.933	0.936	0.927	0.907	0.884	0.962	0.905	0.906	0.915	0.908	0.930	0.798	0.912	0.418
Mn	0.060	0.056	0.062	0.066	0.051	0.024	0.060	0.079	0.081	0.088	0.066	0.060	0.066	0.113
Ni														
Mg									0.005			0.016		
Ca												0.039		
Si														
Co														
Nb														
V				0.003	0.002	0.002		0.003						0.005
Total	2.000	2.000	2.000	2.000	2.000	2.000	2.000	2.000	2.000	2.000	2.000	2.000	2.000	2.000
Mg/(Mg+Fe <sup>2+</sup> )														
Fe <sup>2+)/(Fe^{2+}+Fe^{3+})</sup>	1.00	1.00	1.00	0.95	0.91	0.97	0.94	0.98	1.00	1.00	1.00	0.96	1.00	0.36
Spinel														
Galaxite	0.06	0.06	0.06	0.07	0.05	0.02	0.06	0.08	0.08	0.09	0.07	0.06	0.07	0.11
Magnetite				0.02	0.04	0.01	0.03	0.01				0.02		0.37
Chromite														
Ulvöspinel	1.01	1.01	1.01	0.98	0.95	0.99	0.98	0.99	1.00	1.00	1.00	0.92	1.02	0.71

Apêndice 1.12.7. Análises químicas pontuais de cristais de ilmenita do Batólito Sienítico Itabuna.

Rock	Foid-bearing monzonite													
Sample	2058											2504		
TiO <sub>2</sub>	51.7	53.2	53.4	52.1	52.2	52.6	52.5	52.6	53.2	53.0	50.7	53.5	53.5	53.9
Al <sub>2</sub> O <sub>3</sub>												0.1	0.3	0.2
Cr <sub>2</sub> O <sub>3</sub>	0.2													
FeO	43.4	42.8	43.8	43.6	43.4	42.7	42.9	42.9	42.5	42.4	40.1	43.4	44.1	43.5
MnO	2.9	2.8	2.8	2.7	3.1	3.3	3.1	3.0	2.9	3.3	3.2	2.1	2.1	2.4
NiO														
MgO													0.5	
CaO														
SiO <sub>2</sub>													0.3	
CoO	1.8	1.2		1.5	1.3	1.4	1.5	1.4	1.4	1.3	1.4			
Nb <sub>2</sub> O <sub>5</sub>														
V <sub>2</sub> O <sub>5</sub>														
Total	100.0	100.0	100.0	99.9	100.0	100.0	100.0	99.9	100.0	100.0	95.4	99.9	100.0	100.0
Structural formula based in 3 oxygen														
Ti	0.982	1.011	1.015	0.990	0.991	0.999	0.997	1.000	1.011	1.007	1.010	1.009	1.016	1.024
Al												0.003	0.009	0.006
Cr	0.004													
Fe <sup>3+</sup>	0.044			0.026	0.024	0.002	0.007							
Fe <sup>2+</sup>	0.872	0.905	0.925	0.896	0.893	0.900	0.899	0.907	0.898	0.896	0.888	0.910	0.931	0.919
Mn	0.062	0.060	0.060	0.058	0.066	0.071	0.066	0.064	0.062	0.071	0.072	0.045	0.045	0.051
Ni														
Mg												0.019		
Ca														
Si												0.015		
Co	0.036	0.024		0.030	0.026	0.028	0.030	0.028	0.028	0.026	0.030			
Nb														
V														
Total	2.000	2.000	2.000	2.000	2.000	2.000	2.000	2.000	2.000	2.000	2.000	2.000	2.000	2.000
Mg/(Mg+Fe <sup>2+</sup> )												0.02		
Fe <sup>2+)/(Fe^{2+}+Fe^{3+})</sup>	0.95	1.00	1.00	0.97	0.97	1.00	0.99	1.00	1.00	1.00	1.00	1.00	1.00	1.00
Spinel												0.02		
Galaxite	0.06	0.06	0.06	0.06	0.07	0.07	0.07	0.06	0.06	0.07	0.07	0.04	0.04	0.05
Magnetite	0.02			0.01	0.01	0.00	0.00							
Chromite	0.00													
Ulvöspinel	0.98	1.01	1.01	0.99	0.99	1.00	1.00	1.00	1.01	1.01	1.01	1.01	1.02	1.02

Apêndice 1.12.8. Análises químicas pontuais de cristais de ilmenita do Batólito Sienítico Itabuna.

Rock	Foid-bearing monzonite											
Sample	2504											
TiO <sub>2</sub>	53.8	54.0	53.2	54.4	54.5	53.9	54.5	42.1	35.9	38.9	44.2	38.8
Al <sub>2</sub> O <sub>3</sub>	0.1							1.9	2.4	3.6	4.1	2.1
Cr <sub>2</sub> O <sub>3</sub>			0.2	0.1	0.1					0.1	0.2	0.1
FeO	43.5	43.9	43.6	42.7	42.6	42.9	43.8	53.5	59.8	54.9	49.3	56.5
MnO	2.1	2.2	2.5	2.7	2.8	2.5		2.4	1.9	2.6	2.2	2.5
NiO						0.1						
MgO	0.5		0.7			0.6						
CaO												
SiO <sub>2</sub>												
CoO							1.5					
Nb <sub>2</sub> O <sub>5</sub>												
V <sub>2</sub> O <sub>5</sub>												
Total	100.0	100.1	100.0	100.0	100.0	100.0	99.9	99.9	100.0	100.1	100.0	100.0
Structural formula based in 3 oxygen												
Ti	1.018	1.026	1.005	1.035	1.037	1.020	1.039	0.785	0.663	0.716	0.818	0.720
Al	0.003							0.056	0.069	0.104	0.119	0.061
Cr			0.004	0.002	0.002					0.002	0.004	0.002
Fe <sup>3+</sup>								0.499	0.806	0.615	0.323	0.664
Fe <sup>2+</sup>	0.915	0.927	0.916	0.903	0.901	0.902	0.928	0.610	0.422	0.509	0.691	0.502
Mn	0.045	0.047	0.053	0.058	0.060	0.053		0.050	0.040	0.054	0.046	0.052
Ni							0.002					
Mg	0.019		0.026			0.022						
Ca												
Si												
Co							0.030					
Nb												
V												
Total	2.000	2.000	2.000	2.000	2.000	2.000	2.000	2.000	2.000	2.000	2.000	2.000
Mg/(Mg+Fe <sup>2+</sup> )	0.02		0.03			0.02						
Fe <sup>2+)/(Fe^{2+}+Fe^{3+})</sup>	1.00	1.00	1.00	1.00	1.00	1.00	1.00	0.55	0.34	0.45	0.68	0.43
Spinel	0.02		0.03			0.02						
Galaxite	0.04	0.05	0.05	0.06	0.06	0.05		0.05	0.04	0.05	0.05	0.05
Magnetite								0.25	0.40	0.31	0.16	0.33
Chromite				0.00	0.00	0.00				0.00	0.00	0.00
Ulvöspinel	1.02	1.03	1.00	1.03	1.04	1.02	1.04	0.79	0.66	0.72	0.82	0.72

Apêndice 1.12.9. Análises químicas pontuais de cristais de ilmenita do Batólito Sienítico Itabuna.

Rock	Foid-bearing monzonite						
Sample	2504						
TiO <sub>2</sub>	52.6	52.3	51.9	51.8	52.6	51.9	52.3
Al <sub>2</sub> O <sub>3</sub>							0.2
Cr <sub>2</sub> O <sub>3</sub>							
FeO	43.8	45.3	45.1	44.7	44.0	44.3	45.1
MnO	3.7	2.4	2.3	3.4	3.4	3.0	2.5
NiO							
MgO			0.7			0.5	
CaO							
SiO <sub>2</sub>							
CoO							
Nb <sub>2</sub> O <sub>5</sub>							
V <sub>2</sub> O <sub>5</sub>							
Total	100.1	100.0	100.0	99.9	100.0	99.9	99.9
Structural formula based in 3 oxygen							
Ti	0.998	0.993	0.979	0.984	0.999	0.981	0.994
Al							0.006
Cr							
Fe <sup>3+</sup>	0.007	0.019	0.056	0.044	0.004	0.043	0.017
Fe <sup>2+</sup>	0.917	0.937	0.890	0.900	0.925	0.887	0.936
Mn	0.079	0.051	0.049	0.073	0.073	0.064	0.053
Ni							
Mg			0.026			0.019	
Ca							
Si							
Co							
Nb							
V							
Total	2.000	2.000	2.000	2.000	2.000	2.000	2.000
Mg/(Mg+Fe <sup>2+</sup> )			0.03			0.02	
Fe <sup>2+)/(Fe^{2+}+Fe^{3+})</sup>	0.99	0.98	0.94	0.95	1.00	0.95	0.98
Spinel			0.03			0.02	
Galaxite	0.08	0.05	0.05	0.07	0.07	0.06	0.05
Magnetite	0.00	0.01	0.03	0.02	0.00	0.02	0.01
Chromite							
Ulvöspinel	1.00	0.99	0.98	0.98	1.00	0.98	0.99

Apêndice 1.13.1. Análises químicas pontuais de cristais de magnetita do Batólito Sienítico Itabuna.

Rock Sample	Foyd syenite										Foid-bearing syenite					
	2056					2057					2057			2057		
TiO <sub>2</sub>	4.4	0.5	1.8	2.3	2.0	1.7	5.1	1.5	0.5	1.9	2.3	1.6	0.5	0.3	0.5	0.9
Al <sub>2</sub> O <sub>3</sub>	0.9	0.6	0.7	0.4	0.8	1.9	0.6	0.7	0.5	1.6	0.9	1.3	0.6	1.7	1.4	0.7
Cr <sub>2</sub> O <sub>3</sub>												0.2			1.2	1.0
FeO	94.8	98.5	97.4	97.3	97.2	96.4	94.3	97.8	98.6	96.5	97.5	95.8	97.0	90.2	97.8	95.7
MnO												0.5	0.2			94.8
MgO															0.2	0.2
Na <sub>2</sub> O																94.8
SiO <sub>2</sub>															0.2	0.2
CoO																0.2
V <sub>2</sub> O <sub>5</sub>																0.2
Total	100.1	100.0	99.9	100.0	100.0	100.0	100.0	100.0	100.0	100.0	100.0	100.0	100.0	90.8	100.0	99.9
Structural formula based in 4 oxygen																
Ti	0.119	0.013	0.049	0.062	0.054	0.046	0.138	0.040	0.051	0.040	0.062	0.043	0.013	0.008	0.013	0.024
Al	0.038	0.025	0.030	0.017	0.034	0.080	0.025	0.030	0.021	0.067	0.038	0.055	0.046	0.028	0.071	0.059
Cr													0.006		0.030	0.050
Fe <sup>3+</sup>	1.725	1.948	1.873	1.859	1.858	1.829	1.699	1.890	1.952	1.831	1.881	1.816	1.860	1.972	1.902	1.925
Fe <sup>2+</sup>	1.119	0.985	1.049	1.062	1.054	1.046	1.138	1.040	0.985	1.051	1.040	1.047	1.042	1.000	1.013	1.008
Mn													0.015	0.006		
Mg																0.011
Na																0.011
Si																0.011
Co																0.011
V																0.011
Total	3.000	3.000	3.000	3.000	3.000	3.000	3.000	3.000	3.000	3.000	3.000	3.000	3.000	2.998	3.000	3.000
$Mg/(Mg+Fe^{2+})$	0.39	0.34	0.36	0.36	0.36	0.40	0.36	0.34	0.36	0.36	0.37	0.37	0.36	0.34	0.35	0.34
$Fe^{2+}/(Fe^{2+}+Fe^{3+})$																
Spinel																
Hercynite	0.02	0.01	0.01	0.02	0.04	0.01	0.01	0.03	0.02	0.01	0.03	0.01	0.01	0.04	0.03	0.01
Magnetite	0.86	0.97	0.94	0.93	0.93	0.91	0.85	0.94	0.98	0.92	0.94	0.91	0.93	0.95	0.96	0.97
Chromite																
Uvôspinel	0.12	0.01	0.05	0.06	0.05	0.14	0.04	0.01	0.05	0.04	0.06	0.04	0.01	0.01	0.01	0.02

Apêndice 1.13.2. Análises químicas pontuais de cristais de magnetita do Batólito Sienítico Itabuna.

Rock	Sample	2057							Foid-bearing syenite							2579																		
		TiO <sub>2</sub>	Al <sub>2</sub> O <sub>3</sub>	Cr <sub>2</sub> O <sub>3</sub>	FeO	MnO	MgO	Na <sub>2</sub> O	SiO <sub>2</sub>	CoO	V <sub>2</sub> O <sub>5</sub>	Total	TiO <sub>2</sub>	Al <sub>2</sub> O <sub>3</sub>	Cr <sub>2</sub> O <sub>3</sub>	FeO	MnO	MgO	Na <sub>2</sub> O	SiO <sub>2</sub>	CoO	V <sub>2</sub> O <sub>5</sub>	Total	TiO <sub>2</sub>	Al <sub>2</sub> O <sub>3</sub>	Cr <sub>2</sub> O <sub>3</sub>	FeO	MnO	MgO	Na <sub>2</sub> O	SiO <sub>2</sub>	CoO	V <sub>2</sub> O <sub>5</sub>	Total
	TiO <sub>2</sub>	0.9	1.5	1.7	0.6	0.7	1.2	0.8	0.5	1.3	0.7	0.7	4.8	2.1	0.5							0.4												
	Al <sub>2</sub> O <sub>3</sub>	0.7	0.7	0.9	0.5	0.6	0.8	0.8	0.6	0.8	0.7	0.1	1.1	1.5	0.7	0.5						1.0	0.4											0.5
	Cr <sub>2</sub> O <sub>3</sub>																																	
	FeO	95.9	95.2	94.3	96.4	96.1	95.0	95.8	96.3	95.4	95.8	93.6	95.2	98.8	99.4	97.7	97.6	94.3	93.6	93.4														
	MnO																																	
	MgO																																	
	Na <sub>2</sub> O																																	
	SiO <sub>2</sub>																																	
	CoO	2.4	2.6	2.7	2.5	2.6	3.0	2.7	2.4	2.5	2.6	0.1	0.5	0.5	0.5	0.7	0.6	0.4	0.4	0.4	0.4	0.4	0.4	0.4	0.4	0.4	0.4	0.4	0.4	0.4	0.4			
	V <sub>2</sub> O <sub>5</sub>	0.2																																
	Total	100.1	100.0	100.1	100.0	100.0	100.1	100.1	100.1	100.0	99.9	90.8	100.0	99.9	100.0	99.9	100.0	100.0	99.9	100.0	99.9	100.0	99.9	100.0	99.9	100.0	99.9	100.0	99.9	100.0				
		Structural formula based in 4 oxygen																																
	Ti	0.024	0.040	0.045	0.016	0.019	0.032	0.022	0.013	0.035	0.019																							
	Al	0.030	0.030	0.038	0.021	0.025	0.034	0.034	0.025	0.034	0.034	0.030	0.028	0.071	0.059	0.021																	0.028	
	Cr																																	
	Fe <sup>3+</sup>	1.908	1.889	1.871	1.947	1.937	1.901	1.923	1.926	1.896	1.930	1.972	1.902	1.925	1.929	1.957	1.908	1.898	1.933	1.917	1.972													
	Fe <sup>2+</sup>	0.965	0.966	0.933	0.944	0.944	0.946	0.944	0.959	0.963	0.944	1.000	1.013	1.008	1.033	1.028	1.008	1.031	1.045	1.055	1.000													
	Mn																																	
	Mg																																	
	Na																																	
	Si																																	
	Co	0.069	0.075	0.077	0.072	0.075	0.086	0.077	0.069	0.072	0.075																							
	V	0.005										0.007	0.007																					
	Total	2.995	3.000	3.000	3.000	3.000	3.000	2.993	3.000	3.000	3.000	3.000	3.000	3.000	3.000	2.983	2.986	2.991	2.972	2.978	2.972	3.000												
	Mg/(Mg <sup>2+</sup> +Fe <sup>2+</sup> )	0.34	0.34	0.33	0.33	0.33	0.33	0.33	0.33	0.34	0.33																							
	Fe <sup>2+</sup> /(Fe <sup>2+</sup> +Fe <sup>3+</sup> )																																	
	Spinel																																	
	Hercynite																																	
	Magnetite	0.95	0.94	0.94	0.97	0.97	0.95	0.96	0.96	0.95	0.96																							
	Chromite																																	
	Ulvöspinel	0.02	0.04	0.05	0.02	0.02	0.03	0.02	0.01	0.04	0.02																							

Apêndice 1.13.3. Análises químicas pontuais de cristais de magnetita do Batólito Sienítico Itabuna.

Rock	Foid-bearing syenite				Foid-bearing monzonite			
	Sample	2579	2589	2058		2504		
TiO <sub>2</sub>		0.2	0.2	2.6	3.5	5.6	3.7	5.2
Al <sub>2</sub> O <sub>3</sub>	0.6	0.1	1.8	0.9		1.2	3.4	2.3
Cr <sub>2</sub> O <sub>3</sub>		99.5	92.7	99.7	99.7	0.2		1.7
FeO				95.6	95.6	94.0	94.9	85.9
MnO					91.0	0.2	0.1	0.4
MgO					1.5			
Na <sub>2</sub> O					0.5			
SiO <sub>2</sub>								
CoO								
V <sub>2</sub> O <sub>5</sub>	0.5	0.6	0.2	0.1			0.2	0.1
Total	99.9	100.0	100.0	99.9	100.1	100.0	100.0	100.0
					100.0	100.0	100.0	100.0
					Structural formula based in 4 oxygen			
Ti	0.013	0.008	0.040	0.019	0.045	0.070	0.016	0.019
Al	0.071	0.059	0.030	0.030	0.038	0.076	0.038	0.025
Cr				0.003			0.021	0.034
Fe <sup>3+</sup>	1.902	1.925	1.889	1.930	1.871	1.785	1.773	1.947
Fe <sup>2+</sup>	1.013	1.008	0.966	0.944	0.933	1.070	1.094	0.944
Mn							0.946	0.944
Mg							0.959	0.959
Na								
Si								
Co								
V								
Total	3.000	3.000	3.000	3.000	3.000	3.000	3.000	3.000
Mg/(Mg <sup>2+</sup> +Fe <sup>2+</sup> )	0.35	0.34	0.34	0.33	0.33	0.37	0.38	0.33
Fe <sup>2+)/(Fe<sup>2+</sup>+Fe<sup>3+</sup>)</sup>							0.33	0.33
Spinel								
Hercynite	0.04	0.03	0.94	0.96	0.94	0.04	0.02	
Magnetite	0.95	0.96	0.94	0.00	0.00	0.89	0.89	
Chromite	0.01	0.01	0.04	0.02	0.05	0.07	0.09	
Uvöspinel								

**Apêndice 1.14.1. Análises químicas pontuais de cristais de pírita do Batólito Sienítico Itabuna.**

Rock Sample	Foid syenite						Foid-bearing syenite					
	2056			2494			2579					
S	56.7	56.6	55.7	56.4	56.8	57.9	57.2	54.8	55.0	55.4	54.9	55.1
Fe	43.3	43.4	44.3	43.6	43.2	42.1	42.8	45.2	45.0	44.6	45.1	44.9
Na											33.8	61.4
Cu											0.8	49.3
Si											0.4	61.1
Total	100.0	100.0	100.0	100.0	100.0	100.0	100.0	100.0	100.0	100.0	100.0	100.0

**Apêndice 1.14.2. Análises químicas pontuais de cristais de pírita do Batólito Sienítico Itabuna.**

Rock Sample	Foid-bearing syenite						Foid-bearing monzonite					
	2589			2504								
S	68.0	42.0	54.8	55.4	54.6	57.3	56.9	57.0	57.1	41.9	42.3	42.0
Fe	31.5	56.1	44.3	44.6	44.7	40.7	40.8	40.8	41.1	55.8	55.9	56.2
Ti			0.5			0.6	0.5	0.5				
Na	0.5			0.7								
Co		1.8			1.3	1.7	1.6	1.7	2.2	1.8	1.6	
Cu					0.1	0.1						
Ni						0.1		0.1		0.1		
Total	100.0	99.9	99.6	100.0	100.0	100.0	100.0	99.9	100.0	99.9	100.0	100.0

**Apêndice 1.15.1. Análises químicas pontuais de cristais de baddeleyita do Batólito Sienítico Itabuna.**

Rock	Foyd syenite		Foid-bearing syenite																				
	Sample	2056	2057						2494														
ZrO <sub>2</sub>	96.6	96.2	100.0	91.8	98.2	98.1	95.5	95.9	93.5	81.0	96.5	93.8	92.5	93.2	96.6	93.2	97.9	99.3	98.1	29.3	96.9	95.6	
SiO <sub>2</sub>											1.6												
FeO		1.7			0.8		1.9		1.8		2.6	7.3											
PbO																							
CaO <sub>2</sub>																							
NaO																							
Y <sub>2</sub> O <sub>3</sub>																							
Ce <sub>2</sub> O <sub>3</sub>																							
Nd <sub>2</sub> O <sub>3</sub>																							
Al <sub>2</sub> O <sub>3</sub>																							
Nb <sub>2</sub> O <sub>5</sub>																							
HfO <sub>2</sub>																							
SrO																							
UO <sub>2</sub>																							
TiO <sub>2</sub>																							
Yb <sub>2</sub> O <sub>3</sub>																							
Ta <sub>2</sub> O <sub>5</sub>																							
ThO <sub>2</sub>																							
Total	99.7	100.0	100.0	99.9	100.1	100.0	100.0	100.0	99.9	99.7	100.0	100.0	100.0	100.1	99.9	100.0	100.0	100.0	99.9	100.0	100.0	100.1	

**Apêndice 1.15.2. Análises químicas pontuais de cristais de baddeleyita do Batólito Sienítico Itabuna.**

Rock	Foid-bearing monzonite	Sample	2504
ZrO <sub>2</sub>	100.0	98.8	93.8
SiO <sub>2</sub>			94.4
FeO			0.6
PbO			
CaO <sub>2</sub>			
NaO			
Y <sub>2</sub> O <sub>3</sub>			
Ce <sub>2</sub> O <sub>3</sub>			
Nd <sub>2</sub> O <sub>3</sub>			
Al <sub>2</sub> O <sub>3</sub>			
Nb <sub>2</sub> O <sub>5</sub>			
HfO <sub>2</sub>			
SrO			
UO <sub>2</sub>			
TiO <sub>2</sub>			
Yb <sub>2</sub> O <sub>3</sub>			
Ta <sub>2</sub> O <sub>5</sub>			
ThO <sub>2</sub>			
Total	100.0	100.0	99.9
			100.1

Apêndice 1.1.6. Análises químicas pontuais de cristais de titanita do Batólito Sienítico Itabuna.

Rock Sample	Foyd syenite						
	2056						
TiO	34.7	35.5	38.2	34.9	36.8	34.2	34.3
SiO <sub>2</sub>	33.4	33.4	31.1	31.6	31.7	31.5	31.4
CaO	26.7	27.2	27.9	27.6	27.8	26.1	25.9
Al <sub>2</sub> O <sub>3</sub>	1.8	2	1.3	1.8	1.8	2	1.8
FeO	2.1	1.9	1.4	1.9	1.3	1	1.5
Nb <sub>2</sub> O <sub>5</sub>	1.4		2.1	0.6			
MnO				0.2	0.1	0.1	0.2
Na <sub>2</sub> O				0.2			0.1
K <sub>2</sub> O				0.2			
La <sub>2</sub> O <sub>3</sub>				2.2	2.4	2.1	2.3
V <sub>2</sub> O <sub>3</sub>						2.3	2.3
Y <sub>2</sub> O <sub>3</sub>				0.3	0.5	0.3	0.3
Ce <sub>2</sub> O <sub>3</sub>				1.2	1.5	0.8	1.1
Nd <sub>2</sub> O <sub>3</sub>				0.2	0.7	0.2	0.5
F					0.7	1.1	0.3
Total	100.1	100	99.9	99.9	100	99.9	100
						99.8	99.3
							100.3
							100.1

Apêndice 1.17.1. Análises químicas pontuais de cristais de zirconolita do Batólito Sienítico Itabuna.

Rock	Foid-syenite													
Sample	2056													
ZrO <sub>2</sub>	31.7	32.1	33.6	34.8	29.9	30.8	31.2	30.9	31.7	32.1	33.6	34.8	29.9	30.8
TiO <sub>2</sub>	24.3	23.9	29.1	31.1	34.6	35.1	34.2	23.6	24.3	23.9	29.1	31.1	34.6	35.1
CaO	12.9	9.1	9.4	9.7	11.3	11.6	11.3	9.7	12.9	9.1	9.4	9.7	11.3	11.6
FeO	8.5	10.6	8.8	8.1	6.5	6.6	6.5	9.6	8.5	10.6	8.8	8.1	6.5	6.6
Nb <sub>2</sub> O <sub>5</sub>	17.7	14.9	10.0	6.7	9.7	9.3	8.9	15.8	17.7	14.9	10.0	6.7	9.7	9.3
ThO <sub>2</sub>				0.6	2.8	2.2	2.0				0.6	2.8	2.2	
UO <sub>2</sub>														
Al <sub>2</sub> O <sub>3</sub>	0.6								0.6					
SiO <sub>2</sub>	0.3			0.9					0.3			0.9		
Na <sub>2</sub> O									0.9					
Y <sub>2</sub> O <sub>3</sub>														
Ce <sub>2</sub> O <sub>3</sub>	1.3	5.2	5.5	4.0	3.5	4.4	4.1	5.4	1.3	5.2	5.5	4.0	3.5	4.4
La <sub>2</sub> O <sub>3</sub>					1.0							1.0		
Nd <sub>2</sub> O <sub>3</sub>	1.1	4.2	3.7	3.0	1.6		1.8	3.2	1.1	4.2	3.7	3.0	1.6	
HfO <sub>2</sub>								1.0						
Ta <sub>2</sub> O <sub>5</sub>	1.5							1.5						
PbO														
WO <sub>3</sub>														
Yb <sub>2</sub> O <sub>3</sub>														
Total	99.9	100.0	100.1	99.9	99.9	100.0	100.0	100.1	99.9	100.0	100.1	99.9	99.9	100.0
Structural formula based in 7 oxygen														
Ca	0.840	0.620	0.630	0.644	0.735	0.749	0.737	0.658	0.840	0.620	0.630	0.644	0.735	0.749
Na								0.111						
Y														
Ce	0.029	0.121	0.126	0.091	0.078	0.097	0.091	0.125	0.029	0.121	0.126	0.091	0.078	0.097
La					0.023							0.023		
Nd	0.024	0.095	0.083	0.066	0.035		0.039	0.072	0.024	0.095	0.083	0.066	0.035	
Th				0.008	0.039	0.030	0.028					0.008	0.039	0.030
U														
Yb														
Zn														
Zr	0.939	0.995	1.025	1.052	0.885	0.905	0.926	0.955	0.939	0.995	1.025	1.052	0.885	0.905
Hf							0.018							
Ti	1.111	1.143	1.370	1.450	1.581	1.591	1.566	1.125	1.111	1.143	1.370	1.450	1.581	1.591
Fe	0.432	0.563	0.461	0.420	0.330	0.333	0.331	0.509	0.432	0.563	0.461	0.420	0.330	0.333
Nb	0.553	0.487	0.322	0.213	0.303	0.288	0.278	0.514	0.553	0.487	0.322	0.213	0.303	0.288
Al	0.043						0.043							
Si	0.018			0.056				0.018			0.056			
Mn														
Ta	0.027							0.027						
Pb														
W														
REE	0.05	0.22	0.21	0.18	0.11	0.10	0.13	0.20	0.05	0.22	0.21	0.18	0.11	0.10
Nb+Ta	0.55	0.49	0.32	0.21	0.30	0.29	0.28	0.51	0.55	0.49	0.32	0.21	0.30	0.29
Th+U				0.01	0.04	0.03	0.03				0.01	0.04	0.03	
REE+Y	0.05	0.22	0.21	0.18	0.11	0.10	0.13	0.20	0.05	0.22	0.21	0.18	0.11	0.10

Apêndice 1.17.2. Análises químicas pontuais de cristais de zirconolita do Batólito Sienítico Itabuna.

Rock	Foid-syenite				Foid-bearing syenite		Foid-bearing monzonite								
	Sample				2056		2494	2589	2504						
ZrO <sub>2</sub>	31.2	30.9	34.5	33.5		28.9	36.3		34.1	35.2	34.0	34.3	33.5	33.0	33.3
TiO <sub>2</sub>	34.2	23.6	32.3	32.1		26.5	38.8		31.7	29.6	31.2	32.9	31.0	30.7	31.3
CaO	11.3	9.7	9.2	9.3		6.6	1.8		9.6	4.6	10.0	12.2	10.3	10.3	10.3
FeO	6.5	9.6	7.7	8.1		10.2	2.4		6.0	5.1	6.5	6.9	7.0	7.2	6.9
Nb <sub>2</sub> O <sub>5</sub>	8.9	15.8	5.2	5.9		7.6	9.7		9.6	8.9	9.5	9.3	9.2	9.0	9.2
ThO <sub>2</sub>	2.0					9.7	0.8		2.4	3.2	2.8	1.9	3.6	3.3	3.8
UO <sub>2</sub>						3.3	3.2		0.7	0.8		0.2	0.9	0.9	0.8
Al <sub>2</sub> O <sub>3</sub>												0.6	0.6	0.5	
SiO <sub>2</sub>									1.4			0.6			
Na <sub>2</sub> O		0.9					0.2					0.4			
Y <sub>2</sub> O <sub>3</sub>							2.1								
Ce <sub>2</sub> O <sub>3</sub>	4.1	5.4	4.9	5.1					2.8	2.3	2.1		2.1	2.3	2.7
La <sub>2</sub> O <sub>3</sub>															
Nd <sub>2</sub> O <sub>3</sub>	1.8	3.2	3.8	3.3		4.0			2.1	1.8		1.7	1.3		
HfO <sub>2</sub>		1.0				0.5			1.3			0.4		0.2	0.5
Ta <sub>2</sub> O <sub>5</sub>						2.1		2.8		4.2	1.3		1.2	1.2	
PbO						0.6			0.4	0.1	0.3	0.3	0.2	0.2	
WO <sub>3</sub>							1.6			1.7					
Yb <sub>2</sub> O <sub>3</sub>										0.3			0.1		
Total	100.0	100.1	97.6	97.3		100.0	99.7		100.0	99.8	100.2	100.0	100.1	100.1	100.0
Structural formula based in 7 oxygen															
Ca	0.737	0.658	0.628	0.635		0.479		0.115	0.625	0.313	0.661	0.778	0.682	0.684	0.684
Na		0.111						0.023				0.046			
Y								0.067							
Ce	0.091	0.125	0.114	0.119					0.062	0.054	0.047		0.048	0.052	0.061
La															
Nd	0.039	0.072	0.086	0.075		0.097			0.048	0.040		0.038	0.029		
Th	0.028					0.149		0.011	0.033	0.046	0.039	0.026	0.051	0.047	0.054
U						0.050		0.043	0.009	0.011		0.003	0.012	0.012	0.011
Yb									0.006				0.002		
Zn									0.014				0.005		
Zr	0.926	0.955	1.071	1.041		0.954		1.058	1.010	1.091	1.023	0.995	1.010	0.998	1.006
Hf		0.018				0.010			0.023			0.007		0.004	0.009
Ti	1.566	1.125	1.547	1.539		1.349		1.744	1.449	1.415	1.448	1.473	1.442	1.432	1.460
Fe	0.331	0.509	0.410	0.432		0.577		0.120	0.305	0.271	0.335	0.343	0.362	0.373	0.358
Nb	0.278	0.514	0.170	0.193		0.264		0.298	0.300	0.291	0.301	0.284	0.292	0.287	0.293
Al												0.042	0.044	0.037	
Si									0.085			0.036			
Mn										0.108	0.037				
Ta						0.042		0.049		0.078	0.024			0.022	0.022
Pb						0.011			0.007	0.002	0.005	0.005	0.003	0.003	
W						0.025			0.028						
REE	0.13	0.20	0.20	0.19		0.10			0.06	0.10	0.09		0.09	0.08	0.06
Nb+Ta	0.28	0.51	0.17	0.19		0.26		0.36	0.30	0.29	0.30	0.28	0.29	0.29	0.29
Th+U	0.03					0.20		0.05	0.04	0.06	0.04	0.03	0.06	0.06	0.06
REE+Y	0.13	0.20	0.20	0.19		0.10		0.07	0.06	0.10	0.09		0.09	0.08	0.06

Apêndice 1.17.3. Análises químicas pontuais de cristais de zirconolita do Batólito Sienítico Itabuna.

Rock	Foid-bearing monzonite													
Sample	2504	2504	2504	2504	2504	2504	2504	2504	2504	2504	2504	2504	2504	
ZrO <sub>2</sub>	33.3	35.9	35.0	32.3	32.8	32.8	32.5	32.2	32.5	31.4	33.7	34.2	33.7	33.9
TiO <sub>2</sub>	27.9	30.2	28.2	37.0	38.6	38.1	37.9	37.9	38.5	37.6	33.1	33.0	32.2	33.0
CaO	9.9	10.6	10.3	12.1	12.4	12.5	12.2	12.7	12.7	12.2	11.4	11.6	11.4	11.3
FeO	7.0	7.8	7.6	5.1	5.0	4.6	5.0	4.8	5.0	4.9	6.1	5.9	6.2	5.6
Nb <sub>2</sub> O <sub>5</sub>	10.5	11.0	10.0	6.8	7.6	7.5	7.2	6.8	7.2	7.1	8.1	8.5	8.3	8.4
ThO <sub>2</sub>	4.1	3.1	3.3	1.3	1.4	0.5	0.8	0.8	0.6	0.9	0.8	0.8		1.9
UO <sub>2</sub>	1.3	1.1	1.0	0.6	0.4	0.3		0.6	0.4	0.3	0.6	0.2		0.4
Al <sub>2</sub> O <sub>3</sub>	0.5		0.8	0.6	0.5	0.6	0.5	0.5		0.7				
SiO <sub>2</sub>	0.7							0.6		1.0				
Na <sub>2</sub> O	0.4			0.6						0.4	2.4	1.7	2.1	1.8
Y <sub>2</sub> O <sub>3</sub>														
Ce <sub>2</sub> O <sub>3</sub>	1.5		1.8			2.5	1.9	2.7	2.6	2.7	2.4	1.9	2.1	2.3
La <sub>2</sub> O <sub>3</sub>														
Nd <sub>2</sub> O <sub>3</sub>	1.2		2.0	2.2			1.9				1.0	1.5	1.2	1.1
HfO <sub>2</sub>	0.6						0.1	0.4	0.2	0.4				
Ta <sub>2</sub> O <sub>5</sub>				1.0										
PbO	0.3	0.2		0.1		0.1								
WO <sub>3</sub>														
Yb <sub>2</sub> O <sub>3</sub>	0.9	0.1	0.1	0.5	0.5	0.6		0.4	0.4					
Total	99.2	99.9	100.0	99.7	98.7	99.5	100.0	100.0	99.7	99.6	99.6	99.3	97.8	99.7
Structural formula based in 7 oxygen														
Ca	0.661	0.694	0.688	0.768	0.778	0.784	0.772	0.799	0.800	0.764	0.742	0.755	0.752	0.737
Na	0.048			0.069						0.045	0.283	0.200	0.251	0.213
Y														
Ce	0.034		0.041			0.054	0.041	0.058	0.056	0.058	0.053	0.042	0.047	0.051
La														
Nd	0.027		0.045	0.047			0.040				0.022	0.033	0.026	0.024
Th	0.058	0.043	0.047	0.018	0.019	0.007	0.011	0.011	0.008	0.012	0.011	0.011		0.026
U	0.018	0.015	0.014	0.008	0.005	0.004		0.008	0.005	0.004	0.008	0.003		0.005
Yb	0.017	0.002	0.002	0.009	0.009	0.011			0.007	0.007				
Zn	0.041	0.005	0.005	0.022	0.022	0.026			0.017	0.017				
Zr	1.012	1.070	1.063	0.934	0.937	0.936	0.935	0.922	0.932	0.895	0.998	1.013	1.011	1.007
Hf	0.011						0.002	0.007	0.003	0.007				
Ti	1.308	1.389	1.322	1.650	1.701	1.677	1.683	1.674	1.703	1.653	1.513	1.508	1.491	1.512
Fe	0.365	0.399	0.396	0.253	0.245	0.225	0.247	0.236	0.246	0.239	0.310	0.300	0.319	0.285
Nb	0.336	0.346	0.320	0.207	0.229	0.226	0.218	0.205	0.218	0.213	0.253	0.265	0.263	0.263
Al	0.037		0.059	0.042	0.035	0.041	0.035	0.035		0.048				
Si	0.044						0.035		0.058					
Mn											0.031			
Ta				0.017										
Pb	0.005	0.003		0.002		0.002								
W														
REE	0.06		0.09	0.05		0.05	0.08	0.06	0.06	0.06	0.08	0.07	0.07	0.08
Nb+Ta	0.34	0.35	0.32	0.21	0.23	0.23	0.22	0.21	0.22	0.21	0.25	0.27	0.26	0.26
Th+U	0.08	0.06	0.06	0.03	0.02	0.01	0.01	0.02	0.01	0.02	0.02	0.01		0.03
REE+Y	0.06		0.09	0.05		0.05	0.08	0.06	0.06	0.06	0.08	0.07	0.07	0.08

Apêndice 1.17.4. Análises químicas pontuais de cristais de zirconolita do Batólito Sienítico Itabuna.

Rock	Foid-bearing monzonite				
Sample	2504				
ZrO <sub>2</sub>	36.4	33.7	33.0	33.1	33.6
TiO <sub>2</sub>	32.8	33.3	33.5	34.0	33.8
CaO	9.8	11.9	11.8	11.9	11.8
FeO	3.8	6.1	6.4	6.4	6.0
Nb <sub>2</sub> O <sub>5</sub>	8.9	8.3	8.5	8.5	8.3
ThO <sub>2</sub>	1.6	0.9	1.8	1.1	
UO <sub>2</sub>	0.3	0.3			
Al <sub>2</sub> O <sub>3</sub>					
SiO <sub>2</sub>					
Na <sub>2</sub> O	2.2	1.9	1.8	1.8	2.8
Y <sub>2</sub> O <sub>3</sub>					
Ce <sub>2</sub> O <sub>3</sub>	2.6	2.1	2.1	1.9	1.8
La <sub>2</sub> O <sub>3</sub>					
Nd <sub>2</sub> O <sub>3</sub>	1.3	1.5	1.2	1.2	1.2
HfO <sub>2</sub>					
Ta <sub>2</sub> O <sub>5</sub>					
PbO					
WO <sub>3</sub>					
Yb <sub>2</sub> O <sub>3</sub>					
Total	99.7	100.0	100.1	99.9	99.3
Structural formula based in 7 oxygen					
Ca	0.639	0.771	0.764	0.767	0.761
Na	0.259	0.223	0.211	0.210	0.327
Y					
Ce	0.058	0.046	0.046	0.042	0.040
La					
Nd	0.028	0.032	0.026	0.026	0.026
Th	0.022	0.012	0.025	0.015	
U	0.004	0.004			
Yb					
Zn					
Zr	1.080	0.993	0.972	0.971	0.986
Hf					
Ti	1.501	1.514	1.523	1.538	1.531
Fe	0.193	0.308	0.323	0.322	0.302
Nb	0.278	0.258	0.264	0.263	0.257
Al					
Si					
Mn					
Ta					
Pb					
W					
REE	0.09	0.08	0.07	0.07	0.07
Nb+Ta	0.28	0.26	0.26	0.26	0.26
Th+U	0.03	0.02	0.02	0.02	
REE+Y	0.09	0.08	0.07	0.07	0.07

Apêndice 1.18. Análises químicas pontuais de cristais de allanita do Batólito Sienítico Itabuna.

Rock	Foid-bearing syenite									
Sample	2589									
SiO <sub>2</sub>	42.9	40.1	35.1	33.8	33.0	34.1	33.7	35.6	35.7	
Al <sub>2</sub> O <sub>3</sub>	20.0	20.0	16.8	16.8	19.4	19.1	18.7	17.0	16.5	
Na <sub>2</sub> O	3.8	3.2								
CaO	8.6	8.8	11.5	9.8	9.9	9.9	9.6	11.1	13.0	
FeO	9.4	9.5	12.1	15.7	12.4	12.5	13.0	15.8	15.1	
La <sub>2</sub> O <sub>3</sub>	8.4	10.3	10.2	9.9	7.9	9.0	8.6	8.0	6.5	
Pr <sub>2</sub> O <sub>3</sub>					1.2					
Ce <sub>2</sub> O <sub>3</sub>	7.0	8.1	12.8	13.5	13.0	13.0	13.2	11.3	10.9	
Nd <sub>2</sub> O <sub>3</sub>			0.8		3.2	2.4	2.9	1.3	2.0	
F										
Total	100.1	100.0	99.3	99.5	100.0	100.0	99.7	100.1	99.7	
Structural formula based in 12.5 oxygen										
Si	3.565	3.429	3.239	3.157	3.067	3.124	3.116	3.232	3.239	
Al	1.959	2.016	1.830	1.851	2.125	2.062	2.038	1.819	1.764	
Na	0.612	0.516								
Ca	0.766	0.784	1.022	0.872	0.882	0.882	0.855	0.988	1.158	
Fe	0.653	0.660	0.840	1.093	0.862	0.869	0.904	1.098	1.049	
La	0.257	0.316	0.313	0.302	0.242	0.276	0.264	0.245	0.199	
Ce	0.213	0.246	0.388	0.410	0.396	0.396	0.402	0.344	0.332	
Nd			0.027		0.106	0.079	0.096	0.042	0.065	
Total	8.026	7.966	7.632	7.685	7.573	7.608	7.578	7.726	7.741	

Apêndice 1.19.1. Análises químicas pontuais de cristais de barita do Batólito Sienítico Itabuna.

Rock	Foid-bearing syenite		
Sample	2579		
Ba	55	57.2	63.1
O	27	26.2	21.6
S	13.8	13.8	13.8
Ca	2.1	0.6	1.6
Na		0.6	
Sr	2.1	1.6	
Total	100	100	100.1

***APÊNDICE 2:***  
***Comparação das análises EDS com o padrão e***  
***cálculos de parâmetros***

Apêndice 2.1.1. Comparação das análises pontuais do EDS-MEV com o padrão Universal Metal, da Astimex Scientific Ltd<sup>®</sup>.

Biotite	Standard	Sp1	$\sigma$	Sp2	$\sigma$	Sp3	$\sigma$	Sp4	$\sigma$	Sp5	$\sigma$	Mean	Variation	Maximum	Minimum	Amplitude
SiO <sub>2</sub>	38.72	39.2	0.3	39.2	0.3	38.8	0.3	39.2	0.3	38.9	0.3	39.0	0.3	39.2	38.8	0.3
Al <sub>2</sub> O <sub>3</sub>	15.30	15.4	0.2	15.2	0.2	15.1	0.2	15.3	0.2	15.4	0.2	15.3	0.0	15.4	15.1	0.4
MgO	19.52	20.5	0.2	20.2	0.2	20.6	0.2	20.2	0.2	20.3	0.2	20.3	0.8	20.6	20.2	0.4
FeO	10.72	9.6	0.2	9.6	0.2	9.6	0.2	9.3	0.2	9.5	0.2	9.5	1.2	9.6	9.3	0.3
K <sub>2</sub> O	9.91	9.7	0.1	10.1	0.1	10.1	0.1	10.3	0.1	10.1	0.1	10.0	0.1	10.3	9.7	0.6
TiO <sub>2</sub>	1.77	1.4	0.1	1.5	0.1	1.6	0.1	1.5	0.1	1.5	0.1	1.5	0.2	1.6	1.4	0.2
CaO	0.10	0.1	0.1	0.1	0.1	0.1	0.1	0.1	0.1	0.1	0.1	0.1	0.0	0.1	0.1	0.0
MnO	0.04	0.1	0.1	0.2	0.1	0.1	0.1	0.2	0.1	0.1	0.1	0.1	0.2	0.1	0.1	0.1
H <sub>2</sub> O	4.11												4.1			
F		0.6	0.3	0.4	0.3	0.1	0.3	0.3	0.3	0.1	0.3	0.3	0.3	0.6	0.1	0.5
Cl		0.1	0.1	0.1	0.1	0.1	0.1	0.1	0.1	0.1	0.1	0.1	0.1	0.1	0.1	0.1
Total	100.19	96.7		96.5		96.2		96.4		96.1		96.4	3.8	96.7	96.1	0.6
Cr-Diopside	Standard	Sp12	$\sigma$	Sp13	$\sigma$	Sp14	$\sigma$	Sp15	$\sigma$	Sp16	$\sigma$	Mean	Variation	Maximum	Minimum	Amplitude
SiO <sub>2</sub>	55.13	55.4	0.3	55.3	0.3	55.6	0.3	55.2	0.3	55.3	0.3	55.4	0.2	55.6	55.2	0.4
MgO	17.46	18.3	0.2	17.8	0.2	17.9	0.2	18.0	0.2	17.5	0.2	17.9	0.4	18.3	17.5	0.8
CaO	25.55	24.5	0.2	24.8	0.2	24.7	0.2	24.9	0.2	25.2	0.2	24.8	0.7	25.2	24.5	0.7
TiO <sub>2</sub>	0.05	0.1	0.1	0.2	0.1	0.1	0.1	0.1	0.1	0.3	0.1	0.1	0.1	0.3	0.1	0.2
Cr <sub>2</sub> O <sub>3</sub>	0.58	0.5	0.1	0.6	0.1	0.5	0.1	0.6	0.1	0.5	0.1	0.5	0.0	0.6	0.5	0.1
FeO	1.21	1.3	0.1	1.4	0.1	1.3	0.1	1.3	0.1	1.3	0.1	1.3	0.1	1.4	1.3	0.1
Total	99.98	100.1		100.1		100.0		100.1		100.1		100.1	0.1	100.1	100.0	0.1
Kaersutite	Standard	Sp17	$\sigma$	Sp18	$\sigma$	Sp19	$\sigma$	Sp20	$\sigma$	Sp21	$\sigma$	Mean	Variation	Maximum	Minimum	Amplitude
SiO <sub>2</sub>	40.09	40.2	0.3	40.1	0.3	40.0	0.3	40.2	0.3	40.0	0.3	40.1	0.0	40.2	40.0	0.3
Al <sub>2</sub> O <sub>3</sub>	12.36	13.2	0.3	13.0	0.3	13.0	0.3	13.0	0.3	12.9	0.3	13.1	0.7	13.2	12.9	0.3
MgO	12.55	12.9	0.2	13.3	0.2	12.9	0.2	12.9	0.2	12.7	0.2	12.9	0.4	13.3	12.7	0.7
Na <sub>2</sub> O	2.44	2.6	0.1	2.5	0.1	2.6	0.1	2.5	0.1	2.6	0.1	2.5	0.1	2.6	2.5	0.1
K <sub>2</sub> O	1.17	1.0	0.1	1.0	0.1	1.0	0.1	0.9	0.1	1.0	0.1	1.0	0.2	1.0	0.9	0.1
CaO	11.56	11.1	0.1	11.3	0.1	11.6	0.1	11.5	0.1	11.2	0.1	11.3	0.2	11.6	11.1	0.5
TiO <sub>2</sub>	5.04	5.5	0.1	5.6	0.1	5.7	0.1	5.8	0.1	5.5	0.1	5.6	0.6	5.8	5.5	0.3
MnO	0.18	0.1	0.1	0.1	0.1	0.2	0.1	0.2	0.1	0.2	0.1	0.2	0.0	0.2	0.1	0.1
FeO	12.23	11.4	0.2	11.2	0.2	11.2	0.2	11.1	0.2	12.0	0.2	11.4	0.9	12.0	11.1	0.9
Total	97.62	98.0		98.1		98.1		98.1		98.1		98.1	0.4	98.1	98.0	0.1

Apêndice 2.1.2. Comparação das análises pontuais do EDS-MEV com o padrão Universal Metal, da Astimex Scientific Ltd®.

<b>Monazite</b>	<b>Standard</b>	<b>Sp11</b>	<b><math>\sigma</math></b>	<b>Sp12</b>	<b><math>\sigma</math></b>	<b>Sp13</b>	<b><math>\sigma</math></b>	<b>Sp14</b>	<b><math>\sigma</math></b>	<b>Sp15</b>	<b><math>\sigma</math></b>	<b>Mean</b>	<b>Variation</b>	<b>Maximum</b>	<b>Minimum</b>	<b>Amplitude</b>
Ce <sub>2</sub> O <sub>3</sub>	36.08	35.1	0.4	35.2	0.4	35.7	0.5	35.2	0.5	35.1	0.5	35.3	0.8	35.7	35.1	0.6
P <sub>2</sub> O <sub>5</sub>	27.73	28.9	0.4	29.3	0.4	29.4	0.4	29.4	0.4	28.9	0.4	29.2	1.5	29.4	28.9	0.5
Nd <sub>2</sub> O <sub>3</sub>	10.15	11.2	0.4	10.7	0.4	10.3	0.4	11.0	0.4	11.0	0.4	10.8	0.7	11.2	10.3	0.9
La <sub>2</sub> O <sub>3</sub>	15.30	17.9	0.4	18.3	0.4	18.3	0.4	17.8	0.4	17.9	0.4	18.0	2.7	18.3	17.8	0.5
ThO <sub>2</sub>	4.32	2.9	0.3	2.7	0.3	2.8	0.3	2.7	0.3	3.0	0.3	2.8	1.5	3.0	2.7	0.3
CaO	0.56	0.5	0.1	0.7	0.1	0.3	0.1	0.5	0.1	0.5	0.1	0.5	0.1	0.7	0.3	0.4
Pr <sub>2</sub> O <sub>3</sub>	4.92	3.5	0.4	3.1	0.4	3.1	0.4	3.4	0.4	3.6	0.4	3.3	1.6	3.6	3.1	0.5
Total	99.06	100.0		100.0		99.9		100.0		100.0		100.0	0.9	100.0	99.9	0.1
<b>Olivine</b>	<b>Standard</b>	<b>Sp6</b>	<b><math>\sigma</math></b>	<b>Sp7</b>	<b><math>\sigma</math></b>	<b>Sp8</b>	<b><math>\sigma</math></b>	<b>Sp9</b>	<b><math>\sigma</math></b>	<b>Sp10</b>	<b><math>\sigma</math></b>	<b>Mean</b>	<b>Variation</b>	<b>Maximum</b>	<b>Minimum</b>	<b>Amplitude</b>
SiO <sub>2</sub>	41.85	41.0	0.3	41.1	0.3	41.2	0.3	41.0	0.3	41.3	0.3	41.1	0.7	41.3	41.0	0.3
MgO	51.57	52.0	0.2	51.7	0.2	51.7	0.2	51.8	0.2	51.8	0.2	51.8	0.2	52.0	51.7	0.3
FeO	6.51	6.6	0.1	6.7	0.1	6.6	0.1	6.8	0.1	6.6	0.1	6.7	0.1	6.8	6.6	0.2
NiO	0.20	0.3	0.1	0.5	0.1	0.3	0.1	0.3	0.1	0.2	0.1	0.3	0.1	0.5	0.2	0.3
MnO	0.12	0.2	0.1	0.1	0.1	0.1	0.1	0.1	0.1	0.1	0.1	0.1	0.1	0.2	0.1	0.1
Total	100.20	100.1		100.1		99.9		100.0		100.0		100.0	0.2	100.1	99.9	0.2
<b>Sanidine</b>	<b>Standard</b>	<b>Sp1</b>	<b><math>\sigma</math></b>	<b>Sp2</b>	<b><math>\sigma</math></b>	<b>Sp3</b>	<b><math>\sigma</math></b>	<b>Sp4</b>	<b><math>\sigma</math></b>	<b>Sp5</b>	<b><math>\sigma</math></b>	<b>Mean</b>	<b>Variation</b>	<b>Maximum</b>	<b>Minimum</b>	<b>Amplitude</b>
SiO <sub>2</sub>	64.67	64.9	0.3	64.6	0.3	64.4	0.3	64.4	0.3	64.6	0.3	64.6	0.1	64.9	64.4	0.5
Al <sub>2</sub> O <sub>3</sub>	18.76	19.0	0.2	18.9	0.2	18.9	0.2	18.8	0.2	19.0	0.2	18.9	0.2	19.0	18.8	0.2
Al <sub>2</sub> O <sub>3</sub>	3.01	2.8	0.1	2.9	0.1	3.0	0.1	2.9	0.1	2.9	0.1	2.9	0.1	3.0	2.8	0.2
K <sub>2</sub> O	12.11	12.1	0.1	12.1	0.1	12.2	0.1	12.2	0.1	12.1	0.1	12.1	0.0	12.2	12.1	0.1
FeO	0.18	0.1	0.1	0.2	0.1	0.1	0.1	0.3	0.1	1.0	0.1	0.3	0.2	1.0	0.1	0.9
BaO	1.09	1.1	0.1	1.3	0.1	1.3	0.1	1.3	0.1	1.3	0.1	1.3	1.1	1.3	1.1	0.2
Total	99.82	100.0		100.0		99.9		99.9		100.9		100.14	99.82	100.9	99.9	0.9

Apêndice 2.2.Temperaturas obtidas com as análises pontuais de clinopiroxênio com base nos cálculos de Dal Negro *et al.*, (1982).

Rock	Foid-bearing monzonite	Foid-bearing syenite		Foyd syenite	
Sample	2058	2589	2057	2579	2056
Temperature (°C)	905	875	923	921	931
	907	846	908	925	939
	909	897	914	924	935
	897	872	919	909	922
	896	902	913	917	914
	892	915	912	915	919
	895	966	922	915	974
	897	904	917	925	970
	904	911	924	913	977
	890	989	925	903	
	892	979	918	903	
	892	974	912		
	914	907	921		
	915	892	922		
	884	906	926		
	899	903	927		
	899	826	919		
	895	915	925		
	896	959	921		
	910	911			
	912				
	914				
	916				
	913				
	916				
	908				
	912				
Mean	903	912	919	915	942

Apêndice 2.3. Temperaturas obtidas com os parâmetros de exsolução magnetita-ilmenita do BSI conforme os cálculos de Andersen and Lindsley (1985).

Rock	Sample	Pairs	Temperature (°C)	$\log_{10} fO_2$
Foid-bearing syenite	2494	1	599.6	-21.2
		2	462.4	-26.8
	2057	3	418.1	-31.0
Foyd syenite	2056	6	764.1	-9.8
		7	493.0	-27.1
		8	418.3	-33.5
		9	701.5	-14.0
		10	472.0	-29.5
		11	435.7	-31.3
		12	350.3	-40.8

Apêndice 2.4.1. Pressões, profundidades e temperaturas obtidas com base nos cálculos de Uchida *et al.* (2007), Tulloch and Challis (2000) e Henry *et al.* (2005) aplicados para as análises pontuais de biotita do BSI.

Rock	Sample	Pressure (Kbar)	Depth (km)	Temperature (°C)
Foid syenite	2056	2.0	7.4	707.7
		1.8	6.9	711.3
		2.0	7.4	715.5
		2.1	7.8	713.0
		2.2	8.2	713.8
		1.9	7.2	714.6
		1.9	7.1	720.9
		2.1	7.9	720.6
		2.0	7.7	716.3
		1.7	6.5	712.1
		1.6	6.1	718.4
		1.6	6.0	707.4
		1.6	6.1	715.8
		1.5	5.6	712.6
		1.6	5.9	713.4
		1.5	5.7	719.5
		1.6	5.9	716.0
Foid-bearing syenite	2494	0.5	1.9	797.9
		0.6	2.4	794.9
		0.4	1.6	797.8
		0.6	2.3	792.1
		0.6	2.4	791.6
	2579	1.8	6.8	740.4
		2.0	7.5	728.2
		1.7	6.4	704.2
		2.1	7.8	703.5
		1.6	5.9	747.4
		1.6	5.9	756.2
		1.7	6.4	748.7
	2589	1.4	5.4	706.4
		1.6	5.9	702.7
		1.9	7.1	681.3
		1.8	6.6	697.4
		1.5	5.6	707.6
		1.8	6.8	696.5
		1.4	5.4	702.8
		1.6	5.9	726.0
		1.6	5.9	726.1
		1.7	6.5	718.2
		1.6	6.2	717.2
		1.7	6.3	718.1
		1.7	6.4	712.4
		1.9	7.1	709.4
Foid-bearing monzonite	2058	1.9	7.1	711.9
		2.0	7.6	698.0
		1.0	3.8	723.0
		1.0	3.8	729.4
		1.0	3.9	736.8
		1.1	4.1	740.4

Apêndice 2.4.2. Pressões, profundidades e temperaturas obtidas com base nos cálculos de Uchida *et al.* (2007), Tulloch and Challis (2000) e Henry *et al.* (2005) aplicados para as análises pontuais de biotita do BSI.

Rock	Sample	Pressure (Kbar)	Depth (km)	Temperature (°C)
Foid-bearing monzonite	2058	1.2	4.5	735.0
		1.2	4.5	735.8
		0.9	3.3	720.2
		1.1	4.0	734.3
		1.1	4.3	742.3
		0.9	3.5	737.6
		1.2	4.7	730.3
		1.2	4.5	727.2
		1.2	4.6	727.5
		0.9	3.4	748.8
		1.4	5.4	746.4
		1.6	6.2	731.5
		1.8	6.7	731.1
		1.0	3.8	735.4
		1.0	3.8	724.5
		1.3	5.0	728.5
		1.6	6.1	725.8
		1.5	5.7	733.5
		1.3	5.1	725.9
		1.6	6.0	722.9
		1.3	4.8	737.6
		1.5	5.6	729.1
		1.5	5.7	731.0
		1.6	6.0	729.0
		1.6	6.2	734.4
		1.8	6.9	723.8
2504	2504	0.7	2.7	822.7
		0.6	2.1	797.8
		0.6	2.3	802.1
		0.6	2.1	802.6
		0.2	0.7	808.2
		0.8	3.1	803.9
		0.7	2.6	803.4
		0.6	2.2	802.2
		1.0	3.8	805.6
		0.9	3.2	789.1
		0.1	0.5	768.6
		0.4	1.5	808.9
		1.0	3.6	806.3
		1.0	3.6	806.6
		0.9	3.5	808.2

Apêndice 2.4.3. Pressões, profundidades e temperaturas obtidas com base nos cálculos de Uchida *et al.* (2007), Tulloch and Challis (2000) e Henry *et al.* (2005) aplicados para as análises pontuais de biotita do BSI.

Rock	Sample	Pressure (Kbar)	Depth (km)	Temperature (°C)
Foid-bearing monzonite	2504	1.1	4.0	810.1
		0.9	3.6	807.9
		0.8	3.2	806.7
		1.0	3.6	804.9
		0.9	3.3	801.1
		0.8	3.1	804.4
		1.0	3.7	804.0
		0.8	3.2	806.0
		0.9	3.4	800.6
		0.8	3.1	801.7
		1.0	3.7	802.6
		0.9	3.5	802.8